

LIBERO CONSORZIO COMUNALE DI RAGUSA

IV SETTORE - LAVORI PUBBLICI ED INFRASTRUTTURE

INTERVENTI DI MESSA IN SICUREZZA DEGLI EDIFICI SCOLASTICI DI PROPRIETÀ DEL LIBERO CONSORZIO COMUNALE DI RAGUSA LOTTO 3 - CIG 9165541BB2

ADEGUAMENTI SISMICO DELL'I.I.S. G. CURCIO IN VIA DEGLI STUDI - ISPICA (RG)
Finanziato dall'Unione Europea - NextGenerationEU

RAGGRUPPAMENTO TEMPORANEO DI PROFESSIONISTI

CAPOGRUPPO

Ing. Luciano Lentini

R.U.P. Ing. Filippo Agosta

MANDANTI

Arch. Giuseppe Marotta
SG.Inarch srls
Ing. Antonino Carmelo Allegra Filosico
Arch. Francesca Cuva



FASCICOLO DEI CALCOLI DELLA STRUTTURA PRINCIPALE - ANTE INTERVENTO

PROGETTO DEFINITIVO - ESECUTIVO

DATA EMISSIONE

SETTEMBRE 2022

SCALA

-

DOCUMENTO

S	T	R	0	0	6
---	---	---	---	---	---

LIVELLO DI CONOSCENZA E FATTORE DI CONFIDENZA

LC		Livello di Conoscenza e Fattore di Confidenza	
		FC	
LC2		1,2	

LEGENDA:
LC [LC1] = Conoscenza Limitata - [LC2] = Conoscenza Adeguata - [LC3] = Conoscenza Accurata.
FC Fattore di confidenza applicato alle proprietà dei materiali.

MATERIALI CALCESTRUZZO ARMATO

Caratteristiche calcestruzzo armato														
N _{id}	γ _k [N/m ³]	α _{T, i} [1/°C]	E [N/mm ²]	G [N/mm ²]	C _{Erid} [%]	Stz	R _{ck} [N/mm ²]	R _{cm} [N/mm ²]	%R _{ck}	γ _c	f _{cd} [N/mm ²]	f _{ctd} [N/mm ²]	f _{cfm} [N/mm ²]	n Ac
CLS_PROVE - (CLS_PROVE)														
001	25 000	0,000010	25 165	10 486	60	F	-	14,65	1,00	1,50	6,76	0,62	1,59	002

LEGENDA:
N_{id} Numero identificativo del materiale, nella relativa tabella dei materiali.
γ_k Peso specifico.
α_{T, i} Coefficiente di dilatazione termica.
E Modulo elastico normale.
G Modulo elastico tangenziale.
C_{Erid} Coefficiente di riduzione del Modulo elastico normale per Analisi Sismica [E_{sisma} = E·C_{Erid}].
Stz Tipo di situazione: [F] = di Fatto (Esistente); [P] = di Progetto (Nuovo).
R_{ck} Resistenza caratteristica cubica.
R_{cm} Resistenza media cubica.
%R_{ck} Percentuale di riduzione della R_{ck}.
γ_c Coefficiente parziale di sicurezza del materiale.
f_{cd} Resistenza di calcolo a compressione.
f_{ctd} Resistenza di calcolo a trazione.
f_{cfm} Resistenza media a trazione per flessione.
n Ac Identificativo, nella relativa tabella materiali, dell'acciaio utilizzato: [-] = parametro NON significativo per il materiale.

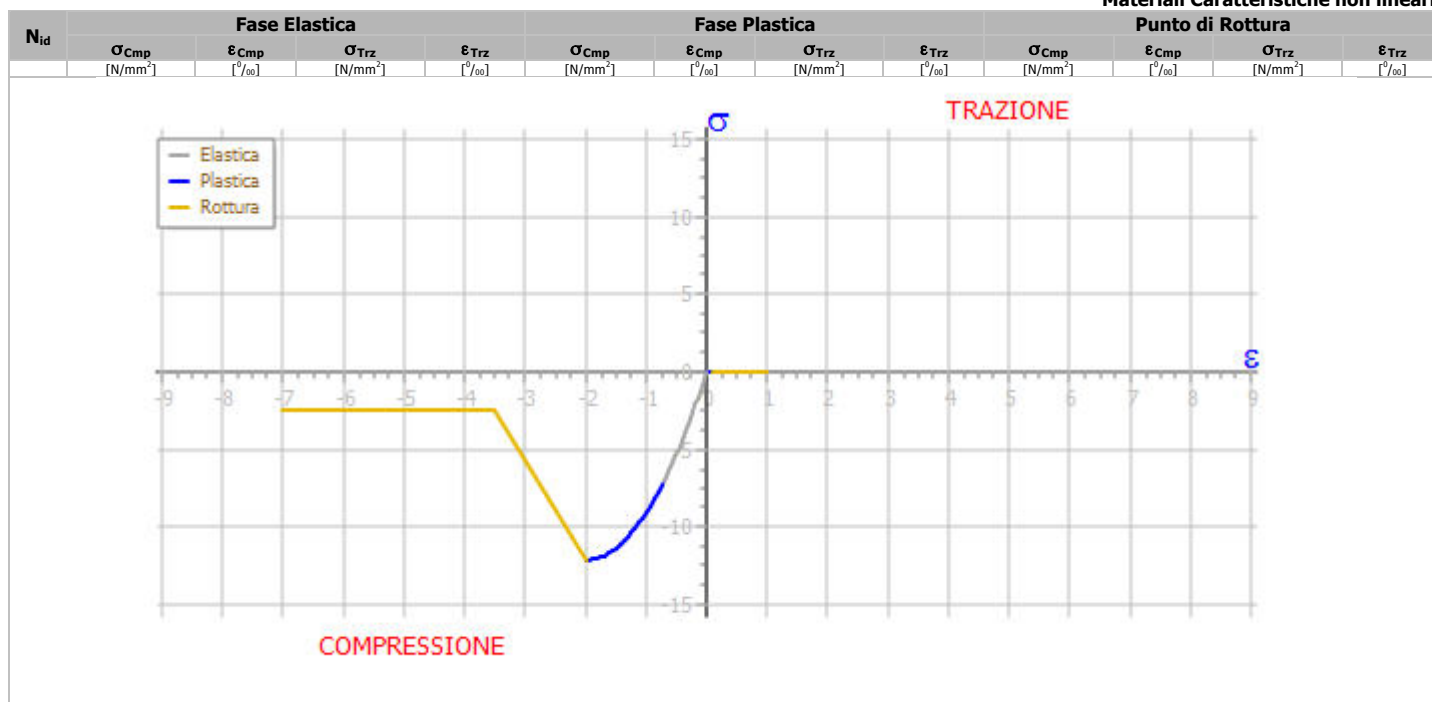
MATERIALI ACCIAIO

Caratteristiche acciaio																
N _{id}	γ _k [N/m ³]	α _{T, i} [1/°C]	E [N/mm ²]	G [N/mm ²]	Stz	f _{yk,1} / f _{yk,2}	f _{tk,1} / f _{tk,2}	f _{yd,1} / f _{yd,2}	f _{td}	γ _s	γ _{M1}	γ _{M2}	γ _{M3,SLV}	γ _{M3,SLE}	γ _{M7} NCnt	Cnt
FEB38k - (Feb38k)																
002	78 500	0,000010	210 000	80 769	F	315,00 -	-	228,26 -	-	1,15	-	-	-	-	-	-

LEGENDA:
N_{id} Numero identificativo del materiale, nella relativa tabella dei materiali.
γ_k Peso specifico.
α_{T, i} Coefficiente di dilatazione termica.
E Modulo elastico normale.
G Modulo elastico tangenziale.
Stz Tipo di situazione: [F] = di Fatto (Esistente); [P] = di Progetto (Nuovo).
f_{tk,1} Resistenza caratteristica a Rottura (per profili con t ≤ 40 mm).
f_{tk,2} Resistenza caratteristica a Rottura (per profili con 40 mm < t ≤ 80 mm).
f_{td} Resistenza di calcolo a Rottura (Bulloni).
γ_s Coefficiente parziale di sicurezza allo SLV del materiale.
γ_{M1} Coefficiente parziale di sicurezza per instabilità.
γ_{M2} Coefficiente parziale di sicurezza per sezioni tese indebolite.
γ_{M3,SLV} Coefficiente parziale di sicurezza per scorrimento allo SLV (Bulloni).
γ_{M3,SLE} Coefficiente parziale di sicurezza per scorrimento allo SLE (Bulloni).
γ_{M7} Coefficiente parziale di sicurezza precarico di bulloni ad alta resistenza (Bulloni - NCnt = con serraggio NON controllato; Cnt = con serraggio controllato). [-] = parametro NON significativo per il materiale.
f_{vk,1} Resistenza caratteristica allo snervamento (per profili con t ≤ 40 mm).
f_{vk,2} Resistenza caratteristica allo snervamento (per profili con 40 mm < t ≤ 80 mm).
f_{vd,1} Resistenza di calcolo (per profili con t ≤ 40 mm).
f_{vd,2} Resistenza di calcolo (per profili con 40 mm < t ≤ 80 mm).
NOTE [-] = Parametro non significativo per il materiale.

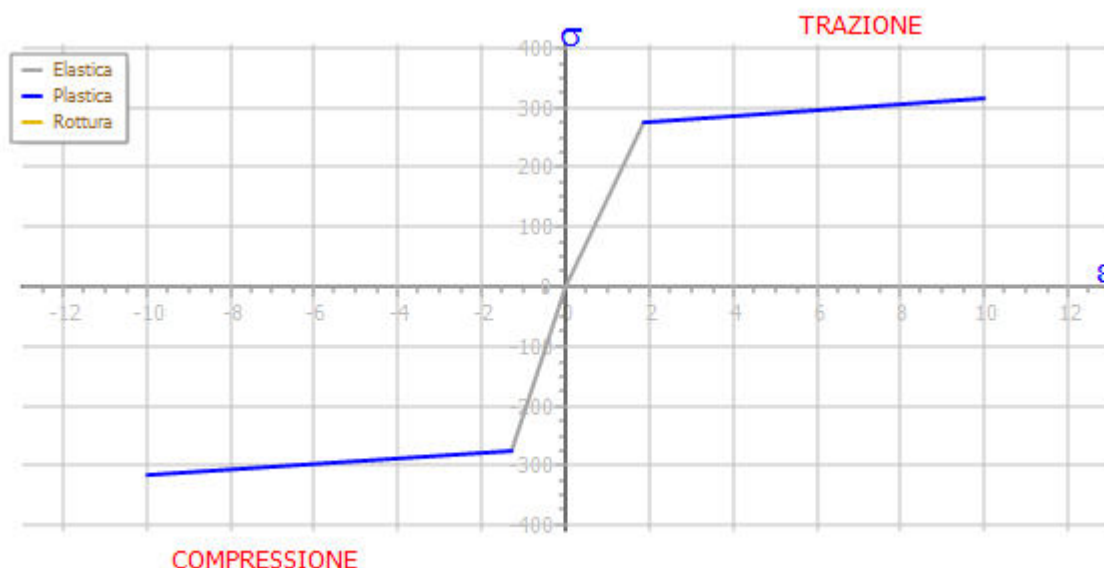
MATERIALI CARATTERISTICHE NON LINEARI

Materiali Caratteristiche non lineari												
N _{id}	Fase Elastica				Fase Plastica				Punto di Rottura			
	σ _{Cmp} [N/mm ²]	ε _{Cmp} [‰]	σ _{Trz} [N/mm ²]	ε _{Trz} [‰]	σ _{Cmp} [N/mm ²]	ε _{Cmp} [‰]	σ _{Trz} [N/mm ²]	ε _{Trz} [‰]	σ _{Cmp} [N/mm ²]	ε _{Cmp} [‰]	σ _{Trz} [N/mm ²]	ε _{Trz} [‰]
CLS_PROVE - (CLS_PROVE)												
001	7,30	0,29	0,00	0,00	12,16	2,00	0,00	0,10	2,43	3,50	0,00	1,00



FEB38k - (Feb38k)

002	273,91	1,30	273,91	1,86	315,00	10,00	315,00	10,00	315,00	10,00	315,00	10,00
-----	--------	------	--------	------	--------	-------	--------	-------	--------	-------	--------	-------



LEGENDA:

N _{id}	Numero identificativo del materiale, nella relativa tabella dei materiali.
σ_{Cmp}	Tensione massima per Compressione.
ϵ_{Cmp}	Deformazione relativa alla tensione massima per compressione.
σ_{Trz}	Tensione massima per Trazione.
ϵ_{Trz}	Deformazione relativa alla tensione massima per trazione.

TENSIONI AMMISSIBILI ALLO SLE DEI VARI MATERIALI

Tensioni ammissibili allo SLE dei vari materiali			
Materiale	SL	Tensione di verifica	$\sigma_{d,amm}$ [N/mm ²]
CLS_PROVE	Caratteristica(RARA)	Compressione Calcestruzzo	6,08
	Quasi permanente	Compressione Calcestruzzo	4,56
FEB38k	Caratteristica(RARA)	Trazione Acciaio	210,00

LEGENDA:

SL	Stato limite di esercizio per cui si esegue la verifica.
$\sigma_{d,amm}$	Tensione ammissibile per la verifica.

SEZIONI ASTE

							Sezioni aste
N _{id}	Tp	Label	Dimensioni	v	A	Area per Taglio	Inerzia $\Delta\theta I_{pr}$

			B	H	Sp _w	L _w	Sp _{r,0}	L _{r,0}	Sp _{r,1}	L _{r,1}	L _{r,2}	L _{r,3}		A _{x,T}	A _{y,T}	I _x	I _T	I _y	I _{xy}		
			[cm]	[cm]	[cm]	[cm]	[cm]	[cm]	[cm]	[cm]	[cm]	[cm]		[cm ²]	[cm ²]	[cm ⁴]	[cm ⁴]	[cm ⁴]	[cm ⁴]	[°]	
001	!	30x50	30	50	-	-	-	-	-	-	-	-	4	1 500	1 250	1 250	312 500	279 270	112 500	0	0,00
002	!	30x60	30	60	-	-	-	-	-	-	-	-	4	1 800	1 500	1 500	540 000	370 980	135 000	0	0,00
003	!	80x35	80	35	-	-	-	-	-	-	-	-	4	2 800	2 333	2 333	285 833	824 670	1 493 333	0	0,00
004	!	70x35	70	35	-	-	-	-	-	-	-	-	4	2 450	2 042	2 042	250 104	687 286	1 000 417	0	0,00
005	!	30x130	30	130	-	-	-	-	-	-	-	-	4	3 900	3 250	3 250	5 492 500	1 170 000	292 500	0	0,00
006	!	30x30	30	30	-	-	-	-	-	-	-	-	4	900	750	750	67 500	113 886	67 500	0	0,00
007	!	30x90	30	90	-	-	-	-	-	-	-	-	4	2 700	2 250	2 250	1 822 500	810 000	202 500	0	0,00
008	#	Ø40	40	-	-	-	-	-	-	-	-	-	-	1 257	1 131	1 131	125 664	251 327	125 664	0	0,00

LEGENDA:

- N_{id}** Numero identificativo della sezione.
Tp Tipo di sezione.
Label Identificativo della sezione come indicato nelle carpenterie.
B Base/Diametro/Raggio.
H Altezza/Lato/Altezza di colmo.
Sp_w Spessore anima.
L_w Lunghezza anima.
Sp_{r,0} Spessore ala 0.
L_{r,0} Lunghezza ala 0.
Sp_{r,1} Spessore ala 1.
L_{r,1} Lunghezza ala 1.
L_{r,2} Lunghezza ala 2.
L_{r,3} Lunghezza ala 3.
v Nel caso di sezioni poligonali, indica il numero dei vertici della sezione.
A Area della sezione.
ΔθI_{pr} Rotazione degli assi principali d'inerzia rispetto agli assi X, Y, espresse in gradi sessadecimali.
Inerzia Inerzie della sezione rispetto agli assi.

ANALISI CARICHI

Analisi carichi										
N _{id}	T. C.	Descrizione del Carico	Tipologie di Carico	Peso Proprio Descrizione	PP	Permanente NON Strutturale Descrizione	PNS	Sovraccarico Accidentale Descrizione	SA	Carico Neve
										[N/m ²]
001	S	Muratura di tompagnamento esistente	Carico Permanente	Come da analisi dei carichi di progetto (variante)	2 000	Intonaco interno, intonaco esterno	500	Coperture accessibili per sola manutenzione (Cat. H – Tab. 3.1.II - DM 17.01.2018) Balconi, ballatoi e scale comuni di abitazioni (Cat. A – Tab. 3.1.II - DM 17.01.2018)	0	0
002	S	Solaio esistente latero- cemento gettato in opera s=30+5	Coperture accessibili solo per manutenzione	Solaio gettato in opera con travetti i=50 e spessore 30+5	3 300	Pavimento e sottofondo, e intonaco inferiore (come da progetto di variante)	1 200		500	480
003	S	LatCem Balcone H20	Scale, balconi, ballatoi (Cat. A)	Solaio di tipo tradizionale latero-cementizio di spessore 20 cm (16+4)	2 800	Pavimento, sottofondo e intonaco inferiore	1 360		4 000	0

LEGENDA:

- N_{id}** Numero identificativo dell'analisi di carico.
T. C. Identificativo del tipo di carico: [S] = Superficiale - [L] = Lineare - [C] = Concentrato.
PP, PNS, SA Valori, rispettivamente, del Peso Proprio, del Sovraccarico Permanente NON strutturale, del Sovraccarico Accidentale. Secondo il tipo di carico indicato nella colonna "T.C." ("S" - "L" - "C"), i valori riportati nelle colonne "PP", "PNS" e "SA", sono espressi in [N/m²] per carichi Superficiali, [N/m] per carichi Lineari, [N] per carichi Concentrati.

TIPOLOGIE DI CARICO

								Tipologie di carico	
N _{id}	Descrizione			F+E	+/- F	CDC	ψ ₀	ψ ₁	ψ ₂
0001	Carico Permanente			SI	NO	Permanente	1,00	1,00	1,00
0002	Permanenti NON Strutturali			SI	NO	Permanente	1,00	1,00	1,00
0003	Coperture accessibili solo per manutenzione			SI	NO	Media	0,00	0,00	0,00
0004	Scale, balconi, ballatoi (Cat. A)			SI	NO	Media	0,70	0,50	0,30
0005	Carico da Neve <= 1000 m s.l.m.			SI	NO	Breve	0,50	0,20	0,00
0006	Sisma X			-	-	-	-	-	-
0007	Sisma Y			-	-	-	-	-	-
0008	Sisma Z			-	-	-	-	-	-
0009	Sisma Ecc.X			-	-	-	-	-	-
0010	Sisma Ecc.Y			-	-	-	-	-	-

LEGENDA:

- N_{id}** Numero identificativo della Tipologia di Carico.
F+E Indica se la tipologia di carico considerata è AGENTE con il sisma.
+/- F Indica se la tipologia di carico è ALTERNATA (cioè considerata due volte con segno opposto) o meno.
CDC Indica la classe di durata del carico.
NOTA: dato significativo solo per elementi in materiale legnoso.
ψ₀ Coefficiente riduttivo dei carichi allo SLU e SLE (carichi rari).
ψ₁ Coefficiente riduttivo dei carichi allo SLE (carichi frequenti).
ψ₂ Coefficiente riduttivo dei carichi allo SLE (carichi frequenti e quasi permanenti).

SLU: Non Sismica - Strutturale senza azioni geotecniche

SLU: Non Sismica - Strutturale senza azioni geotecniche					
Id _{Comb}	CC 01	CC 02	CC 03	CC 04	CC 05
	Carico Permanente	Permanenti NON Strutturali	Coperture accessibili solo per manutenzione	Scale, balconi, ballatoi (Cat. A)	Carico da Neve <= 1000 m s.l.m.

SLU: Non Sismica - Strutturale senza azioni geotecniche

Id_{Comb}	CC 01 Carico Permanente	CC 02 Permanenti NON Strutturali	CC 03 Coperture accessibili solo per manutenzione	CC 04 Scale, balconi, ballatoi (Cat. A)	CC 05 Carico da Neve <= 1000 m s.l.m.
01	1,00	0,00	0,00	0,00	0,00
02	1,00	0,80	0,00	0,00	0,00
03	1,00	0,80	0,00	0,00	0,75
04	1,00	0,80	0,00	1,05	0,00
05	1,00	0,80	0,00	1,05	0,75
06	1,00	1,50	0,00	0,00	0,00
07	1,00	1,50	0,00	0,00	0,75
08	1,00	1,50	0,00	1,05	0,00
09	1,00	1,50	0,00	1,05	0,75
10	1,00	0,80	1,50	0,00	0,00
11	1,00	0,80	1,50	0,00	0,75
12	1,00	0,80	1,50	1,05	0,00
13	1,00	0,80	1,50	1,05	0,75
14	1,00	1,50	1,50	0,00	0,00
15	1,00	1,50	1,50	0,00	0,75
16	1,00	1,50	1,50	1,05	0,00
17	1,00	1,50	1,50	1,05	0,75
18	1,00	0,80	0,00	1,50	0,00
19	1,00	0,80	0,00	1,50	0,75
20	1,00	1,50	0,00	1,50	0,00
21	1,00	1,50	0,00	1,50	0,75
22	1,00	0,80	0,00	0,00	1,50
23	1,00	0,80	0,00	1,05	1,50
24	1,00	1,50	0,00	0,00	1,50
25	1,00	1,50	0,00	1,05	1,50
26	1,30	0,00	0,00	0,00	0,00
27	1,30	0,80	0,00	0,00	0,00
28	1,30	0,80	0,00	0,00	0,75
29	1,30	0,80	0,00	1,05	0,00
30	1,30	0,80	0,00	1,05	0,75
31	1,30	1,50	0,00	0,00	0,00
32	1,30	1,50	0,00	0,00	0,75
33	1,30	1,50	0,00	1,05	0,00
34	1,30	1,50	0,00	1,05	0,75
35	1,30	0,80	1,50	0,00	0,00
36	1,30	0,80	1,50	0,00	0,75
37	1,30	0,80	1,50	1,05	0,00
38	1,30	0,80	1,50	1,05	0,75
39	1,30	1,50	1,50	0,00	0,00
40	1,30	1,50	1,50	0,00	0,75
41	1,30	1,50	1,50	1,05	0,00
42	1,30	1,50	1,50	1,05	0,75
43	1,30	0,80	0,00	1,50	0,00
44	1,30	0,80	0,00	1,50	0,75
45	1,30	1,50	0,00	1,50	0,00
46	1,30	1,50	0,00	1,50	0,75
47	1,30	0,80	0,00	0,00	1,50
48	1,30	0,80	0,00	1,05	1,50
49	1,30	1,50	0,00	0,00	1,50
50	1,30	1,50	0,00	1,05	1,50

LEGENDA:**Id_{Comb}**
CC

Numero identificativo della Combinazione di Carico.
 Identificativo della tipologia di carico nella relativa tabella.
 CC 01= Carico Permanente
 CC 02= Permanenti NON Strutturali
 CC 03= Coperture accessibili solo per manutenzione
 CC 04= Scale, balconi, ballatoi (Cat. A)
 CC 05= Carico da Neve <= 1000 m s.l.m.

SLU: Sismica - Strutturale senza azioni geotecniche**SLU: Sismica - Strutturale senza azioni geotecniche**

Id_{Comb}	CC 01 Carico Permanente	CC 02 Permanenti NON Strutturali	CC 03 Coperture accessibili solo per manutenzione	CC 04 Scale, balconi, ballatoi (Cat. A)	CC 05 Carico da Neve <= 1000 m s.l.m.
01	1,00	1,00	0,00	0,30	0,00

LEGENDA:**Id_{Comb}**
CC

Numero identificativo della Combinazione di Carico.
 Identificativo della tipologia di carico nella relativa tabella.
 CC 01= Carico Permanente
 CC 02= Permanenti NON Strutturali
 CC 03= Coperture accessibili solo per manutenzione
 CC 04= Scale, balconi, ballatoi (Cat. A)

SLU: Sismica - Strutturale senza azioni geotecniche

Id _{Comb}	CC 01 Carico Permanente	CC 02 Permanenti NON Strutturali	CC 03 Coperture accessibili solo per manutenzione	CC 04 Scale, balconi, ballatoi (Cat. A)	CC 05 Carico da Neve <= 1000 m s.l.m.
CC 05= Carico da Neve <= 1000 m s.l.m.					

COMBINAZIONI SISMICHE

Alle combinazioni riportate nella precedente tabella è stato aggiunto l'effetto del sisma. L'azione sismica è stata considerata come caratterizzata da tre componenti traslazionali lungo i tre assi globali X, Y e Z; la risposta della struttura è stata calcolata separatamente per i tre effetti e quindi combinata secondo la seguente espressione simbolica:

$$\alpha = \alpha_i + 0,3 \cdot \alpha_{ij} + 0,3 \cdot \alpha_{iii}$$

con α effetto totale dell'azione sismica, α_i , α_{ij} e α_{iii} azioni sismiche nelle tre direzioni. E' stata effettuata una rotazione degli indici e dei segni, per cui le combinazioni totali generate sono le:

(con α_p sollecitazione dovuta alla combinazione delle condizioni statiche e α sollecitazione dovuta al sisma; in particolare α_x , α_y , α_z , α_{ex} , α_{ey} sono rispettivamente le sollecitazioni dovute al sisma agente in direzione x, in direzione y, in direzione z, per eccentricità accidentale positiva in direzione x e per eccentricità accidentale positiva in direzione y)

- 3) $\alpha'_p + (\alpha_x + \alpha_{ex}) + 0,3 \cdot (\alpha_y + \alpha_{ey}) - 0,3 \cdot \alpha_z$; 4) $\alpha'_p + (\alpha_x + \alpha_{ex}) - 0,3 \cdot (\alpha_y + \alpha_{ey}) - 0,3 \cdot \alpha_z$;
5) $\alpha'_p + (\alpha_x + \alpha_{ex}) + 0,3 \cdot (\alpha_y - \alpha_{ey}) + 0,3 \cdot \alpha_z$; 6) $\alpha'_p + (\alpha_x + \alpha_{ex}) - 0,3 \cdot (\alpha_y - \alpha_{ey}) + 0,3 \cdot \alpha_z$;
7) $\alpha'_p + (\alpha_x + \alpha_{ex}) + 0,3 \cdot (\alpha_y + \alpha_{ey}) - 0,3 \cdot \alpha_z$; 8) $\alpha'_p + (\alpha_x + \alpha_{ex}) - 0,3 \cdot (\alpha_y + \alpha_{ey}) - 0,3 \cdot \alpha_z$;
9) $\alpha'_p + (\alpha_x - \alpha_{ex}) + 0,3 \cdot (\alpha_y + \alpha_{ey}) + 0,3 \cdot \alpha_z$; 10) $\alpha'_p + (\alpha_x - \alpha_{ex}) - 0,3 \cdot (\alpha_y + \alpha_{ey}) + 0,3 \cdot \alpha_z$;
11) $\alpha'_p + (\alpha_x - \alpha_{ex}) + 0,3 \cdot (\alpha_y + \alpha_{ey}) - 0,3 \cdot \alpha_z$; 12) $\alpha'_p + (\alpha_x - \alpha_{ex}) - 0,3 \cdot (\alpha_y + \alpha_{ey}) - 0,3 \cdot \alpha_z$;
13) $\alpha'_p + (\alpha_x - \alpha_{ex}) + 0,3 \cdot (\alpha_y - \alpha_{ey}) + 0,3 \cdot \alpha_z$; 14) $\alpha'_p + (\alpha_x - \alpha_{ex}) - 0,3 \cdot (\alpha_y - \alpha_{ey}) + 0,3 \cdot \alpha_z$;
15) $\alpha'_p + (\alpha_x - \alpha_{ex}) + 0,3 \cdot (\alpha_y - \alpha_{ey}) - 0,3 \cdot \alpha_z$; 16) $\alpha'_p + (\alpha_x - \alpha_{ex}) - 0,3 \cdot (\alpha_y - \alpha_{ey}) - 0,3 \cdot \alpha_z$;
17) $\alpha'_p + (\alpha_y + \alpha_{ey}) + 0,3 \cdot (\alpha_x + \alpha_{ex}) + 0,3 \cdot \alpha_z$; 18) $\alpha'_p + (\alpha_y + \alpha_{ey}) - 0,3 \cdot (\alpha_x + \alpha_{ex}) + 0,3 \cdot \alpha_z$;
19) $\alpha'_p + (\alpha_y + \alpha_{ey}) + 0,3 \cdot (\alpha_x + \alpha_{ex}) - 0,3 \cdot \alpha_z$; 20) $\alpha'_p + (\alpha_y + \alpha_{ey}) - 0,3 \cdot (\alpha_x + \alpha_{ex}) - 0,3 \cdot \alpha_z$;
21) $\alpha'_p + (\alpha_y + \alpha_{ey}) + 0,3 \cdot (\alpha_x - \alpha_{ex}) + 0,3 \cdot \alpha_z$; 22) $\alpha'_p + (\alpha_y + \alpha_{ey}) - 0,3 \cdot (\alpha_x - \alpha_{ex}) + 0,3 \cdot \alpha_z$;
23) $\alpha'_p + (\alpha_y + \alpha_{ey}) + 0,3 \cdot (\alpha_x - \alpha_{ex}) - 0,3 \cdot \alpha_z$; 24) $\alpha'_p + (\alpha_y + \alpha_{ey}) - 0,3 \cdot (\alpha_x - \alpha_{ex}) - 0,3 \cdot \alpha_z$;
25) $\alpha'_p + (\alpha_y - \alpha_{ey}) + 0,3 \cdot (\alpha_x + \alpha_{ex}) + 0,3 \cdot \alpha_z$; 26) $\alpha'_p + (\alpha_y - \alpha_{ey}) - 0,3 \cdot (\alpha_x + \alpha_{ex}) + 0,3 \cdot \alpha_z$;
27) $\alpha'_p + (\alpha_y - \alpha_{ey}) + 0,3 \cdot (\alpha_x + \alpha_{ex}) - 0,3 \cdot \alpha_z$; 28) $\alpha'_p + (\alpha_y - \alpha_{ey}) - 0,3 \cdot (\alpha_x + \alpha_{ex}) - 0,3 \cdot \alpha_z$;
29) $\alpha'_p + (\alpha_y - \alpha_{ey}) + 0,3 \cdot (\alpha_x - \alpha_{ex}) + 0,3 \cdot \alpha_z$; 30) $\alpha'_p + (\alpha_y - \alpha_{ey}) - 0,3 \cdot (\alpha_x - \alpha_{ex}) + 0,3 \cdot \alpha_z$;
31) $\alpha'_p + (\alpha_y - \alpha_{ey}) + 0,3 \cdot (\alpha_x - \alpha_{ex}) - 0,3 \cdot \alpha_z$; 32) $\alpha'_p + (\alpha_y - \alpha_{ey}) - 0,3 \cdot (\alpha_x - \alpha_{ex}) - 0,3 \cdot \alpha_z$;
33) $\alpha'_p + \alpha_z + 0,3 \cdot (\alpha_x + \alpha_{ex}) + 0,3 \cdot (\alpha_y + \alpha_{ey})$; 34) $\alpha'_p + \alpha_z - 0,3 \cdot (\alpha_x + \alpha_{ex}) + 0,3 \cdot (\alpha_y + \alpha_{ey})$;
35) $\alpha'_p + \alpha_z + 0,3 \cdot (\alpha_x + \alpha_{ex}) - 0,3 \cdot (\alpha_y + \alpha_{ey})$; 36) $\alpha'_p + \alpha_z - 0,3 \cdot (\alpha_x + \alpha_{ex}) - 0,3 \cdot (\alpha_y + \alpha_{ey})$;
37) $\alpha'_p + \alpha_z + 0,3 \cdot (\alpha_x + \alpha_{ex}) + 0,3 \cdot (\alpha_y - \alpha_{ey})$; 38) $\alpha'_p + \alpha_z - 0,3 \cdot (\alpha_x + \alpha_{ex}) + 0,3 \cdot (\alpha_y - \alpha_{ey})$;
39) $\alpha'_p + \alpha_z + 0,3 \cdot (\alpha_x + \alpha_{ex}) - 0,3 \cdot (\alpha_y - \alpha_{ey})$; 40) $\alpha'_p + \alpha_z - 0,3 \cdot (\alpha_x + \alpha_{ex}) - 0,3 \cdot (\alpha_y - \alpha_{ey})$;
41) $\alpha'_p + \alpha_z + 0,3 \cdot (\alpha_x - \alpha_{ex}) + 0,3 \cdot (\alpha_y + \alpha_{ey})$; 42) $\alpha'_p + \alpha_z - 0,3 \cdot (\alpha_x - \alpha_{ex}) + 0,3 \cdot (\alpha_y + \alpha_{ey})$;
43) $\alpha'_p + \alpha_z + 0,3 \cdot (\alpha_x - \alpha_{ex}) - 0,3 \cdot (\alpha_y + \alpha_{ey})$; 44) $\alpha'_p + \alpha_z - 0,3 \cdot (\alpha_x - \alpha_{ex}) - 0,3 \cdot (\alpha_y + \alpha_{ey})$;
45) $\alpha'_p + \alpha_z + 0,3 \cdot (\alpha_x - \alpha_{ex}) + 0,3 \cdot (\alpha_y - \alpha_{ey})$; 46) $\alpha'_p + \alpha_z - 0,3 \cdot (\alpha_x - \alpha_{ex}) + 0,3 \cdot (\alpha_y - \alpha_{ey})$;
47) $\alpha'_p + \alpha_z + 0,3 \cdot (\alpha_x - \alpha_{ex}) - 0,3 \cdot (\alpha_y - \alpha_{ey})$; 48) $\alpha'_p + \alpha_z - 0,3 \cdot (\alpha_x - \alpha_{ex}) - 0,3 \cdot (\alpha_y - \alpha_{ey})$.

Nel caso di verifiche effettuate con sollecitazioni composte, per tenere conto del fatto che le sollecitazioni sismiche sono state ricavate come CQC delle sollecitazioni derivanti dai modi di vibrazione, dette N, Mx, My, Tx e Ty le sollecitazioni dovute al sisma, per ognuna delle combinazioni precedenti, sono state ricavate 32 combinazioni di carico permutando nel seguente modo i segni delle sollecitazioni derivanti dal sisma:

- 1) N, Mx, My, Tx e Ty; 2) N, Mx, -My, Tx e Ty; 3) N, -Mx, My, Tx e Ty; 4) N, -Mx, -My, Tx e Ty; 5) -N, Mx, My, Tx e Ty; 6) -N, Mx, -My, Tx e Ty; 7) -N, -Mx, My, Tx e Ty; 8) -N, -Mx, -My, Tx e Ty; 9) N, Mx, My, Tx e -Ty; 10) N, Mx, -My, Tx e -Ty; 11) N, -Mx, My, Tx e -Ty; 12) N, -Mx, -My, Tx e -Ty; 13) -N, Mx, My, Tx e -Ty; 14) -N, Mx, -My, Tx e -Ty; 15) -N, -Mx, My, Tx e -Ty; 16) -N, -Mx, -My, Tx e -Ty; 17) N, Mx, My, -Tx e Ty; 18) N, Mx, -My, -Tx e Ty; 19) N, -Mx, My, -Tx e Ty; 20) N, -Mx, -My, -Tx e Ty; 21) -N, Mx, My, -Tx e Ty; 22) -N, Mx, -My, -Tx e Ty; 23) -N, -Mx, My, -Tx e Ty; 24) -N, -Mx, -My, -Tx e Ty; 25) N, Mx, My, -Tx e -Ty; 26) N, Mx, -My, -Tx e -Ty; 27) N, -Mx, My, -Tx e -Ty; 28) N, -Mx, -My, -Tx e -Ty; 29) -N, Mx, My, -Tx e -Ty; 30) -N, Mx, -My, -Tx e -Ty; 31) -N, -Mx, My, -Tx e -Ty; 32) -N, -Mx, -My, -Tx e -Ty.

SLU: Sismica non lineare - Strutturale senza azioni geotecniche

SLU: Sismica non lineare - Strutturale senza azioni geotecniche					
Id _{Comb}	CC 01 Carico Permanente	CC 02 Permanenti NON Strutturali	CC 03 Coperture accessibili solo per manutenzione	CC 04 Scale, balconi, ballatoi (Cat. A)	CC 05 Carico da Neve <= 1000 m s.l.m.
01	1,00	1,00	0,00	0,30	0,00

LEGENDA:

Id_{Comb}
CC

Numero identificativo della Combinazione di Carico.
Identificativo della tipologia di carico nella relativa tabella.
CC 01= Carico Permanente
CC 02= Permanenti NON Strutturali
CC 03= Coperture accessibili solo per manutenzione
CC 04= Scale, balconi, ballatoi (Cat. A)
CC 05= Carico da Neve <= 1000 m s.l.m.

DATI GENERALI ANALISI SISMICA NON LINEARE

Dati generali analisi sismica non lineare				
Ang	NV	MP	C.S.T.	ξ
[°]				[%]
0	15	caOld	B	5

LEGENDA:

Ang Direzione di una componente dell'azione sismica rispetto all'asse X (sistema di riferimento globale); la seconda componente dell'azione sismica e' assunta con direzione ruotata di 90 gradi rispetto alla prima.

Dati generali analisi sismica non lineare

Ang	NV	MP	C.S.T.	ξ
[°]				[%]
NV	Nel caso di analisi dinamica, indica il numero di modi di vibrazione considerati.			
MP	Tipo di struttura sismo-resistente prevalente: [ca] = calcestruzzo armato - [caOld] = calcestruzzo armato esistente - [muOld] = muratura esistente - [muNew] = muratura nuova - [muArm] = muratura armata - [ac] = acciaio.			
C.S.T.	Categoria di sottosuolo: [A] = Ammassi rocciosi affioranti o terreni molto rigidi - [B] = Rocce tenere e depositi di terreni a grana grossa molto addensati o terreni a grana fina molto consistenti - [C] = Depositati di terreni a grana grossa mediamente addensati o terreni a grana fina mediamente consistenti - [D] = Depositati di terreni a grana grossa scarsamente addensati o di terreni a grana fina scarsamente consistenti - [E] = Terreni con caratteristiche e valori di velocità equivalente riconducibili a quelle definite per le categorie C o D.			
ξ	Coefficiente viscoso equivalente.			
NOTE	[-] = Parametro non significativo per il tipo di calcolo effettuato.			

Stato Limite	T_r	a_g/g	Amplif. Stratigrafica		F_0	T_c^*	T_B	T_c	T_D
	[t]		S_s	C_c		[s]	[s]	[s]	[s]
SLO	45	0,0370	1,200	1,458	2,557	0,244	0,119	0,356	1,748
SLD	75	0,0512	1,200	1,424	2,527	0,275	0,131	0,392	1,805
SLV	712	0,1893	1,200	1,293	2,393	0,445	0,192	0,576	2,357
SLC	1462	0,2665	1,140	1,268	2,441	0,492	0,208	0,624	2,666

LEGENDA:

T_r	Periodo di ritorno dell'azione sismica. [t] = anni.
a_g/g	Coefficiente di accelerazione al suolo.
S_s	Coefficienti di Amplificazione Stratigrafica allo SLO/SLD/SLV/SLC.
C_c	Coefficienti di Amplificazione di T_c allo SLO/SLD/SLV/SLC.
F_0	Valore massimo del fattore di amplificazione dello spettro in accelerazione orizzontale.
T_c^*	Periodo di inizio del tratto a velocità costante dello spettro in accelerazione orizzontale.
T_B	Periodo di inizio del tratto accelerazione costante dello spettro di progetto.
T_c	Periodo di inizio del tratto a velocità costante dello spettro di progetto.
T_D	Periodo di inizio del tratto a spostamento costante dello spettro di progetto.

CI Ed	V_N	V_R	Lat.	Long.	Q_a	C _{Top}	S_T
	[t]	[t]	[°ssdc]	[°ssdc]	[m]		
3	50	75	36.782716	14.906565	156	T1	1,00

LEGENDA:

CI Ed	Classe dell'edificio
Lat.	Latitudine geografica del sito.
Long.	Longitudine geografica del sito.
Q_a	Altitudine geografica del sito.
C_{Top}	Categoria topografica. (Vedi NOTE)
S_T	Coefficiente di amplificazione topografica.
NOTE	[-] = Parametro non significativo per il tipo di calcolo effettuato.
	Categoria topografica.
	T1: Superficie pianeggiante, pendii e rilievi isolati con inclinazione media $i \leq 15^\circ$.
	T2: Pendii con inclinazione media $i > 15^\circ$.
	T3: Rilievi con larghezza in cresta molto minore che alla base e inclinazione media $15^\circ \leq i \leq 30^\circ$.
	T4: Rilievi con larghezza in cresta molto minore che alla base e inclinazione media $i > 30^\circ$.

PRINCIPALI ELEMENTI ANALISI SISMICA

Dir	M_{Str}	M_{SLU}	$M_{Ecc,SLU}$	M_{SLD}	$M_{Ecc,SLD}$	%T.M _{Ecc}	$\Sigma V_{Ed,SLU}$
	[N·s ² /m]	[N·s ² /m]	[N·s ² /m]	[N·s ² /m]	[N·s ² /m]	[%]	[N]
X	649 571	446 398	446 392	446 398	446 392	100,00	264 592
Y	649 571	446 398	446 380	446 398	446 380	100,00	264 592
Z	649 571	0	0	0	0	100,00	0

LEGENDA:

Dir	Direzione del sisma.
M_{Str}	Massa complessiva della struttura.
M_{SLU}	Massa eccitabile allo SLU.
$M_{Ecc,SLU}$	Massa Eccitata dal sisma allo SLU.
M_{SLD}	Massa eccitabile della struttura allo SLD, nelle direzioni X, Y, Z.
$M_{Ecc,SLD}$	Massa Eccitata dal sisma allo SLD.
%T.M_{Ecc}	Percentuale Totale di Masse Eccitate dal sisma.
$\Sigma V_{Ed,SLU}$	Tagliante totale, alla base, per sisma allo SLU.

RIEPILOGO MODI DI VIBRAZIONEMODI DI VIBRAZIONE N.15

Sp _{tr}	T	$a_{g,0}$	$a_{g,v}$	Γ	CM	%M.M	M_{Ecc}
	[s]	[m/s ²]	[m/s ²]			[%]	[N·s ² /m]
Modo Vibrazione n. 1							
SLU-X	0,294	0,593	0,000	57,745	0,1268	0,75	3 335
SLU-Y	0,294	0,593	0,000	517,993	1,1378	60,11	268 317
SLU-Z	0,000	0,000	1,091	0,000	0,0000	0,00	0
SLD-X	0,294	1,523	0,000	57,745	0,1268	0,75	3 335
SLD-Y	0,294	1,523	0,000	517,993	1,1378	60,11	268 317
SLD-Z	0,000	0,000	0,153	0,000	0,0000	0,00	0
Elast-X	-	1,523	0,000	-	-	-	-
Elast-Y	-	1,523	0,000	-	-	-	-

Sptr	T	a _{a,o}	a _{a,v}	Γ	CM	%M.M	M _{Ecc}
Elast-Z	-	0,000	1,091	-	-	-	-
Modo Vibrazione n. 2							
SLU-X	0,339	0,593	0,000	-501,988	-1,4592	56,45	251 992
SLU-Y	0,339	0,593	0,000	-226,998	-0,6599	11,54	51 528
SLU-Z	0,000	0,000	1,091	0,000	0,0000	0,00	0
SLD-X	0,339	1,523	0,000	-501,988	-1,4592	56,45	251 992
SLD-Y	0,339	1,523	0,000	-226,998	-0,6599	11,54	51 528
SLD-Z	0,000	0,000	0,153	0,000	0,0000	0,00	0
Elast-X	-	1,523	0,000	-	-	-	-
Elast-Y	-	1,523	0,000	-	-	-	-
Elast-Z	-	0,000	1,091	-	-	-	-
Modo Vibrazione n. 3							
SLU-X	0,324	0,593	0,000	-432,711	-1,1493	41,94	187 239
SLU-Y	0,324	0,593	0,000	332,540	0,8832	24,77	110 583
SLU-Z	0,000	0,000	1,091	0,000	0,0000	0,00	0
SLD-X	0,324	1,523	0,000	-432,711	-1,1493	41,94	187 239
SLD-Y	0,324	1,523	0,000	332,540	0,8832	24,77	110 583
SLD-Z	0,000	0,000	0,153	0,000	0,0000	0,00	0
Elast-X	-	1,523	0,000	-	-	-	-
Elast-Y	-	1,523	0,000	-	-	-	-
Elast-Z	-	0,000	1,091	-	-	-	-
Modo Vibrazione n. 4							
SLU-X	0,088	1,476	0,000	0,108	0,0000	0,00	0
SLU-Y	0,088	1,476	0,000	-125,401	-0,0247	3,52	15 725
SLU-Z	0,000	0,000	1,091	0,000	0,0000	0,00	0
SLD-X	0,088	1,225	0,000	0,108	0,0000	0,00	0
SLD-Y	0,088	1,225	0,000	-125,401	-0,0247	3,52	15 725
SLD-Z	0,000	0,000	0,153	0,000	0,0000	0,00	0
Elast-X	-	1,225	0,000	-	-	-	-
Elast-Y	-	1,225	0,000	-	-	-	-
Elast-Z	-	0,000	1,091	-	-	-	-
Modo Vibrazione n. 5							
SLU-X	0,155	0,910	0,000	60,951	0,0369	0,83	3 715
SLU-Y	0,155	0,910	0,000	3,299	0,0020	0,00	11
SLU-Z	0,000	0,000	1,091	0,000	0,0000	0,00	0
SLD-X	0,155	1,523	0,000	60,951	0,0369	0,83	3 715
SLD-Y	0,155	1,523	0,000	3,299	0,0020	0,00	11
SLD-Z	0,000	0,000	0,153	0,000	0,0000	0,00	0
Elast-X	-	1,523	0,000	-	-	-	-
Elast-Y	-	1,523	0,000	-	-	-	-
Elast-Z	-	0,000	1,091	-	-	-	-
Modo Vibrazione n. 6							
SLU-X	0,129	1,128	0,000	-10,532	-0,0044	0,02	111
SLU-Y	0,129	1,128	0,000	14,703	0,0062	0,05	216
SLU-Z	0,000	0,000	1,091	0,000	0,0000	0,00	0
SLD-X	0,129	1,512	0,000	-10,532	-0,0044	0,02	111
SLD-Y	0,129	1,512	0,000	14,703	0,0062	0,05	216
SLD-Z	0,000	0,000	0,153	0,000	0,0000	0,00	0
Elast-X	-	1,512	0,000	-	-	-	-
Elast-Y	-	1,512	0,000	-	-	-	-
Elast-Z	-	0,000	1,091	-	-	-	-
Modo Vibrazione n. 7							
SLU-X	0,000	2,229	0,000	0,000	0,0000	0,00	0
SLU-Y	0,000	2,229	0,000	0,000	0,0000	0,00	0
SLU-Z	0,000	0,000	1,091	0,000	0,0000	0,00	0
SLD-X	0,000	0,603	0,000	0,000	0,0000	0,00	0
SLD-Y	0,000	0,603	0,000	0,000	0,0000	0,00	0
SLD-Z	0,000	0,000	0,153	0,000	0,0000	0,00	0
Elast-X	-	0,603	0,000	-	-	-	-
Elast-Y	-	0,603	0,000	-	-	-	-
Elast-Z	-	0,000	1,091	-	-	-	-
Modo Vibrazione n. 8							
SLU-X	0,000	2,229	0,000	0,000	0,0000	0,00	0
SLU-Y	0,000	2,229	0,000	0,000	0,0000	0,00	0
SLU-Z	0,000	0,000	1,091	0,000	0,0000	0,00	0
SLD-X	0,000	0,603	0,000	0,000	0,0000	0,00	0
SLD-Y	0,000	0,603	0,000	0,000	0,0000	0,00	0
SLD-Z	0,000	0,000	0,153	0,000	0,0000	0,00	0
Elast-X	-	0,603	0,000	-	-	-	-
Elast-Y	-	0,603	0,000	-	-	-	-
Elast-Z	-	0,000	1,091	-	-	-	-
Modo Vibrazione n. 9							
SLU-X	0,000	2,229	0,000	0,000	0,0000	0,00	0
SLU-Y	0,000	2,229	0,000	0,000	0,0000	0,00	0
SLU-Z	0,000	0,000	1,091	0,000	0,0000	0,00	0
SLD-X	0,000	0,603	0,000	0,000	0,0000	0,00	0
SLD-Y	0,000	0,603	0,000	0,000	0,0000	0,00	0
SLD-Z	0,000	0,000	0,153	0,000	0,0000	0,00	0
Elast-X	-	0,603	0,000	-	-	-	-
Elast-Y	-	0,603	0,000	-	-	-	-
Elast-Z	-	0,000	1,091	-	-	-	-
Modo Vibrazione n. 10							
SLU-X	0,000	2,229	0,000	0,000	0,0000	0,00	0
SLU-Y	0,000	2,229	0,000	0,000	0,0000	0,00	0
SLU-Z	0,000	0,000	1,091	0,000	0,0000	0,00	0
SLD-X	0,000	0,603	0,000	0,000	0,0000	0,00	0

Sptr	T	a _{q,o}	a _{q,v}	Γ	CM	%M.M	M _{Ecc}
SLD-Y	0,000	0,603	0,000	0,000	0,0000	0,00	0
SLD-Z	0,000	0,000	0,153	0,000	0,0000	0,00	0
Elast-X	-	0,603	0,000	-	-	-	-
Elast-Y	-	0,603	0,000	-	-	-	-
Elast-Z	-	0,000	1,091	-	-	-	-
Modo Vibrazione n. 11							
SLU-X	0,000	2,229	0,000	0,000	0,0000	0,00	0
SLU-Y	0,000	2,229	0,000	0,000	0,0000	0,00	0
SLU-Z	0,000	0,000	1,091	0,000	0,0000	0,00	0
SLD-X	0,000	0,603	0,000	0,000	0,0000	0,00	0
SLD-Y	0,000	0,603	0,000	0,000	0,0000	0,00	0
SLD-Z	0,000	0,000	0,153	0,000	0,0000	0,00	0
Elast-X	-	0,603	0,000	-	-	-	-
Elast-Y	-	0,603	0,000	-	-	-	-
Elast-Z	-	0,000	1,091	-	-	-	-
Modo Vibrazione n. 12							
SLU-X	0,000	2,229	0,000	0,000	0,0000	0,00	0
SLU-Y	0,000	2,229	0,000	0,000	0,0000	0,00	0
SLU-Z	0,000	0,000	1,091	0,000	0,0000	0,00	0
SLD-X	0,000	0,603	0,000	0,000	0,0000	0,00	0
SLD-Y	0,000	0,603	0,000	0,000	0,0000	0,00	0
SLD-Z	0,000	0,000	0,153	0,000	0,0000	0,00	0
Elast-X	-	0,603	0,000	-	-	-	-
Elast-Y	-	0,603	0,000	-	-	-	-
Elast-Z	-	0,000	1,091	-	-	-	-
Modo Vibrazione n. 13							
SLU-X	0,000	2,229	0,000	0,000	0,0000	0,00	0
SLU-Y	0,000	2,229	0,000	0,000	0,0000	0,00	0
SLU-Z	0,000	0,000	1,091	0,000	0,0000	0,00	0
SLD-X	0,000	0,603	0,000	0,000	0,0000	0,00	0
SLD-Y	0,000	0,603	0,000	0,000	0,0000	0,00	0
SLD-Z	0,000	0,000	0,153	0,000	0,0000	0,00	0
Elast-X	-	0,603	0,000	-	-	-	-
Elast-Y	-	0,603	0,000	-	-	-	-
Elast-Z	-	0,000	1,091	-	-	-	-
Modo Vibrazione n. 14							
SLU-X	0,000	2,229	0,000	0,000	0,0000	0,00	0
SLU-Y	0,000	2,229	0,000	0,000	0,0000	0,00	0
SLU-Z	0,000	0,000	1,091	0,000	0,0000	0,00	0
SLD-X	0,000	0,603	0,000	0,000	0,0000	0,00	0
SLD-Y	0,000	0,603	0,000	0,000	0,0000	0,00	0
SLD-Z	0,000	0,000	0,153	0,000	0,0000	0,00	0
Elast-X	-	0,603	0,000	-	-	-	-
Elast-Y	-	0,603	0,000	-	-	-	-
Elast-Z	-	0,000	1,091	-	-	-	-
Modo Vibrazione n. 15							
SLU-X	0,000	2,229	0,000	0,000	0,0000	0,00	0
SLU-Y	0,000	2,229	0,000	0,000	0,0000	0,00	0
SLU-Z	0,000	0,000	1,091	0,000	0,0000	0,00	0
SLD-X	0,000	0,603	0,000	0,000	0,0000	0,00	0
SLD-Y	0,000	0,603	0,000	0,000	0,0000	0,00	0
SLD-Z	0,000	0,000	0,153	0,000	0,0000	0,00	0
Elast-X	-	0,603	0,000	-	-	-	-
Elast-Y	-	0,603	0,000	-	-	-	-
Elast-Z	-	0,000	1,091	-	-	-	-

LEGENDA:

Sptr	Spettro di risposta considerato.
T	Periodo del Modo di vibrazione.
a_{q,o}	Valore dell'Accelerazione Spettrale Orizzontale, riferita al corrispondente periodo.
a_{q,v}	Valore dell'Accelerazione Spettrale Verticale, riferita al corrispondente periodo.
Γ	Coefficiente di partecipazione.
CM	Coefficiente modale del modo di vibrazione.
%M.M	Percentuale di mobilitazione delle masse nel modo di vibrazione.
M_{Ecc}	Massa Eccitata nel modo di vibrazione.
SLU-X	Spettro di progetto allo S.L. Ultimo per sisma in direzione X.
SLU-Y	Spettro di progetto allo S.L. Ultimo per sisma in direzione Y.
SLU-Z	Spettro di progetto allo S.L. Ultimo per sisma in direzione Z.
SLD-X	Spettro di progetto allo S.L. di Danno per sisma in direzione X.
SLD-Y	Spettro di progetto allo S.L. di Danno per sisma in direzione Y.
SLD-Z	Spettro di progetto allo S.L. di Danno per sisma in direzione Z.
Elast-X	Spettro Elastico per sisma in direzione X.
Elast-Y	Spettro Elastico per sisma in direzione Y.
Elast-Z	Spettro Elastico per sisma in direzione Z.

CURVA DI CAPACITÀ

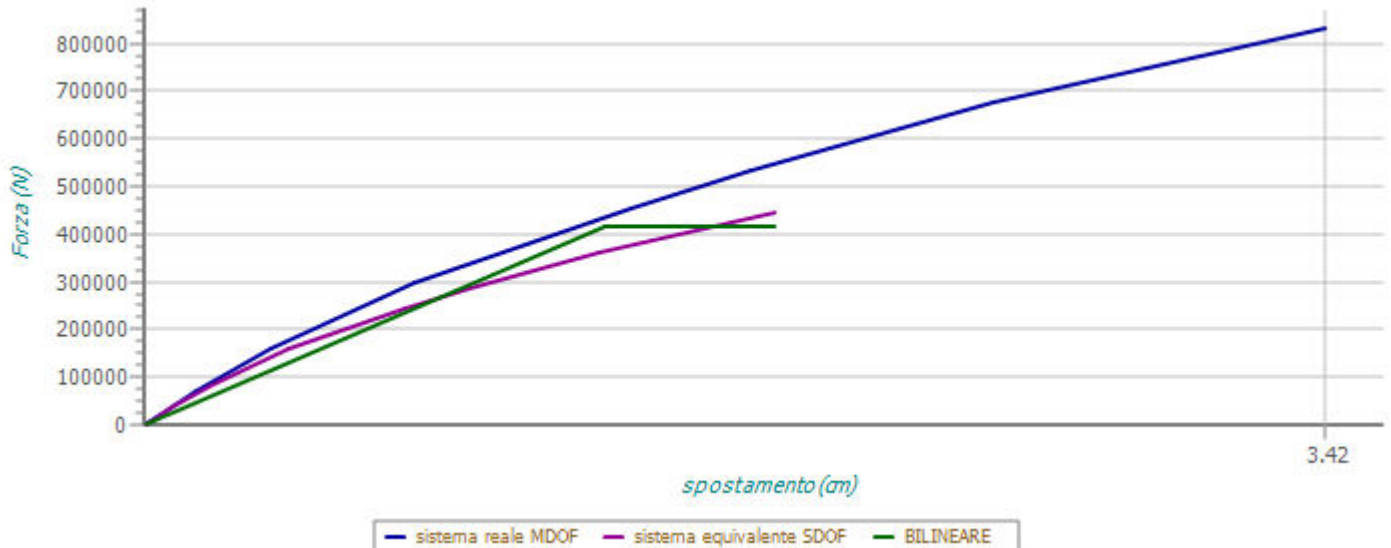
													Curva di capacità		
Γ	K _{Stop}	M _{Eq}	SLV		(d, F) _{Snv,Blt}		A _{SDOF}	T	PGA	PGA _{SLD} piani	α _u /α ₁	q*	Pnt Cntr		
			SLD	K _{sec}	F	δ							X	Y	Z
		[N·s ² /m]		[N/cm]	[N]	[cm]	[N·m]	[s]					[m]	[m]	[m]
Direzione sisma in +X, Ecc+Y - Proporzionale I Modo vibrazione															
1,871	3	210 847	SLV	310 513	414 609	1,335	4 802	0,518	0,107	1,759	0,00	2,71	-2,97	21,03	7,20
			SLD	310 513	414 609	1,335	4 802	0,518	0,143						

Curva di capacità														
Γ	K_{Stop}	M_{Eq}	SLV	$(d, F)_{Srv, Blt}$		A_{SDOF}		T	PGA	PGA_{SLD} piani	α_u/α_1	q^*	X	Y
			SLD	K_{sec}	F	δ								Z
		[N·s²/m]		[N/cm]	[N]	[cm]		[N·m]	[s]				[m]	[m]

Punti della curva di capacità (Forza / Spostamento).

Punto	Forza [N]	Spostamento [cm]	Punto	Forza [N]	Spostamento [cm]	Punto	Forza [N]	Spostamento [cm]
0	0	0,0000	1	19 456	0,0452	2	72 607	0,1491
3	160 913	0,3650	4	298 891	0,7846	5	454 542	1,4069
6	532 408	1,7566	7	676 625	2,4576	8	832 276	3,4151

Curva di CAPACITA'



CAPACITA' DI SPOSTAMENTO DELL'EDIFICIO ALLO SLV (cm): 3,415	CAPACITA' DI SPOSTAMENTO DELL'EDIFICIO ALLO SLD (cm): 3,415
Domanda spostamento allo SLV (cm): 7,255	Domanda spostamento allo SLD (cm): 1,463

Verifica allo SLV: Non Verificata

Verifica allo SLD: Verificata

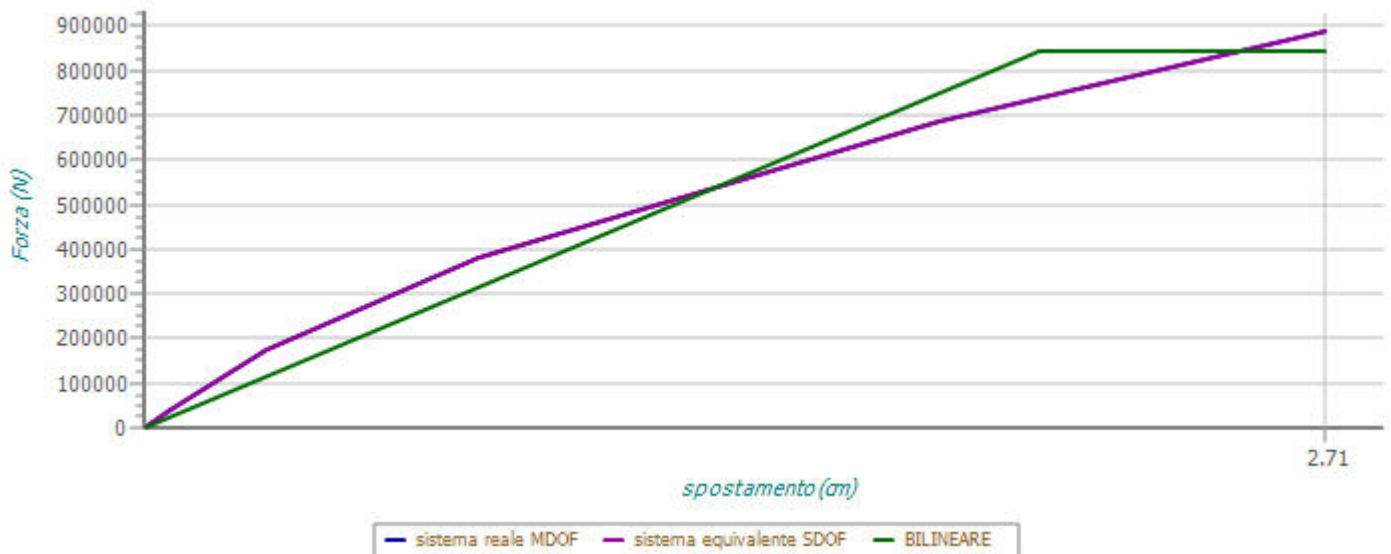
Direzione sisma in +X, Ecc+Y - Proporzionale alle masse

1,000	3	446 398	SLV	411 156	843 029	2,050	14 171	0,655	0,121	3,590	0,00	2,48	-2,97	21,03	7,20
			SLD	411 156	843 029	2,050	14 171	0,655	0,168						

Punti della curva di capacità (Forza / Spostamento).

Punto	Forza [N]	Spostamento [cm]	Punto	Forza [N]	Spostamento [cm]	Punto	Forza [N]	Spostamento [cm]
0	0	0,0000	1	40 686	0,0603	2	172 817	0,2796
3	379 271	0,7649	4	685 385	1,8226	5	888 814	2,7061

Curva di CAPACITA'



CAPACITA' DI SPOSTAMENTO DELL'EDIFICIO ALLO SLV (cm): 2,706	CAPACITA' DI SPOSTAMENTO DELL'EDIFICIO ALLO SLD (cm): 2,706
Domanda spostamento allo SLV (cm): 5,094	Domanda spostamento allo SLD (cm): 0,989

Verifica allo SLV: Non Verificata

Verifica allo SLD: Verificata

Direzione sisma in +X, Ecc-Y - Proporzionale I Modo vibrazione

1,871	3	210 847	SLV	303 690	419 702	1,382	4 997	0,524	0,109	0,122	0,00	2,68	-2,97	21,03	7,20
			SLD	303 690	419 702	1,382	4 997	0,524	0,146						

Punti della curva di capacità (Forza / Spostamento).

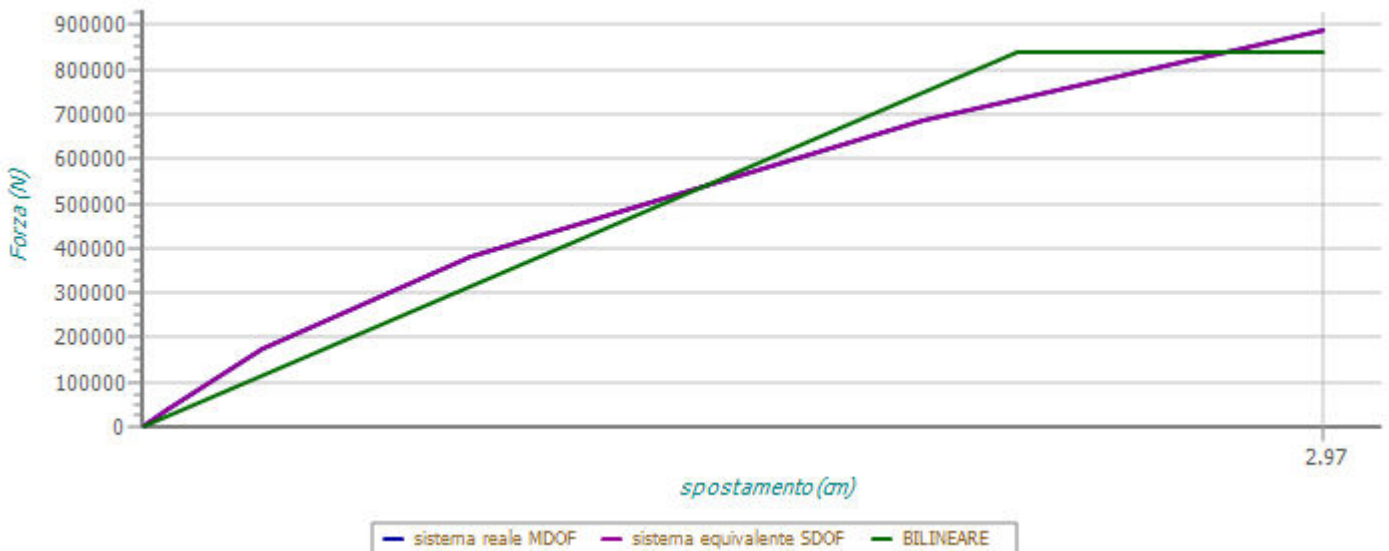
Curva di capacità															
Γ	K_{Stop}	M_{Eq}	SLV	$(d, F)_{S_{nv}, Blt}$					Pnt Cntr						
			SLD	K_{sec}	F	δ	A_{SDOF}	T	PGA	PGA_{SLD} piani	α_u/α_1	q^*	X	Y	Z
		[N·s²/m]		[N/cm]	[N]	[cm]	[N·m]	[s]					[m]	[m]	[m]
Punto		Forza [N]		Spostamento [cm]	Punto		Forza [N]		Spostamento [cm]	Punto		Forza [N]		Spostamento [cm]	
0		0		0,0000	1		22 703		0,0514	2		84 724		0,1776	
3		187 767		0,4423	4		348 771		0,9924	5		530 398		1,7767	
6		621 258		2,2176	7		789 543		3,1424	8		834 950		3,5199	

Curva di CAPACITA'



CAPACITA' DI SPOSTAMENTO DELL'EDIFICIO ALLO SLV (cm): 3,520							CAPACITA' DI SPOSTAMENTO DELL'EDIFICIO ALLO SLD (cm): 3,520										
Domanda spostamento allo SLV (cm): 7,361							Domanda spostamento allo SLD (cm): 1,480										
Verifica allo SLV: Non Verificata							Verifica allo SLD: Verificata										
Direzione sisma in +X, Ecc-Y - Proporzionale alle masse																	
1,000	3	446 398	SLV SLD	380 324 380 324	839 275 839 275	2,207 2,207	15 707 15 707	0,681 0,681	0,128 0,178	3,162	0,00	2,40	-2,97	21,03	7,20		
Punti della curva di capacità (Forza / Spostamento).																	
Punto		Forza [N]		Spostamento [cm]		Punto		Forza [N]		Spostamento [cm]		Punto		Forza [N]		Spostamento [cm]	
0		0		0,0000		1		40 685		0,0648		2		172 815		0,3030	
3		379 268		0,8288		4		685 380		1,9684		5		888 807		2,9748	

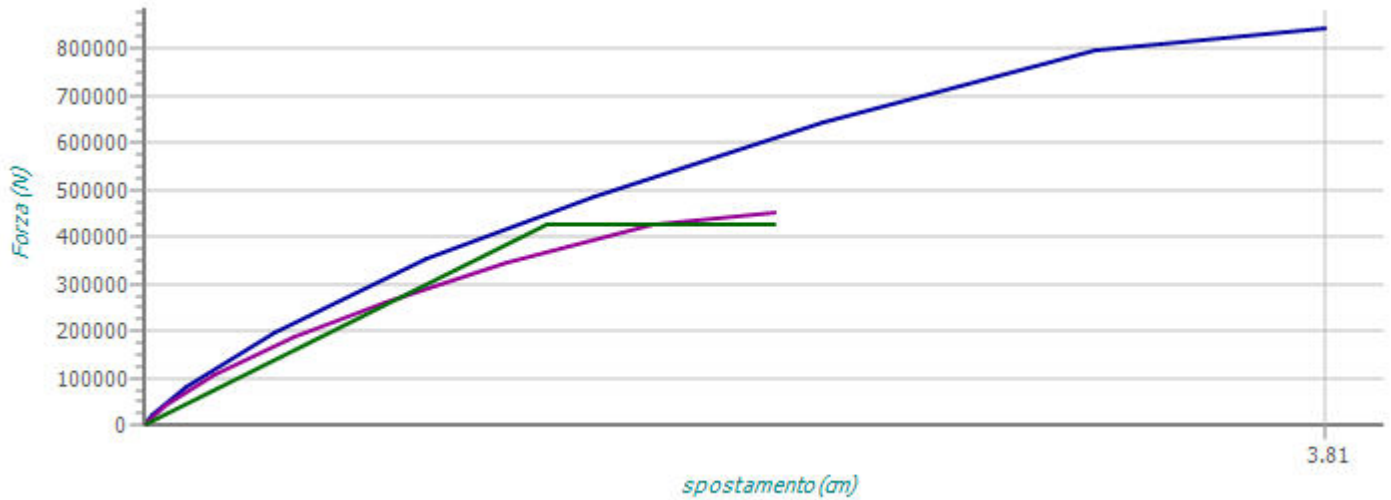
Curva di CAPACITA'



CAPACITA' DI SPOSTAMENTO DELL'EDIFICIO ALLO SLV (cm): 2,975							CAPACITA' DI SPOSTAMENTO DELL'EDIFICIO ALLO SLD (cm): 2,975										
Domanda spostamento allo SLV (cm): 5,296							Domanda spostamento allo SLD (cm): 1,029										
Verifica allo SLV: Non Verificata							Verifica allo SLD: Verificata										
Direzione sisma in -X, Ecc+Y - Proporzionale I Modo vibrazione																	
1,871	3	210 847	SLV SLD	327 124 327 124	425 211 425 211	1,300 1,300	5 897 5 897	0,504 0,504	0,124 0,164	0,125	0,00	2,65	-2,97	21,03	7,20		
Punti della curva di capacità (Forza / Spostamento).																	
Punto		Forza [N]		Spostamento [cm]		Punto		Forza [N]		Spostamento [cm]		Punto		Forza [N]		Spostamento [cm]	

Curva di capacità															
Γ	K _{Stop}	M _{Eq}	SLV	(d, F) _{Snv,Blt}				Pnt Cntr							
			SLD	K _{sec}	F	δ	A _{SDOF}	T	PGA	PGA _{SLD} piani	α _u /α ₁	q*	X	Y	Z
		[N·s ² /m]		[N/cm]	[N]	[cm]	[N·m]	[s]					[m]	[m]	[m]
0		0		0,0000	1		19 456		0,0256	2		79 663		0,1342	
3		197 222		0,4210	4		352 616		0,9121	5		486 410		1,4533	
6		642 061		2,1940	7		797 712		3,0680	8		843 646		3,8101	

Curva di CAPACITA'



— sistema reale MDOF — sistema equivalente SDOF — BILINEARE

CAPACITA' DI SPOSTAMENTO DELL'EDIFICIO ALLO SLV (cm): 3,810

CAPACITA' DI SPOSTAMENTO DELL'EDIFICIO ALLO SLD (cm): 3,810

Domanda spostamento allo SLV (cm): 6,997

Domanda spostamento allo SLD (cm): 1,426

Verifica allo SLV: Non Verificata

Verifica allo SLD: Verificata

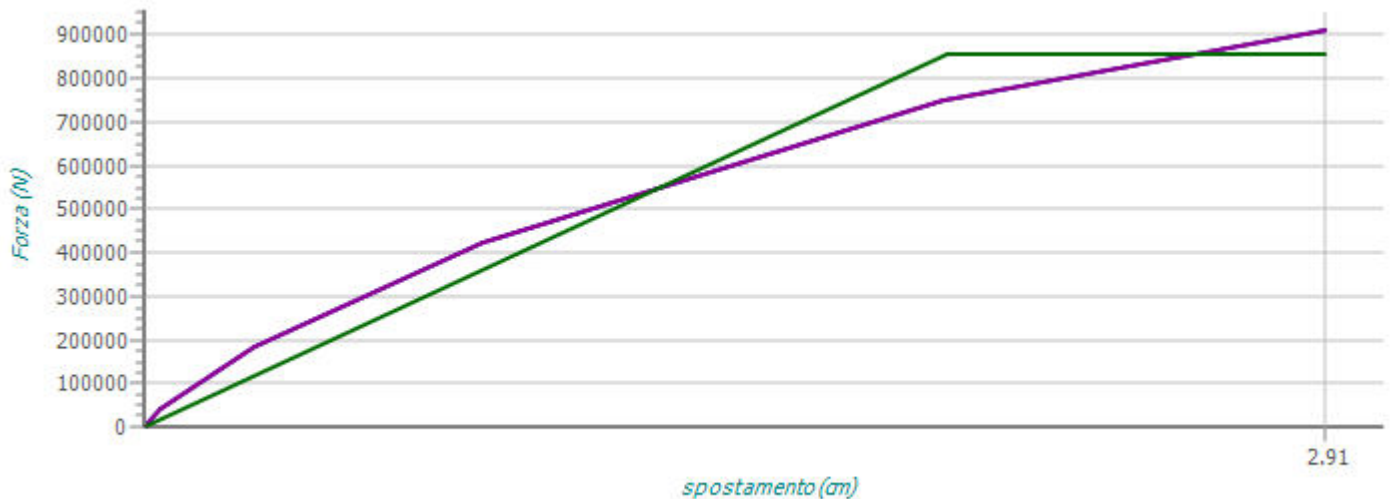
Direzione sisma in -X, Ecc+Y - Proporzionale alle masse

1,000	3	446 398	SLV	432 307	855 856	1,980	16 418	0,638	0,133	2,599	0,00	2,51	-2,97	21,03	7,20
			SLD	432 307	855 856	1,980	16 418	0,638	0,185						

Punti della curva di capacità (Forza / Spostamento).

Punto	Forza [N]	Spostamento [cm]	Punto	Forza [N]	Spostamento [cm]	Punto	Forza [N]	Spostamento [cm]
0	0	0,0000	1	40 686	0,0418	2	184 173	0,2710
3	422 566	0,8322	4	748 051	1,9667	5	910 794	2,9082

Curva di CAPACITA'



— sistema reale MDOF — sistema equivalente SDOF — BILINEARE

CAPACITA' DI SPOSTAMENTO DELL'EDIFICIO ALLO SLV (cm): 2,908

CAPACITA' DI SPOSTAMENTO DELL'EDIFICIO ALLO SLD (cm): 2,908

Domanda spostamento allo SLV (cm): 4,968

Domanda spostamento allo SLD (cm): 0,965

Verifica allo SLV: Non Verificata

Verifica allo SLD: Verificata

Direzione sisma in -X, Ecc-Y - Proporzionale I Modo vibrazione

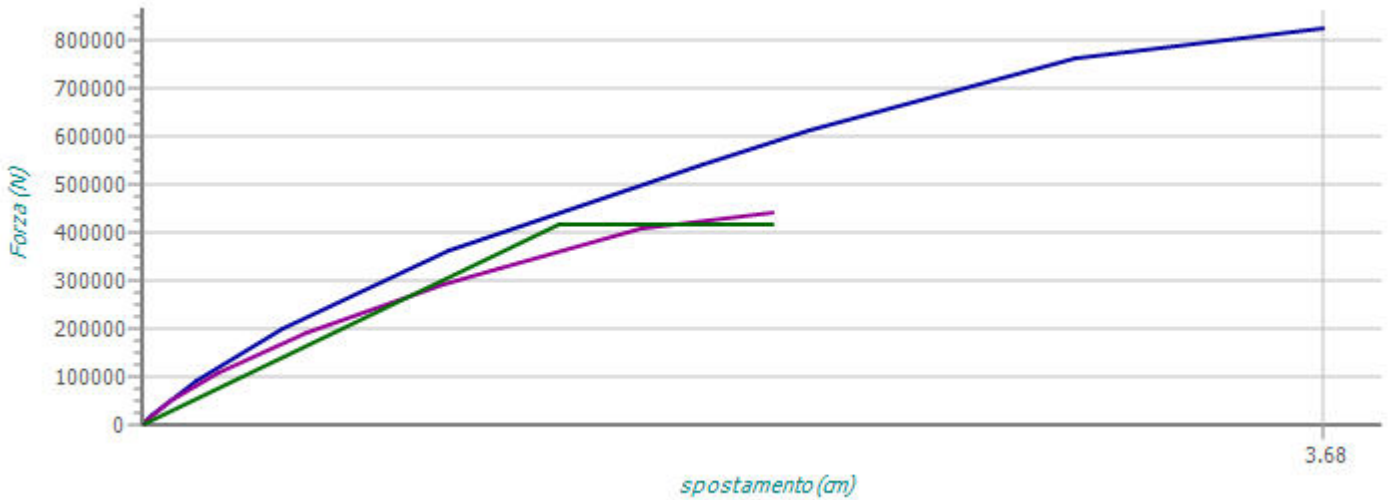
1,871	3	210 847	SLV	322 024	417 086	1,295	5 494	0,508	0,118	0,122	0,00	2,70	-2,97	21,03	7,20
			SLD	322 024	417 086	1,295	5 494	0,508	0,157						

Punti della curva di capacità (Forza / Spostamento).

Punto	Forza [N]	Spostamento [cm]	Punto	Forza [N]	Spostamento [cm]	Punto	Forza [N]	Spostamento [cm]
0	0	0,0000	1	22 703	0,0311	2	92 044	0,1674
3	200 493	0,4379	4	361 497	0,9557	5	543 124	1,7466

Curva di capacità														
Γ	K_{Stop}	M_{Eq}	SLV	$(d, F)_{Srv, Blt}$		A_{SDOF}	T	PGA	PGA_{SLD} piani	α_u/α_1	q^*	Pnt Cntr		
			SLD	K_{sec}	F							X	Y	Z
		[N·s ² /m]		[N/cm]	[N]	[N·m]	[s]					[m]	[m]	[m]
6		610 824		2,0766	7	763 320		2,9051	8		825 111			3,6754

Curva di CAPACITA'



— sistema reale MDOF — sistema equivalente SDOF — BILINEARE

CAPACITA' DI SPOSTAMENTO DELL'EDIFICIO ALLO SLV (cm): 3,675

Domanda spostamento allo SLV (cm): 7,078

Verifica allo SLV: Non Verificata

CAPACITA' DI SPOSTAMENTO DELL'EDIFICIO ALLO SLD (cm): 3,675

Domanda spostamento allo SLD (cm): 1,437

Verifica allo SLD: Verificata

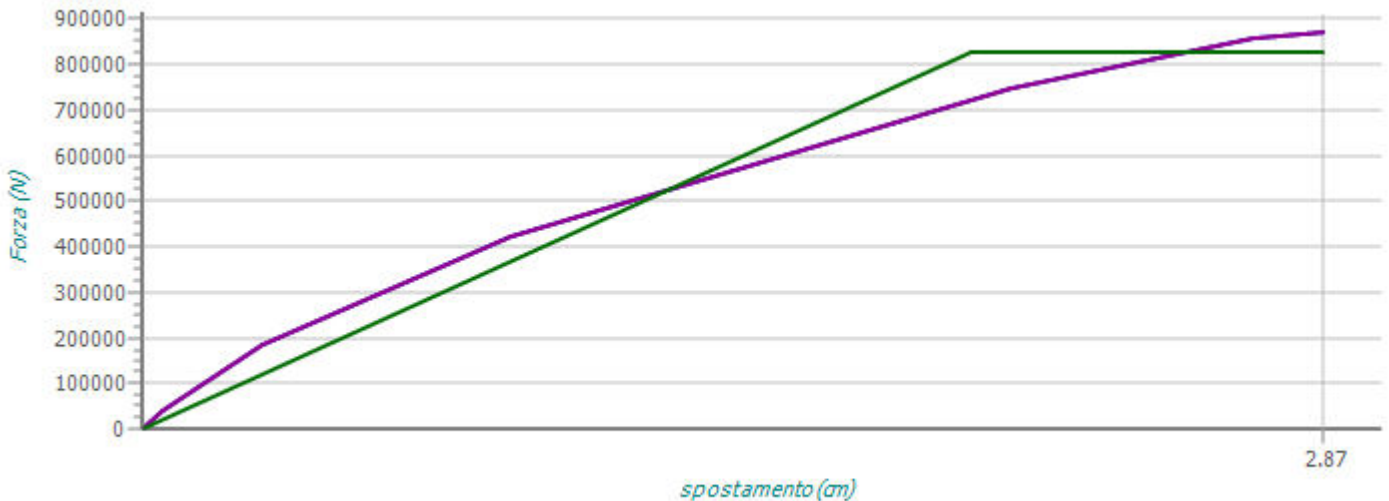
Direzione sisma in -X, Ecc-Y - Proporzionale alle masse

1,000	3	446 398	SLV	410 237	827 498	2,017	15 432	0,655	0,128	0,154	0,00	2,53	-2,97	21,03	7,20
			SLD	410 237	827 498	2,017	15 432	0,655	0,178						

Punti della curva di capacità (Forza / Spostamento).

Punto	Forza [N]	Spostamento [cm]	Punto	Forza [N]	Spostamento [cm]	Punto	Forza [N]	Spostamento [cm]
0	0	0,0000	1	40 685	0,0468	2	184 171	0,2946
3	422 562	0,8988	4	748 046	2,1172	5	858 779	2,7055
6	871 755	2,8734						

Curva di CAPACITA'



— sistema reale MDOF — sistema equivalente SDOF — BILINEARE

CAPACITA' DI SPOSTAMENTO DELL'EDIFICIO ALLO SLV (cm): 2,873

Domanda spostamento allo SLV (cm): 5,100

Verifica allo SLV: Non Verificata

CAPACITA' DI SPOSTAMENTO DELL'EDIFICIO ALLO SLD (cm): 2,873

Domanda spostamento allo SLD (cm): 0,990

Verifica allo SLD: Verificata

Direzione sisma in +Y, Ecc+X - Proporzionale I Modo vibrazione

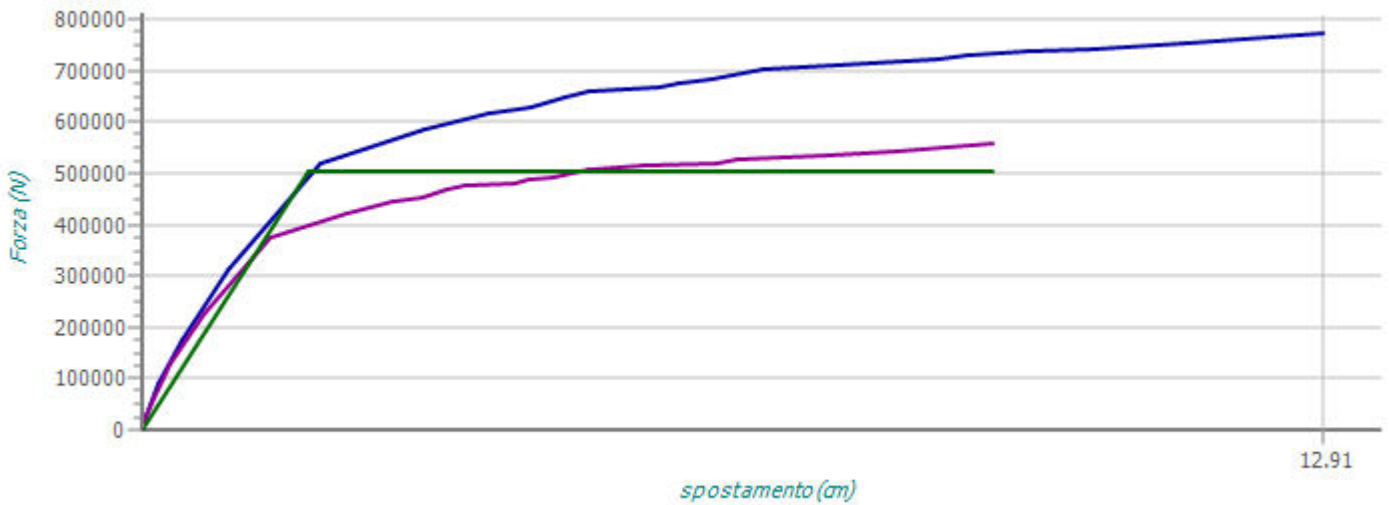
1,386	3	227 104	SLV	276 757	504 073	1,821	42 374	0,569	0,480	0,086	1,32	2,40	-6,78	27,58	7,20
			SLD	276 757	504 073	1,821	42 374	0,569	0,665						

Punti della curva di capacità (Forza / Spostamento).

Punto	Forza [N]	Spostamento [cm]	Punto	Forza [N]	Spostamento [cm]	Punto	Forza [N]	Spostamento [cm]
0	0	0,0000	1	27 309	0,0448	2	89 004	0,1802
3	176 647	0,4366	4	313 590	0,9434	5	517 925	1,9386
6	584 652	3,0803	7	618 511	3,7949	8	629 050	4,2500
9	650 165	4,6188	10	658 856	4,8769	11	666 415	5,6429

Curva di capacità															
Γ	K _{Stop}	M _{Eq}	SLV	(d, F) _{Srv,Blt}				Pnt Cntr							
			SLD	K _{sec}	F	δ	A _{SDOF}	T	PGA	PGA _{SLD} piani	α _u /α ₁	q*	X	Y	Z
		[N·s²/m]		[N/cm]	[N]	[cm]	[N·m]	[s]					[m]	[m]	[m]
12		674 866		5,8625	13		682 727		6,2206	14		701 961		6,7801	
15		712 519		7,5795	16		722 655		8,6953	17		729 294		9,0237	
18		738 183		9,6743	19		744 168		10,3790	20		753 262		11,3999	
21		774 140		12,9096											

Curva di CAPACITA'



CAPACITA' DI SPOSTAMENTO DELL'EDIFICIO ALLO SLV (cm): 12,910

CAPACITA' DI SPOSTAMENTO DELL'EDIFICIO ALLO SLD (cm): 12,910

Domanda spostamento allo SLV (cm): 6,107

Domanda spostamento allo SLD (cm): 1,192

Verifica allo SLV: Verificata

Verifica allo SLD: Verificata

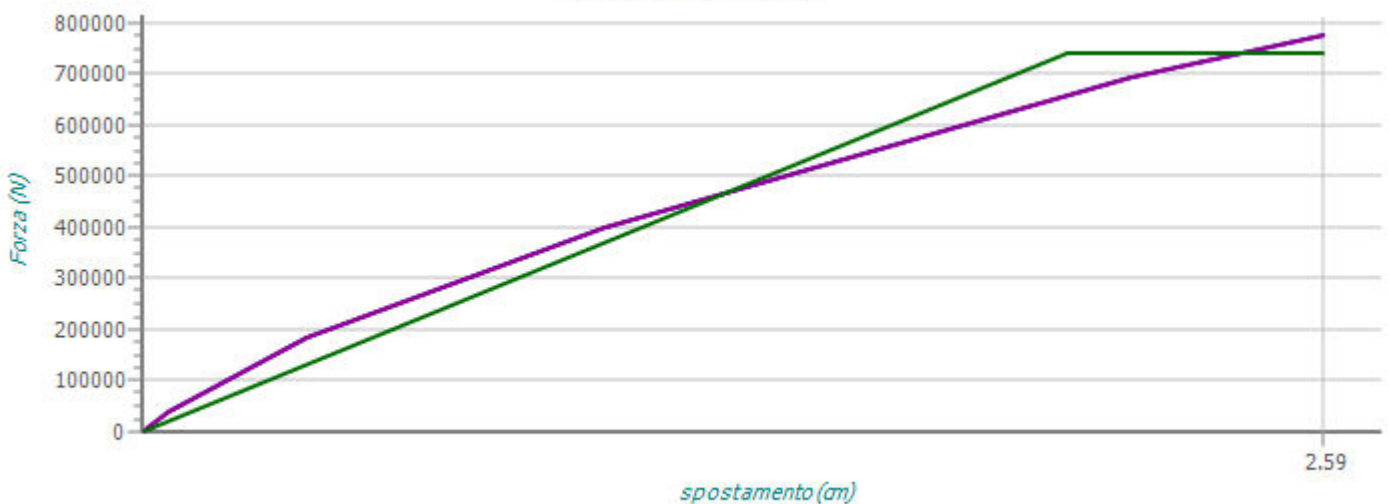
Direzione sisma in +Y, Ecc+X - Proporzionale alle masse

1,000	3	446 398	SLV	365 449	741 021	2,028	11 674	0,694	0,109	1,721	0,00	2,66	-6,78	27,58	7,20
			SLD	365 449	741 021	2,028	11 674	0,694	0,152						

Punti della curva di capacità (Forza / Spostamento).

Punto	Forza [N]	Spostamento [cm]	Punto	Forza [N]	Spostamento [cm]	Punto	Forza [N]	Spostamento [cm]
0	0	0,0000	1	40 836	0,0591	2	184 851	0,3583
3	398 862	1,0125	4	695 133	2,1711	5	776 804	2,5892

Curva di CAPACITA'



CAPACITA' DI SPOSTAMENTO DELL'EDIFICIO ALLO SLV (cm): 2,589

CAPACITA' DI SPOSTAMENTO DELL'EDIFICIO ALLO SLD (cm): 2,589

Domanda spostamento allo SLV (cm): 5,403

Domanda spostamento allo SLD (cm): 1,049

Verifica allo SLV: Non Verificata

Verifica allo SLD: Verificata

Direzione sisma in +Y, Ecc-X - Proporzionale I Modo vibrazione

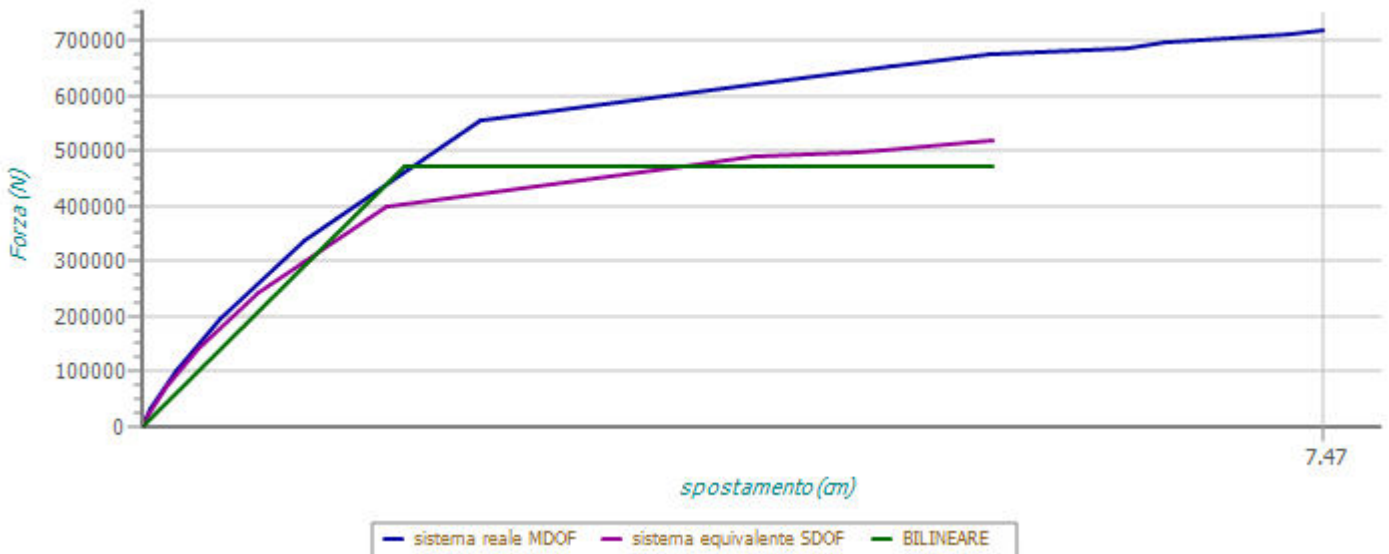
1,386	3	227 104	SLV	286 059	473 335	1,655	21 597	0,560	0,284	0,088	1,30	2,56	-6,78	27,58	7,20
			SLD	286 059	473 335	1,655	21 597	0,560	0,391						

Punti della curva di capacità (Forza / Spostamento).

Punto	Forza [N]	Spostamento [cm]	Punto	Forza [N]	Spostamento [cm]	Punto	Forza [N]	Spostamento [cm]
0	0	0,0000	1	31 266	0,0517	2	101 899	0,2100
3	196 356	0,4963	4	336 588	1,0241	5	555 700	2,1402

Curva di capacità																
Γ	K_{Stop}	M_{Eq}	SLV	(d, F) _{Srv,Blt}										Pnt Cntr		
			SLD	K_{sec}	F		δ	A_{SDOF}		T	PGA	PGA_{SLD} piani	α_u/α_1	q*	X	Y
		[N·s²/m]		[N/cm]	[N]	[cm]	[N·m]	[s]						[m]	[m]	[m]
6		655 079		4,7373	7		677 459		5,3531	8		687 969			6,2366	
9		696 623		6,4721	10		713 445		7,2560	11		720 108			7,4683	

Curva di CAPACITA'



CAPACITA' DI SPOSTAMENTO DELL'EDIFICIO ALLO SLV (cm): 7,468

CAPACITA' DI SPOSTAMENTO DELL'EDIFICIO ALLO SLD (cm): 7,468

Domanda spostamento allo SLV (cm): 5,970

Domanda spostamento allo SLD (cm): 1,172

Verifica allo SLV: Verificata

Verifica allo SLD: Verificata

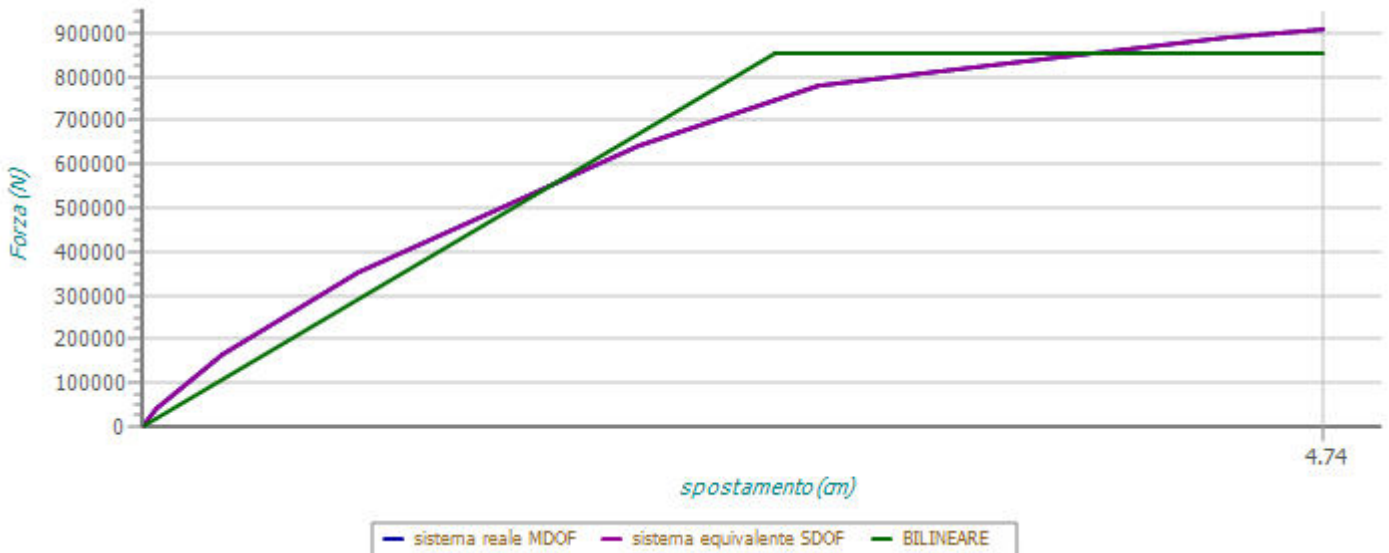
Direzione sisma in +Y, Ecc-X - Proporzionale alle masse

1,000	3	446 398	SLV	335 281	852 116	2,541	29 569	0,725	0,191	0,167	0,00	2,22	-6,78	27,58	7,20
			SLD	335 281	852 116	2,541	29 569	0,725	0,266						

Punti della curva di capacità (Forza / Spostamento).

Punto	Forza [N]	Spostamento [cm]	Punto	Forza [N]	Spostamento [cm]	Punto	Forza [N]	Spostamento [cm]
0	0	0,0000	1	40 836	0,0599	2	165 675	0,3192
3	351 014	0,8706	4	640 605	1,9976	5	781 218	2,7166
6	890 689	4,3565	7	908 209	4,7408			

Curva di CAPACITA'



CAPACITA' DI SPOSTAMENTO DELL'EDIFICIO ALLO SLV (cm): 4,741

CAPACITA' DI SPOSTAMENTO DELL'EDIFICIO ALLO SLD (cm): 4,741

Domanda spostamento allo SLV (cm): 5,641

Domanda spostamento allo SLD (cm): 1,096

Verifica allo SLV: Non Verificata

Verifica allo SLD: Verificata

Direzione sisma in -Y, Ecc+X - Proporzionale I Modo vibrazione

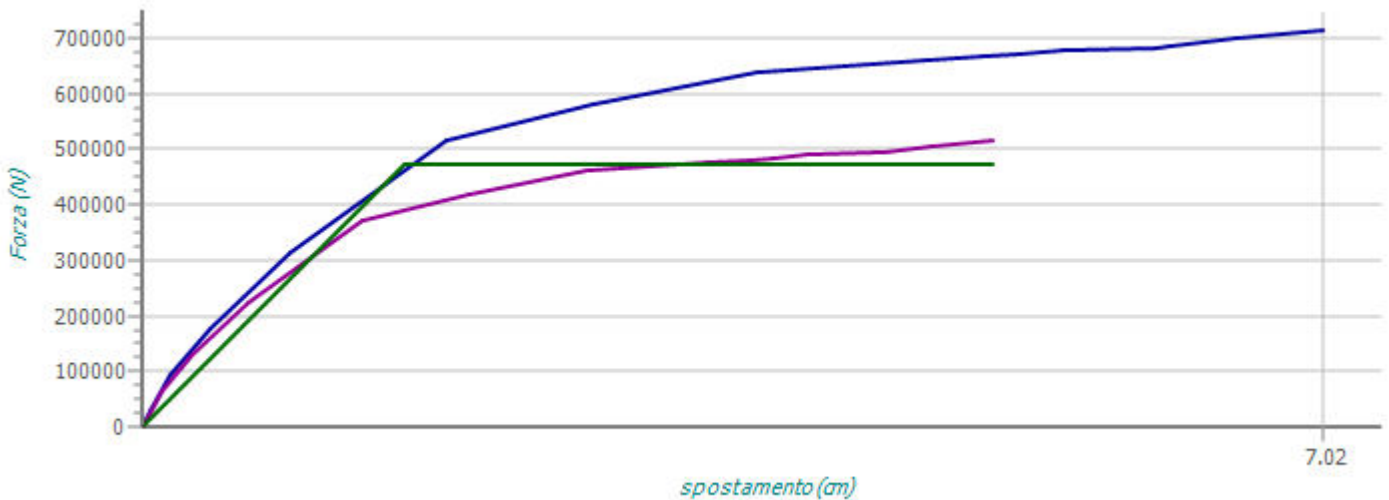
1,386	3	227 104	SLV	301 935	471 126	1,560	20 205	0,545	0,277	0,091	1,23	2,57	-6,78	27,58	7,20
			SLD	301 935	471 126	1,560	20 205	0,545	0,378						

Punti della curva di capacità (Forza / Spostamento).

Punto	Forza [N]	Spostamento [cm]	Punto	Forza [N]	Spostamento [cm]	Punto	Forza [N]	Spostamento [cm]
0	0	0,0000	1	27 309	0,0436	2	91 978	0,1686
3	177 851	0,4052	4	312 027	0,8811	5	514 441	1,8165
6	581 167	2,6826	7	639 564	3,6633	8	658 971	4,6632

Curva di capacità															
Γ	K_{Stop}	M_{Eq}	SLV		(d, F) _{Srv,Blt}								Pnt Cntr		
			SLD	K_{sec}	F	δ	A_{SDOF}	T	PGA	PGA _{SLD} piani	α_u/α_1	q*	X	Y	Z
		[N·s²/m]		[N/cm]	[N]	[cm]	[N·m]	[s]					[m]	[m]	[m]
9		665 915		5,0012	10		671 377		5,2065	11		677 161		5,4827	
12		682 623		6,0325	13		685 458		6,1114	14		698 820		6,5026	
15		713 906		7,0235											

Curva di CAPACITA'



— sistema reale MDOF — sistema equivalente SDOF — BILINEARE

CAPACITA' DI SPOSTAMENTO DELL'EDIFICIO ALLO SLV (cm): 7,023

CAPACITA' DI SPOSTAMENTO DELL'EDIFICIO ALLO SLD (cm): 7,023

Domanda spostamento allo SLV (cm): 5,752

Domanda spostamento allo SLD (cm): 1,141

Verifica allo SLV: Verificata

Verifica allo SLD: Verificata

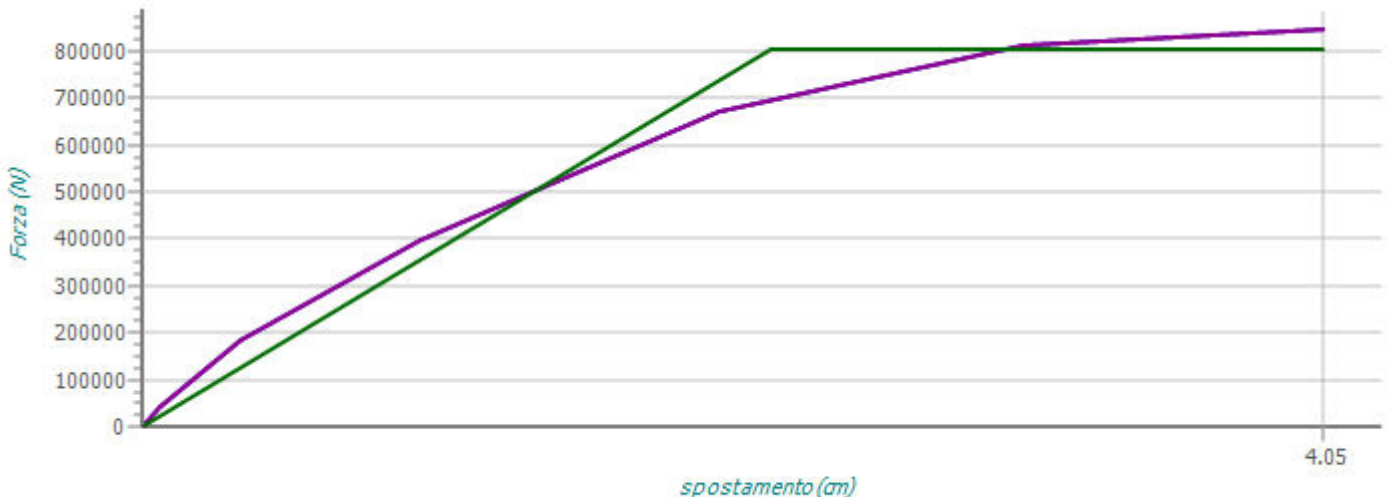
Direzione sisma in -Y, Ecc+X - Proporzionale alle masse

1,000	3	446 398	SLV	373 907	804 814	2,152	23 894	0,687	0,172	0,150	0,00	2,48	-6,78	27,58	7,20
			SLD	373 907	804 814	2,152	23 894	0,687	0,240						

Punti della curva di capacità (Forza / Spostamento).

Punto	Forza [N]	Spostamento [cm]	Punto	Forza [N]	Spostamento [cm]	Punto	Forza [N]	Spostamento [cm]
0	0	0,0000	1	40 836	0,0624	2	184 851	0,3339
3	398 862	0,9517	4	673 363	1,9747	5	813 976	3,0189
6	846 925	4,0452						

Curva di CAPACITA'



— sistema reale MDOF — sistema equivalente SDOF — BILINEARE

CAPACITA' DI SPOSTAMENTO DELL'EDIFICIO ALLO SLV (cm): 4,045

CAPACITA' DI SPOSTAMENTO DELL'EDIFICIO ALLO SLD (cm): 4,045

Domanda spostamento allo SLV (cm): 5,342

Domanda spostamento allo SLD (cm): 1,037

Verifica allo SLV: Non Verificata

Verifica allo SLD: Verificata

Direzione sisma in -Y, Ecc-X - Proporzionale I Modo vibrazione

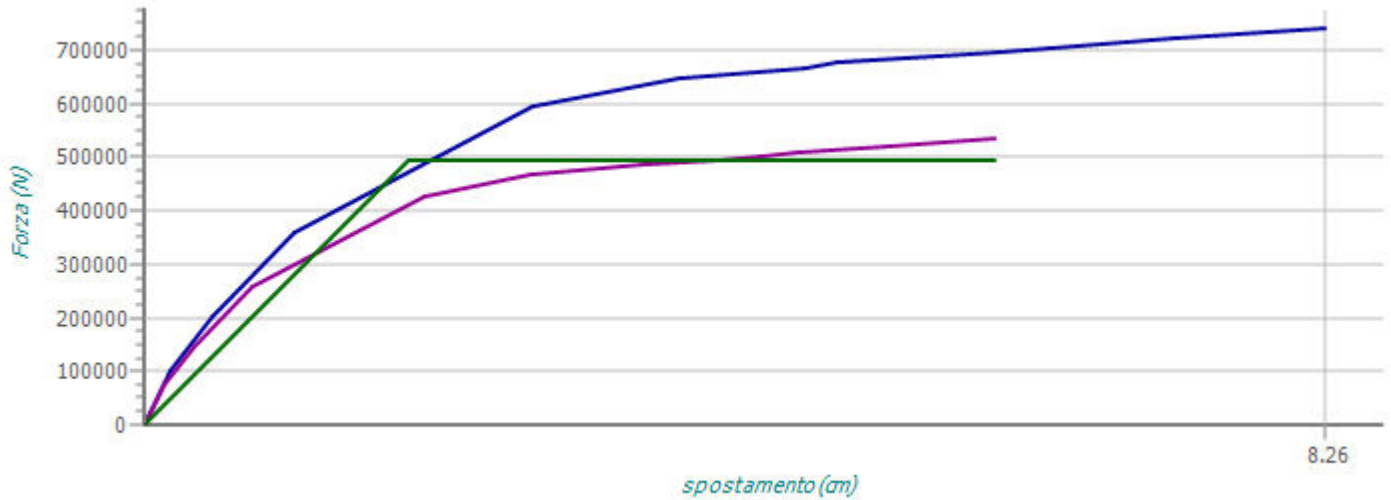
1,386	3	227 104	SLV	267 779	495 141	1,849	24 934	0,579	0,301	0,104	1,25	2,43	-6,78	27,58	7,20
			SLD	267 779	495 141	1,849	24 934	0,579	0,419						

Punti della curva di capacità (Forza / Spostamento).

Punto	Forza [N]	Spostamento [cm]	Punto	Forza [N]	Spostamento [cm]	Punto	Forza [N]	Spostamento [cm]
0	0	0,0000	1	31 266	0,0494	2	101 899	0,1876
3	202 241	0,4766	4	359 025	1,0510	5	592 966	2,7189
6	648 617	3,7454	7	666 427	4,6223	8	675 081	4,8428

Curva di capacità														
Γ	K_{Stop}	M_{Eq}	SLV	$(d, F)_{Srv, Blt}$		A_{SDOF}	T	PGA	PGA_{SLD} piani	α_u/α_1	q^*	Pnt Cntr		
			SLD	K_{sec}	F							X	Y	Z
		[N·s ² /m]		[N/cm]	[N]	[cm]		[N·m]	[s]			[m]	[m]	[m]
9		686 185		5,5388	10			693 825						
12		721 387		7,2054	13			740 601						
								5,9694	11		703 571		6,3342	
								8,2585						

Curva di CAPACITA'



— sistema reale MDOF — sistema equivalente SDOF — BILINEARE

CAPACITA' DI SPOSTAMENTO DELL'EDIFICIO ALLO SLV (cm): 8,259

CAPACITA' DI SPOSTAMENTO DELL'EDIFICIO ALLO SLD (cm): 8,259

Domanda spostamento allo SLV (cm): 6,229

Domanda spostamento allo SLD (cm): 1,211

Verifica allo SLV: Verificata

Verifica allo SLD: Verificata

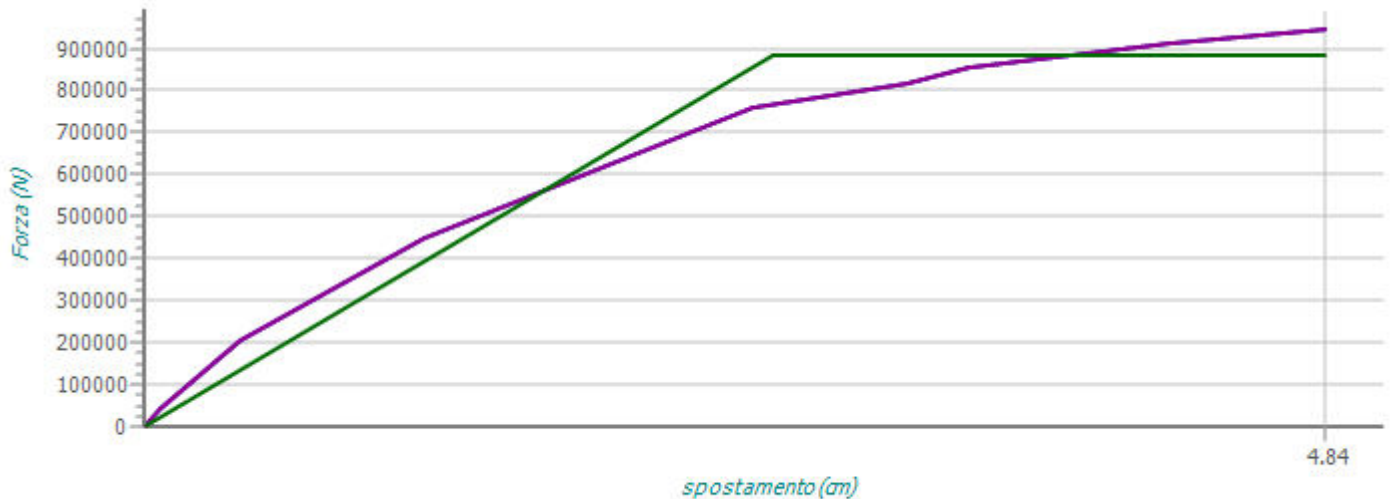
Direzione sisma in -Y, Ecc-X - Proporzionale alle masse

1,000	3	446 398	SLV	342 264	881 256	2,575	31 271	0,718	0,197	0,159	0,00	2,17	-6,78	27,58	7,20
			SLD	342 264	881 256	2,575	31 271	0,718	0,274						

Punti della curva di capacità (Forza / Spostamento).

Punto	Forza [N]	Spostamento [cm]	Punto	Forza [N]	Spostamento [cm]	Punto	Forza [N]	Spostamento [cm]
0	0	0,0000	1	40 836	0,0628	2	203 971	0,3914
3	450 706	1,1506	4	759 665	2,4927	5	817 515	3,1231
6	853 013	3,3784	7	910 405	4,2028	8	946 009	4,8359

Curva di CAPACITA'



— sistema reale MDOF — sistema equivalente SDOF — BILINEARE

CAPACITA' DI SPOSTAMENTO DELL'EDIFICIO ALLO SLV (cm): 4,836

CAPACITA' DI SPOSTAMENTO DELL'EDIFICIO ALLO SLD (cm): 4,836

Domanda spostamento allo SLV (cm): 5,583

Domanda spostamento allo SLD (cm): 1,084

Verifica allo SLV: Non Verificata

Verifica allo SLD: Verificata

Legenda dei valori assunti dal parametro KStop

Valore	Descrizione
1	Raggiunto spostamento assegnato del punto di controllo
2	Raggiunta ampiezza minima del substep
3	Raggiunto massimo numero di tentativi di soluzione del substep
4	Raggiunto massimo numero di iterazioni cumulative
5	Raggiunta condizione di instabilità nella struttura
6	Richiesta di interruzione attraverso il file .ABT
7	Raggiunto valore limite assegnato del Parametro di Rigidezza

Curva di capacità															
Γ	K _{Stop}	M _{Eq}	SLV		(d, F) _{S_{nv},B_{lit}}				PGA _{SLD} piani	α _u /α ₁	q*	Pnt Cntr			
			SLD	K _{sec}	F	δ	A _{SDOF}	T				PGA	X	Y	Z
		[N·s²/m]		[N/cm]	[N]	[cm]	[N·m]	[s]					[m]	[m]	[m]
8	Raggiunto valore limite di Lambda dopo il superamento di LambdaMax														
9	Raggiunta iterazione prossima alla condizione di singolarità o instabilità														

LEGENDA:

Γ Coefficiente di partecipazione.

K_{Stop} Codice di conclusione dell'analisi.

M_{Eq} Massa del sistema SDOF.

K_{sec} Rigidezza secante allo snervamento del sistema SDOF.

(d, F)_{Snv,Blit} Valori allo snervamento, di forze e spostamento, della bilatera equivalente.

A_{SDOF} Area sottesa alla curva di capacità del sistema equivalente SDOF.

T Periodo del sistema SDOF.

PGA Accelerazione di picco al suolo: [SLV] = Stato limite salvaguardia della vita; [SLD] = Stato limite di danno (relativo al massimo valore della forza); [SLD_{piani}] = Stato limite di danno (relativo al superamento dello spostamento differenziale ammissibile fra due piani consecutivi).

α_u/α₁ Rapporto α_u/ α₁

q* Rapporto tra la forza di risposta elastica e la forza di snervamento del sistema equivalente (SDOF).

LIVELLI O PIANI

Livelli o piani														
Id _{Lv}	Descrizione	Z _{Lv}	H _{Lv}	Q _{ex,lv}	PR	Rd _{Temp}	Massa del piano			Dir	G _{st}	G _{SLU}	G _{SLD}	R _{SLU}
		[m]	[m]	[m]			M _{L,Str}	M _{L,SLU}	M _{L,SLD}		[m]	[m]	[m]	[m]
							[N·s ² /m]	[N·s ² /m]	[N·s ² /m]					
01	Solaio torino scala +720	4,00	3,20	7,20	SI	NO	22 886	20 489	20 489	X	-4,82	-4,81	-4,81	-4,52
										Y	24,54	24,53	24,53	24,27
02	Solai a quota +400	0,00	4,00	4,00	SI	NO	493 251	425 908	425 908	X	-4,59	-4,58	-4,58	-5,79
										Y	28,91	28,93	28,93	28,95
03	Fondazione	0,00		0,00	NO	NO	133 427	133 427	133 427	X	-4,68	-4,68	-4,68	-
										Y	29,25	29,25	29,25	-

LEGENDA:

Id_{Lv} Numero identificativo del livello o piano.

Z_{Lv} Quota di calpestio del livello o piano, relativa al sistema di riferimento globale X, Y, Z.

H_{Lv} Altezza del livello o piano.

Q_{ex,lv} Quota dell'estradosso dell'impalcato del livello o piano.

PR Indica se l'impalcato (orizzontale) è considerato rigido nel calcolo: [SI] = Piano Rigido - [NO] = Piano non Rigido.

Rd_{Temp} In alternativa vedere tabella "Solai e Balconi" in quanto il comportamento rigido potrebbe essere stato assegnato ai singoli solai del livello.

Rd_{Temp} Per i piani con riduzione dei tamponamenti, sono state incrementate le azioni di calcolo per gli elementi verticali (pilastri e pareti) di un fattore 1,4: [SI] = Piano con riduzione dei tamponamenti - [NO] = Piano senza riduzione dei tamponamenti.

M_{L,Str} Massa del piano valutata in condizioni statiche.

M_{L,SLU} Massa del piano valutata allo SLU.

M_{L,SLD} Massa del piano valutata allo SLD.

G_{st} Coordinate del baricentro delle masse, valutate in condizioni statiche.

G_{SLU} Coordinate del baricentro delle masse, valutate per SLU.

G_{SLD} Coordinate del baricentro delle masse, valutate per SLD.

R_{SLU} Coordinate del baricentro delle rigidezze, valutate per SLU.

NODI

Nodi								
Id _{Nd}	Dir	X, Y, Z	Vincolo Esterno			Cedimenti Impressi		Clc Fnd
			V. ex	R _s	R _t	S	Θ	
		[m]		[N/cm]	[N·m/rad]	[cm]	[rad]	
00001	X	-24,43	Incastro	infinita	infinita	-	-	NO
	Y	36,93		infinita	infinita	-	-	
	Z	0,00		infinita	infinita	-	-	
00002	X	-24,43	nessuno	-	-	-	-	NO
	Y	36,93		-	-	-	-	
	Z	4,00		-	-	-	-	
00003	X	-20,58	Incastro	infinita	infinita	-	-	NO
	Y	36,93		infinita	infinita	-	-	
	Z	0,00		infinita	infinita	-	-	
00004	X	-16,88	Incastro	infinita	infinita	-	-	NO
	Y	37,43		infinita	infinita	-	-	
	Z	0,00		infinita	infinita	-	-	
00005	X	-16,88	nessuno	-	-	-	-	NO
	Y	37,43		-	-	-	-	
	Z	4,00		-	-	-	-	
00006	X	-11,68	Incastro	infinita	infinita	-	-	NO
	Y	37,93		infinita	infinita	-	-	
	Z	0,00		infinita	infinita	-	-	
00007	X	-6,83	Incastro	infinita	infinita	-	-	NO
	Y	37,93		infinita	infinita	-	-	
	Z	0,00		infinita	infinita	-	-	
00008	X	-6,83	nessuno	-	-	-	-	NO
	Y	37,93		-	-	-	-	
	Z	4,00		-	-	-	-	
00009	X	-6,83	Incastro	infinita	infinita	-	-	NO
	Y	35,13		infinita	infinita	-	-	
	Z	0,00		infinita	infinita	-	-	
00010	X	-2,43	Incastro	infinita	infinita	-	-	NO
	Y	37,93		infinita	infinita	-	-	

Nodi								
Id _{Nd}	Dir	X, Y, Z	Vincolo Esterno			Cedimenti Impressi		Clc Fnd
		[m]	V. ex	R _s	R _r	S	θ	
				[N/cm]	[N-m/rad]	[cm]	[rad]	
00011	Z	0,00		infinita	infinita	-	-	
	X	-2,43	nessuno	-	-	-	-	NO
	Y	37,93		-	-	-	-	
	Z	4,00		-	-	-	-	
00012	X	-2,43	Incastro	infinita	infinita	-	-	NO
	Y	35,13		infinita	infinita	-	-	
	Z	0,00		infinita	infinita	-	-	
	00013	X	-6,83	Incastro	infinita	infinita	-	-
Y		31,18	infinita		infinita	-	-	
Z		0,00	infinita		infinita	-	-	
00014		X	-6,83	nessuno	-	-	-	-
	Y	31,18	-		-	-	-	
	Z	4,00	-		-	-	-	
	00015	X	-2,43	Incastro	infinita	infinita	-	-
Y		31,18	infinita		infinita	-	-	
Z		0,00	infinita		infinita	-	-	
00016		X	-2,43	nessuno	-	-	-	-
	Y	31,18	-		-	-	-	
	Z	4,00	-		-	-	-	
	00017	X	-12,13	Incastro	infinita	infinita	-	-
Y		31,18	infinita		infinita	-	-	
Z		0,00	infinita		infinita	-	-	
00018		X	-16,88	Incastro	infinita	infinita	-	-
	Y	31,18	infinita		infinita	-	-	
	Z	0,00	infinita		infinita	-	-	
	00019	X	-20,58	Incastro	infinita	infinita	-	-
Y		31,18	infinita		infinita	-	-	
Z		0,00	infinita		infinita	-	-	
00020		X	-24,43	Incastro	infinita	infinita	-	-
	Y	31,18	infinita		infinita	-	-	
	Z	0,00	infinita		infinita	-	-	
	00021	X	-24,43	nessuno	-	-	-	-
Y		31,18	-		-	-	-	
Z		4,00	-		-	-	-	
00022		X	2,18	Incastro	infinita	infinita	-	-
	Y	37,93	infinita		infinita	-	-	
	Z	0,00	infinita		infinita	-	-	
	00023	X	7,62	Incastro	infinita	infinita	-	-
Y		37,93	infinita		infinita	-	-	
Z		0,00	infinita		infinita	-	-	
00024		X	7,62	nessuno	-	-	-	-
	Y	37,93	-		-	-	-	
	Z	4,00	-		-	-	-	
	00025	X	7,62	Incastro	infinita	infinita	-	-
Y		35,13	infinita		infinita	-	-	
Z		0,00	infinita		infinita	-	-	
00026		X	13,78	Incastro	infinita	infinita	-	-
	Y	37,93	infinita		infinita	-	-	
	Z	0,00	infinita		infinita	-	-	
	00027	X	13,78	nessuno	-	-	-	-
Y		37,93	-		-	-	-	
Z		4,00	-		-	-	-	
00028		X	13,78	Incastro	infinita	infinita	-	-
	Y	31,78	infinita		infinita	-	-	
	Z	0,00	infinita		infinita	-	-	
	00029	X	13,78	nessuno	-	-	-	-
Y		31,78	-		-	-	-	
Z		4,00	-		-	-	-	
00030		X	7,62	Incastro	infinita	infinita	-	-
	Y	31,18	infinita		infinita	-	-	
	Z	0,00	infinita		infinita	-	-	
	00031	X	7,62	nessuno	-	-	-	-
Y		31,18	-		-	-	-	
Z		4,00	-		-	-	-	
00032		X	2,18	Incastro	infinita	infinita	-	-
	Y	31,18	infinita		infinita	-	-	
	Z	0,00	infinita		infinita	-	-	
	00033	X	7,62	Incastro	infinita	infinita	-	-
Y		27,88	infinita		infinita	-	-	
Z		0,00	infinita		infinita	-	-	
00034		X	7,62	nessuno	-	-	-	-
	Y	27,88	-		-	-	-	
	Z	4,00	-		-	-	-	
	00035	X	9,03	Incastro	infinita	infinita	-	-
Y		25,63	infinita		infinita	-	-	
Z		0,00	infinita		infinita	-	-	
00036		X	9,03	nessuno	-	-	-	-
	Y	25,63	-		-	-	-	
	Z	4,00	-		-	-	-	
	00037	X	14,78	Incastro	infinita	infinita	-	-
Y		20,53	infinita		infinita	-	-	

Nodi								
Id _{Nd}	Dir	X, Y, Z	Vincolo Esterno			Cedimenti Impressi		Clc Fnd
			V. ex	R _s	R _r	S	θ	
		[m]		[N/cm]	[N-m/rad]	[cm]	[rad]	
00038	Z	0,00		infinita	infinita	-	-	
	X	14,78	nessuno	-	-	-	-	NO
	Y	20,53		-	-	-	-	
	Z	4,00		-	-	-	-	
00039	X	14,78	Incastro	infinita	infinita	-	-	NO
	Y	23,18		infinita	infinita	-	-	
	Z	0,00		infinita	infinita	-	-	
00040	X	9,03	Incastro	infinita	infinita	-	-	NO
	Y	20,53		infinita	infinita	-	-	
	Z	0,00		infinita	infinita	-	-	
00041	X	9,03	nessuno	-	-	-	-	NO
	Y	20,53		-	-	-	-	
	Z	4,00		-	-	-	-	
00042	X	3,03	Incastro	infinita	infinita	-	-	NO
	Y	20,53		infinita	infinita	-	-	
	Z	0,00		infinita	infinita	-	-	
00043	X	-2,97	Incastro	infinita	infinita	-	-	NO
	Y	21,03		infinita	infinita	-	-	
	Z	0,00		infinita	infinita	-	-	
00044	X	-2,97	nessuno	-	-	-	-	NO
	Y	21,03		-	-	-	-	
	Z	4,00		-	-	-	-	
00045	X	-6,78	Incastro	infinita	infinita	-	-	NO
	Y	21,53		infinita	infinita	-	-	
	Z	0,00		infinita	infinita	-	-	
00046	X	-6,78	nessuno	-	-	-	-	NO
	Y	21,53		-	-	-	-	
	Z	4,00		-	-	-	-	
00047	X	-8,28	Incastro	infinita	infinita	-	-	NO
	Y	21,53		infinita	infinita	-	-	
	Z	0,00		infinita	infinita	-	-	
00048	X	-8,28	nessuno	-	-	-	-	NO
	Y	21,53		-	-	-	-	
	Z	4,00		-	-	-	-	
00049	X	-9,98	Incastro	infinita	infinita	-	-	NO
	Y	21,93		infinita	infinita	-	-	
	Z	0,00		infinita	infinita	-	-	
00050	X	-9,98	nessuno	-	-	-	-	NO
	Y	21,93		-	-	-	-	
	Z	4,00		-	-	-	-	
00051	X	-14,28	Incastro	infinita	infinita	-	-	NO
	Y	21,93		infinita	infinita	-	-	
	Z	0,00		infinita	infinita	-	-	
00052	X	-14,28	nessuno	-	-	-	-	NO
	Y	21,93		-	-	-	-	
	Z	4,00		-	-	-	-	
00053	X	-15,98	Incastro	infinita	infinita	-	-	NO
	Y	21,53		infinita	infinita	-	-	
	Z	0,00		infinita	infinita	-	-	
00054	X	-15,98	nessuno	-	-	-	-	NO
	Y	21,53		-	-	-	-	
	Z	4,00		-	-	-	-	
00055	X	-19,38	Incastro	infinita	infinita	-	-	NO
	Y	21,53		infinita	infinita	-	-	
	Z	0,00		infinita	infinita	-	-	
00056	X	-24,43	Incastro	infinita	infinita	-	-	NO
	Y	21,53		infinita	infinita	-	-	
	Z	0,00		infinita	infinita	-	-	
00057	X	-24,43	nessuno	-	-	-	-	NO
	Y	21,53		-	-	-	-	
	Z	4,00		-	-	-	-	
00058	X	-24,43	Incastro	infinita	infinita	-	-	NO
	Y	26,73		infinita	infinita	-	-	
	Z	0,00		infinita	infinita	-	-	
00059	X	-24,43	nessuno	-	-	-	-	NO
	Y	26,73		-	-	-	-	
	Z	4,00		-	-	-	-	
00060	X	-20,58	Incastro	infinita	infinita	-	-	NO
	Y	26,73		infinita	infinita	-	-	
	Z	0,00		infinita	infinita	-	-	
00061	X	-6,78	Incastro	infinita	infinita	-	-	NO
	Y	27,58		infinita	infinita	-	-	
	Z	0,00		infinita	infinita	-	-	
00062	X	-6,78	nessuno	-	-	-	-	NO
	Y	27,58		-	-	-	-	
	Z	4,00		-	-	-	-	
00063	X	-2,97	Incastro	infinita	infinita	-	-	NO
	Y	27,88		infinita	infinita	-	-	
	Z	0,00		infinita	infinita	-	-	
00064	X	-2,97	nessuno	-	-	-	-	NO
	Y	27,88		-	-	-	-	

Id _{Nd}	Dir	X, Y, Z	Vincolo Esterno			Cedimenti Impressi		Clc Fnd
			V. ex	R _s	R _r	S	Θ	
		[m]		[N/cm]	[N-m/rad]	[cm]	[rad]	
	Z	4,00		-	-	-	-	
00065	X	2,18	Incastro	infinita	infinita	-	-	NO
	Y	27,88		infinita	infinita	-	-	
	Z	0,00		infinita	infinita	-	-	
00066	X	14,28	Incastro	infinita	infinita	-	-	NO
	Y	29,33		infinita	infinita	-	-	
	Z	0,00		infinita	infinita	-	-	
00067	X	14,28	nessuno	-	-	-	-	NO
	Y	29,33		-	-	-	-	
	Z	4,00		-	-	-	-	
00068	X	-17,63	Incastro	infinita	infinita	-	-	NO
	Y	26,43		infinita	infinita	-	-	
	Z	0,00		infinita	infinita	-	-	
00069	X	-17,63	nessuno	-	-	-	-	NO
	Y	26,43		-	-	-	-	
	Z	4,00		-	-	-	-	
00070	X	-12,13	Incastro	infinita	infinita	-	-	NO
	Y	25,78		infinita	infinita	-	-	
	Z	0,00		infinita	infinita	-	-	
00071	X	-12,13	nessuno	-	-	-	-	NO
	Y	25,78		-	-	-	-	
	Z	4,00		-	-	-	-	
00072	X	-19,38	nessuno	-	-	-	-	NO
	Y	21,53		-	-	-	-	
	Z	4,00		-	-	-	-	
00073	X	2,18	nessuno	-	-	-	-	NO
	Y	27,88		-	-	-	-	
	Z	4,00		-	-	-	-	
00074	X	-20,58	nessuno	-	-	-	-	NO
	Y	26,73		-	-	-	-	
	Z	4,00		-	-	-	-	
00075	X	3,03	nessuno	-	-	-	-	NO
	Y	20,53		-	-	-	-	
	Z	4,00		-	-	-	-	
00076	X	14,78	nessuno	-	-	-	-	NO
	Y	23,18		-	-	-	-	
	Z	4,00		-	-	-	-	
00077	X	2,18	nessuno	-	-	-	-	NO
	Y	31,18		-	-	-	-	
	Z	4,00		-	-	-	-	
00078	X	7,62	nessuno	-	-	-	-	NO
	Y	35,13		-	-	-	-	
	Z	4,00		-	-	-	-	
00079	X	2,18	nessuno	-	-	-	-	NO
	Y	37,93		-	-	-	-	
	Z	4,00		-	-	-	-	
00080	X	-20,58	nessuno	-	-	-	-	NO
	Y	31,18		-	-	-	-	
	Z	4,00		-	-	-	-	
00081	X	-16,88	nessuno	-	-	-	-	NO
	Y	31,18		-	-	-	-	
	Z	4,00		-	-	-	-	
00082	X	-12,13	nessuno	-	-	-	-	NO
	Y	31,18		-	-	-	-	
	Z	4,00		-	-	-	-	
00083	X	-2,43	nessuno	-	-	-	-	NO
	Y	35,13		-	-	-	-	
	Z	4,00		-	-	-	-	
00084	X	-6,83	nessuno	-	-	-	-	NO
	Y	35,13		-	-	-	-	
	Z	4,00		-	-	-	-	
00085	X	-11,68	nessuno	-	-	-	-	NO
	Y	37,93		-	-	-	-	
	Z	4,00		-	-	-	-	
00086	X	-20,58	nessuno	-	-	-	-	NO
	Y	36,93		-	-	-	-	
	Z	4,00		-	-	-	-	
00087	X	-6,78	nessuno	-	-	-	-	NO
	Y	21,53		-	-	-	-	
	Z	7,20		-	-	-	-	
00088	X	-6,78	nessuno	-	-	-	-	NO
	Y	27,58		-	-	-	-	
	Z	7,20		-	-	-	-	
00089	X	-2,97	nessuno	-	-	-	-	NO
	Y	21,03		-	-	-	-	
	Z	7,20		-	-	-	-	
00090	X	-2,97	nessuno	-	-	-	-	NO
	Y	27,88		-	-	-	-	
	Z	7,20		-	-	-	-	

LEGENDA:

Id_{Nd} Identificativo del nodo.

								Nodi
Id _{Nd}	Dir	X, Y, Z	Vincolo Esterno			Cedimenti Impressi		Clc Fnd
			V. ex	R _s	R _r	S	Θ	
		[m]		[N/cm]	[N-m/rad]	[cm]	[rad]	
X, Y, Z	Coordinate del nodo rispetto al riferimento globale X, Y, Z.							
V. ex	Descrizione del tipo di vincolo esterno presente sul nodo.							
R _s , R _r	Valori di rigidezza del vincolo riferiti agli assi globali: R _s indica i valori di rigidezza alla traslazione lungo gli assi X, Y e Z, mentre R _r indica i valori di rigidezza alla rotazione intorno agli assi X, Y, e Z.							
S, Θ	Valori di spostamenti/rotazioni del nodo riferiti agli assi globali: S indica i valori di spostamento lungo gli assi X, Y, e Z, mentre Θ indica i valori di rotazione intorno agli assi X, Y, e Z.							
Clc Fnd	[Si] = elemento progettato attraverso una modalità di rispetto della Gerarchia delle Resistenze per le Fondazioni. [No] = elemento progettato con le sollecitazioni ottenute dall'analisi (senza nessuna modalità di rispetto della Gerarchia delle Resistenze per le Fondazioni).							

TRAVI IN ELEVAZIONE

Travi in elevazione																		
Id _{Tr}	L _{LI}	Sezione			V. Int.			Stz	Note	Mt rl	AA /C IS	Nd i	Nd f	Dis. j	Q _{LLI}		Clc Fnd	Pr/ Sc
		Id _{Sz}	Tp	Label	Rtz	Iniz.	Fin.								Iniz .	Fin.		
	[m]				[°ssdc]									[m]	[m]	[m]		
Solaio torrino scala +720		Travata: Trave 5-6																
Trave 5-6	3,50	001	!	30x50	0,00	S;S;S;S;S;S	S;S;S;S;S;S	F		00 1	PC A	00 87	00 89	3,84	6,95	6,95	NO	-
Solaio torrino scala +720		Travata: Trave 18-19																
Trave 18-19	3,51	001	!	30x50	0,00	S;S;S;S;S;S	S;S;S;S;S;S	F		00 1	PC A	00 88	00 90	3,82	6,95	6,95	NO	-
Solaio torrino scala +720		Travata: Trave 5-18																
Trave 5-18	5,45	001	!	30x50	0,00	S;S;S;S;S;S	S;S;S;S;S;S	F		00 1	PC A	00 87	00 88	6,05	6,95	6,95	NO	-
Solaio torrino scala +720		Travata: Trave 6-19																
Trave 6-19	6,05	001	!	30x50	0,00	S;S;S;S;S;S	S;S;S;S;S;S	F		00 1	PC A	00 89	00 90	6,85	6,95	6,95	NO	-
Solai a quota +400		Travata: Trave 1-2-3-10-11-4-5-6																
Trave 1-2	4,75	001	!	30x50	0,00	S;S;S;S;S;S	S;S;S;S;S;S	F		00 1	PC A	00 57	00 72	5,05	3,75	3,75	NO	-
Trave 2-3	3,10	001	!	30x50	0,00	S;S;S;S;S;S	S;S;S;S;S;S	F		00 1	PC A	00 72	00 54	3,40	3,75	3,75	NO	-
Trave 3-10	1,37	002	!	30x60	0,00	S;S;S;S;S;S	S;S;S;S;S;S	F		00 1	PC A	00 54	00 52	1,75	3,70	3,70	NO	-
Trave 10-11	4,00	002	!	30x60	0,00	S;S;S;S;S;S	S;S;S;S;S;S	F		00 1	PC A	00 52	00 50	4,30	3,70	3,70	NO	-
Trave 4-11	1,37	002	!	30x60	0,00	S;S;S;S;S;S	S;S;S;S;S;S	F		00 1	PC A	00 48	00 50	1,75	3,70	3,70	NO	-
Trave 5-4	1,20	001	!	30x50	0,00	S;S;S;S;S;S	S;S;S;S;S;S	F		00 1	PC A	00 46	00 48	1,50	3,75	3,75	NO	-
Trave 5-6	3,50	001	!	30x50	0,00	S;S;S;S;S;S	S;S;S;S;S;S	F		00 1	PC A	00 46	00 44	3,84	3,75	3,75	NO	-
Solai a quota +400		Travata: Trave 6-7-8-9																
Trave 6-7	5,70	002	!	30x60	0,00	S;S;S;S;S;S	S;S;S;S;S;S	F		00 1	PC A	00 44	00 75	6,02	3,70	3,70	NO	-
Trave 7-8	5,70	002	!	30x60	0,00	S;S;S;S;S;S	S;S;S;S;S;S	F		00 1	PC A	00 75	00 41	6,00	3,70	3,70	NO	-
Trave 8-9	5,45	002	!	30x60	0,00	S;S;S;S;S;S	S;S;S;S;S;S	F		00 1	PC A	00 41	00 38	5,75	3,70	3,70	NO	-
Solai a quota +400		Travata: Trave 13-14-15																
Trave 13-14	3,55	001	!	30x50	0,00	S;S;S;S;S;S	S;S;S;S;S;S	F		00 1	PC A	00 59	00 74	3,85	3,75	3,75	NO	-
Trave 14-15	2,65	001	!	30x50	0,00	S;S;S;S;S;S	S;S;S;S;S;S	F		00 1	PC A	00 74	00 69	2,97	3,75	3,75	NO	-
Solai a quota +400		Travata: Trave 15-16-18-19-20-21																
Trave 16-15	5,14	003	!	80x35	0,00	S;S;S;S;S;S	S;S;S;S;S;S	F		00 1	PC A	00 71	00 69	5,54	3,83	3,83	NO	-
Trave 16-18	5,16	003	!	80x35	0,00	S;S;S;S;S;S	S;S;S;S;S;S	F		00 1	PC A	00 71	00 62	5,64	3,83	3,83	NO	-
Trave 18-19	3,51	001	!	30x50	0,00	S;S;S;S;S;S	S;S;S;S;S;S	F		00 1	PC A	00 62	00 64	3,82	3,75	3,75	NO	-
Trave 19-20	4,85	002	!	30x60	0,00	S;S;S;S;S;S	S;S;S;S;S;S	F		00 1	PC A	00 64	00 73	5,15	3,70	3,70	NO	-
Trave 20-21	5,15	002	!	30x60	0,00	S;S;S;S;S;S	S;S;S;S;S;S	F		00 1	PC A	00 73	00 34	5,45	3,70	3,70	NO	-
Solai a quota +400		Travata: Trave 23-24-25-26-27-28-29-30																
Trave 23-24	3,55	001	!	30x50	0,00	S;S;S;S;S;S	S;S;S;S;S;S	F		00 1	PC A	00 21	00 80	3,85	3,75	3,75	NO	-
Trave 24-25	3,40	001	!	30x50	0,00	S;S;S;S;S;S	S;S;S;S;S;S	F		00 1	PC A	00 80	00 81	3,70	3,75	3,75	NO	-
Trave 25-26	4,45	001	!	30x50	0,00	S;S;S;S;S;S	S;S;S;S;S;S	F		00 1	PC A	00 81	00 82	4,75	3,75	3,75	NO	-
Trave 26-27	5,00	001	!	30x50	0,00	S;S;S;S;S;S	S;S;S;S;S;S	F		00 1	PC A	00 82	00 14	5,30	3,75	3,75	NO	-
Trave 27-28	4,10	001	!	30x50	0,00	S;S;S;S;S;S	S;S;S;S;S;S	F		00 1	PC A	00 14	00 16	4,40	3,75	3,75	NO	-
Trave 28-29	4,30	001	!	30x50	0,00	S;S;S;S;S;S	S;S;S;S;S;S	F		00 1	PC A	00 16	00 77	4,60	3,75	3,75	NO	-
Trave 29-30	5,15	001	!	30x50	0,00	S;S;S;S;S;S	S;S;S;S;S;S	F		00 1	PC A	00 77	00 31	5,45	3,75	3,75	NO	-
Solai a quota +400		Travata: Trave 35-36-37																
Trave 35-36	3,55	001	!	30x50	0,00	S;S;S;S;S;S	S;S;S;S;S;S	F		00	PC	00	00	3,85	3,75	3,75	NO	-

Travi in elevazione																		
Id _{Tr}	L _{LI}	Sezione			V. Int.			Stz	Note	M _{tr}	AA /C IS	Nd _i	Nd _f	Dis _j	Q _{LLI}		Clc Fnd	Pr/ Sc
		Id _{Sz}	Tp	Label	Rtz	Iniz.	Fin.								Iniz _j	Fin.		
	[m]				[°ssdc]									[m]	[m]	[m]		
Trave 36-37	3,40	001	!	30x50	0,00	S;S;S;S;S;S	S;S;S;S;S;S	F		1 00 1	A PC A	02 00 86	86 00 05	3,73	3,75	3,75	NO	-
Solai a quota +400										Travata: Trave 37-38-39								
Trave 37-38	4,90	002	!	30x60	0,00	S;S;S;S;S;S	S;S;S;S;S;S	F		00 1	PC A	00 05	00 85	5,22	3,70	3,70	NO	-
Trave 38-39	4,55	002	!	30x60	0,00	S;S;S;S;S;S	S;S;S;S;S;S	F		00 1	PC A	00 85	00 08	4,85	3,70	3,70	NO	-
Solai a quota +400										Travata: Trave 40-41-42-43								
Trave 40-41	4,30	002	!	30x60	0,00	S;S;S;S;S;S	S;S;S;S;S;S	F		00 1	PC A	00 11	00 79	4,60	3,70	3,70	NO	-
Trave 41-42	5,15	002	!	30x60	0,00	S;S;S;S;S;S	S;S;S;S;S;S	F		00 1	PC A	00 79	00 24	5,45	3,70	3,70	NO	-
Trave 42-43	5,85	002	!	30x60	0,00	S;S;S;S;S;S	S;S;S;S;S;S	F		00 1	PC A	00 24	00 27	6,15	3,70	3,70	NO	-
Solai a quota +400										Travata: Trave 1-13-23-35								
Trave 1-13	4,90	001	!	30x50	0,00	S;S;S;S;S;S	S;S;S;S;S;S	F		00 1	PC A	00 57	00 59	5,20	3,75	3,75	NO	-
Trave 13-23	4,15	001	!	30x50	0,00	S;S;S;S;S;S	S;S;S;S;S;S	F		00 1	PC A	00 59	00 21	4,45	3,75	3,75	NO	-
Trave 23-35	5,45	001	!	30x50	0,00	S;S;S;S;S;S	S;S;S;S;S;S	F		00 1	PC A	00 21	00 02	5,75	3,75	3,75	NO	-
Solai a quota +400										Travata: Trave 5-18								
Trave 5-18	5,45	001	!	30x50	0,00	S;S;S;S;S;S	S;S;S;S;S;S	F		00 1	PC A	00 46	00 62	6,05	3,75	3,75	NO	-
Solai a quota +400										Travata: Trave 6-19								
Trave 6-19	6,05	001	!	30x50	0,00	S;S;S;S;S;S	S;S;S;S;S;S	F		00 1	PC A	00 44	00 64	6,85	3,75	3,75	NO	-
Solai a quota +400										Travata: Trave 8-17-21-30-34-42								
Trave 8-17	4,80	002	!	30x60	0,00	S;S;S;S;S;S	S;S;S;S;S;S	F		00 1	PC A	00 41	00 36	5,10	3,70	3,70	NO	-
Trave 17-21	2,24	004	!	70x35	0,00	S;S;S;S;S;S	S;S;S;S;S;S	F		00 1	PC A	00 36	00 34	2,65	3,83	3,83	NO	-
Trave 21-30	3,00	001	!	30x50	0,00	S;S;S;S;S;S	S;S;S;S;S;S	F		00 1	PC A	00 34	00 31	3,30	3,75	3,75	NO	-
Trave 30-34	3,65	001	!	30x50	0,00	S;S;S;S;S;S	S;S;S;S;S;S	F		00 1	PC A	00 31	00 78	3,95	3,75	3,75	NO	-
Trave 34-42	2,50	001	!	30x50	0,00	S;S;S;S;S;S	S;S;S;S;S;S	F		00 1	PC A	00 78	00 24	2,80	3,75	3,75	NO	-
Solai a quota +400										Travata: Trave 9-12-22								
Trave 9-12	2,35	002	!	30x60	0,00	S;S;S;S;S;S	S;S;S;S;S;S	F		00 1	PC A	00 38	00 76	2,65	3,70	3,70	NO	-
Trave 12-22	5,85	002	!	30x60	0,00	S;S;S;S;S;S	S;S;S;S;S;S	F		00 1	PC A	00 76	00 67	6,17	3,70	3,70	NO	-
Solai a quota +400										Travata: Trave 22-31-43								
Trave 22-31	2,15	002	!	30x60	0,00	S;S;S;S;S;S	S;S;S;S;S;S	F		00 1	PC A	00 67	00 29	2,50	3,70	3,70	NO	-
Trave 31-43	5,85	001	!	30x50	0,00	S;S;S;S;S;S	S;S;S;S;S;S	F		00 1	PC A	00 29	00 27	6,15	3,75	3,75	NO	-
Solai a quota +400										Travata: Trave 27-32-39								
Trave 27-32	3,65	001	!	30x50	0,00	S;S;S;S;S;S	S;S;S;S;S;S	F		00 1	PC A	00 14	00 84	3,95	3,75	3,75	NO	-
Trave 32-39	2,50	001	!	30x50	0,00	S;S;S;S;S;S	S;S;S;S;S;S	F		00 1	PC A	00 84	00 08	2,80	3,75	3,75	NO	-
Solai a quota +400										Travata: Trave 28-33-40								
Trave 28-33	3,65	001	!	30x50	0,00	S;S;S;S;S;S	S;S;S;S;S;S	F		00 1	PC A	00 16	00 83	3,95	3,75	3,75	NO	-
Trave 33-40	2,50	001	!	30x50	0,00	S;S;S;S;S;S	S;S;S;S;S;S	F		00 1	PC A	00 83	00 11	2,80	3,75	3,75	NO	-

LEGENDA:

Id_{Tr} Identificativo della trave. L'eventuale lettera tra parentesi distingue i diversi tratti della travata al livello considerato.

L_{LI} Lunghezza libera d'Inflessione.

Id_{Sz} Identificativo della sezione, nella relativa tabella.

Tp Tipo di sezione.

Label Identificativo della sezione, come indicato nelle carpenterie.

Rtz Angolo di rotazione della sezione.

V. Int. Identificativo delle condizioni di vincolo agli estremi inferiore e superiore del pilastro, costituito da sei caratteri. I primi tre, sono relativi alla traslazione rispettivamente lungo gli assi 1, 2 e 3, mentre i secondi tre sono relativi rispettivamente alla rotazione intorno agli assi 1, 2 e 3 (Assi 1, 2, 3: riferimento locale). Il carattere "S" o "N" indica se il vincolo allo spostamento/rotazione è presente o assente.

Stz Tipo di situazione: [F] = di Fatto (Esistente); [P] = di Progetto (Nuovo).

Note Nota relativa alla verifica di deformabilità delle travi in acciaio e in legno.

Se presente "elemento a sbalzo" = la freccia viene valutata nell'ipotesi di trave a mensola; altrimenti la freccia viene valutata nell'ipotesi di trave appoggiata-appoggiata.

M_{tr} Identificativo del materiale.

AA/CIS Identificativo dell'aggressività dell'ambiente o della classe di servizio:

Aggressività dell'ambiente: [PCA] = "Ordinario"; [MDA] = "Aggressivo"; [MLA] = "Molto aggressivo";

Classe di servizio: [1] = Ambiente con umidità bassa - [2] = Ambiente con umidità media - [3] = Ambiente con umidità alta.

Nd_i Identificativo del nodo iniziale, nella relativa tabella.

Nd_f Identificativo del nodo finale, nella relativa tabella.

Dis_{i-j} Distanza tra il nodo iniziale e finale.

Q_{LLI} Quota agli estremi iniziale e finale del tratto di trave libero d'inflettersi (Lunghezza Libera d'Inflessione), valutata rispetto al livello (piano) di appartenenza.

Travi in elevazione																		
Id _{Tr}	L _{LI}	Sezione			V. Int.			Stz	Note	Mt rl	AA /C IS	Nd i	Nd f	Dis. j	Q _{LLI}		Clc Fnd	Pr/ Sc
		Id _{Sz}	Tp	Label	Rtz	Iniz.	Fin.								Iniz .	Fin.		
	[m]				[°ssdc]										[m]	[m]		
Clc Fnd	[Si] = elemento progettato attraverso una modalità di rispetto della Gerarchia delle Resistenze per le Fondazioni. [No] = elemento progettato con le sollecitazioni ottenute dall'analisi (senza nessuna modalità di rispetto della Gerarchia delle Resistenze per le Fondazioni).																	
Pr/Sc	Indica se l'elemento strutturale è incluso nel modello per il calcolo delle azioni sismiche. [1] = non incluso; [-] = incluso.																	

PILASTRI

Pilastri																	
N _{id}	Lv	L _{LI}	Sezione				V. Int.		Mtrl	AA/CI S	Nod		Dis _{i-j}	Q _{LLI}		Clc Fnd	Pr/Sc
			Id _{Sz}	Tp	Label	Rtz	Inf.	Sup.			Inf.	Sup.		Inf.	Sup.		
		[m]				[°ssdc]							[m]	[m]	[m]		
001	02	3,50	006	!	30x30	270,00	S;S;S;S;S;S	S;S;S;S;S;S	001	PCA	0056	0057	4,00	0,00	3,50	NO	-
002	02	3,50	006	!	30x30	90,00	S;S;S;S;S;S	S;S;S;S;S;S	001	PCA	0055	0072	4,00	0,00	3,50	NO	-
003	02	3,40	006	!	30x30	90,00	S;S;S;S;S;S	S;S;S;S;S;S	001	PCA	0053	0054	4,00	0,00	3,40	NO	-
004	02	3,40	006	!	30x30	180,00	S;S;S;S;S;S	S;S;S;S;S;S	001	PCA	0047	0048	4,00	0,00	3,40	NO	-
005	02	3,50	006	!	30x30	90,00	S;S;S;S;S;S	S;S;S;S;S;S	001	PCA	0045	0046	4,00	0,00	3,50	NO	-
005	01	2,70	006	!	30x30	90,00	S;S;S;S;S;S	S;S;S;S;S;S	001	PCA	0046	0087	3,20	4,00	6,70	NO	-
006	02	3,40	005	!	30x130	0,00	S;S;S;S;S;S	S;S;S;S;S;S	001	PCA	0043	0044	4,00	0,00	3,40	NO	-
006	01	2,70	005	!	30x130	0,00	S;S;S;S;S;S	S;S;S;S;S;S	001	PCA	0044	0089	3,20	4,00	6,70	NO	-
007	02	3,40	006	!	30x30	90,00	S;S;S;S;S;S	S;S;S;S;S;S	001	PCA	0042	0075	4,00	0,00	3,40	NO	-
008	02	3,40	006	!	30x30	180,00	S;S;S;S;S;S	S;S;S;S;S;S	001	PCA	0040	0041	4,00	0,00	3,40	NO	-
009	02	3,40	006	!	30x30	180,00	S;S;S;S;S;S	S;S;S;S;S;S	001	PCA	0037	0038	4,00	0,00	3,40	NO	-
010	02	3,40	006	!	30x30	180,00	S;S;S;S;S;S	S;S;S;S;S;S	001	PCA	0051	0052	4,00	0,00	3,40	NO	-
011	02	3,40	006	!	30x30	180,00	S;S;S;S;S;S	S;S;S;S;S;S	001	PCA	0049	0050	4,00	0,00	3,40	NO	-
12 (a)	02	3,40	006	!	30x30	180,00	S;S;S;S;S;S	S;S;S;S;S;S	001	PCA	0039	0076	4,00	0,00	3,40	NO	-
013	02	3,50	006	!	30x30	0,00	S;S;S;S;S;S	S;S;S;S;S;S	001	PCA	0058	0059	4,00	0,00	3,50	NO	-
014	02	3,50	006	!	30x30	90,00	S;S;S;S;S;S	S;S;S;S;S;S	001	PCA	0060	0074	4,00	0,00	3,50	NO	-
015	02	3,50	007	!	30x90	180,00	S;S;S;S;S;S	S;S;S;S;S;S	001	PCA	0068	0069	4,00	0,00	3,50	NO	-
016	02	3,65	008	#	Ø40	180,00	S;S;S;S;S;S	S;S;S;S;S;S	001	PCA	0070	0071	4,00	0,00	3,65	NO	-
017	02	3,40	006	!	30x30	180,00	S;S;S;S;S;S	S;S;S;S;S;S	001	PCA	0035	0036	4,00	0,00	3,40	NO	-
018	02	3,50	007	!	30x90	360,00	S;S;S;S;S;S	S;S;S;S;S;S	001	PCA	0061	0062	4,00	0,00	3,50	NO	-
018	01	2,70	007	!	30x90	360,00	S;S;S;S;S;S	S;S;S;S;S;S	001	PCA	0062	0088	3,20	4,00	6,70	NO	-
019	02	3,40	006	!	30x30	270,00	S;S;S;S;S;S	S;S;S;S;S;S	001	PCA	0063	0064	4,00	0,00	3,40	NO	-
019	01	2,70	006	!	30x30	270,00	S;S;S;S;S;S	S;S;S;S;S;S	001	PCA	0064	0090	3,20	4,00	6,70	NO	-
020	02	3,40	006	!	30x30	270,00	S;S;S;S;S;S	S;S;S;S;S;S	001	PCA	0065	0073	4,00	0,00	3,40	NO	-
021	02	3,40	006	!	30x30	180,00	S;S;S;S;S;S	S;S;S;S;S;S	001	PCA	0033	0034	4,00	0,00	3,40	NO	-
022	02	3,40	005	!	30x130	270,00	S;S;S;S;S;S	S;S;S;S;S;S	001	PCA	0066	0067	4,00	0,00	3,40	NO	-
23 (a)	02	3,50	006	!	30x30	90,00	S;S;S;S;S;S	S;S;S;S;S;S	001	PCA	0020	0021	4,00	0,00	3,50	NO	-
024	02	3,50	006	!	30x30	90,00	S;S;S;S;S;S	S;S;S;S;S;S	001	PCA	0019	0080	4,00	0,00	3,50	NO	-
025	02	3,50	006	!	30x30	90,00	S;S;S;S;S;S	S;S;S;S;S;S	001	PCA	0018	0081	4,00	0,00	3,50	NO	-
026	02	3,50	006	!	30x30	90,00	S;S;S;S;S;S	S;S;S;S;S;S	001	PCA	0017	0082	4,00	0,00	3,50	NO	-
027	02	3,50	006	!	30x30	90,00	S;S;S;S;S;S	S;S;S;S;S;S	001	PCA	0013	0014	4,00	0,00	3,50	NO	-
028	02	3,50	006	!	30x30	90,00	S;S;S;S;S;S	S;S;S;S;S;S	001	PCA	0015	0016	4,00	0,00	3,50	NO	-
029	02	3,50	006	!	30x30	90,00	S;S;S;S;S;S	S;S;S;S;S;S	001	PCA	0032	0077	4,00	0,00	3,50	NO	-
030	02	3,50	006	!	30x30	180,00	S;S;S;S;S;S	S;S;S;S;S;S	001	PCA	0030	0031	4,00	0,00	3,50	NO	-
031	02	3,40	006	!	30x30	180,00	S;S;S;S;S;S	S;S;S;S;S;S	001	PCA	0028	0029	4,00	0,00	3,40	NO	-
032	02	3,50	006	!	30x30	180,00	S;S;S;S;S;S	S;S;S;S;S;S	001	PCA	0009	0084	4,00	0,00	3,50	NO	-
033	02	3,50	006	!	30x30	180,00	S;S;S;S;S;S	S;S;S;S;S;S	001	PCA	0012	0083	4,00	0,00	3,50	NO	-

N _{id}	Lv	L _{LT}	Id _{Sz}	Tp	Sezione Label	Rtz	V. Int.		Mtrl	AA/Cl S	Nod		Dis _{i-j}	Q _{LLT}		Clc Fnd	Pr/Sc
							Inf.	Sup.			Inf.	Sup.		Inf.	Sup.		
		[m]				[°ssdc)							[m]	[m]	[m]		
034	02	3,50	006	!	30x30	180,00	S;S;S;S;S;S	S;S;S;S;S;S	001	PCA	0025	0078	4,00	0,00	3,50	NO	-
035	02	3,50	006	!	30x30	270,00	S;S;S;S;S;S	S;S;S;S;S;S	001	PCA	0001	0002	4,00	0,00	3,50	NO	-
036	02	3,50	006	!	30x30	270,00	S;S;S;S;S;S	S;S;S;S;S;S	001	PCA	0003	0086	4,00	0,00	3,50	NO	-
037	02	3,40	005	!	30x130	180,00	S;S;S;S;S;S	S;S;S;S;S;S	001	PCA	0004	0005	4,00	0,00	3,40	NO	-
038	02	3,40	006	!	30x30	270,00	S;S;S;S;S;S	S;S;S;S;S;S	001	PCA	0006	0085	4,00	0,00	3,40	NO	-
039	02	3,40	006	!	30x30	180,00	S;S;S;S;S;S	S;S;S;S;S;S	001	PCA	0007	0008	4,00	0,00	3,40	NO	-
040	02	3,40	006	!	30x30	90,00	S;S;S;S;S;S	S;S;S;S;S;S	001	PCA	0010	0011	4,00	0,00	3,40	NO	-
041	02	3,40	006	!	30x30	90,00	S;S;S;S;S;S	S;S;S;S;S;S	001	PCA	0022	0079	4,00	0,00	3,40	NO	-
042	02	3,40	006	!	30x30	180,00	S;S;S;S;S;S	S;S;S;S;S;S	001	PCA	0023	0024	4,00	0,00	3,40	NO	-
043	02	3,40	006	!	30x30	180,00	S;S;S;S;S;S	S;S;S;S;S;S	001	PCA	0026	0027	4,00	0,00	3,40	NO	-

LEGENDA:

N _{id}	Numero identificativo della pilastrata. L'eventuale lettera tra parentesi distingue i diversi tratti della pilastrata al livello considerato.
Lv	Identificativo del livello, nella relativa tabella.
L _{LT}	Lunghezza libera d'Inflessione.
Id _{Sz}	Identificativo della sezione, nella relativa tabella.
Tp	Tipo di sezione.
Label	Identificativo della sezione, come indicato nelle carpenterie.
Rtz	Angolo di rotazione della sezione.
V. Int.	Identificativo delle condizioni di vincolo agli estremi inferiore e superiore del pilastro, costituito da sei caratteri. I primi tre, sono relativi alla traslazione rispettivamente lungo gli assi 1, 2 e 3, mentre i secondi tre sono relativi rispettivamente alla rotazione intorno agli assi 1, 2 e 3 (Assi 1, 2, 3: riferimento locale). Il carattere " S " o " N " indica se il vincolo allo spostamento/rotazione è presente o assente.
Mtrl	Identificativo del materiale.
AA/CIS	Identificativo dell'aggressività dell'ambiente o della classe di servizio: Aggressività dell'ambiente: [PCA] = "Ordinario"; [MDA] = "Aggressivo"; [MLA] = "Molto aggressivo"; Classe di servizio: [1] = Ambiente con umidità bassa - [2] = Ambiente con umidità media - [3] = Ambiente con umidità alta.
Nod	Identificativo del nodo nella relativa tabella.
Dis _{i-j}	Distanza tra il nodo iniziale e finale.
Q _{LLT}	Quota agli estremi inferiore e superiore del tratto di elemento libero d'inflettersi (Lunghezza Libera d'Inflessione), valutata rispetto al livello (piano) di appartenenza.
Clc Fnd	[Si] = elemento progettato attraverso una modalità di rispetto della Gerarchia delle Resistenze per le Fondazioni. [No] = elemento progettato con le sollecitazioni ottenute dall'analisi (senza nessuna modalità di rispetto della Gerarchia delle Resistenze per le Fondazioni).
Pr/Sc	Indica se l'elemento strutturale è incluso nel modello per il calcolo delle azioni sismiche. [1] = non incluso; [-] = incluso.

SOLAI E BALCONI

Id _{EIm}	Vertici del solaio	A _{EI}	Sp	Tipologia	B _{tr}	TA	B _{pg}	Sp _{s,s} up	Sp _{s,i} nf	Rpt		PR	I
										N	b		
		[m ²]	[cm]		[cm]		[cm]	[cm]	[cm]		[cm]		
Solaio torino scala +720													
001	18-5-6-19	21,22	35,00	Solaio latero cementizio gettato in opera	10	NO	40	4	-	0	0	NO	O
Solai a quota +400													
002	23-24-25-26-27-32-39-38-37-36-35	104,06	35,00	Solaio latero cementizio gettato in opera	10	NO	40	4	-	0	0	NO	O
003	16-18-19-20-21-30-29-28-27-26-25-24-23-13-14-15	116,26	35,00	Solaio latero cementizio gettato in opera	10	NO	40	4	-	0	0	NO	O
004	28-29-30-34-42-41-40-33	62,89	35,00	Solaio latero cementizio gettato in opera	10	NO	40	4	-	0	0	NO	O
005	43-42-34-30-21-17-8-9-12-22-31	99,70	35,00	Solaio latero cementizio gettato in opera	10	NO	40	4	-	0	0	NO	O
006	6-7-8-17-21-20-19	80,29	35,00	Solaio latero cementizio gettato in opera	10	NO	40	4	-	0	0	NO	O
007	15-14-13-1-2-3-10-11-4-5-18-16	75,89	35,00	Solaio latero cementizio gettato in opera	10	NO	40	4	-	0	0	NO	O
Fondazione													
Solaio torino scala +720													
Solai a quota +400													
008	-	8,60	20,00	Balcone a soletta piena	-	NO	-			-	-	-	-
009	-	23,22	20,00	Balcone latero cementizio gettato in opera	-	NO	-	4		-	-	-	-
Fondazione													

LEGENDA:

Id _{EIm}	Identificativo dell'elemento strutturale.
A _{EI}	Superficie elemento.
Sp	Spessore dell'elemento.
B _{tr}	Larghezza dell'anima del travetto.
TA	[SI] = Solaio realizzato con travetti accoppiati.
B _{pg}	Larghezza della Pignatta.
Sp _{s,sup}	Spessore della soletta superiore.
Sp _{s,inf}	Spessore della soletta inferiore.
PR	Indica se l'impalcato (orizzontale) è considerato rigido nel calcolo: [SI] = Piano Rigido - [NO] = Piano non Rigido. In alternativa vedere tabella "Solai e Balconi" in quanto il comportamento rigido potrebbe essere stato assegnato ai singoli solai del livello.

Id _{El} m	Vertici del solaio	A _{El}	Sp	Tipologia	B _{tr}	TA	B _{pg}	Sp _{s,s} up	Sp _{s,i} nf	Solai e Balconi			
										Rpt N	Rpt b	PR	I
		[m ²]	[cm]		[cm]		[cm]	[cm]	[cm]		[cm]		

I [O]: Solaio orizzontale; [I]: Solaio inclinato.

Rpt/n Numero di rompitratte.

Rpt/b Larghezza rompitratte.

CARICHI SUI NODI (PER CONDIZIONI DI CARICO NON SISMICHE)

Carichi sui nodi (per condizioni di carico non sismiche)										
TC	C	CC	SR	F _x	F _y	F _z	M _x	M _y	M _z	
				[N]	[N]	[N]	[N-m]	[N-m]	[N-m]	
Nodo 00001										
C	CR001	001	G	0	0	-12 425	0	0	0	
C	CR001	002	G	0	0	-3 106	0	0	0	
C	CR001	001	G	0	0	-19 075	0	0	0	
C	CR001	002	G	0	0	-4 769	0	0	0	
C	CR002	001	G	0	0	-6 131	0	0	0	
C	CR002	001	G	0	0	-3 994	0	0	0	
Nodo 00003										
C	CR001	001	G	0	0	-11 900	0	0	0	
C	CR001	002	G	0	0	-2 975	0	0	0	
C	CR001	001	G	0	0	-12 425	0	0	0	
C	CR001	002	G	0	0	-3 106	0	0	0	
C	CR002	001	G	0	0	-3 825	0	0	0	
C	CR002	001	G	0	0	-3 994	0	0	0	
Nodo 00004										
C	CR001	001	G	0	0	-16 660	0	0	0	
C	CR001	002	G	0	0	-4 165	0	0	0	
C	CR001	001	G	0	0	-11 900	0	0	0	
C	CR001	002	G	0	0	-2 975	0	0	0	
C	CR002	001	G	0	0	-3 825	0	0	0	
C	CR002	001	G	0	0	-5 512	0	0	0	
Nodo 00005										
C	CR003	001	G	0	0	-1 349	0	0	0	
C	CR004	002	G	0	0	-490	0	0	0	
C	CR005	003	G	0	0	-204	0	0	0	
C	CR006	005	G	0	0	-196	0	0	0	
C	CR003	001	G	0	0	-1 329	0	0	0	
C	CR004	002	G	0	0	-483	0	0	0	
C	CR005	003	G	0	0	-201	0	0	0	
C	CR006	005	G	0	0	-193	0	0	0	
C	CR003	001	G	0	0	-2	0	0	0	
C	CR004	002	G	0	0	-1	0	0	0	
Nodo 00006										
C	CR001	001	G	0	0	-15 482	0	0	0	
C	CR001	002	G	0	0	-3 870	0	0	0	
C	CR001	001	G	0	0	-16 660	0	0	0	
C	CR001	002	G	0	0	-4 165	0	0	0	
C	CR002	001	G	0	0	-5 512	0	0	0	
C	CR002	001	G	0	0	-5 123	0	0	0	
Nodo 00007										
C	CR001	001	G	0	0	-15 482	0	0	0	
C	CR001	002	G	0	0	-3 870	0	0	0	
C	CR002	001	G	0	0	-5 123	0	0	0	
C	CR002	001	G	0	0	-4 612	0	0	0	
Nodo 00010										
C	CR001	001	G	0	0	-14 632	0	0	0	
C	CR001	002	G	0	0	-3 658	0	0	0	
C	CR002	001	G	0	0	-4 841	0	0	0	
C	CR002	001	G	0	0	-4 612	0	0	0	
Nodo 00014										
C	CR003	001	G	0	0	-760	0	0	0	
C	CR004	002	G	0	0	-276	0	0	0	
C	CR005	003	G	0	0	-115	0	0	0	
C	CR006	005	G	0	0	-110	0	0	0	
C	CR003	001	G	0	0	-646	0	0	0	
C	CR004	002	G	0	0	-235	0	0	0	
C	CR005	003	G	0	0	-98	0	0	0	
C	CR006	005	G	0	0	-94	0	0	0	
C	CR003	001	G	0	0	-101	0	0	0	
C	CR004	002	G	0	0	-37	0	0	0	
C	CR005	003	G	0	0	-15	0	0	0	
C	CR006	005	G	0	0	-15	0	0	0	
Nodo 00016										
C	CR003	001	G	0	0	-742	0	0	0	
C	CR004	002	G	0	0	-270	0	0	0	
C	CR005	003	G	0	0	-112	0	0	0	
C	CR006	005	G	0	0	-108	0	0	0	
C	CR003	001	G	0	0	-742	0	0	0	
C	CR004	002	G	0	0	-270	0	0	0	
C	CR005	003	G	0	0	-112	0	0	0	
C	CR006	005	G	0	0	-108	0	0	0	
Nodo 00020										
C	CR001	001	G	0	0	-19 075	0	0	0	

Carichi sui nodi (per condizioni di carico non sismiche)									
TC	C	CC	SR	F _x	F _y	F _z	M _x	M _y	M _z
				[N]	[N]	[N]	[N-m]	[N-m]	[N-m]
C	CR001	002	G	0	0	-4 769	0	0	0
C	CR001	001	G	0	0	-14 525	0	0	0
C	CR001	002	G	0	0	-3 631	0	0	0
C	CR002	001	G	0	0	-6 131	0	0	0
C	CR002	001	G	0	0	-4 669	0	0	0
Nodo 00022									
C	CR001	001	G	0	0	-17 498	0	0	0
C	CR001	002	G	0	0	-4 375	0	0	0
C	CR001	001	G	0	0	-14 632	0	0	0
C	CR001	002	G	0	0	-3 658	0	0	0
C	CR002	001	G	0	0	-4 841	0	0	0
C	CR002	001	G	0	0	-5 790	0	0	0
Nodo 00023									
C	CR001	001	G	0	0	-19 902	0	0	0
C	CR001	002	G	0	0	-4 975	0	0	0
C	CR001	001	G	0	0	-17 498	0	0	0
C	CR001	002	G	0	0	-4 375	0	0	0
C	CR002	001	G	0	0	-6 585	0	0	0
C	CR002	001	G	0	0	-5 790	0	0	0
Nodo 00026									
C	CR001	001	G	0	0	-19 902	0	0	0
C	CR001	002	G	0	0	-4 975	0	0	0
C	CR001	001	G	0	0	-20 475	0	0	0
C	CR001	002	G	0	0	-5 119	0	0	0
C	CR002	001	G	0	0	-6 585	0	0	0
C	CR002	001	G	0	0	-6 581	0	0	0
Nodo 00027									
C	CR007	001	G	0	0	-840	0	546	0
C	CR008	002	G	0	0	-408	0	265	0
C	CR009	004	G	0	0	-1 200	0	780	0
Nodo 00028									
C	CR001	001	G	0	0	-7 310	0	0	0
C	CR001	002	G	0	0	-1 828	0	0	0
C	CR001	001	G	0	0	-20 475	0	0	0
C	CR001	002	G	0	0	-5 119	0	0	0
C	CR002	001	G	0	0	-6 581	0	0	0
C	CR002	001	G	0	0	-2 419	0	0	0
Nodo 00029									
C	CR003	001	G	0	0	-1 449	0	0	0
C	CR004	002	G	0	0	-527	0	0	0
C	CR005	003	G	0	0	-220	0	0	0
C	CR006	005	G	0	0	-211	0	0	0
C	CR003	001	G	0	0	-1 449	0	0	0
C	CR004	002	G	0	0	-527	0	0	0
C	CR005	003	G	0	0	-220	0	0	0
C	CR006	005	G	0	0	-211	0	0	0
C	CR007	001	G	0	0	-420	-32	273	0
C	CR008	002	G	0	0	-204	-15	133	0
C	CR009	004	G	0	0	-600	-45	390	0
C	CR007	001	G	0	0	-420	32	273	0
C	CR008	002	G	0	0	-204	15	133	0
C	CR009	004	G	0	0	-600	45	390	0
Nodo 00031									
C	CR003	001	G	0	0	-1 449	0	0	0
C	CR004	002	G	0	0	-527	0	0	0
C	CR005	003	G	0	0	-220	0	0	0
C	CR006	005	G	0	0	-211	0	0	0
C	CR003	001	G	0	0	-1 449	0	0	0
C	CR004	002	G	0	0	-527	0	0	0
C	CR005	003	G	0	0	-220	0	0	0
C	CR006	005	G	0	0	-211	0	0	0
Nodo 00034									
C	CR003	001	G	0	0	-1 401	0	0	0
C	CR004	002	G	0	0	-509	0	0	0
C	CR005	003	G	0	0	-212	0	0	0
C	CR006	005	G	0	0	-204	0	0	0
C	CR003	001	G	0	0	-4 466	0	0	0
C	CR004	002	G	0	0	-1 624	0	0	0
C	CR005	003	G	0	0	-677	0	0	0
C	CR006	005	G	0	0	-650	0	0	0
Nodo 00036									
C	CR003	001	G	0	0	-796	0	0	0
C	CR004	002	G	0	0	-290	0	0	0
C	CR005	003	G	0	0	-121	0	0	0
C	CR006	005	G	0	0	-116	0	0	0
C	CR003	001	G	0	0	-2 221	0	0	0
C	CR004	002	G	0	0	-808	0	0	0
C	CR005	003	G	0	0	-337	0	0	0
C	CR006	005	G	0	0	-323	0	0	0
C	CR003	001	G	0	0	-1 164	0	0	0
C	CR004	002	G	0	0	-423	0	0	0
C	CR005	003	G	0	0	-176	0	0	0
C	CR006	005	G	0	0	-169	0	0	0

Carichi sui nodi (per condizioni di carico non sismiche)									
TC	C	CC	SR	F _x	F _y	F _z	M _x	M _y	M _z
				[N]	[N]	[N]	[N-m]	[N-m]	[N-m]
C	CR003	001	G	0	0	-2 698	0	0	0
C	CR004	002	G	0	0	-981	0	0	0
C	CR005	003	G	0	0	-409	0	0	0
C	CR006	005	G	0	0	-392	0	0	0
Nodo 00037									
C	CR001	001	G	0	0	-18 530	0	0	0
C	CR001	002	G	0	0	-4 632	0	0	0
C	CR001	001	G	0	0	-7 990	0	0	0
C	CR001	002	G	0	0	-1 997	0	0	0
C	CR002	001	G	0	0	-2 644	0	0	0
C	CR002	001	G	0	0	-6 131	0	0	0
Nodo 00039									
C	CR001	001	G	0	0	-7 990	0	0	0
C	CR001	002	G	0	0	-1 997	0	0	0
C	CR001	001	G	0	0	-19 890	0	0	0
C	CR001	002	G	0	0	-4 972	0	0	0
C	CR002	001	G	0	0	-6 581	0	0	0
C	CR002	001	G	0	0	-2 644	0	0	0
Nodo 00040									
C	CR001	001	G	0	0	-19 380	0	0	0
C	CR001	002	G	0	0	-4 845	0	0	0
C	CR001	001	G	0	0	-18 530	0	0	0
C	CR001	002	G	0	0	-4 632	0	0	0
C	CR002	001	G	0	0	-6 131	0	0	0
C	CR002	001	G	0	0	-6 412	0	0	0
Nodo 00042									
C	CR001	001	G	0	0	-19 380	0	0	0
C	CR001	002	G	0	0	-4 845	0	0	0
C	CR001	001	G	0	0	-19 380	0	0	0
C	CR001	002	G	0	0	-4 845	0	0	0
C	CR002	001	G	0	0	-6 412	0	0	0
C	CR002	001	G	0	0	-6 412	0	0	0
Nodo 00043									
C	CR001	001	G	0	0	-12 262	0	0	0
C	CR001	002	G	0	0	-3 066	0	0	0
C	CR001	001	G	0	0	-19 380	0	0	0
C	CR001	002	G	0	0	-4 845	0	0	0
C	CR002	001	G	0	0	-6 412	0	0	0
C	CR002	001	G	0	0	-3 941	0	0	0
Nodo 00045									
C	CR001	001	G	0	0	-4 212	0	0	0
C	CR001	002	G	0	0	-1 053	0	0	0
C	CR001	001	G	0	0	-12 262	0	0	0
C	CR001	002	G	0	0	-3 066	0	0	0
C	CR002	001	G	0	0	-3 941	0	0	0
C	CR002	001	G	0	0	-1 354	0	0	0
Nodo 00047									
C	CR001	001	G	0	0	-4 212	0	0	0
C	CR001	002	G	0	0	-1 053	0	0	0
C	CR001	001	G	0	0	-4 850	0	0	0
C	CR001	002	G	0	0	-1 212	0	0	0
C	CR002	001	G	0	0	-1 559	0	0	0
C	CR002	001	G	0	0	-1 354	0	0	0
Nodo 00048									
C	CR007	001	G	0	0	-486	0	0	0
C	CR008	002	G	0	0	-236	0	0	0
C	CR009	004	G	0	0	-694	0	0	0
C	CR007	001	G	0	0	-1 224	0	0	0
C	CR008	002	G	0	0	-595	0	0	0
C	CR009	004	G	0	0	-1 749	0	0	0
C	CR003	001	G	0	0	-293	0	0	0
C	CR004	002	G	0	0	-107	0	0	0
C	CR005	003	G	0	0	-44	0	0	0
C	CR006	005	G	0	0	-43	0	0	0
C	CR003	001	G	0	0	-2 143	0	0	0
C	CR004	002	G	0	0	-779	0	0	0
C	CR005	003	G	0	0	-325	0	0	0
C	CR006	005	G	0	0	-312	0	0	0
Nodo 00049									
C	CR001	001	G	0	0	-4 850	0	0	0
C	CR001	002	G	0	0	-1 212	0	0	0
C	CR002	001	G	0	0	-4 500	0	0	0
C	CR002	001	G	0	0	-1 559	0	0	0
Nodo 00050									
C	CR007	001	G	0	0	-900	0	0	0
C	CR008	002	G	0	0	-437	0	0	0
C	CR009	004	G	0	0	-1 285	0	0	0
C	CR003	001	G	0	0	-2 262	0	0	0
C	CR004	002	G	0	0	-822	0	0	0
C	CR005	003	G	0	0	-343	0	0	0
C	CR006	005	G	0	0	-329	0	0	0
C	CR003	001	G	0	0	-272	0	0	0
C	CR004	002	G	0	0	-99	0	0	0

Carichi sui nodi (per condizioni di carico non sismiche)									
TC	C	CC	SR	F _x	F _y	F _z	M _x	M _y	M _z
				[N]	[N]	[N]	[N-m]	[N-m]	[N-m]
C	CR005	003	G	0	0	-41	0	0	0
C	CR006	005	G	0	0	-40	0	0	0
Nodo 00051									
C	CR001	001	G	0	0	-4 850	0	0	0
C	CR001	002	G	0	0	-1 212	0	0	0
C	CR002	001	G	0	0	-1 559	0	0	0
C	CR002	001	G	0	0	-4 500	0	0	0
Nodo 00052									
C	CR007	001	G	0	0	-900	0	0	0
C	CR008	002	G	0	0	-437	0	0	0
C	CR009	004	G	0	0	-1 285	0	0	0
C	CR003	001	G	0	0	-239	0	0	0
C	CR004	002	G	0	0	-87	0	0	0
C	CR005	003	G	0	0	-36	0	0	0
C	CR006	005	G	0	0	-35	0	0	0
C	CR003	001	G	0	0	-2 006	0	0	0
C	CR004	002	G	0	0	-729	0	0	0
C	CR005	003	G	0	0	-304	0	0	0
C	CR006	005	G	0	0	-292	0	0	0
Nodo 00053									
C	CR001	001	G	0	0	-10 850	0	0	0
C	CR001	002	G	0	0	-2 712	0	0	0
C	CR001	001	G	0	0	-4 850	0	0	0
C	CR001	002	G	0	0	-1 212	0	0	0
C	CR002	001	G	0	0	-3 488	0	0	0
C	CR002	001	G	0	0	-1 559	0	0	0
Nodo 00054									
C	CR007	001	G	0	0	-1 247	0	0	0
C	CR008	002	G	0	0	-606	0	0	0
C	CR009	004	G	0	0	-1 781	0	0	0
C	CR007	001	G	0	0	-486	0	0	0
C	CR008	002	G	0	0	-236	0	0	0
C	CR009	004	G	0	0	-695	0	0	0
C	CR007	001	G	0	0	-1 290	0	0	0
C	CR008	002	G	0	0	-627	0	0	0
C	CR009	004	G	0	0	-1 843	0	0	0
C	CR003	001	G	0	0	-1 769	0	0	0
C	CR004	002	G	0	0	-643	0	0	0
C	CR005	003	G	0	0	-268	0	0	0
C	CR006	005	G	0	0	-257	0	0	0
C	CR003	001	G	0	0	-265	0	0	0
C	CR004	002	G	0	0	-96	0	0	0
C	CR005	003	G	0	0	-40	0	0	0
C	CR006	005	G	0	0	-39	0	0	0
Nodo 00055									
C	CR001	001	G	0	0	-16 625	0	0	0
C	CR001	002	G	0	0	-4 156	0	0	0
C	CR001	001	G	0	0	-10 850	0	0	0
C	CR001	002	G	0	0	-2 712	0	0	0
C	CR002	001	G	0	0	-3 488	0	0	0
C	CR002	001	G	0	0	-5 344	0	0	0
Nodo 00056									
C	CR001	001	G	0	0	-17 150	0	0	0
C	CR001	002	G	0	0	-4 288	0	0	0
C	CR001	001	G	0	0	-16 625	0	0	0
C	CR001	002	G	0	0	-4 156	0	0	0
C	CR002	001	G	0	0	-5 512	0	0	0
C	CR002	001	G	0	0	-5 344	0	0	0
Nodo 00058									
C	CR001	001	G	0	0	-14 525	0	0	0
C	CR001	002	G	0	0	-3 631	0	0	0
C	CR001	001	G	0	0	-17 150	0	0	0
C	CR001	002	G	0	0	-4 288	0	0	0
C	CR002	001	G	0	0	-5 512	0	0	0
C	CR002	001	G	0	0	-4 669	0	0	0
Nodo 00062									
C	CR003	001	G	0	0	-1 801	0	0	0
C	CR004	002	G	0	0	-655	0	0	0
C	CR005	003	G	0	0	-273	0	0	0
C	CR006	005	G	0	0	-262	0	0	0
C	CR003	001	G	0	0	-646	0	0	0
C	CR004	002	G	0	0	-235	0	0	0
C	CR005	003	G	0	0	-98	0	0	0
C	CR006	005	G	0	0	-94	0	0	0
C	CR003	001	G	0	0	-331	0	0	0
C	CR004	002	G	0	0	-121	0	0	0
C	CR005	003	G	0	0	-50	0	0	0
C	CR006	005	G	0	0	-48	0	0	0
Nodo 00064									
C	CR003	001	G	0	0	-742	0	0	0
C	CR004	002	G	0	0	-270	0	0	0
C	CR005	003	G	0	0	-112	0	0	0
C	CR006	005	G	0	0	-108	0	0	0

Carichi sui nodi (per condizioni di carico non sismiche)									
TC	C	CC	SR	F _x	F _y	F _z	M _x	M _y	M _z
				[N]	[N]	[N]	[N-m]	[N-m]	[N-m]
C	CR003	001	G	0	0	-742	0	0	0
C	CR004	002	G	0	0	-270	0	0	0
C	CR005	003	G	0	0	-112	0	0	0
C	CR006	005	G	0	0	-108	0	0	0
Nodo 00066									
C	CR001	001	G	0	0	-19 890	0	0	0
C	CR001	002	G	0	0	-4 972	0	0	0
C	CR001	001	G	0	0	-7 310	0	0	0
C	CR001	002	G	0	0	-1 828	0	0	0
C	CR002	001	G	0	0	-2 419	0	0	0
C	CR002	001	G	0	0	-6 581	0	0	0
Nodo 00067									
C	CR003	001	G	0	0	-2 897	0	0	0
C	CR004	002	G	0	0	-1 054	0	0	0
C	CR005	003	G	0	0	-439	0	0	0
C	CR006	005	G	0	0	-421	0	0	0
Nodo 00069									
C	CR003	001	G	0	0	-4 447	0	0	0
C	CR004	002	G	0	0	-1 617	0	0	0
C	CR005	003	G	0	0	-674	0	0	0
C	CR006	005	G	0	0	-647	0	0	0
C	CR003	001	G	0	0	-787	0	0	0
C	CR004	002	G	0	0	-286	0	0	0
C	CR005	003	G	0	0	-119	0	0	0
C	CR006	005	G	0	0	-114	0	0	0
C	CR003	001	G	0	0	-1 411	0	0	0
C	CR004	002	G	0	0	-513	0	0	0
C	CR005	003	G	0	0	-214	0	0	0
C	CR006	005	G	0	0	-205	0	0	0
Nodo 00071									
C	CR003	001	G	0	0	-886	0	0	0
C	CR004	002	G	0	0	-322	0	0	0
C	CR005	003	G	0	0	-134	0	0	0
C	CR006	005	G	0	0	-129	0	0	0
C	CR003	001	G	0	0	-322	0	0	0
C	CR004	002	G	0	0	-117	0	0	0
C	CR005	003	G	0	0	-49	0	0	0
C	CR006	005	G	0	0	-47	0	0	0
C	CR003	001	G	0	0	-494	0	0	0
C	CR004	002	G	0	0	-180	0	0	0
C	CR005	003	G	0	0	-75	0	0	0
C	CR006	005	G	0	0	-72	0	0	0
C	CR003	001	G	0	0	-1 581	0	0	0
C	CR004	002	G	0	0	-575	0	0	0
C	CR005	003	G	0	0	-240	0	0	0
C	CR006	005	G	0	0	-230	0	0	0
C	CR003	001	G	0	0	-1 503	0	0	0
C	CR004	002	G	0	0	-547	0	0	0
C	CR005	003	G	0	0	-228	0	0	0
C	CR006	005	G	0	0	-219	0	0	0
Nodo 00072									
C	CR003	001	G	0	0	-1 213	0	0	0
C	CR004	002	G	0	0	-441	0	0	0
C	CR005	003	G	0	0	-184	0	0	0
C	CR006	005	G	0	0	-176	0	0	0
C	CR003	001	G	0	0	-1 213	0	0	0
C	CR004	002	G	0	0	-441	0	0	0
C	CR005	003	G	0	0	-184	0	0	0
C	CR006	005	G	0	0	-176	0	0	0
Nodo 00073									
C	CR003	001	G	0	0	-1 745	0	0	0
C	CR004	002	G	0	0	-634	0	0	0
C	CR005	003	G	0	0	-264	0	0	0
C	CR006	005	G	0	0	-254	0	0	0
C	CR003	001	G	0	0	-1 745	0	0	0
C	CR004	002	G	0	0	-634	0	0	0
C	CR005	003	G	0	0	-264	0	0	0
C	CR006	005	G	0	0	-254	0	0	0
C	CR003	001	G	0	0	-742	0	0	0
C	CR004	002	G	0	0	-270	0	0	0
C	CR005	003	G	0	0	-112	0	0	0
C	CR006	005	G	0	0	-108	0	0	0
C	CR003	001	G	0	0	-742	0	0	0
C	CR004	002	G	0	0	-270	0	0	0
C	CR005	003	G	0	0	-112	0	0	0
C	CR006	005	G	0	0	-108	0	0	0
Nodo 00074									
C	CR003	001	G	0	0	-1 027	0	0	0
C	CR004	002	G	0	0	-374	0	0	0
C	CR005	003	G	0	0	-156	0	0	0
C	CR006	005	G	0	0	-149	0	0	0
C	CR003	001	G	0	0	-1 027	0	0	0
C	CR004	002	G	0	0	-374	0	0	0

Carichi sui nodi (per condizioni di carico non sismiche)									
TC	C	CC	SR	F _x	F _y	F _z	M _x	M _y	M _z
				[N]	[N]	[N]	[N-m]	[N-m]	[N-m]
C	CR005	003	G	0	0	-156	0	0	0
C	CR006	005	G	0	0	-149	0	0	0
C	CR003	001	G	0	0	-1 213	0	0	0
C	CR004	002	G	0	0	-441	0	0	0
C	CR005	003	G	0	0	-184	0	0	0
C	CR006	005	G	0	0	-176	0	0	0
C	CR003	001	G	0	0	-1 213	0	0	0
C	CR004	002	G	0	0	-441	0	0	0
C	CR005	003	G	0	0	-184	0	0	0
C	CR006	005	G	0	0	-176	0	0	0
Nodo 00075									
C	CR003	001	G	0	0	-1 745	0	0	0
C	CR004	002	G	0	0	-634	0	0	0
C	CR005	003	G	0	0	-264	0	0	0
C	CR006	005	G	0	0	-254	0	0	0
C	CR003	001	G	0	0	-1 745	0	0	0
C	CR004	002	G	0	0	-634	0	0	0
C	CR005	003	G	0	0	-264	0	0	0
C	CR006	005	G	0	0	-254	0	0	0
Nodo 00076									
C	CR003	001	G	0	0	-1 349	0	0	0
C	CR004	002	G	0	0	-490	0	0	0
C	CR005	003	G	0	0	-204	0	0	0
C	CR006	005	G	0	0	-196	0	0	0
C	CR003	001	G	0	0	-1 349	0	0	0
C	CR004	002	G	0	0	-490	0	0	0
C	CR005	003	G	0	0	-204	0	0	0
C	CR006	005	G	0	0	-196	0	0	0
Nodo 00077									
C	CR003	001	G	0	0	-1 158	0	0	0
C	CR004	002	G	0	0	-421	0	0	0
C	CR005	003	G	0	0	-176	0	0	0
C	CR006	005	G	0	0	-168	0	0	0
C	CR003	001	G	0	0	-438	0	0	0
C	CR004	002	G	0	0	-159	0	0	0
C	CR005	003	G	0	0	-66	0	0	0
C	CR006	005	G	0	0	-64	0	0	0
C	CR003	001	G	0	0	-1 596	0	0	0
C	CR004	002	G	0	0	-580	0	0	0
C	CR005	003	G	0	0	-242	0	0	0
C	CR006	005	G	0	0	-232	0	0	0
C	CR003	001	G	0	0	-742	0	0	0
C	CR004	002	G	0	0	-270	0	0	0
C	CR005	003	G	0	0	-112	0	0	0
C	CR006	005	G	0	0	-108	0	0	0
C	CR003	001	G	0	0	-742	0	0	0
C	CR004	002	G	0	0	-270	0	0	0
C	CR005	003	G	0	0	-112	0	0	0
C	CR006	005	G	0	0	-108	0	0	0
Nodo 00078									
C	CR003	001	G	0	0	-6	0	0	0
C	CR004	002	G	0	0	-2	0	0	0
C	CR005	003	G	0	0	-1	0	0	0
C	CR006	005	G	0	0	-1	0	0	0
C	CR003	001	G	0	0	-6	0	0	0
C	CR004	002	G	0	0	-2	0	0	0
C	CR005	003	G	0	0	-1	0	0	0
C	CR006	005	G	0	0	-1	0	0	0
C	CR003	001	G	0	0	-1 449	0	0	0
C	CR004	002	G	0	0	-527	0	0	0
C	CR005	003	G	0	0	-220	0	0	0
C	CR006	005	G	0	0	-211	0	0	0
C	CR003	001	G	0	0	-1 449	0	0	0
C	CR004	002	G	0	0	-527	0	0	0
C	CR005	003	G	0	0	-220	0	0	0
C	CR006	005	G	0	0	-211	0	0	0
Nodo 00079									
C	CR003	001	G	0	0	-1 596	0	0	0
C	CR004	002	G	0	0	-580	0	0	0
C	CR005	003	G	0	0	-242	0	0	0
C	CR006	005	G	0	0	-232	0	0	0
C	CR003	001	G	0	0	-438	0	0	0
C	CR004	002	G	0	0	-159	0	0	0
C	CR005	003	G	0	0	-66	0	0	0
C	CR006	005	G	0	0	-64	0	0	0
C	CR003	001	G	0	0	-1 158	0	0	0
C	CR004	002	G	0	0	-421	0	0	0
C	CR005	003	G	0	0	-176	0	0	0
C	CR006	005	G	0	0	-168	0	0	0
Nodo 00080									
C	CR003	001	G	0	0	-1 349	0	0	0
C	CR004	002	G	0	0	-490	0	0	0
C	CR005	003	G	0	0	-204	0	0	0

Carichi sui nodi (per condizioni di carico non sismiche)									
TC	C	CC	SR	F _x	F _y	F _z	M _x	M _y	M _z
				[N]	[N]	[N]	[N-m]	[N-m]	[N-m]
C	CR006	005	G	0	0	-196	0	0	0
C	CR003	001	G	0	0	-1 349	0	0	0
C	CR004	002	G	0	0	-490	0	0	0
C	CR005	003	G	0	0	-204	0	0	0
C	CR006	005	G	0	0	-196	0	0	0
C	CR003	001	G	0	0	-1 027	0	0	0
C	CR004	002	G	0	0	-374	0	0	0
C	CR005	003	G	0	0	-156	0	0	0
C	CR006	005	G	0	0	-149	0	0	0
C	CR003	001	G	0	0	-1 027	0	0	0
C	CR004	002	G	0	0	-374	0	0	0
C	CR005	003	G	0	0	-156	0	0	0
C	CR006	005	G	0	0	-149	0	0	0
Nodo 00081									
C	CR003	001	G	0	0	-1 349	0	0	0
C	CR004	002	G	0	0	-490	0	0	0
C	CR005	003	G	0	0	-204	0	0	0
C	CR006	005	G	0	0	-196	0	0	0
C	CR003	001	G	0	0	-1 329	0	0	0
C	CR004	002	G	0	0	-483	0	0	0
C	CR005	003	G	0	0	-201	0	0	0
C	CR006	005	G	0	0	-193	0	0	0
C	CR003	001	G	0	0	-1 059	0	0	0
C	CR004	002	G	0	0	-385	0	0	0
C	CR005	003	G	0	0	-160	0	0	0
C	CR006	005	G	0	0	-154	0	0	0
C	CR003	001	G	0	0	-1 063	0	0	0
C	CR004	002	G	0	0	-387	0	0	0
C	CR005	003	G	0	0	-161	0	0	0
C	CR006	005	G	0	0	-155	0	0	0
Nodo 00082									
C	CR003	001	G	0	0	-1 596	0	0	0
C	CR004	002	G	0	0	-580	0	0	0
C	CR005	003	G	0	0	-242	0	0	0
C	CR006	005	G	0	0	-232	0	0	0
C	CR003	001	G	0	0	-1 596	0	0	0
C	CR004	002	G	0	0	-580	0	0	0
C	CR005	003	G	0	0	-242	0	0	0
C	CR006	005	G	0	0	-232	0	0	0
C	CR003	001	G	0	0	-875	0	0	0
C	CR004	002	G	0	0	-318	0	0	0
C	CR005	003	G	0	0	-133	0	0	0
C	CR006	005	G	0	0	-127	0	0	0
C	CR003	001	G	0	0	-322	0	0	0
C	CR004	002	G	0	0	-117	0	0	0
C	CR005	003	G	0	0	-49	0	0	0
C	CR006	005	G	0	0	-47	0	0	0
C	CR003	001	G	0	0	-1 189	0	0	0
C	CR004	002	G	0	0	-432	0	0	0
C	CR005	003	G	0	0	-180	0	0	0
C	CR006	005	G	0	0	-173	0	0	0
Nodo 00083									
C	CR003	001	G	0	0	-4	0	0	0
C	CR004	002	G	0	0	-1	0	0	0
C	CR005	003	G	0	0	-1	0	0	0
C	CR006	005	G	0	0	-1	0	0	0
C	CR003	001	G	0	0	-4	0	0	0
C	CR004	002	G	0	0	-2	0	0	0
C	CR005	003	G	0	0	-1	0	0	0
C	CR006	005	G	0	0	-1	0	0	0
Nodo 00085									
C	CR003	001	G	0	0	-1 596	0	0	0
C	CR004	002	G	0	0	-580	0	0	0
C	CR005	003	G	0	0	-242	0	0	0
C	CR006	005	G	0	0	-232	0	0	0
C	CR003	001	G	0	0	-1 596	0	0	0
C	CR004	002	G	0	0	-580	0	0	0
C	CR005	003	G	0	0	-242	0	0	0
C	CR006	005	G	0	0	-232	0	0	0
Nodo 00086									
C	CR003	001	G	0	0	-1 349	0	0	0
C	CR004	002	G	0	0	-490	0	0	0
C	CR005	003	G	0	0	-204	0	0	0
C	CR006	005	G	0	0	-196	0	0	0
C	CR003	001	G	0	0	-1 349	0	0	0
C	CR004	002	G	0	0	-490	0	0	0
C	CR005	003	G	0	0	-204	0	0	0
C	CR006	005	G	0	0	-196	0	0	0
Nodo 00088									
C	CR003	001	G	0	0	-3 472	0	0	0
C	CR004	002	G	0	0	-1 262	0	0	0
C	CR005	003	G	0	0	-526	0	0	0
C	CR006	005	G	0	0	-505	0	0	0

Carichi sui nodi (per condizioni di carico non sismiche)									
TC	C	CC	SR	F _x	F _y	F _z	M _x	M _y	M _z
				[N]	[N]		[N-m]	[N-m]	[N-m]

LEGENDA:

TC Descrizione del tipo di carico: [L] = Lineare - [C] = Concentrato - [S] = Superficiale - [T] = Termico.

C Descrizione del carico:

CR001= TAMPONATURA: Muratura diompagnamento esistente CR002= PESO PROPRIO (cordolo) CR003= SOLAIO: Solaio esistente latero-cemento gettato in opera s=30+5 CR004= SOLAIO: Solaio esistente latero-cemento gettato in opera s=30+5 (sovraccarico permanente) CR005= SOLAIO: Solaio esistente latero-cemento gettato in opera s=30+5 (sovraccarico accidentale) CR006= SOLAIO: Solaio esistente latero-cemento gettato in opera s=30+5 (carico neve) CR007= BALCONE: LatCem Balcone H20 CR008= BALCONE: LatCem Balcone H20 (sovraccarico permanente) CR009= BALCONE: LatCem Balcone H20 (sovraccarico accidentale)

CC Identificativo della tipologia di carico nella relativa tabella.

SR Identificativo del sistema di riferimento considerato: [G] = Sistema di riferimento Globale X, Y, Z - [L] = Sistema di riferimento Locale 1, 2, 3.

F_x, F_y, F_z Componenti del vettore Forza riferita agli assi del sistema di riferimento indicato nella colonna "S.R".

M_x, M_y, M_z Momenti relativi agli assi del sistema di riferimento.

CARICHI SUI NODI (PER ANALISI SISMICA NON LINEARE)

Carichi sui nodi (per analisi sismica non lineare)																
Id _{Nd}	Distr		RC	Direzioni												
	X	Y		+X	-X	+Y	-Y	+X, Ecc+Y	+X, Ecc- Y	-X, Ecc+Y	-X, Ecc- Y	+Y, Ecc+X	+Y, Ecc- X	-Y, Ecc+X	-Y, Ecc- X	
				[N]	[N]	[N]	[N]	[N]	[N]	[N]	[N]	[N]	[N]	[N]	[N]	
00001			-	-	-	-	-	0	0	0	0	0	0	0	0	
			-	-	-	-	-	0	0	0	0	0	0	0	0	
00002			-	-	-	-	-	2049	1321	-2049	-1321	28394	30895	-28394	-30895	
			-	-	-	-	-	15442	10182	-15442	-10182	9460	16265	-9460	-16265	
00003			-	-	-	-	-	0	0	0	0	0	0	0	0	
			-	-	-	-	-	0	0	0	0	0	0	0	0	
00004			-	-	-	-	-	0	0	0	0	0	0	0	0	
			-	-	-	-	-	0	0	0	0	0	0	0	0	
00005			-	-	-	-	-	3458	2085	-3458	-2085	31832	35857	-31832	-35857	
			-	-	-	-	-	28645	18387	-28645	-18387	19738	27477	-19738	-27477	
00006			-	-	-	-	-	0	0	0	0	0	0	0	0	
			-	-	-	-	-	0	0	0	0	0	0	0	0	
00007			-	-	-	-	-	0	0	0	0	0	0	0	0	
			-	-	-	-	-	0	0	0	0	0	0	0	0	
00008			-	-	-	-	-	1934	1080	-1934	-1080	7660	9450	-7660	-9450	
			-	-	-	-	-	17685	11049	-17685	-11049	13992	14855	-13992	-14855	
00009			-	-	-	-	-	0	0	0	0	0	0	0	0	
			-	-	-	-	-	0	0	0	0	0	0	0	0	
00010			-	-	-	-	-	0	0	0	0	0	0	0	0	
			-	-	-	-	-	0	0	0	0	0	0	0	0	
00011			-	-	-	-	-	1841	1028	-1841	-1028	3992	5346	-3992	-5346	
			-	-	-	-	-	16832	10516	-16832	-10516	14122	13333	-14122	-13333	
00012			-	-	-	-	-	0	0	0	0	0	0	0	0	
			-	-	-	-	-	0	0	0	0	0	0	0	0	
00013			-	-	-	-	-	0	0	0	0	0	0	0	0	
			-	-	-	-	-	0	0	0	0	0	0	0	0	
00014			-	-	-	-	-	8515	8554	-8515	-8554	13259	16359	-13259	-16359	
			-	-	-	-	-	26307	23432	-26307	-23432	24220	25714	-24220	-25714	
00015			-	-	-	-	-	0	0	0	0	0	0	0	0	
			-	-	-	-	-	0	0	0	0	0	0	0	0	
00016			-	-	-	-	-	7954	7990	-7954	-7990	6781	9083	-6781	-9083	
			-	-	-	-	-	24574	21888	-24574	-21888	23992	22652	-23992	-22652	
00017			-	-	-	-	-	0	0	0	0	0	0	0	0	
			-	-	-	-	-	0	0	0	0	0	0	0	0	
00018			-	-	-	-	-	0	0	0	0	0	0	0	0	
			-	-	-	-	-	0	0	0	0	0	0	0	0	
00019			-	-	-	-	-	0	0	0	0	0	0	0	0	
			-	-	-	-	-	0	0	0	0	0	0	0	0	
00020			-	-	-	-	-	0	0	0	0	0	0	0	0	
			-	-	-	-	-	0	0	0	0	0	0	0	0	
00021			-	-	-	-	-	6440	6469	-6440	-6469	41681	45354	-41681	-45354	
			-	-	-	-	-	19895	17721	-19895	-17721	13887	23876	-13887	-23876	
00022			-	-	-	-	-	0	0	0	0	0	0	0	0	
			-	-	-	-	-	0	0	0	0	0	0	0	0	
00023			-	-	-	-	-	0	0	0	0	0	0	0	0	
			-	-	-	-	-	0	0	0	0	0	0	0	0	
00024			-	-	-	-	-	3221	1799	-3221	-1799	241	930	-241	-930	
			-	-	-	-	-	29452	18401	-29452	-18401	27927	20112	-27927	-20112	
00025			-	-	-	-	-	0	0	0	0	0	0	0	0	
			-	-	-	-	-	0	0	0	0	0	0	0	0	
00026			-	-	-	-	-	0	0	0	0	0	0	0	0	
			-	-	-	-	-	0	0	0	0	0	0	0	0	
00027			-	-	-	-	-	3130	1748	-3130	-1748	518	-2	-518	2	
			-	-	-	-	-	28615	17879	-28615	-17879	29049	17627	-29049	-17627	
00028			-	-	-	-	-	0	0	0	0	0	0	0	0	
			-	-	-	-	-	0	0	0	0	0	0	0	0	
00029			-	-	-	-	-	8507	8295	-8507	-8295	592	-2	-592	2	
			-	-	-	-	-	28493	24607	-28493	-24607	33176	20132	-33176	-20132	
00030			-	-	-	-	-	0	0	0	0	0	0	0	0	
			-	-	-	-	-	0	0	0	0	0	0	0	0	
00031			-	-	-	-	-	10435	10483	-10435	-10483	307	1184	-307	-1184	
			-	-	-	-	-	32240	28716	-32240	-28716	35575	25620	-35575	-25620	

Carichi sui nodi (per analisi sismica non lineare)

Id _{Nd}	Distr		RC	Direzioni											
	X	Y		+X	-X	+Y	-Y	+X, Ecc+Y	+X, Ecc- Y	-X, Ecc+Y	-X, Ecc-Y	+Y, Ecc+X	+Y, Ecc- X	-Y, Ecc+X	-Y, Ecc-X
00032			-	[N]	[N]	[N]	[N]	[N]	[N]	[N]	[N]	[N]	[N]	[N]	[N]
			-	-	-	-	-	0	0	0	0	0	0	0	0
			-	-	-	-	-	0	0	0	0	0	0	0	0
00033			-	-	-	-	-	0	0	0	0	0	0	0	0
			-	-	-	-	-	0	0	0	0	0	0	0	0
00034			-	-	-	-	-	15373	17584	-15373	-17584	325	1257	-325	-1257
			-	-	-	-	-	31473	33209	-31473	-33209	37749	27185	-37749	-27185
00035			-	-	-	-	-	0	0	0	0	0	0	0	0
			-	-	-	-	-	0	0	0	0	0	0	0	0
00036			-	-	-	-	-	10354	12644	-10354	-12644	9	326	-9	-326
			-	-	-	-	-	16404	19434	-16404	-19434	21252	14726	-21252	-14726
00037			-	-	-	-	-	0	0	0	0	0	0	0	0
			-	-	-	-	-	0	0	0	0	0	0	0	0
00038			-	-	-	-	-	9200	12511	-9200	-12511	408	68	-408	-68
			-	-	-	-	-	8536	13222	-8536	-13222	13740	8104	-13740	-8104
00039			-	-	-	-	-	0	0	0	0	0	0	0	0
			-	-	-	-	-	0	0	0	0	0	0	0	0
00040			-	-	-	-	-	0	0	0	0	0	0	0	0
			-	-	-	-	-	0	0	0	0	0	0	0	0
00041			-	-	-	-	-	24738	33642	-24738	-33642	15	531	-15	-531
			-	-	-	-	-	22953	35554	-22953	-35554	34696	24041	-34696	-24041
00042			-	-	-	-	-	0	0	0	0	0	0	0	0
			-	-	-	-	-	0	0	0	0	0	0	0	0
00043			-	-	-	-	-	0	0	0	0	0	0	0	0
			-	-	-	-	-	0	0	0	0	0	0	0	0
00044			-	-	-	-	-	27267	36759	-27267	-36759	10610	14027	-10610	-14027
			-	-	-	-	-	26608	40124	-26608	-40124	34216	32779	-34216	-32779
00045			-	-	-	-	-	0	0	0	0	0	0	0	0
			-	-	-	-	-	0	0	0	0	0	0	0	0
00046			-	-	-	-	-	13433	17947	-13433	-17947	9021	11138	-9021	-11138
			-	-	-	-	-	13791	20249	-13791	-20249	16588	17587	-16588	-17587
00047			-	-	-	-	-	0	0	0	0	0	0	0	0
			-	-	-	-	-	0	0	0	0	0	0	0	0
00048			-	-	-	-	-	8219	10981	-8219	-10981	6546	7925	-6546	-7925
			-	-	-	-	-	8438	12389	-8438	-12389	9939	10970	-9939	-10970
00049			-	-	-	-	-	0	0	0	0	0	0	0	0
			-	-	-	-	-	0	0	0	0	0	0	0	0
00050			-	-	-	-	-	16293	21604	-16293	-21604	15931	18925	-15931	-18925
			-	-	-	-	-	17425	25047	-17425	-25047	19785	22853	-19785	-22853
00051			-	-	-	-	-	0	0	0	0	0	0	0	0
			-	-	-	-	-	0	0	0	0	0	0	0	0
00052			-	-	-	-	-	16004	21221	-16004	-21221	23061	26414	-23061	-26414
			-	-	-	-	-	17116	24603	-17116	-24603	18235	23648	-18235	-23648
00053			-	-	-	-	-	0	0	0	0	0	0	0	0
			-	-	-	-	-	0	0	0	0	0	0	0	0
00054			-	-	-	-	-	11371	15192	-11371	-15192	18225	20641	-18225	-20641
			-	-	-	-	-	11675	17141	-11675	-17141	12267	16662	-12267	-16662
00055			-	-	-	-	-	0	0	0	0	0	0	0	0
			-	-	-	-	-	0	0	0	0	0	0	0	0
00056			-	-	-	-	-	0	0	0	0	0	0	0	0
			-	-	-	-	-	0	0	0	0	0	0	0	0
00057			-	-	-	-	-	11305	15103	-11305	-15103	31744	34540	-31744	-34540
			-	-	-	-	-	11606	17041	-11606	-17041	10576	18184	-10576	-18184
00058			-	-	-	-	-	0	0	0	0	0	0	0	0
			-	-	-	-	-	0	0	0	0	0	0	0	0
00059			-	-	-	-	-	9418	11159	-9418	-11159	39640	43133	-39640	-43133
			-	-	-	-	-	16879	18895	-16879	-18895	13207	22707	-13207	-22707
00060			-	-	-	-	-	0	0	0	0	0	0	0	0
			-	-	-	-	-	0	0	0	0	0	0	0	0
00061			-	-	-	-	-	0	0	0	0	0	0	0	0
			-	-	-	-	-	0	0	0	0	0	0	0	0
00062			-	-	-	-	-	16794	19394	-16794	-19394	18229	22506	-18229	-22506
			-	-	-	-	-	33194	35568	-33194	-35568	33505	35527	-33505	-35527
00063			-	-	-	-	-	0	0	0	0	0	0	0	0
			-	-	-	-	-	0	0	0	0	0	0	0	0
00064			-	-	-	-	-	15838	18115	-15838	-18115	10594	14007	-10594	-14007
			-	-	-	-	-	32424	34213	-32424	-34213	34167	32732	-34167	-32732
00065			-	-	-	-	-	0	0	0	0	0	0	0	0
			-	-	-	-	-	0	0	0	0	0	0	0	0
00066			-	-	-	-	-	0	0	0	0	0	0	0	0
			-	-	-	-	-	0	0	0	0	0	0	0	0
00067			-	-	-	-	-	10360	11260	-10360	-11260	736	66	-736	-66
			-	-	-	-	-	25259	24741	-25259	-24741	31406	18789	-31406	-18789
00068			-	-	-	-	-	0	0	0	0	0	0	0	0
			-	-	-	-	-	0	0	0	0	0	0	0	0
00069			-	-	-	-	-	14521	17353	-14521	-17353	38429	43105	-38429	-43105
			-	-	-	-	-	25155	28597	-25155	-28597	22289	31673	-22289	-31673
00070			-	-	-	-	-	0	0	0	0	0	0	0	0
			-	-	-	-	-	0	0	0	0	0	0	0	0
00071			-	-	-	-	-	20522	24962	-20522	-24962	33056	38495	-33056	-38495
			-	-	-	-	-	33056	38860	-33056	-38860	32468	39731	-32468	-39731
00072			-	-	-	-	-	14213	18988	-14213	-18988	29098	32342	-29098	-32342
			-	-	-	-	-	14591	21424	-14591	-21424	14513	21644	-14513	-21644

Carichi sui nodi (per analisi sismica non lineare)

Id _{Nd}	Distr		RC	Direzioni											
	X	Y		+X	-X	+Y	-Y	+X, Ecc+Y	+X, Ecc- Y	-X, Ecc+Y	-X, Ecc-Y	+Y, Ecc+X	+Y, Ecc- X	-Y, Ecc+X	-Y, Ecc-X
				[N]	[N]	[N]	[N]	[N]	[N]	[N]	[N]	[N]	[N]	[N]	[N]
00073			-	-	-	-	-	16388	18744	-16388	-18744	4011	6387	-4011	-6387
			-	-	-	-	-	33549	35400	-33549	-35400	37728	31491	-37728	-31491
00074			-	-	-	-	-	10765	12755	-10765	-12755	35777	39542	-35777	-39542
			-	-	-	-	-	19293	21597	-19293	-21597	16149	24901	-16149	-24901
00075			-	-	-	-	-	28347	38549	-28347	-38549	3101	5212	-3101	-5212
			-	-	-	-	-	26302	40740	-26302	-40740	37066	30240	-37066	-30240
00076			-	-	-	-	-	14796	19135	-14796	-19135	793	132	-793	-132
			-	-	-	-	-	18012	24240	-18012	-24240	26682	15737	-26682	-15737
00077			-	-	-	-	-	10398	10445	-10398	-10445	3533	5626	-3533	-5626
			-	-	-	-	-	32124	28613	-32124	-28613	33234	27741	-33234	-27741
00078			-	-	-	-	-	3014	2348	-3014	-2348	144	557	-144	-557
			-	-	-	-	-	16611	12050	-16611	-12050	16727	12046	-16727	-12046
00079			-	-	-	-	-	3480	1943	-3480	-1943	3007	4789	-3007	-4789
			-	-	-	-	-	31820	19881	-31820	-19881	28289	23613	-28289	-23613
00080			-	-	-	-	-	7944	7981	-7944	-7981	40604	44877	-40604	-44877
			-	-	-	-	-	24545	21862	-24545	-21862	18327	28261	-18327	-28261
00081			-	-	-	-	-	8941	8982	-8941	-8982	35350	39820	-35350	-39820
			-	-	-	-	-	27624	24605	-27624	-24605	21920	30514	-21920	-30514
00082			-	-	-	-	-	12665	12723	-12665	-12723	34005	39600	-34005	-39600
			-	-	-	-	-	39130	34853	-39130	-34853	33400	40872	-33400	-40872
00083			-	-	-	-	-	1189	926	-1189	-926	1650	2210	-1650	-2210
			-	-	-	-	-	6553	4754	-6553	-4754	5839	5513	-5839	-5513
00084			-	-	-	-	-	1183	922	-1183	-922	2998	3699	-2998	-3699
			-	-	-	-	-	6519	4729	-6519	-4729	5477	5815	-5477	-5815
00085			-	-	-	-	-	3592	2006	-3592	-2006	23548	27529	-23548	-27529
			-	-	-	-	-	32847	20523	-32847	-20523	24255	29323	-24255	-29323
00086			-	-	-	-	-	2824	1821	-2824	-1821	30894	34145	-30894	-34145
			-	-	-	-	-	21279	14030	-21279	-14030	13944	21503	-13944	-21503
00087			-	-	-	-	-	10635	12795	-10635	-12795	9949	12147	-9949	-12147
			-	-	-	-	-	9310	11275	-9310	-11275	9242	11324	-9242	-11324
00088			-	-	-	-	-	7384	6217	-7384	-6217	11647	14224	-11647	-14224
			-	-	-	-	-	13226	10876	-13226	-10876	10816	13257	-10816	-13257
00089			-	-	-	-	-	13454	16523	-13454	-16523	10946	9087	-10946	-9087
			-	-	-	-	-	11150	13946	-11150	-13946	13727	11344	-13727	-11344
00090			-	-	-	-	-	6703	5501	-6703	-5501	9836	8165	-9836	-8165
			-	-	-	-	-	12485	10071	-12485	-10071	12334	10193	-12334	-10193

LEGENDA:

Id_{Nd} Identificativo del nodo.**Distr** Distribuzione delle forze (0P = Principale non richiesta; 1P = Principale proporzionale alle forze statiche; 2P = Proporzionale I Modo vibrazione; 3P = Principale proporzionale ai taglianti; 0S = Secondaria non richiesta; 1S = Secondaria proporzionale alle masse; 2S = secondaria multimodale).**RC** Risposta combinata del sisma nelle due direzioni: +0,3 (30% degli effetti del sisma in direzione concorde perpendicolare alla principale), -0,3 (30% degli effetti del sisma in direzione disconcorde perpendicolare alla principale), "-" (non richiesta)**Direzioni** Direzioni di analisi sismica ed eventuali eccentricità. In parentesi sono indicate le forze nodali nella direzione secondaria considerata, nel caso siano calcolati gli effetti combinati nelle due direzioni

CARICHI SULLE TRAVI

Carichi sulle travi															
TC	C	CC	SR	Dis _i	F _{X,i} /Q _{X,i}	F _{Y,i} /Q _{Y,i}	F _{Z,i} /Q _{Z,i}	M _{X,i} /M _{T,i}	M _{Y,i}	M _{Z,i}	Dis _f	Q _{X,f}	Q _{Y,f}	Q _{Z,f}	M _{T,f}
				[m]	[N;N/m]	[N;N/m]	[N;N/m]	[N-m;N-m/m]	[N-m;N-m/m]	[N-m;N-m/m]	[m]	[N/m]	[N/m]	[N/m]	[N-m/m]
Solaio torino scala +720			Travata: Trave 5-6						Trave: Trave 5-6			Peso proprio			-3 750
L	CR001	002	G	0,00	0	0	-180	0	-	-	0,00	0	0	-180	0
L	CR002	003	G	0,00	0	0	-75	0	-	-	0,00	0	0	-75	0
L	CR003	005	G	0,00	0	0	-72	0	-	-	0,00	0	0	-72	0
Solaio torino scala +720			Travata: Trave 18-19						Trave: Trave 18-19			Peso proprio			-3 750
L	CR001	002	G	0,00	0	0	-180	0	-	-	0,00	0	0	-180	0
L	CR002	003	G	0,00	0	0	-75	0	-	-	0,00	0	0	-75	0
L	CR003	005	G	0,00	0	0	-72	0	-	-	0,00	0	0	-72	0
Solaio torino scala +720			Travata: Trave 5-18						Trave: Trave 5-18			Peso proprio			-3 750
L	CR004	001	G	0,00	0	0	-5 786	0	-	-	0,00	0	0	-5 786	0
L	CR001	002	G	0,00	0	0	-2 104	0	-	-	0,00	0	0	-2 104	0
L	CR002	003	G	0,00	0	0	-877	0	-	-	0,00	0	0	-877	0
L	CR003	005	G	0,00	0	0	-842	0	-	-	0,00	0	0	-842	0
L	CR001	002	G	0,00	0	0	-180	0	-	-	0,00	0	0	-180	0
L	CR002	003	G	0,00	0	0	-75	0	-	-	0,00	0	0	-75	0
L	CR003	005	G	0,00	0	0	-72	0	-	-	0,00	0	0	-72	0
Solaio torino scala +720			Travata: Trave 6-19						Trave: Trave 6-19			Peso proprio			-3 750
L	CR004	001	G	0,00	0	0	-5 786	0	-	-	0,00	0	0	-5 786	0
L	CR001	002	G	0,00	0	0	-2 104	0	-	-	0,00	0	0	-2 104	0
L	CR002	003	G	0,00	0	0	-877	0	-	-	0,00	0	0	-877	0
L	CR003	005	G	0,00	0	0	-842	0	-	-	0,00	0	0	-842	0
L	CR001	002	G	0,00	0	0	-180	0	-	-	0,00	0	0	-180	0
L	CR002	003	G	0,00	0	0	-75	0	-	-	0,00	0	0	-75	0
L	CR003	005	G	0,00	0	0	-72	0	-	-	0,00	0	0	-72	0
Solai a quota +400			Travata: Trave 1-2-3-10-11-4-5-6						Trave: Trave 1-2			Peso proprio			-3 750
L	CR004	001	G	0,00	0	0	-8 085	0	-	-	1,05	0	0	-8 085	0
L	CR001	002	G	0,00	0	0	-2 940	0	-	-	1,05	0	0	-2 940	0

														Carichi sulle travi	
TC	C	CC	SR	Dis _i	F _{X,i} /Q _{X,i}	F _{Y,i} /Q _{Y,i}	F _{Z,i} /Q _{Z,i}	M _{X,i} /M _{T,i}	M _{Y,i}	M _{Z,i}	Dis _f	Q _{X,f}	Q _{Y,f}	Q _{Z,f}	M _{T,f}
				[m]	[N/N/m]	[N/N/m]	[N/N/m]	[N-m;N-m/m]	[N-m;N-m/m]	[N-m;N-m/m]	[m]	[N/m]	[N/m]	[N/m]	[N-m/m]
L	CR002	003	G	0,00	0	0	-1 225	0	-	-	1,05	0	0	-1 225	0
L	CR003	005	G	0,00	0	0	-1 176	0	-	-	1,05	0	0	-1 176	0
L	CR004	001	G	3,70	0	0	-8 085	0	-	-	0,00	0	0	-8 085	0
L	CR001	002	G	3,70	0	0	-2 940	0	-	-	0,00	0	0	-2 940	0
L	CR002	003	G	3,70	0	0	-1 225	0	-	-	0,00	0	0	-1 225	0
L	CR003	005	G	3,70	0	0	-1 176	0	-	-	0,00	0	0	-1 176	0
L	CR001	002	G	0,00	0	0	-180	0	-	-	0,00	0	0	-180	0
L	CR002	003	G	0,00	0	0	-75	0	-	-	0,00	0	0	-75	0
L	CR003	005	G	0,00	0	0	-72	0	-	-	0,00	0	0	-72	0
L	CR005	001	G	0,00	0	0	-2 000	0	-	-	0,00	0	0	-2 000	0
L	CR005	002	G	0,00	0	0	-500	0	-	-	0,00	0	0	-500	0
Solai a quota +400				Travata: Trave 1-2-3-10-11-4-5-6				Trave: Trave 2-3			Peso proprio			-3 750	
L	CR006	001	G	3,01	0	0	-3 632	0	-	-	0,00	0	0	-3 835	0
L	CR007	002	G	3,01	0	0	-1 764	0	-	-	0,00	0	0	-1 863	0
L	CR008	004	G	3,01	0	0	-5 188	0	-	-	0,00	0	0	-5 478	0
L	CR006	001	G	2,57	0	0	-2 448	0	-	-	0,09	0	0	-3 632	0
L	CR007	002	G	2,57	0	0	-1 189	0	-	-	0,09	0	0	-1 764	0
L	CR008	004	G	2,57	0	0	-3 498	0	-	-	0,09	0	0	-5 188	0
L	CR006	001	G	2,21	0	0	-1 255	0	-	-	0,53	0	0	-2 448	0
L	CR007	002	G	2,21	0	0	-609	0	-	-	0,53	0	0	-1 189	0
L	CR008	004	G	2,21	0	0	-1 792	0	-	-	0,53	0	0	-3 498	0
L	CR006	001	G	1,90	0	0	0	0	-	-	0,89	0	0	-1 255	0
L	CR007	002	G	1,90	0	0	0	0	-	-	0,89	0	0	-609	0
L	CR008	004	G	1,90	0	0	0	0	-	-	0,89	0	0	-1 792	0
L	CR004	001	G	0,00	0	0	-8 085	0	-	-	1,65	0	0	-8 085	0
L	CR001	002	G	0,00	0	0	-2 940	0	-	-	1,65	0	0	-2 940	0
L	CR002	003	G	0,00	0	0	-1 225	0	-	-	1,65	0	0	-1 225	0
L	CR003	005	G	0,00	0	0	-1 176	0	-	-	1,65	0	0	-1 176	0
L	CR004	001	G	1,45	0	0	-8 085	0	-	-	1,55	0	0	-7 182	0
L	CR001	002	G	1,45	0	0	-2 940	0	-	-	1,55	0	0	-2 612	0
L	CR002	003	G	1,45	0	0	-1 225	0	-	-	1,55	0	0	-1 088	0
L	CR003	005	G	1,45	0	0	-1 176	0	-	-	1,55	0	0	-1 045	0
L	CR004	001	G	1,55	0	0	-7 182	0	-	-	0,00	0	0	-6 881	0
L	CR001	002	G	1,55	0	0	-2 612	0	-	-	0,00	0	0	-2 502	0
L	CR002	003	G	1,55	0	0	-1 088	0	-	-	0,00	0	0	-1 043	0
L	CR003	005	G	1,55	0	0	-1 045	0	-	-	0,00	0	0	-1 001	0
L	CR001	002	G	0,00	0	0	-180	0	-	-	0,00	0	0	-180	0
L	CR002	003	G	0,00	0	0	-75	0	-	-	0,00	0	0	-75	0
L	CR003	005	G	0,00	0	0	-72	0	-	-	0,00	0	0	-72	0
L	CR005	001	G	0,00	0	0	-2 000	0	-	-	0,00	0	0	-2 000	0
L	CR005	002	G	0,00	0	0	-500	0	-	-	0,00	0	0	-500	0
Solai a quota +400				Travata: Trave 1-2-3-10-11-4-5-6				Trave: Trave 3-10			Peso proprio			-4 500	
L	CR006	001	G	0,96	0	0	-8 233	0	-	-	0,00	0	0	0	0
L	CR007	002	G	0,96	0	0	-3 999	0	-	-	0,00	0	0	0	0
L	CR008	004	G	0,96	0	0	-11 762	0	-	-	0,00	0	0	0	0
L	CR006	001	G	0,58	0	0	-7 489	0	-	-	0,41	0	0	-8 233	0
L	CR007	002	G	0,58	0	0	-3 637	0	-	-	0,41	0	0	-3 999	0
L	CR008	004	G	0,58	0	0	-10 698	0	-	-	0,41	0	0	-11 762	0
L	CR006	001	G	0,24	0	0	-6 721	0	-	-	0,80	0	0	-7 489	0
L	CR007	002	G	0,24	0	0	-3 264	0	-	-	0,80	0	0	-3 637	0
L	CR008	004	G	0,24	0	0	-9 601	0	-	-	0,80	0	0	-10 698	0
L	CR006	001	G	0,00	0	0	-6 018	0	-	-	1,13	0	0	-6 721	0
L	CR007	002	G	0,00	0	0	-2 923	0	-	-	1,13	0	0	-3 264	0
L	CR008	004	G	0,00	0	0	-8 597	0	-	-	1,13	0	0	-9 601	0
L	CR004	001	G	0,00	0	0	-6 543	0	-	-	0,00	0	0	-5 696	0
L	CR001	002	G	0,00	0	0	-2 379	0	-	-	0,00	0	0	-2 071	0
L	CR002	003	G	0,00	0	0	-991	0	-	-	0,00	0	0	-863	0
L	CR003	005	G	0,00	0	0	-952	0	-	-	0,00	0	0	-829	0
L	CR001	002	G	0,00	0	0	-180	0	-	-	0,00	0	0	-180	0
L	CR002	003	G	0,00	0	0	-75	0	-	-	0,00	0	0	-75	0
L	CR003	005	G	0,00	0	0	-72	0	-	-	0,00	0	0	-72	0
L	CR005	001	G	0,00	0	0	-2 000	0	-	-	0,00	0	0	-2 000	0
L	CR005	002	G	0,00	0	0	-500	0	-	-	0,00	0	0	-500	0
Solai a quota +400				Travata: Trave 1-2-3-10-11-4-5-6				Trave: Trave 10-11			Peso proprio			-4 500	
L	CR006	001	G	3,89	0	0	-8 260	0	-	-	0,00	0	0	-5 998	0
L	CR007	002	G	3,89	0	0	-4 012	0	-	-	0,00	0	0	-2 913	0
L	CR008	004	G	3,89	0	0	-11 800	0	-	-	0,00	0	0	-8 568	0
L	CR006	001	G	3,73	0	0	-8 406	0	-	-	0,11	0	0	-8 260	0
L	CR007	002	G	3,73	0	0	-4 083	0	-	-	0,11	0	0	-4 012	0
L	CR008	004	G	3,73	0	0	-12 008	0	-	-	0,11	0	0	-11 800	0
L	CR006	001	G	3,12	0	0	-8 795	0	-	-	0,27	0	0	-8 406	0
L	CR007	002	G	3,12	0	0	-4 272	0	-	-	0,27	0	0	-4 083	0
L	CR008	004	G	3,12	0	0	-12 565	0	-	-	0,27	0	0	-12 008	0
L	CR006	001	G	2,56	0	0	-9 012	0	-	-	0,88	0	0	-8 795	0
L	CR007	002	G	2,56	0	0	-4 377	0	-	-	0,88	0	0	-4 272	0
L	CR008	004	G	2,56	0	0	-12 874	0	-	-	0,88	0	0	-12 565	0
L	CR006	001	G	2,00	0	0	-9 112	0	-	-	1,44	0	0	-9 012	0
L	CR007	002	G	2,00	0	0	-4 426	0	-	-	1,44	0	0	-4 377	0
L	CR008	004	G	2,00	0	0	-13 017	0	-	-	1,44	0	0	-12 874	0
L	CR006	001	G	1,40	0	0	-9 019	0	-	-	2,00	0	0	-9 112	0
L	CR007	002	G	1,40	0	0	-4 381	0	-	-	2,00	0	0	-4 426	0
L	CR008	004	G	1,40	0	0	-12 885	0	-	-	2,00	0	0	-13 017	0
L	CR006	001	G	0,89	0	0	-8 819	0	-	-	2,60	0	0	-9 019	0
L	CR007	002	G	0,89	0	0	-4 283	0	-	-	2,60	0	0	-4 381	0

														Carichi sulle travi	
TC	C	CC	SR	Dis _i	F _{X,i} /Q _{X,i}	F _{Y,i} /Q _{Y,i}	F _{Z,i} /Q _{Z,i}	M _{X,i} /M _{T,i}	M _{Y,i}	M _{Z,i}	Dis _f	Q _{X,f}	Q _{Y,f}	Q _{Z,f}	M _{T,f}
				[m]	[N/m]	[N/m]	[N/m]	[N-m/m]	[N-m/m]	[N-m/m]	[m]	[N/m]	[N/m]	[N/m]	[N-m/m]
L	CR008	004	G	0,89	0	0	-12 598	0	-	-	2,60	0	0	-12 885	0
L	CR006	001	G	0,34	0	0	-8 446	0	-	-	3,11	0	0	-8 819	0
L	CR007	002	G	0,34	0	0	-4 103	0	-	-	3,11	0	0	-4 283	0
L	CR008	004	G	0,34	0	0	-12 066	0	-	-	3,11	0	0	-12 598	0
L	CR006	001	G	0,11	0	0	-8 233	0	-	-	3,66	0	0	-8 446	0
L	CR007	002	G	0,11	0	0	-3 999	0	-	-	3,66	0	0	-4 103	0
L	CR008	004	G	0,11	0	0	-11 762	0	-	-	3,66	0	0	-12 066	0
L	CR006	001	G	0,00	0	0	-5 998	0	-	-	3,89	0	0	-8 233	0
L	CR007	002	G	0,00	0	0	-2 913	0	-	-	3,89	0	0	-3 999	0
L	CR008	004	G	0,00	0	0	-8 568	0	-	-	3,89	0	0	-11 762	0
L	CR004	001	G	0,00	0	0	-5 831	0	-	-	1,96	0	0	-5 432	0
L	CR001	002	G	0,00	0	0	-2 120	0	-	-	1,96	0	0	-1 975	0
L	CR002	003	G	0,00	0	0	-883	0	-	-	1,96	0	0	-823	0
L	CR003	005	G	0,00	0	0	-848	0	-	-	1,96	0	0	-790	0
L	CR004	001	G	2,04	0	0	-5 432	0	-	-	0,00	0	0	-6 518	0
L	CR001	002	G	2,04	0	0	-1 975	0	-	-	0,00	0	0	-2 370	0
L	CR002	003	G	2,04	0	0	-823	0	-	-	0,00	0	0	-988	0
L	CR003	005	G	2,04	0	0	-790	0	-	-	0,00	0	0	-948	0
L	CR001	002	G	0,00	0	0	-180	0	-	-	0,00	0	0	-180	0
L	CR002	003	G	0,00	0	0	-75	0	-	-	0,00	0	0	-75	0
L	CR003	005	G	0,00	0	0	-72	0	-	-	0,00	0	0	-72	0
L	CR005	001	G	0,00	0	0	-2 000	0	-	-	0,00	0	0	-2 000	0
L	CR005	002	G	0,00	0	0	-500	0	-	-	0,00	0	0	-500	0
Solai a quota +400			Travata: Trave 1-2-3-10-11-4-5-6					Trave: Trave 4-11			Peso proprio			-4 500	
L	CR006	001	G	0,00	0	0	-5 996	0	-	-	0,69	0	0	-7 727	0
L	CR007	002	G	0,00	0	0	-2 912	0	-	-	0,69	0	0	-3 753	0
L	CR008	004	G	0,00	0	0	-8 566	0	-	-	0,69	0	0	-11 039	0
L	CR006	001	G	0,68	0	0	-7 727	0	-	-	0,41	0	0	-8 260	0
L	CR007	002	G	0,68	0	0	-3 753	0	-	-	0,41	0	0	-4 012	0
L	CR008	004	G	0,68	0	0	-11 039	0	-	-	0,41	0	0	-11 800	0
L	CR006	001	G	0,96	0	0	-8 260	0	-	-	0,00	0	0	0	0
L	CR007	002	G	0,96	0	0	-4 012	0	-	-	0,00	0	0	0	0
L	CR008	004	G	0,96	0	0	-11 800	0	-	-	0,00	0	0	0	0
L	CR004	001	G	0,00	0	0	-7 794	0	-	-	0,00	0	0	-6 490	0
L	CR001	002	G	0,00	0	0	-2 834	0	-	-	0,00	0	0	-2 360	0
L	CR002	003	G	0,00	0	0	-1 181	0	-	-	0,00	0	0	-983	0
L	CR003	005	G	0,00	0	0	-1 134	0	-	-	0,00	0	0	-944	0
L	CR001	002	G	0,00	0	0	-180	0	-	-	0,00	0	0	-180	0
L	CR002	003	G	0,00	0	0	-75	0	-	-	0,00	0	0	-75	0
L	CR003	005	G	0,00	0	0	-72	0	-	-	0,00	0	0	-72	0
L	CR005	001	G	0,00	0	0	-2 000	0	-	-	0,00	0	0	-2 000	0
L	CR005	002	G	0,00	0	0	-500	0	-	-	0,00	0	0	-500	0
Solai a quota +400			Travata: Trave 1-2-3-10-11-4-5-6					Trave: Trave 5-4			Peso proprio			-3 750	
L	CR006	001	G	0,00	0	0	-1	0	-	-	0,88	0	0	-1 286	0
L	CR007	002	G	0,00	0	0	0	0	-	-	0,88	0	0	-625	0
L	CR008	004	G	0,00	0	0	-1	0	-	-	0,88	0	0	-1 837	0
L	CR006	001	G	0,32	0	0	-1 286	0	-	-	0,51	0	0	-2 514	0
L	CR007	002	G	0,32	0	0	-625	0	-	-	0,51	0	0	-1 221	0
L	CR008	004	G	0,32	0	0	-1 837	0	-	-	0,51	0	0	-3 592	0
L	CR006	001	G	0,70	0	0	-2 514	0	-	-	0,11	0	0	-3 602	0
L	CR007	002	G	0,70	0	0	-1 221	0	-	-	0,11	0	0	-1 750	0
L	CR008	004	G	0,70	0	0	-3 592	0	-	-	0,11	0	0	-5 146	0
L	CR006	001	G	1,10	0	0	-3 602	0	-	-	0,00	0	0	-3 827	0
L	CR007	002	G	1,10	0	0	-1 750	0	-	-	0,00	0	0	-1 859	0
L	CR008	004	G	1,10	0	0	-5 146	0	-	-	0,00	0	0	-5 467	0
L	CR004	001	G	0,00	0	0	-8 955	0	-	-	0,00	0	0	-8 288	0
L	CR001	002	G	0,00	0	0	-3 256	0	-	-	0,00	0	0	-3 014	0
L	CR002	003	G	0,00	0	0	-1 357	0	-	-	0,00	0	0	-1 256	0
L	CR003	005	G	0,00	0	0	-1 303	0	-	-	0,00	0	0	-1 206	0
L	CR001	002	G	0,00	0	0	-180	0	-	-	0,00	0	0	-180	0
L	CR002	003	G	0,00	0	0	-75	0	-	-	0,00	0	0	-75	0
L	CR003	005	G	0,00	0	0	-72	0	-	-	0,00	0	0	-72	0
L	CR005	001	G	0,00	0	0	-2 000	0	-	-	0,00	0	0	-2 000	0
L	CR005	002	G	0,00	0	0	-500	0	-	-	0,00	0	0	-500	0
Solai a quota +400			Travata: Trave 1-2-3-10-11-4-5-6					Trave: Trave 5-6			Peso proprio			-3 750	
L	CR005	001	G	0,00	0	0	-5 400	0	-	-	0,00	0	0	-5 400	0
L	CR005	002	G	0,00	0	0	-1 350	0	-	-	0,00	0	0	-1 350	0
Solai a quota +400			Travata: Trave 6-7-8-9					Trave: Trave 6-7			Peso proprio			-4 500	
L	CR004	001	G	0,00	0	0	-11 632	0	-	-	0,70	0	0	-11 632	0
L	CR001	002	G	0,00	0	0	-4 230	0	-	-	0,70	0	0	-4 230	0
L	CR002	003	G	0,00	0	0	-1 762	0	-	-	0,70	0	0	-1 762	0
L	CR003	005	G	0,00	0	0	-1 692	0	-	-	0,70	0	0	-1 692	0
L	CR004	001	G	5,00	0	0	-11 632	0	-	-	0,00	0	0	-11 632	0
L	CR001	002	G	5,00	0	0	-4 230	0	-	-	0,00	0	0	-4 230	0
L	CR002	003	G	5,00	0	0	-1 762	0	-	-	0,00	0	0	-1 762	0
L	CR003	005	G	5,00	0	0	-1 692	0	-	-	0,00	0	0	-1 692	0
L	CR001	002	G	0,00	0	0	-180	0	-	-	0,00	0	0	-180	0
L	CR002	003	G	0,00	0	0	-75	0	-	-	0,00	0	0	-75	0
L	CR003	005	G	0,00	0	0	-72	0	-	-	0,00	0	0	-72	0
L	CR005	001	G	0,00	0	0	-2 000	0	-	-	0,00	0	0	-2 000	0
L	CR005	002	G	0,00	0	0	-500	0	-	-	0,00	0	0	-500	0
Solai a quota +400			Travata: Trave 6-7-8-9					Trave: Trave 7-8			Peso proprio			-4 500	
L	CR004	001	G	0,00	0	0	-11 632	0	-	-	1,61	0	0	-11 632	0
L	CR001	002	G	0,00	0	0	-4 230	0	-	-	1,61	0	0	-4 230	0

														Carichi sulle travi	
TC	C	CC	SR	Dis _i	F _{X,i} /Q _{X,i}	F _{Y,i} /Q _{Y,i}	F _{Z,i} /Q _{Z,i}	M _{X,i} /M _{T,i}	M _{Y,i}	M _{Z,i}	Dis _f	Q _{X,f}	Q _{Y,f}	Q _{Z,f}	M _{T,f}
				[m]	[N/m]	[N/m]	[N/m]	[N-m/N-m/m]	[N-m/N-m/m]	[N-m/N-m/m]	[m]	[N/m]	[N/m]	[N/m]	[N-m/m]
L	CR002	003	G	0,00	0	0	-1 762	0	-	-	1,61	0	0	-1 762	0
L	CR003	005	G	0,00	0	0	-1 692	0	-	-	1,61	0	0	-1 692	0
L	CR004	001	G	4,09	0	0	-11 632	0	-	-	0,28	0	0	-7 765	0
L	CR001	002	G	4,09	0	0	-4 230	0	-	-	0,28	0	0	-2 824	0
L	CR002	003	G	4,09	0	0	-1 762	0	-	-	0,28	0	0	-1 176	0
L	CR003	005	G	4,09	0	0	-1 692	0	-	-	0,28	0	0	-1 129	0
L	CR004	001	G	5,42	0	0	-7 765	0	-	-	0,00	0	0	-8 027	0
L	CR001	002	G	5,42	0	0	-2 824	0	-	-	0,00	0	0	-2 919	0
L	CR002	003	G	5,42	0	0	-1 176	0	-	-	0,00	0	0	-1 216	0
L	CR003	005	G	5,42	0	0	-1 129	0	-	-	0,00	0	0	-1 168	0
L	CR001	002	G	0,00	0	0	-180	0	-	-	0,00	0	0	-180	0
L	CR002	003	G	0,00	0	0	-75	0	-	-	0,00	0	0	-75	0
L	CR003	005	G	0,00	0	0	-72	0	-	-	0,00	0	0	-72	0
L	CR005	001	G	0,00	0	0	-2 000	0	-	-	0,00	0	0	-2 000	0
L	CR005	002	G	0,00	0	0	-500	0	-	-	0,00	0	0	-500	0
Solai a quota +400			Travata: Trave 6-7-8-9					Trave: Trave 8-9			Peso proprio			-4 500	
L	CR001	002	G	0,00	0	0	-180	0	-	-	0,00	0	0	-180	0
L	CR002	003	G	0,00	0	0	-75	0	-	-	0,00	0	0	-75	0
L	CR003	005	G	0,00	0	0	-72	0	-	-	0,00	0	0	-72	0
L	CR005	001	G	0,00	0	0	-2 000	0	-	-	0,00	0	0	-2 000	0
L	CR005	002	G	0,00	0	0	-500	0	-	-	0,00	0	0	-500	0
Solai a quota +400			Travata: Trave 13-14-15					Trave: Trave 13-14			Peso proprio			-3 750	
L	CR004	001	G	0,00	0	0	-6 848	0	-	-	0,00	0	0	-6 848	0
L	CR001	002	G	0,00	0	0	-2 490	0	-	-	0,00	0	0	-2 490	0
L	CR002	003	G	0,00	0	0	-1 038	0	-	-	0,00	0	0	-1 038	0
L	CR003	005	G	0,00	0	0	-996	0	-	-	0,00	0	0	-996	0
L	CR001	002	G	0,00	0	0	-180	0	-	-	0,00	0	0	-180	0
L	CR002	003	G	0,00	0	0	-75	0	-	-	0,00	0	0	-75	0
L	CR003	005	G	0,00	0	0	-72	0	-	-	0,00	0	0	-72	0
L	CR004	001	G	0,00	0	0	-8 085	0	-	-	0,00	0	0	-8 085	0
L	CR001	002	G	0,00	0	0	-2 940	0	-	-	0,00	0	0	-2 940	0
L	CR002	003	G	0,00	0	0	-1 225	0	-	-	0,00	0	0	-1 225	0
L	CR003	005	G	0,00	0	0	-1 176	0	-	-	0,00	0	0	-1 176	0
L	CR001	002	G	0,00	0	0	-180	0	-	-	0,00	0	0	-180	0
L	CR002	003	G	0,00	0	0	-75	0	-	-	0,00	0	0	-75	0
L	CR003	005	G	0,00	0	0	-72	0	-	-	0,00	0	0	-72	0
Solai a quota +400			Travata: Trave 13-14-15					Trave: Trave 14-15			Peso proprio			-3 750	
L	CR004	001	G	0,00	0	0	-6 848	0	-	-	0,25	0	0	-6 848	0
L	CR001	002	G	0,00	0	0	-2 490	0	-	-	0,25	0	0	-2 490	0
L	CR002	003	G	0,00	0	0	-1 038	0	-	-	0,25	0	0	-1 038	0
L	CR003	005	G	0,00	0	0	-996	0	-	-	0,25	0	0	-996	0
L	CR001	002	G	0,00	0	0	-180	0	-	-	0,25	0	0	-180	0
L	CR002	003	G	0,00	0	0	-75	0	-	-	0,25	0	0	-75	0
L	CR003	005	G	0,00	0	0	-72	0	-	-	0,25	0	0	-72	0
L	CR004	001	G	0,00	0	0	-8 085	0	-	-	1,60	0	0	-8 085	0
L	CR001	002	G	0,00	0	0	-2 940	0	-	-	1,60	0	0	-2 940	0
L	CR002	003	G	0,00	0	0	-1 225	0	-	-	1,60	0	0	-1 225	0
L	CR003	005	G	0,00	0	0	-1 176	0	-	-	1,60	0	0	-1 176	0
L	CR004	001	G	1,05	0	0	-8 085	0	-	-	0,00	0	0	-8 085	0
L	CR001	002	G	1,05	0	0	-2 940	0	-	-	0,00	0	0	-2 940	0
L	CR002	003	G	1,05	0	0	-1 225	0	-	-	0,00	0	0	-1 225	0
L	CR003	005	G	1,05	0	0	-1 176	0	-	-	0,00	0	0	-1 176	0
L	CR001	002	G	0,00	0	0	-180	0	-	-	0,00	0	0	-180	0
L	CR002	003	G	0,00	0	0	-75	0	-	-	0,00	0	0	-75	0
L	CR003	005	G	0,00	0	0	-72	0	-	-	0,00	0	0	-72	0
Solai a quota +400			Travata: Trave 15-16-18-19-20-21					Trave: Trave 16-15			Peso proprio			-7 000	
L	CR004	001	G	4,63	0	0	-7 023	0	-	-	0,00	0	0	-6 925	0
L	CR001	002	G	4,63	0	0	-2 554	0	-	-	0,00	0	0	-2 518	0
L	CR002	003	G	4,63	0	0	-1 064	0	-	-	0,00	0	0	-1 049	0
L	CR003	005	G	4,63	0	0	-1 021	0	-	-	0,00	0	0	-1 007	0
L	CR004	001	G	0,00	0	0	-7 913	0	-	-	0,51	0	0	-7 023	0
L	CR001	002	G	0,00	0	0	-2 877	0	-	-	0,51	0	0	-2 554	0
L	CR002	003	G	0,00	0	0	-1 199	0	-	-	0,51	0	0	-1 064	0
L	CR003	005	G	0,00	0	0	-1 151	0	-	-	0,51	0	0	-1 021	0
L	CR001	002	G	0,00	0	0	-480	0	-	-	0,00	0	0	-480	0
L	CR002	003	G	0,00	0	0	-200	0	-	-	0,00	0	0	-200	0
L	CR003	005	G	0,00	0	0	-192	0	-	-	0,00	0	0	-192	0
L	CR004	001	G	3,52	0	0	-6 783	0	-	-	0,00	0	0	-7 094	0
L	CR001	002	G	3,52	0	0	-2 467	0	-	-	0,00	0	0	-2 580	0
L	CR002	003	G	3,52	0	0	-1 028	0	-	-	0,00	0	0	-1 075	0
L	CR003	005	G	3,52	0	0	-987	0	-	-	0,00	0	0	-1 032	0
L	CR004	001	G	2,11	0	0	-5 857	0	-	-	1,62	0	0	-6 783	0
L	CR001	002	G	2,11	0	0	-2 130	0	-	-	1,62	0	0	-2 467	0
L	CR002	003	G	2,11	0	0	-887	0	-	-	1,62	0	0	-1 028	0
L	CR003	005	G	2,11	0	0	-852	0	-	-	1,62	0	0	-987	0
L	CR004	001	G	0,00	0	0	-5 451	0	-	-	3,03	0	0	-5 857	0
L	CR001	002	G	0,00	0	0	-1 982	0	-	-	3,03	0	0	-2 130	0
L	CR002	003	G	0,00	0	0	-826	0	-	-	3,03	0	0	-887	0
L	CR003	005	G	0,00	0	0	-793	0	-	-	3,03	0	0	-852	0
L	CR001	002	G	0,00	0	0	-480	0	-	-	0,00	0	0	-480	0
L	CR002	003	G	0,00	0	0	-200	0	-	-	0,00	0	0	-200	0
L	CR003	005	G	0,00	0	0	-192	0	-	-	0,00	0	0	-192	0
Solai a quota +400			Travata: Trave 15-16-18-19-20-21					Trave: Trave 16-18			Peso proprio			-7 000	
L	CR004	001	G	0,00	0	0	-7 518	0	-	-	0,00	0	0	-4 945	0

														Carichi sulle travi	
TC	C	CC	SR	Dis _i	F _{X,i} /Q _{X,i}	F _{Y,i} /Q _{Y,i}	F _{Z,i} /Q _{Z,i}	M _{X,i} /M _{T,i}	M _{Y,i}	M _{Z,i}	Dis _f	Q _{X,f}	Q _{Y,f}	Q _{Z,f}	M _{T,f}
				[m]	[N;N/m]	[N;N/m]	[N;N/m]	[N-m;N-m/m]	[N-m;N-m/m]	[N-m;N-m/m]	[m]	[N/m]	[N/m]	[N/m]	[N-m/m]
L	CR001	002	G	0,00	0	0	-2 734	0	-	-	0,00	0	0	-1 798	0
L	CR002	003	G	0,00	0	0	-1 139	0	-	-	0,00	0	0	-749	0
L	CR003	005	G	0,00	0	0	-1 094	0	-	-	0,00	0	0	-719	0
L	CR001	002	G	0,00	0	0	-480	0	-	-	0,00	0	0	-480	0
L	CR002	003	G	0,00	0	0	-200	0	-	-	0,00	0	0	-200	0
L	CR003	005	G	0,00	0	0	-192	0	-	-	0,00	0	0	-192	0
L	CR004	001	G	0,00	0	0	-5 292	0	-	-	3,02	0	0	-6 358	0
L	CR001	002	G	0,00	0	0	-1 924	0	-	-	3,02	0	0	-2 312	0
L	CR002	003	G	0,00	0	0	-802	0	-	-	3,02	0	0	-963	0
L	CR003	005	G	0,00	0	0	-770	0	-	-	3,02	0	0	-925	0
L	CR004	001	G	2,14	0	0	-6 358	0	-	-	1,55	0	0	-7 717	0
L	CR001	002	G	2,14	0	0	-2 312	0	-	-	1,55	0	0	-2 806	0
L	CR002	003	G	2,14	0	0	-963	0	-	-	1,55	0	0	-1 169	0
L	CR003	005	G	2,14	0	0	-925	0	-	-	1,55	0	0	-1 123	0
L	CR004	001	G	3,61	0	0	-7 717	0	-	-	0,00	0	0	-8 487	0
L	CR001	002	G	3,61	0	0	-2 806	0	-	-	0,00	0	0	-3 086	0
L	CR002	003	G	3,61	0	0	-1 169	0	-	-	0,00	0	0	-1 286	0
L	CR003	005	G	3,61	0	0	-1 123	0	-	-	0,00	0	0	-1 235	0
L	CR001	002	G	0,00	0	0	-480	0	-	-	0,00	0	0	-480	0
L	CR002	003	G	0,00	0	0	-200	0	-	-	0,00	0	0	-200	0
L	CR003	005	G	0,00	0	0	-192	0	-	-	0,00	0	0	-192	0
Solai a quota +400				Travata: Trave 15-16-18-19-20-21				Trave: Trave 18-19				Peso proprio		-3 750	
L	CR004	001	G	0,00	0	0	-4 950	0	-	-	0,00	0	0	-4 950	0
L	CR001	002	G	0,00	0	0	-1 800	0	-	-	0,00	0	0	-1 800	0
L	CR002	003	G	0,00	0	0	-750	0	-	-	0,00	0	0	-750	0
L	CR003	005	G	0,00	0	0	-720	0	-	-	0,00	0	0	-720	0
L	CR001	002	G	0,00	0	0	-180	0	-	-	0,00	0	0	-180	0
L	CR002	003	G	0,00	0	0	-75	0	-	-	0,00	0	0	-75	0
L	CR003	005	G	0,00	0	0	-72	0	-	-	0,00	0	0	-72	0
L	CR005	001	G	0,00	0	0	-5 400	0	-	-	0,00	0	0	-5 400	0
L	CR005	002	G	0,00	0	0	-1 350	0	-	-	0,00	0	0	-1 350	0
Solai a quota +400				Travata: Trave 15-16-18-19-20-21				Trave: Trave 19-20				Peso proprio		-4 500	
L	CR004	001	G	0,00	0	0	-11 632	0	-	-	0,00	0	0	-11 632	0
L	CR001	002	G	0,00	0	0	-4 230	0	-	-	0,00	0	0	-4 230	0
L	CR002	003	G	0,00	0	0	-1 762	0	-	-	0,00	0	0	-1 762	0
L	CR003	005	G	0,00	0	0	-1 692	0	-	-	0,00	0	0	-1 692	0
L	CR001	002	G	0,00	0	0	-180	0	-	-	0,00	0	0	-180	0
L	CR002	003	G	0,00	0	0	-75	0	-	-	0,00	0	0	-75	0
L	CR003	005	G	0,00	0	0	-72	0	-	-	0,00	0	0	-72	0
L	CR004	001	G	0,00	0	0	-4 950	0	-	-	4,45	0	0	-4 950	0
L	CR001	002	G	0,00	0	0	-1 800	0	-	-	4,45	0	0	-1 800	0
L	CR002	003	G	0,00	0	0	-750	0	-	-	4,45	0	0	-750	0
L	CR003	005	G	0,00	0	0	-720	0	-	-	4,45	0	0	-720	0
L	CR004	001	G	0,40	0	0	-4 950	0	-	-	0,00	0	0	-4 950	0
L	CR001	002	G	0,40	0	0	-1 800	0	-	-	0,00	0	0	-1 800	0
L	CR002	003	G	0,40	0	0	-750	0	-	-	0,00	0	0	-750	0
L	CR003	005	G	0,40	0	0	-720	0	-	-	0,00	0	0	-720	0
L	CR001	002	G	0,00	0	0	-180	0	-	-	0,00	0	0	-180	0
L	CR002	003	G	0,00	0	0	-75	0	-	-	0,00	0	0	-75	0
L	CR003	005	G	0,00	0	0	-72	0	-	-	0,00	0	0	-72	0
Solai a quota +400				Travata: Trave 15-16-18-19-20-21				Trave: Trave 20-21				Peso proprio		-4 500	
L	CR004	001	G	0,00	0	0	-11 632	0	-	-	4,45	0	0	-11 632	0
L	CR001	002	G	0,00	0	0	-4 230	0	-	-	4,45	0	0	-4 230	0
L	CR002	003	G	0,00	0	0	-1 762	0	-	-	4,45	0	0	-1 762	0
L	CR003	005	G	0,00	0	0	-1 692	0	-	-	4,45	0	0	-1 692	0
L	CR004	001	G	0,70	0	0	-11 632	0	-	-	0,20	0	0	-11 632	0
L	CR001	002	G	0,70	0	0	-4 230	0	-	-	0,20	0	0	-4 230	0
L	CR002	003	G	0,70	0	0	-1 762	0	-	-	0,20	0	0	-1 762	0
L	CR003	005	G	0,70	0	0	-1 692	0	-	-	0,20	0	0	-1 692	0
L	CR001	002	G	0,00	0	0	-180	0	-	-	0,20	0	0	-180	0
L	CR002	003	G	0,00	0	0	-75	0	-	-	0,20	0	0	-75	0
L	CR003	005	G	0,00	0	0	-72	0	-	-	0,20	0	0	-72	0
L	CR004	001	G	0,00	0	0	-4 950	0	-	-	0,00	0	0	-4 950	0
L	CR001	002	G	0,00	0	0	-1 800	0	-	-	0,00	0	0	-1 800	0
L	CR002	003	G	0,00	0	0	-750	0	-	-	0,00	0	0	-750	0
L	CR003	005	G	0,00	0	0	-720	0	-	-	0,00	0	0	-720	0
L	CR001	002	G	0,00	0	0	-180	0	-	-	0,00	0	0	-180	0
L	CR002	003	G	0,00	0	0	-75	0	-	-	0,00	0	0	-75	0
L	CR003	005	G	0,00	0	0	-72	0	-	-	0,00	0	0	-72	0
Solai a quota +400				Travata: Trave 23-24-25-26-27-28-29-30				Trave: Trave 23-24				Peso proprio		-3 750	
L	CR004	001	G	0,00	0	0	-8 992	0	-	-	0,00	0	0	-8 992	0
L	CR001	002	G	0,00	0	0	-3 270	0	-	-	0,00	0	0	-3 270	0
L	CR002	003	G	0,00	0	0	-1 362	0	-	-	0,00	0	0	-1 362	0
L	CR003	005	G	0,00	0	0	-1 308	0	-	-	0,00	0	0	-1 308	0
L	CR001	002	G	0,00	0	0	-180	0	-	-	0,00	0	0	-180	0
L	CR002	003	G	0,00	0	0	-75	0	-	-	0,00	0	0	-75	0
L	CR003	005	G	0,00	0	0	-72	0	-	-	0,00	0	0	-72	0
L	CR004	001	G	0,00	0	0	-6 848	0	-	-	0,00	0	0	-6 848	0
L	CR001	002	G	0,00	0	0	-2 490	0	-	-	0,00	0	0	-2 490	0
L	CR002	003	G	0,00	0	0	-1 038	0	-	-	0,00	0	0	-1 038	0
L	CR003	005	G	0,00	0	0	-996	0	-	-	0,00	0	0	-996	0
L	CR001	002	G	0,00	0	0	-180	0	-	-	0,00	0	0	-180	0
L	CR002	003	G	0,00	0	0	-75	0	-	-	0,00	0	0	-75	0
L	CR003	005	G	0,00	0	0	-72	0	-	-	0,00	0	0	-72	0

														Carichi sulle travi	
TC	C	CC	SR	Dis _i	F _{X,i} /Q _{X,i}	F _{Y,i} /Q _{Y,i}	F _{Z,i} /Q _{Z,i}	M _{X,i} /M _{T,i}	M _{Y,i}	M _{Z,i}	Dis _f	Q _{X,f}	Q _{Y,f}	Q _{Z,f}	M _{T,f}
				[m]	[N/m]	[N/m]	[N/m]	[N-m/N-m/m]	[N-m/N-m/m]	[N-m/N-m/m]	[m]	[N/m]	[N/m]	[N/m]	[N-m]
Solai a quota +400				Travata: Trave 23-24-25-26-27-28-29-30				Trave: Trave 24-25			Peso proprio			-3 750	
L	CR004	001	G	0,00	0	0	-8 992	0	-	-	0,00	0	0	-8 992	0
L	CR001	002	G	0,00	0	0	-3 270	0	-	-	0,00	0	0	-3 270	0
L	CR002	003	G	0,00	0	0	-1 362	0	-	-	0,00	0	0	-1 362	0
L	CR003	005	G	0,00	0	0	-1 308	0	-	-	0,00	0	0	-1 308	0
L	CR001	002	G	0,00	0	0	-180	0	-	-	0,00	0	0	-180	0
L	CR002	003	G	0,00	0	0	-75	0	-	-	0,00	0	0	-75	0
L	CR003	005	G	0,00	0	0	-72	0	-	-	0,00	0	0	-72	0
L	CR004	001	G	0,00	0	0	-6 848	0	-	-	1,00	0	0	-6 848	0
L	CR001	002	G	0,00	0	0	-2 490	0	-	-	1,00	0	0	-2 490	0
L	CR002	003	G	0,00	0	0	-1 038	0	-	-	1,00	0	0	-1 038	0
L	CR003	005	G	0,00	0	0	-996	0	-	-	1,00	0	0	-996	0
L	CR004	001	G	2,40	0	0	-6 848	0	-	-	0,00	0	0	-7 042	0
L	CR001	002	G	2,40	0	0	-2 490	0	-	-	0,00	0	0	-2 561	0
L	CR002	003	G	2,40	0	0	-1 038	0	-	-	0,00	0	0	-1 067	0
L	CR003	005	G	2,40	0	0	-996	0	-	-	0,00	0	0	-1 024	0
L	CR001	002	G	0,00	0	0	-180	0	-	-	0,00	0	0	-180	0
L	CR002	003	G	0,00	0	0	-75	0	-	-	0,00	0	0	-75	0
L	CR003	005	G	0,00	0	0	-72	0	-	-	0,00	0	0	-72	0
Solai a quota +400				Travata: Trave 23-24-25-26-27-28-29-30				Trave: Trave 25-26			Peso proprio			-3 750	
L	CR004	001	G	0,00	0	0	-10 642	0	-	-	0,00	0	0	-10 642	0
L	CR001	002	G	0,00	0	0	-3 870	0	-	-	0,00	0	0	-3 870	0
L	CR002	003	G	0,00	0	0	-1 612	0	-	-	0,00	0	0	-1 612	0
L	CR003	005	G	0,00	0	0	-1 548	0	-	-	0,00	0	0	-1 548	0
L	CR001	002	G	0,00	0	0	-180	0	-	-	0,00	0	0	-180	0
L	CR002	003	G	0,00	0	0	-75	0	-	-	0,00	0	0	-75	0
L	CR003	005	G	0,00	0	0	-72	0	-	-	0,00	0	0	-72	0
L	CR004	001	G	0,00	0	0	-7 101	0	-	-	0,00	0	0	-7 968	0
L	CR001	002	G	0,00	0	0	-2 582	0	-	-	0,00	0	0	-2 898	0
L	CR002	003	G	0,00	0	0	-1 076	0	-	-	0,00	0	0	-1 207	0
L	CR003	005	G	0,00	0	0	-1 033	0	-	-	0,00	0	0	-1 159	0
L	CR001	002	G	0,00	0	0	-180	0	-	-	0,00	0	0	-180	0
L	CR002	003	G	0,00	0	0	-75	0	-	-	0,00	0	0	-75	0
L	CR003	005	G	0,00	0	0	-72	0	-	-	0,00	0	0	-72	0
Solai a quota +400				Travata: Trave 23-24-25-26-27-28-29-30				Trave: Trave 26-27			Peso proprio			-3 750	
L	CR004	001	G	0,00	0	0	-10 642	0	-	-	4,70	0	0	-10 642	0
L	CR001	002	G	0,00	0	0	-3 870	0	-	-	4,70	0	0	-3 870	0
L	CR002	003	G	0,00	0	0	-1 612	0	-	-	4,70	0	0	-1 612	0
L	CR003	005	G	0,00	0	0	-1 548	0	-	-	4,70	0	0	-1 548	0
L	CR004	001	G	0,30	0	0	-10 642	0	-	-	0,00	0	0	-10 642	0
L	CR001	002	G	0,30	0	0	-3 870	0	-	-	0,00	0	0	-3 870	0
L	CR002	003	G	0,30	0	0	-1 612	0	-	-	0,00	0	0	-1 612	0
L	CR003	005	G	0,30	0	0	-1 548	0	-	-	0,00	0	0	-1 548	0
L	CR001	002	G	0,00	0	0	-180	0	-	-	0,00	0	0	-180	0
L	CR002	003	G	0,00	0	0	-75	0	-	-	0,00	0	0	-75	0
L	CR003	005	G	0,00	0	0	-72	0	-	-	0,00	0	0	-72	0
L	CR004	001	G	0,00	0	0	-7 884	0	-	-	0,00	0	0	-5 105	0
L	CR001	002	G	0,00	0	0	-2 867	0	-	-	0,00	0	0	-1 856	0
L	CR002	003	G	0,00	0	0	-1 195	0	-	-	0,00	0	0	-774	0
L	CR003	005	G	0,00	0	0	-1 147	0	-	-	0,00	0	0	-743	0
L	CR001	002	G	0,00	0	0	-180	0	-	-	0,00	0	0	-180	0
L	CR002	003	G	0,00	0	0	-75	0	-	-	0,00	0	0	-75	0
L	CR003	005	G	0,00	0	0	-72	0	-	-	0,00	0	0	-72	0
Solai a quota +400				Travata: Trave 23-24-25-26-27-28-29-30				Trave: Trave 27-28			Peso proprio			-3 750	
L	CR004	001	G	0,00	0	0	-4 950	0	-	-	0,40	0	0	-4 950	0
L	CR001	002	G	0,00	0	0	-1 800	0	-	-	0,40	0	0	-1 800	0
L	CR002	003	G	0,00	0	0	-750	0	-	-	0,40	0	0	-750	0
L	CR003	005	G	0,00	0	0	-720	0	-	-	0,40	0	0	-720	0
L	CR004	001	G	3,70	0	0	-4 950	0	-	-	0,00	0	0	-4 950	0
L	CR001	002	G	3,70	0	0	-1 800	0	-	-	0,00	0	0	-1 800	0
L	CR002	003	G	3,70	0	0	-750	0	-	-	0,00	0	0	-750	0
L	CR003	005	G	3,70	0	0	-720	0	-	-	0,00	0	0	-720	0
L	CR001	002	G	0,00	0	0	-180	0	-	-	0,00	0	0	-180	0
L	CR002	003	G	0,00	0	0	-75	0	-	-	0,00	0	0	-75	0
L	CR003	005	G	0,00	0	0	-72	0	-	-	0,00	0	0	-72	0
L	CR005	001	G	0,00	0	0	-2 000	0	-	-	0,00	0	0	-2 000	0
L	CR005	002	G	0,00	0	0	-500	0	-	-	0,00	0	0	-500	0
Solai a quota +400				Travata: Trave 23-24-25-26-27-28-29-30				Trave: Trave 28-29			Peso proprio			-3 750	
L	CR004	001	G	0,00	0	0	-10 642	0	-	-	0,00	0	0	-10 642	0
L	CR001	002	G	0,00	0	0	-3 870	0	-	-	0,00	0	0	-3 870	0
L	CR002	003	G	0,00	0	0	-1 612	0	-	-	0,00	0	0	-1 612	0
L	CR003	005	G	0,00	0	0	-1 548	0	-	-	0,00	0	0	-1 548	0
L	CR001	002	G	0,00	0	0	-180	0	-	-	0,00	0	0	-180	0
L	CR002	003	G	0,00	0	0	-75	0	-	-	0,00	0	0	-75	0
L	CR003	005	G	0,00	0	0	-72	0	-	-	0,00	0	0	-72	0
L	CR004	001	G	0,00	0	0	-4 950	0	-	-	0,00	0	0	-4 950	0
L	CR001	002	G	0,00	0	0	-1 800	0	-	-	0,00	0	0	-1 800	0
L	CR002	003	G	0,00	0	0	-750	0	-	-	0,00	0	0	-750	0
L	CR003	005	G	0,00	0	0	-720	0	-	-	0,00	0	0	-720	0
L	CR001	002	G	0,00	0	0	-180	0	-	-	0,00	0	0	-180	0
L	CR002	003	G	0,00	0	0	-75	0	-	-	0,00	0	0	-75	0
L	CR003	005	G	0,00	0	0	-72	0	-	-	0,00	0	0	-72	0
Solai a quota +400				Travata: Trave 23-24-25-26-27-28-29-30				Trave: Trave 29-30			Peso proprio			-3 750	
L	CR004	001	G	0,00	0	0	-10 642	0	-	-	0,04	0	0	-10 642	0

Carichi sulle travi															
TC	C	CC	SR	Dis _i	F _{X,i} /Q _{X,i}	F _{Y,i} /Q _{Y,i}	F _{Z,i} /Q _{Z,i}	M _{X,i} /M _{T,i}	M _{Y,i}	M _{Z,i}	Dis _r	Q _{X,f}	Q _{Y,f}	Q _{Z,f}	M _{T,f}
				[m]	[N;N/m]	[N;N/m]	[N;N/m]	[N-m;N-m/m]	[N-m;N-m/m]	[N-m;N-m/m]	[m]	[N/m]	[N/m]	[N/m]	[N-m/m]
L	CR001	002	G	0,00	0	0	-3 870	0	-	-	0,04	0	0	-3 870	0
L	CR002	003	G	0,00	0	0	-1 612	0	-	-	0,04	0	0	-1 612	0
L	CR003	005	G	0,00	0	0	-1 548	0	-	-	0,04	0	0	-1 548	0
L	CR004	001	G	5,11	0	0	-10 642	0	-	-	0,02	0	0	-6 270	0
L	CR001	002	G	5,11	0	0	-3 870	0	-	-	0,02	0	0	-2 280	0
L	CR002	003	G	5,11	0	0	-1 612	0	-	-	0,02	0	0	-950	0
L	CR003	005	G	5,11	0	0	-1 548	0	-	-	0,02	0	0	-912	0
L	CR004	001	G	5,12	0	0	-6 270	0	-	-	0,00	0	0	0	0
L	CR001	002	G	5,12	0	0	-2 280	0	-	-	0,00	0	0	0	0
L	CR002	003	G	5,12	0	0	-950	0	-	-	0,00	0	0	0	0
L	CR003	005	G	5,12	0	0	-912	0	-	-	0,00	0	0	0	0
L	CR001	002	G	0,00	0	0	-180	0	-	-	0,00	0	0	-180	0
L	CR002	003	G	0,00	0	0	-75	0	-	-	0,00	0	0	-75	0
L	CR003	005	G	0,00	0	0	-72	0	-	-	0,00	0	0	-72	0
L	CR004	001	G	0,00	0	0	-4 950	0	-	-	0,00	0	0	-4 950	0
L	CR001	002	G	0,00	0	0	-1 800	0	-	-	0,00	0	0	-1 800	0
L	CR002	003	G	0,00	0	0	-750	0	-	-	0,00	0	0	-750	0
L	CR003	005	G	0,00	0	0	-720	0	-	-	0,00	0	0	-720	0
L	CR001	002	G	0,00	0	0	-180	0	-	-	0,00	0	0	-180	0
L	CR002	003	G	0,00	0	0	-75	0	-	-	0,00	0	0	-75	0
L	CR003	005	G	0,00	0	0	-72	0	-	-	0,00	0	0	-72	0
Solai a quota +400				Travata: Trave 35-36-37				Trave: Trave 35-36				Peso proprio		-3 750	
L	CR004	001	G	0,00	0	0	-8 992	0	-	-	0,00	0	0	-8 992	0
L	CR001	002	G	0,00	0	0	-3 270	0	-	-	0,00	0	0	-3 270	0
L	CR002	003	G	0,00	0	0	-1 362	0	-	-	0,00	0	0	-1 362	0
L	CR003	005	G	0,00	0	0	-1 308	0	-	-	0,00	0	0	-1 308	0
L	CR001	002	G	0,00	0	0	-180	0	-	-	0,00	0	0	-180	0
L	CR002	003	G	0,00	0	0	-75	0	-	-	0,00	0	0	-75	0
L	CR003	005	G	0,00	0	0	-72	0	-	-	0,00	0	0	-72	0
L	CR005	001	G	0,00	0	0	-2 000	0	-	-	0,00	0	0	-2 000	0
L	CR005	002	G	0,00	0	0	-500	0	-	-	0,00	0	0	-500	0
Solai a quota +400				Travata: Trave 35-36-37				Trave: Trave 36-37				Peso proprio		-3 750	
L	CR004	001	G	0,00	0	0	-8 992	0	-	-	0,00	0	0	-8 992	0
L	CR001	002	G	0,00	0	0	-3 270	0	-	-	0,00	0	0	-3 270	0
L	CR002	003	G	0,00	0	0	-1 362	0	-	-	0,00	0	0	-1 362	0
L	CR003	005	G	0,00	0	0	-1 308	0	-	-	0,00	0	0	-1 308	0
L	CR001	002	G	0,00	0	0	-180	0	-	-	0,00	0	0	-180	0
L	CR002	003	G	0,00	0	0	-75	0	-	-	0,00	0	0	-75	0
L	CR003	005	G	0,00	0	0	-72	0	-	-	0,00	0	0	-72	0
L	CR005	001	G	0,00	0	0	-2 000	0	-	-	0,00	0	0	-2 000	0
L	CR005	002	G	0,00	0	0	-500	0	-	-	0,00	0	0	-500	0
Solai a quota +400				Travata: Trave 37-38-39				Trave: Trave 37-38				Peso proprio		-4 500	
L	CR004	001	G	0,00	0	0	-10 642	0	-	-	0,30	0	0	-10 642	0
L	CR001	002	G	0,00	0	0	-3 870	0	-	-	0,30	0	0	-3 870	0
L	CR002	003	G	0,00	0	0	-1 612	0	-	-	0,30	0	0	-1 612	0
L	CR003	005	G	0,00	0	0	-1 548	0	-	-	0,30	0	0	-1 548	0
L	CR004	001	G	4,60	0	0	-10 642	0	-	-	0,00	0	0	-10 642	0
L	CR001	002	G	4,60	0	0	-3 870	0	-	-	0,00	0	0	-3 870	0
L	CR002	003	G	4,60	0	0	-1 612	0	-	-	0,00	0	0	-1 612	0
L	CR003	005	G	4,60	0	0	-1 548	0	-	-	0,00	0	0	-1 548	0
L	CR001	002	G	0,00	0	0	-180	0	-	-	0,00	0	0	-180	0
L	CR002	003	G	0,00	0	0	-75	0	-	-	0,00	0	0	-75	0
L	CR003	005	G	0,00	0	0	-72	0	-	-	0,00	0	0	-72	0
L	CR005	001	G	0,00	0	0	-2 000	0	-	-	0,00	0	0	-2 000	0
L	CR005	002	G	0,00	0	0	-500	0	-	-	0,00	0	0	-500	0
Solai a quota +400				Travata: Trave 37-38-39				Trave: Trave 38-39				Peso proprio		-4 500	
L	CR004	001	G	0,00	0	0	-10 642	0	-	-	0,00	0	0	-10 642	0
L	CR001	002	G	0,00	0	0	-3 870	0	-	-	0,00	0	0	-3 870	0
L	CR002	003	G	0,00	0	0	-1 612	0	-	-	0,00	0	0	-1 612	0
L	CR003	005	G	0,00	0	0	-1 548	0	-	-	0,00	0	0	-1 548	0
L	CR001	002	G	0,00	0	0	-180	0	-	-	0,00	0	0	-180	0
L	CR002	003	G	0,00	0	0	-75	0	-	-	0,00	0	0	-75	0
L	CR003	005	G	0,00	0	0	-72	0	-	-	0,00	0	0	-72	0
L	CR005	001	G	0,00	0	0	-2 000	0	-	-	0,00	0	0	-2 000	0
L	CR005	002	G	0,00	0	0	-500	0	-	-	0,00	0	0	-500	0
Solai a quota +400				Travata: Trave 40-41-42-43				Trave: Trave 40-41				Peso proprio		-4 500	
L	CR004	001	G	0,00	0	0	0	0	-	-	4,29	0	0	-4 373	0
L	CR001	002	G	0,00	0	0	0	0	-	-	4,29	0	0	-1 590	0
L	CR002	003	G	0,00	0	0	0	0	-	-	4,29	0	0	-663	0
L	CR003	005	G	0,00	0	0	0	0	-	-	4,29	0	0	-636	0
L	CR004	001	G	0,02	0	0	-4 372	0	-	-	4,26	0	0	-10 642	0
L	CR001	002	G	0,02	0	0	-1 590	0	-	-	4,26	0	0	-3 870	0
L	CR002	003	G	0,02	0	0	-662	0	-	-	4,26	0	0	-1 612	0
L	CR003	005	G	0,02	0	0	-636	0	-	-	4,26	0	0	-1 548	0
L	CR004	001	G	0,04	0	0	-10 642	0	-	-	0,00	0	0	-10 642	0
L	CR001	002	G	0,04	0	0	-3 870	0	-	-	0,00	0	0	-3 870	0
L	CR002	003	G	0,04	0	0	-1 612	0	-	-	0,00	0	0	-1 612	0
L	CR003	005	G	0,04	0	0	-1 548	0	-	-	0,00	0	0	-1 548	0
L	CR001	002	G	0,00	0	0	-180	0	-	-	0,00	0	0	-180	0
L	CR002	003	G	0,00	0	0	-75	0	-	-	0,00	0	0	-75	0
L	CR003	005	G	0,00	0	0	-72	0	-	-	0,00	0	0	-72	0
L	CR005	001	G	0,00	0	0	-2 000	0	-	-	0,00	0	0	-2 000	0
L	CR005	002	G	0,00	0	0	-500	0	-	-	0,00	0	0	-500	0
Solai a quota +400				Travata: Trave 40-41-42-43				Trave: Trave 41-42				Peso proprio		-4 500	

														Carichi sulle travi	
TC	C	CC	SR	Dis _i	F _{X,i} /Q _{X,i}	F _{Y,i} /Q _{Y,i}	F _{Z,i} /Q _{Z,i}	M _{X,i} /M _{T,i}	M _{Y,i}	M _{Z,i}	Dis _f	Q _{X,f}	Q _{Y,f}	Q _{Z,f}	M _{T,f}
				[m]	[N/m]	[N/m]	[N/m]	[N-m/N-m]	[N-m/N-m]	[N-m/N-m]	[m]	[N/m]	[N/m]	[N/m]	[N-m]
L	CR004	001	G	0,00	0	0	-10 642	0	-	-	0,00	0	0	-10 642	0
L	CR001	002	G	0,00	0	0	-3 870	0	-	-	0,00	0	0	-3 870	0
L	CR002	003	G	0,00	0	0	-1 612	0	-	-	0,00	0	0	-1 612	0
L	CR003	005	G	0,00	0	0	-1 548	0	-	-	0,00	0	0	-1 548	0
L	CR001	002	G	0,00	0	0	-180	0	-	-	0,00	0	0	-180	0
L	CR002	003	G	0,00	0	0	-75	0	-	-	0,00	0	0	-75	0
L	CR003	005	G	0,00	0	0	-72	0	-	-	0,00	0	0	-72	0
L	CR005	001	G	0,00	0	0	-2 000	0	-	-	0,00	0	0	-2 000	0
L	CR005	002	G	0,00	0	0	-500	0	-	-	0,00	0	0	-500	0
Solai a quota +400			Travata: Trave 40-41-42-43					Trave: Trave 42-43			Peso proprio			-4 500	
L	CR001	002	G	0,00	0	0	-180	0	-	-	0,00	0	0	-180	0
L	CR002	003	G	0,00	0	0	-75	0	-	-	0,00	0	0	-75	0
L	CR003	005	G	0,00	0	0	-72	0	-	-	0,00	0	0	-72	0
L	CR005	001	G	0,00	0	0	-2 000	0	-	-	0,00	0	0	-2 000	0
L	CR005	002	G	0,00	0	0	-500	0	-	-	0,00	0	0	-500	0
Solai a quota +400			Travata: Trave 1-13-23-35					Trave: Trave 1-13			Peso proprio			-3 750	
L	CR001	002	G	0,00	0	0	-180	0	-	-	0,00	0	0	-180	0
L	CR002	003	G	0,00	0	0	-75	0	-	-	0,00	0	0	-75	0
L	CR003	005	G	0,00	0	0	-72	0	-	-	0,00	0	0	-72	0
L	CR005	001	G	0,00	0	0	-2 000	0	-	-	0,00	0	0	-2 000	0
L	CR005	002	G	0,00	0	0	-500	0	-	-	0,00	0	0	-500	0
Solai a quota +400			Travata: Trave 1-13-23-35					Trave: Trave 13-23			Peso proprio			-3 750	
L	CR001	002	G	0,00	0	0	-180	0	-	-	0,00	0	0	-180	0
L	CR002	003	G	0,00	0	0	-75	0	-	-	0,00	0	0	-75	0
L	CR003	005	G	0,00	0	0	-72	0	-	-	0,00	0	0	-72	0
L	CR005	001	G	0,00	0	0	-2 000	0	-	-	0,00	0	0	-2 000	0
L	CR005	002	G	0,00	0	0	-500	0	-	-	0,00	0	0	-500	0
Solai a quota +400			Travata: Trave 1-13-23-35					Trave: Trave 23-35			Peso proprio			-3 750	
L	CR001	002	G	0,00	0	0	-180	0	-	-	0,00	0	0	-180	0
L	CR002	003	G	0,00	0	0	-75	0	-	-	0,00	0	0	-75	0
L	CR003	005	G	0,00	0	0	-72	0	-	-	0,00	0	0	-72	0
L	CR005	001	G	0,00	0	0	-2 000	0	-	-	0,00	0	0	-2 000	0
L	CR005	002	G	0,00	0	0	-500	0	-	-	0,00	0	0	-500	0
Solai a quota +400			Travata: Trave 5-18					Trave: Trave 5-18			Peso proprio			-3 750	
L	CR001	002	G	0,00	0	0	-180	0	-	-	0,02	0	0	-180	0
L	CR002	003	G	0,00	0	0	-75	0	-	-	0,02	0	0	-75	0
L	CR003	005	G	0,00	0	0	-72	0	-	-	0,02	0	0	-72	0
L	CR005	001	G	0,00	0	0	-5 400	0	-	-	0,00	0	0	-5 400	0
L	CR005	002	G	0,00	0	0	-1 350	0	-	-	0,00	0	0	-1 350	0
Solai a quota +400			Travata: Trave 6-19					Trave: Trave 6-19			Peso proprio			-3 750	
L	CR001	002	G	0,00	0	0	-180	0	-	-	0,00	0	0	-180	0
L	CR002	003	G	0,00	0	0	-75	0	-	-	0,00	0	0	-75	0
L	CR003	005	G	0,00	0	0	-72	0	-	-	0,00	0	0	-72	0
L	CR005	001	G	0,00	0	0	-5 400	0	-	-	0,00	0	0	-5 400	0
L	CR005	002	G	0,00	0	0	-1 350	0	-	-	0,00	0	0	-1 350	0
Solai a quota +400			Travata: Trave 8-17-21-30-34-42					Trave: Trave 8-17			Peso proprio			-4 500	
L	CR001	002	G	0,00	0	0	-180	0	-	-	0,00	0	0	-180	0
L	CR002	003	G	0,00	0	0	-75	0	-	-	0,00	0	0	-75	0
L	CR003	005	G	0,00	0	0	-72	0	-	-	0,00	0	0	-72	0
L	CR004	001	G	2,50	0	0	-8 992	0	-	-	0,00	0	0	-8 992	0
L	CR001	002	G	2,50	0	0	-3 270	0	-	-	0,00	0	0	-3 270	0
L	CR002	003	G	2,50	0	0	-1 362	0	-	-	0,00	0	0	-1 362	0
L	CR003	005	G	2,50	0	0	-1 308	0	-	-	0,00	0	0	-1 308	0
L	CR004	001	G	0,00	0	0	-8 992	0	-	-	2,30	0	0	-8 992	0
L	CR001	002	G	0,00	0	0	-3 270	0	-	-	2,30	0	0	-3 270	0
L	CR002	003	G	0,00	0	0	-1 362	0	-	-	2,30	0	0	-1 362	0
L	CR003	005	G	0,00	0	0	-1 308	0	-	-	2,30	0	0	-1 308	0
L	CR001	002	G	0,00	0	0	-180	0	-	-	0,00	0	0	-180	0
L	CR002	003	G	0,00	0	0	-75	0	-	-	0,00	0	0	-75	0
L	CR003	005	G	0,00	0	0	-72	0	-	-	0,00	0	0	-72	0
Solai a quota +400			Travata: Trave 8-17-21-30-34-42					Trave: Trave 17-21			Peso proprio			-6 125	
L	CR004	001	G	0,00	0	0	-3 969	0	-	-	0,00	0	0	-5 553	0
L	CR001	002	G	0,00	0	0	-1 443	0	-	-	0,00	0	0	-2 019	0
L	CR002	003	G	0,00	0	0	-601	0	-	-	0,00	0	0	-841	0
L	CR003	005	G	0,00	0	0	-577	0	-	-	0,00	0	0	-808	0
L	CR001	002	G	0,00	0	0	-420	0	-	-	0,00	0	0	-420	0
L	CR002	003	G	0,00	0	0	-175	0	-	-	0,00	0	0	-175	0
L	CR003	005	G	0,00	0	0	-168	0	-	-	0,00	0	0	-168	0
L	CR004	001	G	0,00	0	0	-7 931	0	-	-	0,00	0	0	-9 515	0
L	CR001	002	G	0,00	0	0	-2 884	0	-	-	0,00	0	0	-3 460	0
L	CR002	003	G	0,00	0	0	-1 202	0	-	-	0,00	0	0	-1 442	0
L	CR003	005	G	0,00	0	0	-1 154	0	-	-	0,00	0	0	-1 384	0
L	CR001	002	G	0,00	0	0	-420	0	-	-	0,00	0	0	-420	0
L	CR002	003	G	0,00	0	0	-175	0	-	-	0,00	0	0	-175	0
L	CR003	005	G	0,00	0	0	-168	0	-	-	0,00	0	0	-168	0
Solai a quota +400			Travata: Trave 8-17-21-30-34-42					Trave: Trave 21-30			Peso proprio			-3 750	
L	CR004	001	G	1,15	0	0	-9 658	0	-	-	0,00	0	0	-9 658	0
L	CR001	002	G	1,15	0	0	-3 512	0	-	-	0,00	0	0	-3 512	0
L	CR002	003	G	1,15	0	0	-1 463	0	-	-	0,00	0	0	-1 463	0
L	CR003	005	G	1,15	0	0	-1 405	0	-	-	0,00	0	0	-1 405	0
L	CR004	001	G	0,23	0	0	-11 308	0	-	-	1,85	0	0	-11 308	0
L	CR001	002	G	0,23	0	0	-4 112	0	-	-	1,85	0	0	-4 112	0
L	CR002	003	G	0,23	0	0	-1 713	0	-	-	1,85	0	0	-1 713	0
L	CR003	005	G	0,23	0	0	-1 645	0	-	-	1,85	0	0	-1 645	0

														Carichi sulle travi	
TC	C	CC	SR	Dis _i	F _{X,i} /Q _{X,i}	F _{Y,i} /Q _{Y,i}	F _{Z,i} /Q _{Z,i}	M _{X,i} /M _{T,i}	M _{Y,i}	M _{Z,i}	Dis _f	Q _{X,f}	Q _{Y,f}	Q _{Z,f}	M _{T,f}
				[m]	[N;N/m]	[N;N/m]	[N;N/m]	[N-m;N-m/m]	[N-m;N-m/m]	[N-m;N-m/m]	[m]	[N/m]	[N/m]	[N/m]	[N-m/m]
L	CR001	002	G	0,23	0	0	-180	0	-	-	0,00	0	0	-180	0
L	CR002	003	G	0,23	0	0	-75	0	-	-	0,00	0	0	-75	0
L	CR003	005	G	0,23	0	0	-72	0	-	-	0,00	0	0	-72	0
L	CR001	002	G	0,00	0	0	-180	0	-	-	0,00	0	0	-180	0
L	CR002	003	G	0,00	0	0	-75	0	-	-	0,00	0	0	-75	0
L	CR003	005	G	0,00	0	0	-72	0	-	-	0,00	0	0	-72	0
Solai a quota +400			Travata: Trave 8-17-21-30-34-42					Trave: Trave 30-34			Peso proprio			-3 750	
L	CR004	001	G	0,00	0	0	0	0	-	-	0,00	0	0	-38	0
L	CR001	002	G	0,00	0	0	0	0	-	-	0,00	0	0	-14	0
L	CR002	003	G	0,00	0	0	0	0	-	-	0,00	0	0	-6	0
L	CR003	005	G	0,00	0	0	0	0	-	-	0,00	0	0	-6	0
L	CR001	002	G	0,00	0	0	-180	0	-	-	0,00	0	0	-180	0
L	CR002	003	G	0,00	0	0	-75	0	-	-	0,00	0	0	-75	0
L	CR003	005	G	0,00	0	0	-72	0	-	-	0,00	0	0	-72	0
L	CR004	001	G	0,45	0	0	-9 658	0	-	-	0,00	0	0	-9 658	0
L	CR001	002	G	0,45	0	0	-3 512	0	-	-	0,00	0	0	-3 512	0
L	CR002	003	G	0,45	0	0	-1 463	0	-	-	0,00	0	0	-1 463	0
L	CR003	005	G	0,45	0	0	-1 405	0	-	-	0,00	0	0	-1 405	0
L	CR004	001	G	0,00	0	0	-9 658	0	-	-	3,20	0	0	-9 658	0
L	CR001	002	G	0,00	0	0	-3 512	0	-	-	3,20	0	0	-3 512	0
L	CR002	003	G	0,00	0	0	-1 463	0	-	-	3,20	0	0	-1 463	0
L	CR003	005	G	0,00	0	0	-1 405	0	-	-	3,20	0	0	-1 405	0
L	CR001	002	G	0,00	0	0	-180	0	-	-	0,00	0	0	-180	0
L	CR002	003	G	0,00	0	0	-75	0	-	-	0,00	0	0	-75	0
L	CR003	005	G	0,00	0	0	-72	0	-	-	0,00	0	0	-72	0
Solai a quota +400			Travata: Trave 8-17-21-30-34-42					Trave: Trave 34-42			Peso proprio			-3 750	
L	CR004	001	G	0,00	0	0	-42	0	-	-	0,00	0	0	-68	0
L	CR001	002	G	0,00	0	0	-15	0	-	-	0,00	0	0	-25	0
L	CR002	003	G	0,00	0	0	-6	0	-	-	0,00	0	0	-10	0
L	CR003	005	G	0,00	0	0	-6	0	-	-	0,00	0	0	-10	0
L	CR001	002	G	0,00	0	0	-180	0	-	-	0,00	0	0	-180	0
L	CR002	003	G	0,00	0	0	-75	0	-	-	0,00	0	0	-75	0
L	CR003	005	G	0,00	0	0	-72	0	-	-	0,00	0	0	-72	0
L	CR004	001	G	0,00	0	0	-9 658	0	-	-	0,00	0	0	-9 658	0
L	CR001	002	G	0,00	0	0	-3 512	0	-	-	0,00	0	0	-3 512	0
L	CR002	003	G	0,00	0	0	-1 463	0	-	-	0,00	0	0	-1 463	0
L	CR003	005	G	0,00	0	0	-1 405	0	-	-	0,00	0	0	-1 405	0
L	CR001	002	G	0,00	0	0	-180	0	-	-	0,00	0	0	-180	0
L	CR002	003	G	0,00	0	0	-75	0	-	-	0,00	0	0	-75	0
L	CR003	005	G	0,00	0	0	-72	0	-	-	0,00	0	0	-72	0
Solai a quota +400			Travata: Trave 9-12-22					Trave: Trave 9-12			Peso proprio			-4 500	
L	CR004	001	G	0,00	0	0	-8 992	0	-	-	0,00	0	0	-8 992	0
L	CR001	002	G	0,00	0	0	-3 270	0	-	-	0,00	0	0	-3 270	0
L	CR002	003	G	0,00	0	0	-1 362	0	-	-	0,00	0	0	-1 362	0
L	CR003	005	G	0,00	0	0	-1 308	0	-	-	0,00	0	0	-1 308	0
L	CR001	002	G	0,00	0	0	-180	0	-	-	0,00	0	0	-180	0
L	CR002	003	G	0,00	0	0	-75	0	-	-	0,00	0	0	-75	0
L	CR003	005	G	0,00	0	0	-72	0	-	-	0,00	0	0	-72	0
L	CR005	001	G	0,00	0	0	-2 000	0	-	-	0,00	0	0	-2 000	0
L	CR005	002	G	0,00	0	0	-500	0	-	-	0,00	0	0	-500	0
Solai a quota +400			Travata: Trave 9-12-22					Trave: Trave 12-22			Peso proprio			-4 500	
L	CR004	001	G	4,93	0	0	-11 308	0	-	-	0,00	0	0	-11 308	0
L	CR001	002	G	4,93	0	0	-4 112	0	-	-	0,00	0	0	-4 112	0
L	CR002	003	G	4,93	0	0	-1 713	0	-	-	0,00	0	0	-1 713	0
L	CR003	005	G	4,93	0	0	-1 645	0	-	-	0,00	0	0	-1 645	0
L	CR004	001	G	2,45	0	0	-8 992	0	-	-	0,92	0	0	-11 308	0
L	CR001	002	G	2,45	0	0	-3 270	0	-	-	0,92	0	0	-4 112	0
L	CR002	003	G	2,45	0	0	-1 362	0	-	-	0,92	0	0	-1 713	0
L	CR003	005	G	2,45	0	0	-1 308	0	-	-	0,92	0	0	-1 645	0
L	CR004	001	G	0,00	0	0	-8 992	0	-	-	3,40	0	0	-8 992	0
L	CR001	002	G	0,00	0	0	-3 270	0	-	-	3,40	0	0	-3 270	0
L	CR002	003	G	0,00	0	0	-1 362	0	-	-	3,40	0	0	-1 362	0
L	CR003	005	G	0,00	0	0	-1 308	0	-	-	3,40	0	0	-1 308	0
L	CR001	002	G	0,00	0	0	-180	0	-	-	0,00	0	0	-180	0
L	CR002	003	G	0,00	0	0	-75	0	-	-	0,00	0	0	-75	0
L	CR003	005	G	0,00	0	0	-72	0	-	-	0,00	0	0	-72	0
L	CR005	001	G	0,00	0	0	-2 000	0	-	-	0,00	0	0	-2 000	0
L	CR005	002	G	0,00	0	0	-500	0	-	-	0,00	0	0	-500	0
Solai a quota +400			Travata: Trave 22-31-43					Trave: Trave 22-31			Peso proprio			-4 500	
L	CR004	001	G	1,70	0	0	-9 658	0	-	-	0,00	0	0	-9 658	0
L	CR001	002	G	1,70	0	0	-3 512	0	-	-	0,00	0	0	-3 512	0
L	CR002	003	G	1,70	0	0	-1 463	0	-	-	0,00	0	0	-1 463	0
L	CR003	005	G	1,70	0	0	-1 405	0	-	-	0,00	0	0	-1 405	0
L	CR004	001	G	0,00	0	0	-9 658	0	-	-	0,45	0	0	-9 658	0
L	CR001	002	G	0,00	0	0	-3 512	0	-	-	0,45	0	0	-3 512	0
L	CR002	003	G	0,00	0	0	-1 463	0	-	-	0,45	0	0	-1 463	0
L	CR003	005	G	0,00	0	0	-1 405	0	-	-	0,45	0	0	-1 405	0
L	CR001	002	G	0,00	0	0	-180	0	-	-	0,00	0	0	-180	0
L	CR002	003	G	0,00	0	0	-75	0	-	-	0,00	0	0	-75	0
L	CR003	005	G	0,00	0	0	-72	0	-	-	0,00	0	0	-72	0
L	CR006	001	G	0,00	0	0	-2 800	1 820	-	-	0,00	0	0	-2 800	1 820
L	CR007	002	G	0,00	0	0	-1 360	884	-	-	0,00	0	0	-1 360	884
L	CR008	004	G	0,00	0	0	-4 000	2 600	-	-	0,00	0	0	-4 000	2 600
L	CR005	001	G	0,00	0	0	-2 000	0	-	-	0,00	0	0	-2 000	0

Carichi sulle travi															
TC	C	CC	SR	Dis _i	F _{X,i} /Q _{X,i}	F _{Y,i} /Q _{Y,i}	F _{Z,i} /Q _{Z,i}	M _{X,i} /M _{T,i}	M _{Y,i}	M _{Z,i}	Dis _f	Q _{X,f}	Q _{Y,f}	Q _{Z,f}	M _{T,f}
				[m]	[N/N/m]	[N _y /N/m]	[N _z /N/m]	[N _y ;N _z /m]	[N-m;N-m/m]	[N-m;N-m/m]	[m]	[N/m]	[N/m]	[N/m]	[N-m/m]
L	CR005	002	G	0,00	0	0	-500	0	-	-	0,00	0	0	-500	0
Solai a quota +400			Travata: Trave 22-31-43					Trave: Trave 31-43			Peso proprio			-3 750	
L	CR004	001	G	3,20	0	0	-9 658	0	-	-	0,00	0	0	-9 658	0
L	CR001	002	G	3,20	0	0	-3 512	0	-	-	0,00	0	0	-3 512	0
L	CR002	003	G	3,20	0	0	-1 463	0	-	-	0,00	0	0	-1 463	0
L	CR003	005	G	3,20	0	0	-1 405	0	-	-	0,00	0	0	-1 405	0
L	CR004	001	G	0,00	0	0	-9 658	0	-	-	2,65	0	0	-9 658	0
L	CR001	002	G	0,00	0	0	-3 512	0	-	-	2,65	0	0	-3 512	0
L	CR002	003	G	0,00	0	0	-1 463	0	-	-	2,65	0	0	-1 463	0
L	CR003	005	G	0,00	0	0	-1 405	0	-	-	2,65	0	0	-1 405	0
L	CR001	002	G	0,00	0	0	-180	0	-	-	0,00	0	0	-180	0
L	CR002	003	G	0,00	0	0	-75	0	-	-	0,00	0	0	-75	0
L	CR003	005	G	0,00	0	0	-72	0	-	-	0,00	0	0	-72	0
L	CR006	001	G	0,00	0	0	-2 800	1 820	-	-	0,00	0	0	-2 800	1 820
L	CR007	002	G	0,00	0	0	-1 360	884	-	-	0,00	0	0	-1 360	884
L	CR008	004	G	0,00	0	0	-4 000	2 600	-	-	0,00	0	0	-4 000	2 600
L	CR005	001	G	0,00	0	0	-2 000	0	-	-	0,00	0	0	-2 000	0
L	CR005	002	G	0,00	0	0	-500	0	-	-	0,00	0	0	-500	0
Solai a quota +400			Travata: Trave 27-32-39					Trave: Trave 27-32			Peso proprio			-3 750	
L	CR001	002	G	0,00	0	0	-180	0	-	-	0,00	0	0	-180	0
L	CR002	003	G	0,00	0	0	-75	0	-	-	0,00	0	0	-75	0
L	CR003	005	G	0,00	0	0	-72	0	-	-	0,00	0	0	-72	0
L	CR005	001	G	0,00	0	0	-2 000	0	-	-	0,00	0	0	-2 000	0
L	CR005	002	G	0,00	0	0	-500	0	-	-	0,00	0	0	-500	0
Solai a quota +400			Travata: Trave 27-32-39					Trave: Trave 32-39			Peso proprio			-3 750	
L	CR001	002	G	0,00	0	0	-180	0	-	-	0,00	0	0	-180	0
L	CR002	003	G	0,00	0	0	-75	0	-	-	0,00	0	0	-75	0
L	CR003	005	G	0,00	0	0	-72	0	-	-	0,00	0	0	-72	0
L	CR005	001	G	0,00	0	0	-2 000	0	-	-	0,00	0	0	-2 000	0
L	CR005	002	G	0,00	0	0	-500	0	-	-	0,00	0	0	-500	0
Solai a quota +400			Travata: Trave 28-33-40					Trave: Trave 28-33			Peso proprio			-3 750	
L	CR004	001	G	0,00	0	0	-68	0	-	-	0,00	0	0	-29	0
L	CR001	002	G	0,00	0	0	-25	0	-	-	0,00	0	0	-11	0
L	CR002	003	G	0,00	0	0	-10	0	-	-	0,00	0	0	-4	0
L	CR003	005	G	0,00	0	0	-10	0	-	-	0,00	0	0	-4	0
L	CR001	002	G	0,00	0	0	-180	0	-	-	0,00	0	0	-180	0
L	CR002	003	G	0,00	0	0	-75	0	-	-	0,00	0	0	-75	0
L	CR003	005	G	0,00	0	0	-72	0	-	-	0,00	0	0	-72	0
L	CR005	001	G	0,00	0	0	-2 000	0	-	-	0,00	0	0	-2 000	0
L	CR005	002	G	0,00	0	0	-500	0	-	-	0,00	0	0	-500	0
Solai a quota +400			Travata: Trave 28-33-40					Trave: Trave 33-40			Peso proprio			-3 750	
L	CR004	001	G	0,00	0	0	-26	0	-	-	0,00	0	0	0	0
L	CR001	002	G	0,00	0	0	-10	0	-	-	0,00	0	0	0	0
L	CR002	003	G	0,00	0	0	-4	0	-	-	0,00	0	0	0	0
L	CR003	005	G	0,00	0	0	-4	0	-	-	0,00	0	0	0	0
L	CR001	002	G	0,00	0	0	-180	0	-	-	0,00	0	0	-180	0
L	CR002	003	G	0,00	0	0	-75	0	-	-	0,00	0	0	-75	0
L	CR003	005	G	0,00	0	0	-72	0	-	-	0,00	0	0	-72	0
L	CR005	001	G	0,00	0	0	-2 000	0	-	-	0,00	0	0	-2 000	0
L	CR005	002	G	0,00	0	0	-500	0	-	-	0,00	0	0	-500	0

LEGENDA:

TC Descrizione del tipo di carico: [L] = Lineare - [C] = Concentrato - [S] = Superficiale - [T] = Termico.

C Descrizione del carico:

CR001= SOLAIO: Solaio esistente latero-cemento gettato in opera s=30+5 (sovraccarico permanente) CR002= SOLAIO: Solaio esistente latero-cemento gettato in opera s=30+5 (sovraccarico accidentale) CR003= SOLAIO: Solaio esistente latero-cemento gettato in opera s=30+5 (carico neve) CR004= SOLAIO: Solaio esistente latero-cemento gettato in opera s=30+5 CR005= TAMPONATURA: Muratura di tamponamento esistente CR006= BALCONE: LatCem Balcone H20 CR007= BALCONE: LatCem Balcone H20 (sovraccarico permanente) CR008= BALCONE: LatCem Balcone H20 (sovraccarico accidentale)

CC Identificativo della tipologia di carico nella relativa tabella.

SR Identificativo del sistema di riferimento considerato: [G] = Sistema di riferimento Globale X, Y, Z - [L] = Sistema di riferimento Locale 1, 2, 3.

Dis_i Distanza del punto "i" dall'estremo iniziale dell'elemento. Il punto "i" indica il punto iniziale del tratto interessato dal carico distribuito sul bordo.

M_{X,i}/M_{T,i} Se nella colonna "TC" è riportato "Concentrato", è il valore del vettore momento concentrato collocato nel punto "i", riferito agli assi del sistema di riferimento indicato nella colonna "S.R.". Se nella colonna "TC" è riportato "Lineare", è il valore nel punto "i", del vettore momento (torcente) distribuito sempre riferito all'asse 1 (asse dell'elemento) del sistema di riferimento locale 1, 2, 3, quale che sia il sistema di riferimento indicato nella colonna "S.R".

Dis_f Distanza del punto "f" dall'estremo inferiore dell'elemento. Il punto "f" indica il punto finale del tratto interessato dal carico distribuito.

M_{T,f} Se nella colonna "TC" è riportato "Lineare", è il valore nel punto "f", del vettore momento (torcente) distribuito sempre riferito all'asse 1 (asse dell'elemento) del sistema di riferimento locale 1, 2, 3, quale che sia il sistema di riferimento indicato nella colonna "S.R".

F_{X,i}/Q_{X,i} Valore (nel punto "i") della forza concentrata/distribuita riferita agli assi del sistema di riferimento indicato nella colonna "S.R".

F_{Y,i}/Q_{Y,i}

F_{Z,i}/Q_{Z,i}

M_{Y,i} M_{Z,i} Valore (nel punto "i") del vettore momento concentrato riferito agli assi del sistema di riferimento indicato nella colonna "S.R".

Q_{X,f} Q_{Y,f} Valore (nel punto "f") della forza distribuita riferita agli assi del sistema di riferimento indicato nella colonna "S.R".

Q_{Z,f}

ΔT₁, ΔT₂ Variazione di temperatura rispettivamente lungo gli assi 1, 2 o 3 del sistema locale.

ΔT₃

CARICHI SUI PILASTRI

CARICHI SUI PILASTRI											Carichi sui pilastri				
TC	C	CC	SR	Dis _i	F _{X,i} /Q _{X,i}	F _{Y,i} /Q _{Y,i}	F _{Z,i} /Q _{Z,i}	M _{X,i} /M _{T,i}	M _{Y,i}	M _{Z,i}	Dis _f	Q _{X,f}	Q _{Y,f}	Q _{Z,f}	M _{T,f}
				[m]	[N;N/m]	[N;N/m]	[N;N/m]	[N-m;N-m/m]	[N-m;N-m/m]	[N-m;N-m/m]	[m]	[N/m]	[N/m]	[N/m]	[N-m/m]
Solai a quota +400				Pilastro 001						Peso proprio				-2 250	
C	CR001	001	G	3,50	0	0	-1 125	0	0	0	-	-	-	-	-
Solai a quota +400				Pilastro 002						Peso proprio				-2 250	

Carichi sui pilastri															
TC	C	CC	SR	Dis _i	F _{X,i} /Q _{X,i}	F _{Y,i} /Q _{Y,i}	F _{Z,i} /Q _{Z,i}	M _{X,i} /M _{T,i}	M _{Y,i}	M _{Z,i}	Dis _f	Q _{X,f}	Q _{Y,f}	Q _{Z,f}	M _{T,f}
				[m]	[N/m]	[N;N/m]	[N;N/m]	[N-m;N-m/m]	[N-m;N-m/m]	[N-m;N-m/m]	[m]	[N/m]	[N/m]	[N/m]	[N-m/m]
C	CR001	001	G	3,50	0	0	-1 125	0	0	0	-	-	-	-	-
Solai a quota +400				Pilastro 003							Peso proprio			-2 250	
C	CR001	001	G	3,40	0	0	-1 350	0	0	0	-	-	-	-	-
Solai a quota +400				Pilastro 004							Peso proprio			-2 250	
C	CR001	001	G	3,40	0	0	-1 350	0	0	0	-	-	-	-	-
Solai a quota +400				Pilastro 005							Peso proprio			-2 250	
C	CR001	001	G	3,50	0	0	-1 125	0	0	0	-	-	-	-	-
Solaio torino scala +720				Pilastro 005							Peso proprio			-2 250	
C	CR001	001	G	2,70	0	0	-1 125	0	0	0	-	-	-	-	-
Solai a quota +400				Pilastro 006							Peso proprio			-9 750	
C	CR001	001	G	3,40	0	0	-5 850	0	0	0	-	-	-	-	-
Solaio torino scala +720				Pilastro 006							Peso proprio			-9 750	
C	CR001	001	G	2,70	0	0	-4 875	0	0	0	-	-	-	-	-
Solai a quota +400				Pilastro 007							Peso proprio			-2 250	
C	CR001	001	G	3,40	0	0	-1 350	0	0	0	-	-	-	-	-
Solai a quota +400				Pilastro 008							Peso proprio			-2 250	
C	CR001	001	G	3,40	0	0	-1 350	0	0	0	-	-	-	-	-
Solai a quota +400				Pilastro 009							Peso proprio			-2 250	
C	CR001	001	G	3,40	0	0	-1 350	0	0	0	-	-	-	-	-
Solai a quota +400				Pilastro 010							Peso proprio			-2 250	
C	CR001	001	G	3,40	0	0	-1 350	0	0	0	-	-	-	-	-
Solai a quota +400				Pilastro 011							Peso proprio			-2 250	
C	CR001	001	G	3,40	0	0	-1 350	0	0	0	-	-	-	-	-
Solai a quota +400				Pilastro 12 (a)							Peso proprio			-2 250	
C	CR001	001	G	3,40	0	0	-1 350	0	0	0	-	-	-	-	-
Solai a quota +400				Pilastro 013							Peso proprio			-2 250	
C	CR001	001	G	3,50	0	0	-1 125	0	0	0	-	-	-	-	-
Solai a quota +400				Pilastro 014							Peso proprio			-2 250	
C	CR001	001	G	3,50	0	0	-1 125	0	0	0	-	-	-	-	-
Solai a quota +400				Pilastro 015							Peso proprio			-6 750	
C	CR001	001	G	3,50	0	0	-3 375	0	0	0	-	-	-	-	-
Solai a quota +400				Pilastro 016							Peso proprio			-3 142	
C	CR001	001	G	3,65	0	0	-1 100	0	0	0	-	-	-	-	-
Solai a quota +400				Pilastro 017							Peso proprio			-2 250	
C	CR001	001	G	3,40	0	0	-1 350	0	0	0	-	-	-	-	-
Solai a quota +400				Pilastro 018							Peso proprio			-6 750	
C	CR001	001	G	3,50	0	0	-3 375	0	0	0	-	-	-	-	-
Solaio torino scala +720				Pilastro 018							Peso proprio			-6 750	
C	CR001	001	G	2,70	0	0	-3 375	0	0	0	-	-	-	-	-
Solai a quota +400				Pilastro 019							Peso proprio			-2 250	
C	CR001	001	G	3,40	0	0	-1 350	0	0	0	-	-	-	-	-
Solaio torino scala +720				Pilastro 019							Peso proprio			-2 250	
C	CR001	001	G	2,70	0	0	-1 125	0	0	0	-	-	-	-	-
Solai a quota +400				Pilastro 020							Peso proprio			-2 250	
C	CR001	001	G	3,40	0	0	-1 350	0	0	0	-	-	-	-	-
Solai a quota +400				Pilastro 021							Peso proprio			-2 250	
C	CR001	001	G	3,40	0	0	-1 350	0	0	0	-	-	-	-	-
Solai a quota +400				Pilastro 022							Peso proprio			-9 750	
C	CR001	001	G	3,40	0	0	-5 850	0	0	0	-	-	-	-	-
Solai a quota +400				Pilastro 23 (a)							Peso proprio			-2 250	
C	CR001	001	G	3,50	0	0	-1 125	0	0	0	-	-	-	-	-
Solai a quota +400				Pilastro 024							Peso proprio			-2 250	
C	CR001	001	G	3,50	0	0	-1 125	0	0	0	-	-	-	-	-
Solai a quota +400				Pilastro 025							Peso proprio			-2 250	
C	CR001	001	G	3,50	0	0	-1 125	0	0	0	-	-	-	-	-
Solai a quota +400				Pilastro 026							Peso proprio			-2 250	
C	CR001	001	G	3,50	0	0	-1 125	0	0	0	-	-	-	-	-
Solai a quota +400				Pilastro 027							Peso proprio			-2 250	
C	CR001	001	G	3,50	0	0	-1 125	0	0	0	-	-	-	-	-
Solai a quota +400				Pilastro 028							Peso proprio			-2 250	
C	CR001	001	G	3,50	0	0	-1 125	0	0	0	-	-	-	-	-
Solai a quota +400				Pilastro 029							Peso proprio			-2 250	
C	CR001	001	G	3,50	0	0	-1 125	0	0	0	-	-	-	-	-
Solai a quota +400				Pilastro 030							Peso proprio			-2 250	
C	CR001	001	G	3,50	0	0	-1 125	0	0	0	-	-	-	-	-
Solai a quota +400				Pilastro 031							Peso proprio			-2 250	
C	CR001	001	G	3,40	0	0	-1 350	0	0	0	-	-	-	-	-
Solai a quota +400				Pilastro 032							Peso proprio			-2 250	
C	CR001	001	G	3,50	0	0	-1 125	0	0	0	-	-	-	-	-
Solai a quota +400				Pilastro 033							Peso proprio			-2 250	
C	CR001	001	G	3,50	0	0	-1 125	0	0	0	-	-	-	-	-
Solai a quota +400				Pilastro 034							Peso proprio			-2 250	
C	CR001	001	G	3,50	0	0	-1 125	0	0	0	-	-	-	-	-
Solai a quota +400				Pilastro 035							Peso proprio			-2 250	
C	CR001	001	G	3,50	0	0	-1 125	0	0	0	-	-	-	-	-
Solai a quota +400				Pilastro 036							Peso proprio			-2 250	
C	CR001	001	G	3,50	0	0	-1 125	0	0	0	-	-	-	-	-
Solai a quota +400				Pilastro 037							Peso proprio			-9 750	
C	CR001	001	G	3,40	0	0	-5 850	0	0	0	-	-	-	-	-
Solai a quota +400				Pilastro 038							Peso proprio			-2 250	
C	CR001	001	G	3,40	0	0	-1 350	0	0	0	-	-	-	-	-
Solai a quota +400				Pilastro 039							Peso proprio			-2 250	

											Carichi sui pilastri				
TC	C	CC	SR	Dis _i	F _{X,i} /Q _{X,i}	F _{Y,i} /Q _{Y,i}	F _{Z,i} /Q _{Z,i}	M _{X,i} /M _{T,i}	M _{Y,i}	M _{Z,i}	Dis _f	Q _{X,f}	Q _{Y,f}	Q _{Z,f}	M _{T,f}
				[m]	[N;N/m]	[N;N/m]	[N;N/m]	[N-m;N-m/m]	[N-m;N-m/m]	[N-m;N-m/m]	[m]	[N/m]	[N/m]	[N/m]	[N-m/m]
C	CR001	001	G	3,40	0	0	-1 350	0	0	0	-	-	-	-	-
Solai a quota +400				Pilastro 040						Peso proprio				-2 250	
C	CR001	001	G	3,40	0	0	-1 350	0	0	0	-	-	-	-	-
Solai a quota +400				Pilastro 041						Peso proprio				-2 250	
C	CR001	001	G	3,40	0	0	-1 350	0	0	0	-	-	-	-	-
Solai a quota +400				Pilastro 042						Peso proprio				-2 250	
C	CR001	001	G	3,40	0	0	-1 350	0	0	0	-	-	-	-	-
Solai a quota +400				Pilastro 043						Peso proprio				-2 250	
C	CR001	001	G	3,40	0	0	-1 350	0	0	0	-	-	-	-	-

LEGENDA:

- TCDescrizione del tipo di carico: [L] = Lineare - [C] = Concentrato - [S] = Superficiale - [T] = Termico.
- CDescrizione del carico:
CR001= PESO PROPRIO (concio)
- CCIdentificativo della tipologia di carico nella relativa tabella.
- SRIdentificativo del sistema di riferimento considerato: [G] = Sistema di riferimento Globale X, Y, Z - [L] = Sistema di riferimento Locale 1, 2, 3.
- Dis_iDistanza del punto "i" dall'estremo inferiore dell'elemento. Il punto "i", in relazione alla descrizione riportata nella colonna "TC" ("Lineare" o "Concentrato"), indica rispettivamente il punto iniziale del tratto interessato dal carico distribuito o in cui è posizionato il carico concentrato.
- M_{X,i}/M_{T,i}Se nella colonna "TC" è riportato "Concentrato", è il valore del vettore momento concentrato collocato nel punto "i", riferito agli assi del sistema di riferimento indicato nella colonna "S.R". Se nella colonna "TC" è riportato "Lineare", è il valore nel punto "i", del vettore momento (torcente) distribuito sempre riferito all'asse 1 (asse dell'elemento) del sistema di riferimento locale 1, 2, 3, quale che sia il sistema di riferimento indicato nella colonna "S.R".
- Dis_fDistanza del punto "f" dall'estremo inferiore dell'elemento. Il punto "f" indica il punto finale del tratto interessato dal carico distribuito.
- M_{T,f}Se nella colonna "TC" è riportato "Lineare", è il valore nel punto "f", del vettore momento (torcente) distribuito sempre riferito all'asse 1 (asse dell'elemento) del sistema di riferimento locale 1, 2, 3, quale che sia il sistema di riferimento indicato nella colonna "S.R".
- F_{X,i}/Q_{X,i}Valore (nel punto "i") della forza concentrata/distribuita riferita agli assi del sistema di riferimento indicato nella colonna "S.R".
- F_{Y,i}/Q_{Y,i}
- F_{Z,i}/Q_{Z,i}
- M_{Y,i}, M_{Z,i}Valore (nel punto "i") del vettore momento concentrato riferito agli assi del sistema di riferimento indicato nella colonna "S.R".
- Q_{X,f}, Q_{Y,f}Valore (nel punto "f") della forza distribuita riferita agli assi del sistema di riferimento indicato nella colonna "S.R".
- Q_{Z,f}
- ΔT₁, ΔT₂, ΔT₃Variazione di temperatura rispettivamente lungo gli assi 1, 2 o 3 del sistema locale.

ACCELERAZIONI SISMICHE DI COLLASSO SU BEAM E SHELL

Accelerazioni Sismiche di Collasso su Beam e Shell						
Id _{Elm}	FLESSIONE			TAGLIO		
	%LLI/Shell	PGA _{PF/RC}	PGA _C /PGA _D	%LLI/Shell	PGA _T	PGA _C /PGA _D
			[%]			[%]
Solai a quota +400						
Pilastro 35	0.00 %	0,161	71	0.00 %	0,544	200
Pilastro 36	0.00 %	0,169	74	0.00 %	0,629	200
Pilastro 37	0.00 %	0,135	59	0.00 %	0,508	200
Pilastro 38	0.00 %	0,192	84	0.00 %	0,541	200
Pilastro 39	0.00 %	0,306	135	0.00 %	0,585	200
Pilastro 32	0.00 %	0,321	141	0.00 %	0,733	200
Pilastro 40	0.00 %	0,423	186	0.00 %	0,653	200
Pilastro 33	0.00 %	0,437	192	0.00 %	0,768	200
Pilastro 27	0.00 %	0,273	120	0.00 %	0,511	200
Pilastro 28	0.00 %	0,368	162	0.00 %	0,485	200
Pilastro 26	0.00 %	0,199	88	0.00 %	0,560	200
Pilastro 25	0.00 %	0,181	80	0.00 %	0,524	200
Pilastro 24	0.00 %	0,169	74	0.00 %	0,499	200
Pilastro 23	0.00 %	0,158	70	0.00 %	0,535	200
Pilastro 41	0.00 %	0,324	143	0.00 %	0,577	200
Pilastro 42	0.00 %	0,364	160	0.00 %	0,450	198
Pilastro 34	0.00 %	0,331	146	0.00 %	0,735	200
Pilastro 43	0.00 %	0,520	200	0.00 %	0,446	196
Pilastro 31	0.00 %	0,262	115	0.00 %	0,872	200
Pilastro 30	0.00 %	0,329	145	0.00 %	0,837	200
Pilastro 29	0.00 %	0,341	150	0.00 %	0,536	200
Pilastro 21	0.00 %	0,300	132	0.00 %	0,719	200
Pilastro 17	0.00 %	0,326	143	0.00 %	0,730	200
Pilastro 9	0.00 %	0,309	136	0.00 %	0,591	200
Pilastro 12	0.00 %	0,277	122	0.00 %	0,662	200
Pilastro 8	0.00 %	0,267	117	0.00 %	0,415	183
Pilastro 7	0.00 %	0,295	130	0.00 %	0,458	200
Pilastro 6	0.00 %	0,190	84	0.00 %	0,336	148
Pilastro 5	0.00 %	0,303	133	0.00 %	0,544	200
Pilastro 4	0.00 %	0,258	114	0.00 %	0,567	200
Pilastro 11	0.00 %	0,195	86	0.00 %	0,650	200
Pilastro 10	0.00 %	0,168	74	0.00 %	0,617	200
Pilastro 3	0.00 %	0,185	81	0.00 %	0,540	200
Pilastro 2	0.00 %	0,180	79	0.00 %	0,555	200
Pilastro 1	0.00 %	0,159	70	0.00 %	0,554	200
Pilastro 13	0.00 %	0,154	68	0.00 %	0,533	200
Pilastro 14	0.00 %	0,181	80	0.00 %	0,500	200
Pilastro 18	0.00 %	0,133	58	0.00 %	0,320	141
Pilastro 19	0.00 %	0,281	124	0.00 %	0,462	200
Pilastro 20	0.00 %	0,295	130	0.00 %	0,532	200
Pilastro 22	0.00 %	0,382	168	0.00 %	0,432	190
Pilastro 15	0.00 %	0,131	58	0.00 %	0,433	191
Pilastro 16	0.00 %	0,130	57	0.00 %	0,608	200
Trave 23-35	100.00 %	0,812	200	0.00 %	0,354	156

Accelerazioni Sismiche di Collasso su Beam e Shell						
Id _{Elm}	FLESSIONE			TAGLIO		
	%LLI/Shell	PGA _{PF/RC}	PGA _C /PGA _D	%LLI/Shell	PGA _T	PGA _C /PGA _D
			[%]			[%]
Trave 13-23	0.00 %	1,479	200	100.00 %	0,372	164
Trave 36-37	100.00 %	1,543	200	100.00 %	0,382	168
Trave 32-39	100.00 %	0,511	200	0.00 %	0,291	128
Trave 42-43	0.00 %	1,790	200	0.00 %	0,975	200
Trave 41-42	100.00 %	1,500	200	0.00 %	0,573	200
Trave 34-42	100.00 %	1,389	200	0.00 %	0,636	200
Trave 21-30	0.00 %	2,132	200	0.00 %	0,692	200
Trave 22-31	100.00 %	1,030	200	0.00 %	0,691	200
Trave 6-19	0.00 %	0,329	145	0.00 %	0,524	200
Trave 18-19	0.00 %	1,201	200	0.00 %	0,597	200
Trave 29-30	100.00 %	0,539	200	0.00 %	0,394	173
Trave 26-27	100.00 %	1,486	200	0.00 %	0,407	179
Trave 27-28	100.00 %	1,963	200	0.00 %	0,942	200
Trave 10-11	0.00 %	1,245	200	100.00 %	0,528	200
Trave 5-6	100.00 %	0,902	200	100.00 %	0,621	200
Trave 7-8	100.00 %	1,170	200	0.00 %	0,501	200
Trave 8-9	100.00 %	1,412	200	0.00 %	0,901	200
Trave 12-22	100.00 %	1,284	200	100.00 %	0,526	200
Trave 1-13	0.00 %	0,874	200	100.00 %	0,322	142
Trave 14-15	100.00 %	1,250	200	100.00 %	0,453	199
Trave 38-39	100.00 %	1,562	200	0.00 %	0,595	200
Trave 3-10	100.00 %	0,761	200	100.00 %	0,225	99
Trave 4-11	100.00 %	0,677	200	100.00 %	0,174	77
Trave 16-15	0.00 %	0,672	200	100.00 %	0,442	195
Trave 16-18	0.00 %	0,602	200	0.00 %	0,415	182
Trave 17-21	100.00 %	2,514	200	100.00 %	0,628	200
Trave 20-21	100.00 %	0,864	200	0.00 %	0,441	194
Trave 8-17	0.00 %	0,986	200	100.00 %	0,724	200
Trave 5-18	100.00 %	0,239	105	0.00 %	0,478	200
Trave 33-40	100.00 %	1,715	200	0.00 %	0,409	180
Trave 31-43	100.00 %	0,343	151	0.00 %	0,368	162
Trave 5-4	100.00 %	2,946	200	0.00 %	0,297	131
Trave 2-3	100.00 %	1,588	200	100.00 %	0,650	200
Trave 35-36	100.00 %	1,317	200	100.00 %	0,696	200
Trave 37-38	0.00 %	1,868	200	0.00 %	0,455	200
Trave 27-32	0.00 %	1,694	200	100.00 %	0,350	154
Trave 28-33	0.00 %	1,768	200	100.00 %	0,418	184
Trave 25-26	0.00 %	2,139	200	100.00 %	0,440	193
Trave 24-25	100.00 %	2,832	200	100.00 %	0,586	200
Trave 23-24	0.00 %	1,189	200	100.00 %	0,534	200
Trave 40-41	0.00 %	1,588	200	100.00 %	0,545	200
Trave 30-34	0.00 %	2,136	200	100.00 %	0,810	200
Trave 28-29	0.00 %	1,718	200	100.00 %	0,493	200
Trave 9-12	0.00 %	3,239	200	100.00 %	0,734	200
Trave 6-7	0.00 %	1,054	200	100.00 %	0,462	200
Trave 1-2	0.00 %	0,653	200	100.00 %	0,565	200
Trave 13-14	0.00 %	1,163	200	100.00 %	0,503	200
Trave 19-20	0.00 %	1,576	200	100.00 %	0,473	200
Solaio torino scala +720						
Pilastro 6	0.00 %	0,383	169	0.00 %	0,772	200
Pilastro 5	0.00 %	0,419	185	0.00 %	0,472	200
Pilastro 19	0.00 %	0,392	172	0.00 %	0,411	181
Pilastro 18	0.00 %	0,239	105	0.00 %	0,668	200
Trave 6-19	0.00 %	0,377	166	0.00 %	0,503	200
Trave 18-19	100.00 %	3,077	200	0.00 %	0,930	200
Trave 5-6	0.00 %	2,912	200	100.00 %	0,896	200
Trave 5-18	100.00 %	0,683	200	100.00 %	0,518	200

LEGENDA:**Id_{Elm}** Identificativo dell'elemento strutturale.**%LLI/Shell** Nel caso di elementi Beam: %LLI = Posizione della sezione per la quale si registra la minima PGA, valutata come % della lunghezza libera d'inflessione dell'elemento (LLI), a partire dal suo estremo iniziale (0% = estremo iniziale, 100% = estremo finale).

Nel caso di elementi Shell: Shell = identificativo dei nodi della shell per la quale si registra la minima PGA.

PGA_{PF/RC} Accelerazione sismica di collasso per PRESSOFLESSIONE o FLESSIONE/ROTAZIONE ALLA CORDA. [0] = l'elemento risulta non verificato già per i carichi verticali presenti nella combinazione sismica $[G_k + \sum_i (\psi_{2,i} \cdot Q_{k,i})]$.

N.B.: per gli elementi beam (travi e pilastri), nel caso di calcolo Non Lineare, la PGA è quella relativa al meccanismo di collasso per verifica di rotazione alla corda.

PGA_T Accelerazione sismica di collasso per TAGLIO. [0] = l'elemento risulta non verificato già per i carichi verticali presenti nella combinazione sismica $[G_k + \sum_i (\psi_{2,i} \cdot Q_{k,i})]$.**PGA_C/PGA_D** Rapporto tra la PGA di "capacità" (PGA_C) dell'elemento e quella di "domanda" (PGA_D = $S_S \cdot S_T \cdot a_g/g$). [200] = $PGA_C > 2 \cdot PGA_D$.**ACCELERAZIONI SISMICHE DI COLLASSO SUI NODI**

Accelerazioni Sismiche di Collasso sui Nodi		
Id _{Nd}	PGA _{Conf}	PGA _C /PGA _D
		[%]
Nodo 2	0,074	33
Nodo 5	0,079	35
Nodo 8	0,081	36
Nodo 11	0,092	40
Nodo 14	0,075	33
Nodo 16	0,074	32
Nodo 21	0,044	19

Id _{Nd}	Accelerazioni Sismiche di Collasso sui Nodi	
	PGA _{Conf}	PGA _C /PGA _D [%]
Nodo 24	0,079	35
Nodo 27	0,089	39
Nodo 29	0,041	18
Nodo 31	0,076	34
Nodo 34	0,087	38
Nodo 36	0,103	45
Nodo 38	0,072	32
Nodo 41	0,077	34
Nodo 44	0,134	59
Nodo 46	0,063	28
Nodo 48	0,137	60
Nodo 50	0,107	47
Nodo 52	0,082	36
Nodo 54	0,100	44
Nodo 57	0,066	29
Nodo 59	0,040	18
Nodo 62	0,117	51
Nodo 64	0,069	30
Nodo 67	0,073	32
Nodo 69	0,108	48
Nodo 72	0,082	36
Nodo 73	0,063	28
Nodo 74	0,057	25
Nodo 75	0,063	28
Nodo 76	0,111	49
Nodo 77	0,066	29
Nodo 78	0,096	42
Nodo 79	0,080	35
Nodo 80	0,082	36
Nodo 81	0,084	37
Nodo 82	0,062	27
Nodo 83	0,107	47
Nodo 84	0,077	34
Nodo 85	0,056	25
Nodo 86	0,045	20
Nodo 87	0,083	36
Nodo 88	0,211	93
Nodo 89	0,206	90
Nodo 90	0,085	38

LEGENDA:

Id_{Nd}	Identificativo del nodo strutturale su cui viene eseguita la verifica a confinamento.
PGA_{Conf}	Accelerazione sismica di collasso per ROTTURA a confinamento del Nodo. [0] = l'elemento risulta non verificato già per i carichi verticali presenti nella combinazione sismica $[G_k + \sum_i (\psi_{2,i} \cdot Q_{k,i})]$
PGA_C/PGA_D	Rapporto tra la PGA di "capacità" (PGA _C) dell'elemento e quella di "domanda" (PGA _D = $S_s \cdot S_T \cdot a_d / g$). [200] = PGA _C > 2 · PGA _D .

ACCELERAZIONI SISMICHE DI COLLASSO PER SPOSTAMENTI INTERPIANO

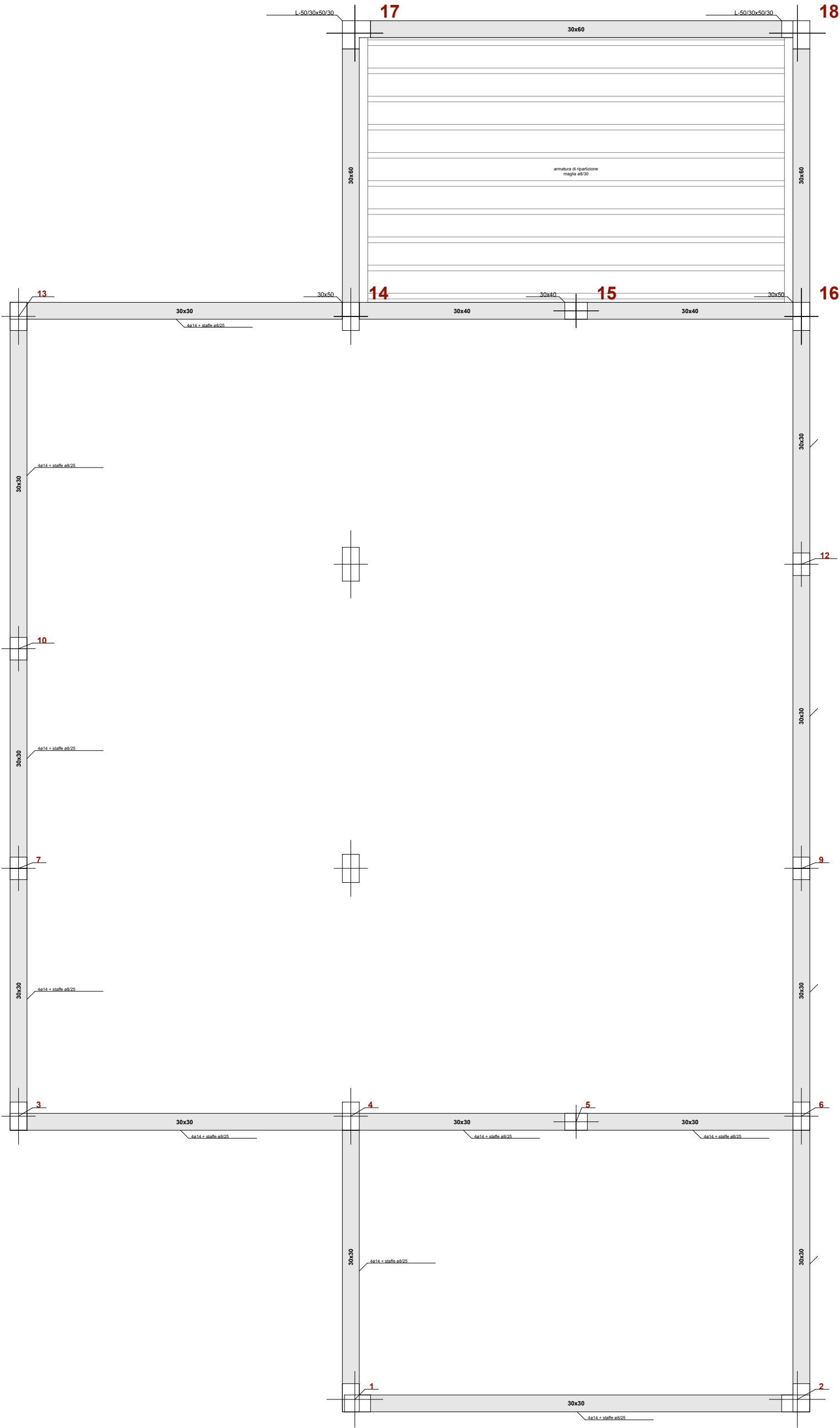
Id _{Piano}	Accelerazioni Sismiche di Collasso per Spostamenti Interpiano			
	SLD		SLO	
	PGA _{Int}	PGA _C /PGA _D [%]	PGA _{Int}	PGA _C /PGA _D [%]
Solai a quota +400				
Solai a quota +400	0,088	143	0,124	200
Solaio torino scala +720				
Solaio torino scala +720	0,144	200	0,158	200

LEGENDA:

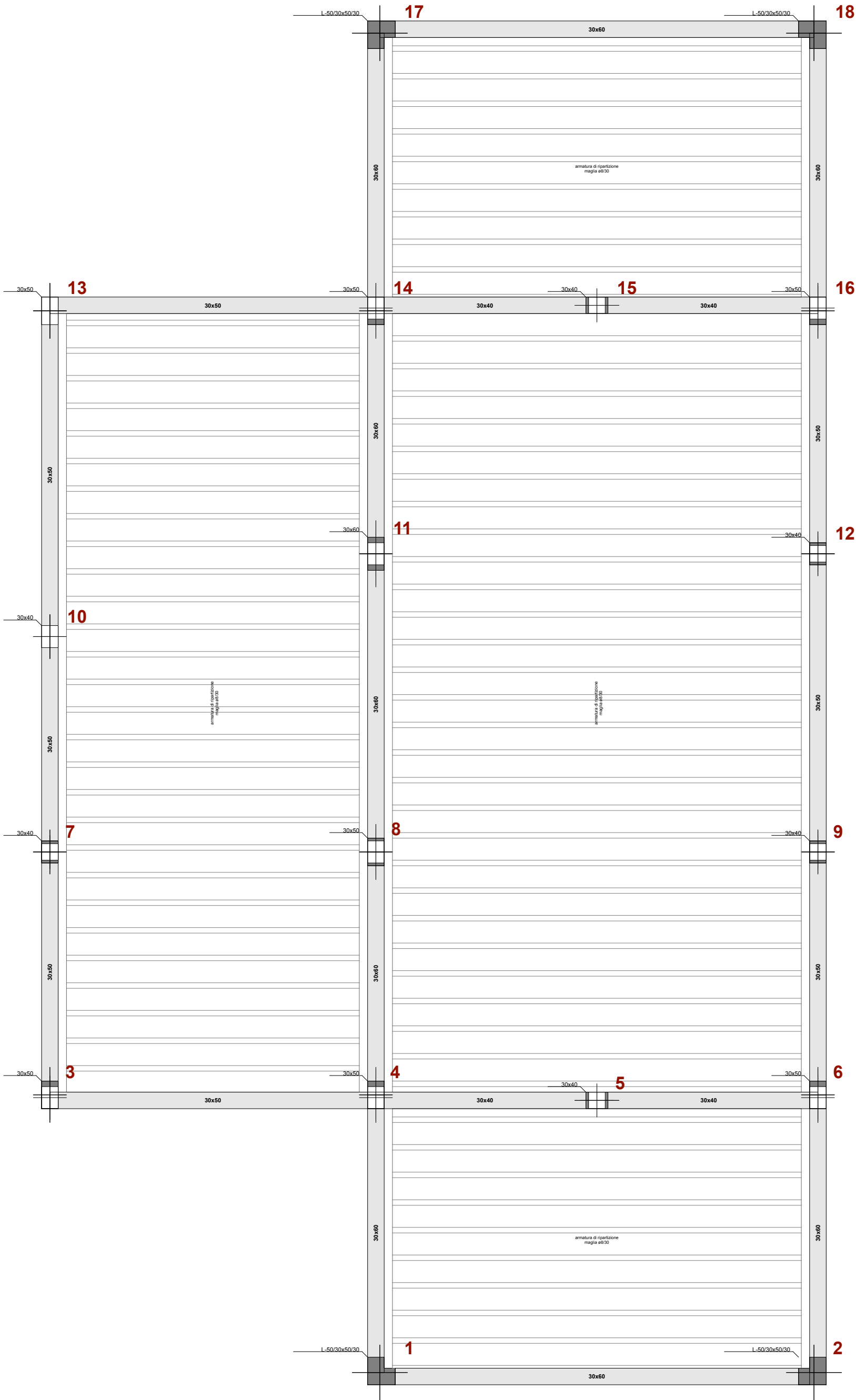
Id_{Piano}	Identificativo del livello o piano.
PGA_{Int}	Accelerazione sismica di collasso minima per SPOSTAMENTO D'INTERPIANO. [NS] = Non significativo per valori di PGA _{Int} >= 1000.
PGA_C/PGA_D	Rapporto tra la PGA di "capacità" (PGA _C) dell'elemento e quella di "domanda" (PGA _D = $S_s \cdot S_T \cdot a_d / g$). [200] = PGA _C > 2 · PGA _D .

LIVELLO DI CONOSCENZA E FATTORE DI CONFIDENZA	pag.	2
MATERIALI CALCESTRUZZO ARMATO	pag.	2
MATERIALI ACCIAIO	pag.	2
MATERIALI CARATTERISTICHE NON LINEARI	pag.	2
TENSIONI AMMISSIBILI ALLO SLE DEI VARI MATERIALI	pag.	3
SEZIONI ASTE	pag.	3
ANALISI CARICHI	pag.	4
TIPOLOGIE DI CARICO	pag.	4
SLU: Non Sismica - Strutturale senza azioni geotecniche	pag.	4
SLU: Sismica - Strutturale senza azioni geotecniche	pag.	5
COMBINAZIONI SISMICHE	pag.	6
SLU: Sismica non lineare - Strutturale senza azioni geotecniche	pag.	6
DATI GENERALI ANALISI SISMICA NON LINEARE	pag.	6
.....	pag.	7
PRINCIPALI ELEMENTI ANALISI SISMICA	pag.	7
RIEPILOGO MODI DI VIBRAZIONE	pag.	7
CURVA DI CAPACITÀ	pag.	9
LIVELLI O PIANI	pag.	18
NODI	pag.	18
TRAVI IN ELEVAZIONE	pag.	21
PILASTRI	pag.	23
SOLAI E BALCONI	pag.	25
CARICHI SUI NODI (PER CONDIZIONI DI CARICO NON SISMICHE)	pag.	25
CARICHI SUI NODI (PER ANALISI SISMICA NON LINEARE)	pag.	32
CARICHI SULLE TRAVI	pag.	35
CARICHI SUI PILASTRI	pag.	44
ACCELERAZIONI SISMICHE DI COLLASSO SU BEAM E SHELL	pag.	45
ACCELERAZIONI SISMICHE DI COLLASSO SUI NODI	pag.	47
ACCELERAZIONI SISMICHE DI COLLASSO PER SPOSTAMENTI INTERPIANO	pag.	47

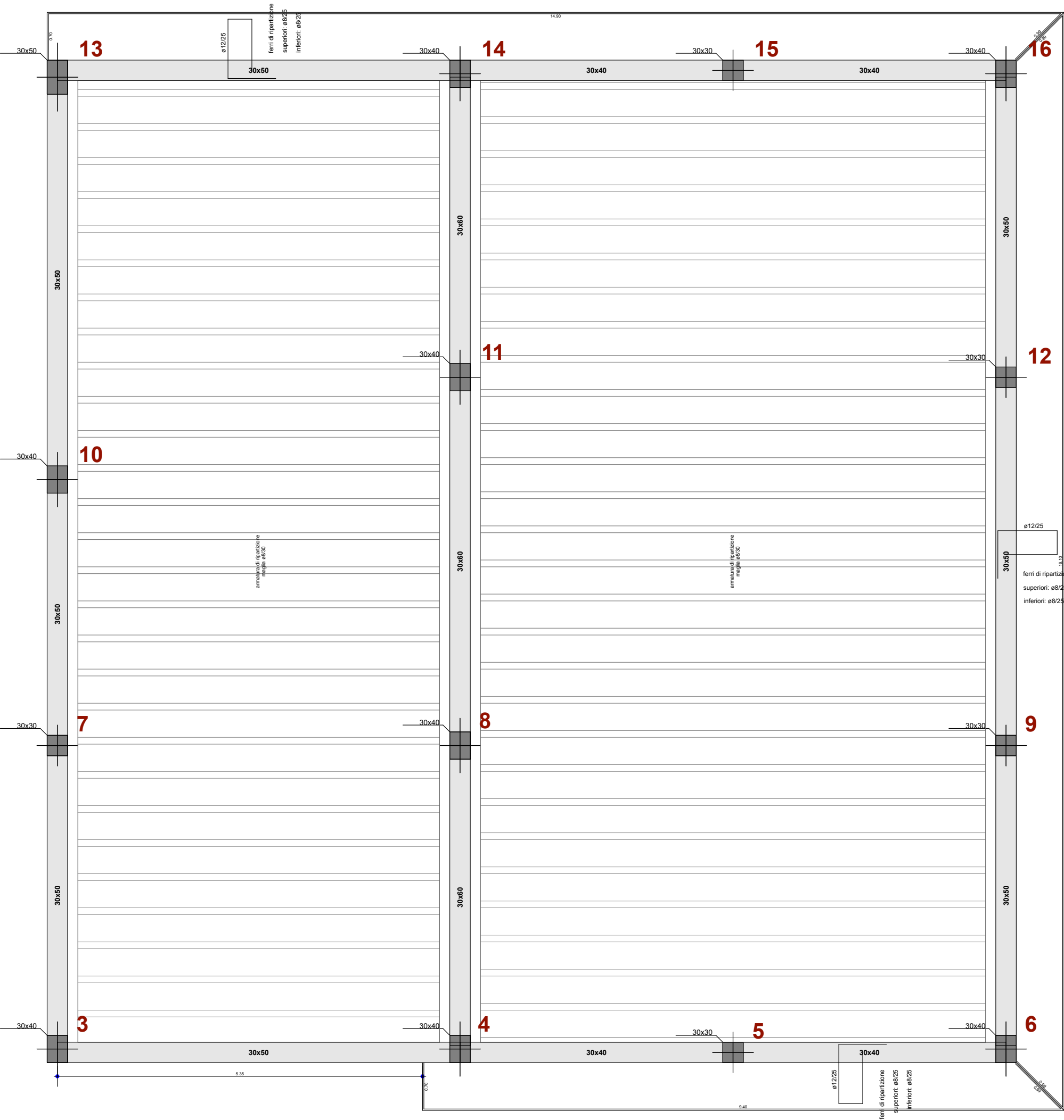
SOLAI A QUOTA +310



SOLAI A QUOTA +710



SOLAI A QUOTA +1070



LIVELLO DI CONOSCENZA E FATTORE DI CONFIDENZA

LC		Livello di Conoscenza e Fattore di Confidenza FC	
LC2		1,2	

LEGENDA:

LC [LC1] = Conoscenza Limitata - [LC2] = Conoscenza Adeguata - [LC3] = Conoscenza Accurata.
FC Fattore di confidenza applicato alle proprietà dei materiali.

MATERIALI CALCESTRUZZO ARMATO

Caratteristiche calcestruzzo armato														
N _{id}	γ _k [N/m ³]	α _{T, i} [1/°C]	E [N/mm ²]	G [N/mm ²]	C _{Erid} [%]	Stz	R _{ck} [N/mm ²]	R _{cm} [N/mm ²]	%R _{ck}	γ _c	f _{cd} [N/mm ²]	f _{ctd} [N/mm ²]	f _{cfm} [N/mm ²]	N n Ac
CLS_PROVE - (CLS_PROVE)														
001	25 000	0,000010	27 094	11 289	60	F	-	14,89	1,00	1,50	6,87	0,62	1,60	15 002

LEGENDA:

N_{id} Numero identificativo del materiale, nella relativa tabella dei materiali.
γ_k Peso specifico.
α_{T, i} Coefficiente di dilatazione termica.
E Modulo elastico normale.
G Modulo elastico tangenziale.
C_{Erid} Coefficiente di riduzione del Modulo elastico normale per Analisi Sismica [E_{sisma} = E·C_{Erid}].
Stz Tipo di situazione: [F] = di Fatto (Esistente); [P] = di Progetto (Nuovo).
R_{ck} Resistenza caratteristica cubica.
R_{cm} Resistenza media cubica.
%R_{ck} Percentuale di riduzione della R_{ck}.
γ_c Coefficiente parziale di sicurezza del materiale.
f_{cd} Resistenza di calcolo a compressione.
f_{ctd} Resistenza di calcolo a trazione.
f_{cfm} Resistenza media a trazione per flessione.
n Ac Identificativo, nella relativa tabella materiali, dell'acciaio utilizzato: [-] = parametro NON significativo per il materiale.

MATERIALI ACCIAIO

Caratteristiche acciaio																
N _{id}	γ _k [N/m ³]	α _{T, i} [1/°C]	E [N/mm ²]	G [N/mm ²]	Stz	f _{yk,1} / f _{yk,2}	f _{tk,1} / f _{tk,2}	f _{yd,1} / f _{yd,2}	f _{td}	γ _s	γ _{M1}	γ _{M2}	γ _{M3,SLV}	γ _{M3,SLE}	γ _{M7} NCnt	Cnt
Feb44k - (Feb44k)																
002	78 500	0,000010	210 000	80 769	F	430,00 -	-	311,59 -	-	1,15	-	-	-	-	-	-
feb32k - (feb32k)																
003	78 500	0,000010	210 000	80 769	F	315,00 -	-	228,26 -	-	1,15	-	-	-	-	-	-

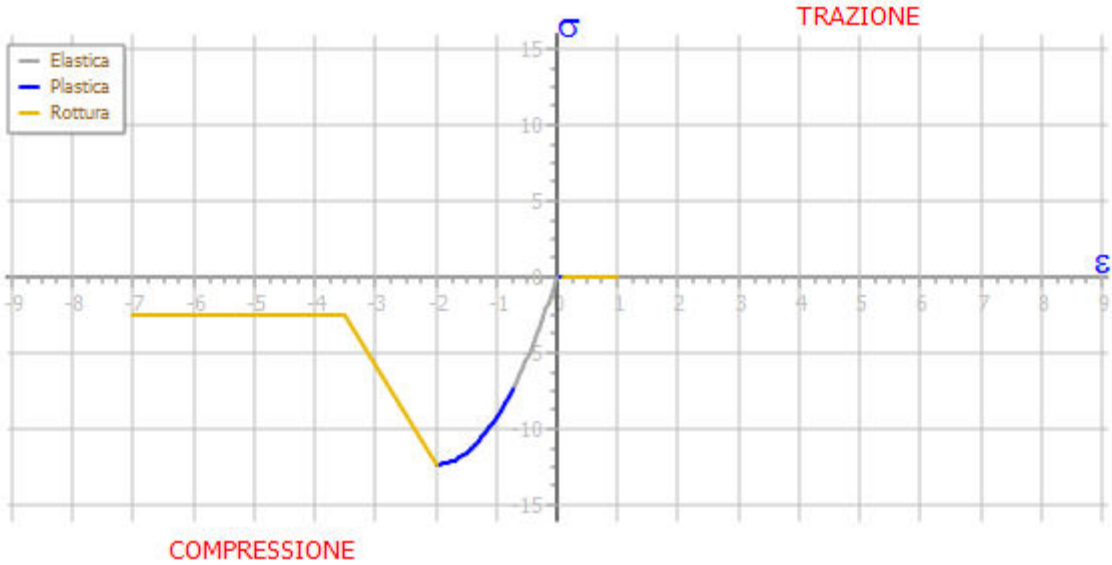
LEGENDA:

N_{id} Numero identificativo del materiale, nella relativa tabella dei materiali.
γ_k Peso specifico.
α_{T, i} Coefficiente di dilatazione termica.
E Modulo elastico normale.
G Modulo elastico tangenziale.
Stz Tipo di situazione: [F] = di Fatto (Esistente); [P] = di Progetto (Nuovo).
f_{tk,1} Resistenza caratteristica a Rottura (per profili con t ≤ 40 mm).
f_{tk,2} Resistenza caratteristica a Rottura (per profili con 40 mm < t ≤ 80 mm).
f_{td} Resistenza di calcolo a Rottura (Bulloni).
γ_s Coefficiente parziale di sicurezza allo SLV del materiale.
γ_{M1} Coefficiente parziale di sicurezza per instabilità.
γ_{M2} Coefficiente parziale di sicurezza per sezioni tese indebolite.
γ_{M3,SLV} Coefficiente parziale di sicurezza per scorrimento allo SLV (Bulloni).
γ_{M3,SLE} Coefficiente parziale di sicurezza per scorrimento allo SLE (Bulloni).
γ_{M7} Coefficiente parziale di sicurezza precarico di bulloni ad alta resistenza (Bulloni - NCnt = con serraggio NON controllato; Cnt = con serraggio controllato). [-] = parametro NON significativo per il materiale.
f_{yk,1} Resistenza caratteristica allo snervamento (per profili con t ≤ 40 mm).
f_{yk,2} Resistenza caratteristica allo snervamento (per profili con 40 mm < t ≤ 80 mm).
f_{yd,1} Resistenza di calcolo (per profili con t ≤ 40 mm).
f_{yd,2} Resistenza di calcolo (per profili con 40 mm < t ≤ 80 mm).
NOTE [-] = Parametro non significativo per il materiale.

MATERIALI CARATTERISTICHE NON LINEARI

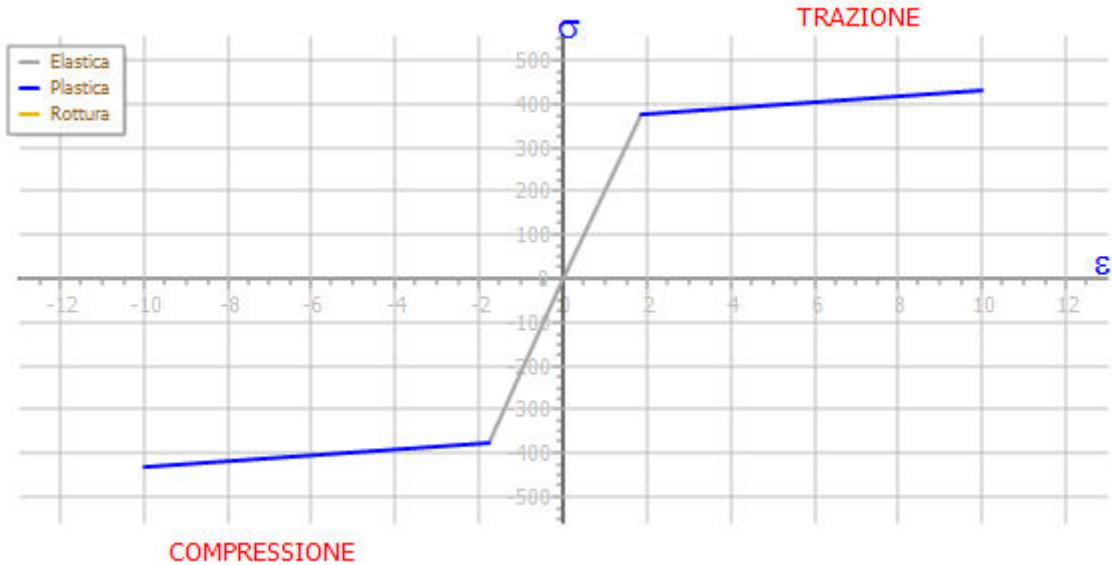
Materiali Caratteristiche non lineari												
N _{id}	Fase Elastica				Fase Plastica				Punto di Rottura			
	σ _{Cmp} [N/mm ²]	ε _{Cmp} [‰]	σ _{Trz} [N/mm ²]	ε _{Trz} [‰]	σ _{Cmp} [N/mm ²]	ε _{Cmp} [‰]	σ _{Trz} [N/mm ²]	ε _{Trz} [‰]	σ _{Cmp} [N/mm ²]	ε _{Cmp} [‰]	σ _{Trz} [N/mm ²]	ε _{Trz} [‰]
CLS_PROVE - (CLS_PROVE)												
001	7,42	0,27	0,00	0,00	12,36	2,00	0,00	0,10	2,47	3,50	0,00	1,00

N _{id}	Fase Elastica				Fase Plastica				Punto di Rottura			
	σ _{Cmp} [N/mm²]	ε _{Cmp} [‰]	σ _{Trz} [N/mm²]	ε _{Trz} [‰]	σ _{Cmp} [N/mm²]	ε _{Cmp} [‰]	σ _{Trz} [N/mm²]	ε _{Trz} [‰]	σ _{Cmp} [N/mm²]	ε _{Cmp} [‰]	σ _{Trz} [N/mm²]	ε _{Trz} [‰]



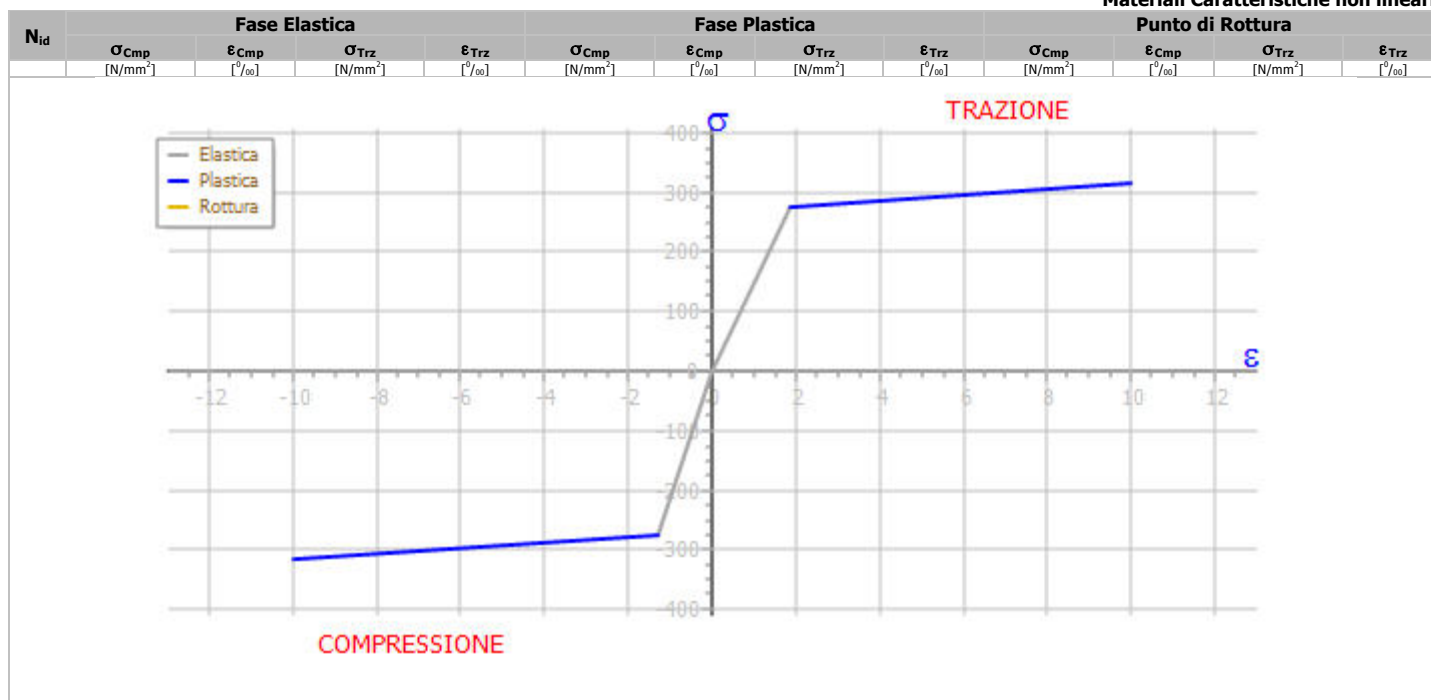
Feb44k - (Feb44k)

002	373,91	1,78	373,91	1,86	430,00	10,00	430,00	10,00	430,00	10,00	430,00	10,00
-----	--------	------	--------	------	--------	-------	--------	-------	--------	-------	--------	-------



feb32k - (feb32k)

003	273,91	1,30	273,91	1,86	315,00	10,00	315,00	10,00	315,00	10,00	315,00	10,00
-----	--------	------	--------	------	--------	-------	--------	-------	--------	-------	--------	-------



LEGENDA:

N_{id}	Numero identificativo del materiale, nella relativa tabella dei materiali.
σ_{Cmp}	Tensione massima per Compressione.
ε_{Cmp}	Deformazione relativa alla tensione massima per compressione.
σ_{Trz}	Tensione massima per Trazione.
ε_{Trz}	Deformazione relativa alla tensione massima per trazione.

TENSIONI AMMISSIBILI ALLO SLE DEI VARI MATERIALI

Tensioni ammissibili allo SLE dei vari materiali			
Materiale	SL	Tensione di verifica	σ _{d,amm} [N/mm ²]
CLS_PROVE	Caratteristica(RARA)	Compressione Calcestruzzo	6,18
	Quasi permanente	Compressione Calcestruzzo	4,63
Feb44k	Caratteristica(RARA)	Trazione Acciaio	286,67

LEGENDA:

SL	Stato limite di esercizio per cui si esegue la verifica.
σ_{d,amm}	Tensione ammissibile per la verifica.

SEZIONI ASTE

Sezioni aste																					
N _{id}	Tp	Label	Dimensioni										v	A	Area per Taglio		Inerzia				ΔθI _{pr}
			B	H	Sp _w	L _w	Sp _{f,0}	L _{f,0}	Sp _{f,1}	L _{f,1}	L _{f,2}	L _{f,3}			A _{x,T}	A _{y,T}	I _x	I _T	I _Y	I _{xy}	
			[cm]	[cm]	[cm]	[cm]	[cm]	[cm]	[cm]	[cm]	[cm]		[cm ²]	[cm ²]	[cm ²]	[cm ⁴]	[cm ⁴]	[cm ⁴]	[cm ⁴]	[°]	
001	!	30x50	30	50	-	-	-	-	-	-	-	4	1 500	1 250	1 250	312 500	279 270	112 500	0	0,00	
002	!	30x60	30	60	-	-	-	-	-	-	-	4	1 800	1 500	1 500	540 000	370 980	135 000	0	0,00	
003	!	30x40	30	40	-	-	-	-	-	-	-	4	1 200	1 000	1 000	160 000	193 644	90 000	0	0,00	
004	!	30x30	30	30	-	-	-	-	-	-	-	4	900	750	750	67 500	113 886	67 500	0	0,00	
005)	L-50/30x50/30	50	50	30	20	30	20	-	-	-	8	2 100	1 753	1 753	400 357	326 262	400 357	-107 143	45,00	

LEGENDA:

N_{id}	Numero identificativo della sezione.
Tp	Tipo di sezione.
Label	Identificativo della sezione come indicato nelle carpenterie.
B	Base/Diametro/Raggio.
H	Altezza/Lato/Altezza di colmo.
Sp_w	Spessore anima.
L_w	Lunghezza anima.
Sp_{f,0}	Spessore ala 0.
L_{f,0}	Lunghezza ala 0.
Sp_{f,1}	Spessore ala 1.
L_{f,1}	Lunghezza ala 1.
L_{f,2}	Lunghezza ala 2.
L_{f,3}	Lunghezza ala 3.
v	Nel caso di sezioni poligonali, indica il numero dei vertici della sezione.
A	Area della sezione.
ΔθI_{pr}	Rotazione degli assi principali d'inerzia rispetto agli assi X, Y, espresse in gradi sessagesimali.
Inerzia	Inerzie della sezione rispetto agli assi.

ANALISI CARICHI

N _{id}	T. C.	Descrizione del Carico	Tipologie di Carico	Peso Proprio		Permanente NON Strutturale		Sovraccarico Accidentale		Analisi carichi	
				Descrizione	PP	Descrizione	PNS	Descrizione	SA	Carico Neve	
											[N/m ²]
001	S	Tompagni esistenti spessore 30 cm	Carico Permanente	PP come da progetto	2 150	Intonaco interno, intonaco esterno	600		0	0	
002	S	Solaio esistente copert. PT (24+6) [SA Scuole]	Scuole	Solaio gettato in opera spessore 24+6	3 400	Pavimento e sottofondo, incidenza dei tramezzi e intonaco inferiore (80 come da progetto + 60 da progetto + 30 come da progetto)	1 700	Scuole (Cat. C1 – Tab. 3.1.II - DM 17.01.2018)	3 000	0	
003	S	Solaio esistente copert. PT (24+6) [SA CA]	Scuole	Solaio gettato in opera spessore 24+6	3 400	Pavimento e sottofondo (80), pendenze (50), asfalto (30), intonaco (30)	1 900	Scuole (Cat. C1 – Tab. 3.1.II - DM 17.01.2018)	3 000	480	
004	S	Solaio esistente copert. PT (20+6) [SA Scuole]	Scuole	Solaio gettato in opera spessore 20+6	3 000	Pavimento e sottofondo, incidenza dei tramezzi e intonaco inferiore (80 come da progetto + 60 da progetto + 30 come da progetto)	1 700	Scuole (Cat. C1 – Tab. 3.1.II - DM 17.01.2018)	3 000	0	
005	S	Solaio esistente copert. P1 (30+5) [SA CNA]	Coperture accessibili solo per manutenzione	Solaio gettato in opera spessore 30+5	3 300	Pavimento e sottofondo (80), pendenze (50), asfalto (30), intonaco (30)	1 900	Coperture accessibili per sola manutenzione (Cat. H – Tab. 3.1.II - DM 17.01.2018)	500	480	
006	S	Pensiline copertura spessore 35	Scale, balconi, ballatoi (Cat. C)	Peso proprio	7 500	Pavimento e sottofondo (80), pendenze (50), asfalto (30), intonaco (30)	1 900	Coperture accessibili per sola manutenzione (Cat. H – Tab. 3.1.II - DM 17.01.2018)	500	480	

LEGENDA:

N_{id} Numero identificativo dell'analisi di carico.

T. C. Identificativo del tipo di carico: [S] = Superficiale - [L] = Lineare - [C] = Concentrato.

PP, PNS, SA Valori, rispettivamente, del Peso Proprio, del Sovraccarico Permanente NON strutturale, del Sovraccarico Accidentale. Secondo il tipo di carico indicato nella colonna "T.C." ("S" - "L" - "C"), i valori riportati nelle colonne "PP", "PNS" e "SA", sono espressi in [N/m²] per carichi Superficiali, [N/m] per carichi Lineari, [N] per carichi Concentrati.

TIPOLOGIE DI CARICO

N _{id}	Descrizione	Tipologie di carico					
		F+E	+/- F	CDC	ψ ₀	ψ ₁	ψ ₂
0001	Carico Permanente	SI	NO	Permanente	1,00	1,00	1,00
0002	Permanenti NON Strutturali	SI	NO	Permanente	1,00	1,00	1,00
0003	Scuole	SI	NO	Media	0,70	0,70	0,60
0004	Scale, balconi, ballatoi (Cat. C)	SI	NO	Media	0,70	0,70	0,60
0005	Coperture accessibili solo per manutenzione	SI	NO	Media	0,00	0,00	0,00
0006	Carico da Neve <= 1000 m s.l.m.	SI	NO	Breve	0,50	0,20	0,00
0007	Sisma X	-	-	-	-	-	-
0008	Sisma Y	-	-	-	-	-	-
0009	Sisma Z	-	-	-	-	-	-
0010	Sisma Ecc.X	-	-	-	-	-	-
0011	Sisma Ecc.Y	-	-	-	-	-	-

LEGENDA:

N_{id} Numero identificativo della Tipologia di Carico.

F+E Indica se la tipologia di carico considerata è AGENTE con il sisma.

+/- F Indica se la tipologia di carico è ALTERNATA (cioè considerata due volte con segno opposto) o meno.

CDC Indica la classe di durata del carico.

NOTA: dato significativo solo per elementi in materiale legnoso.

ψ₀ Coefficiente riduttivo dei carichi allo SLU e SLE (carichi rari).

ψ₁ Coefficiente riduttivo dei carichi allo SLE (carichi frequenti).

ψ₂ Coefficiente riduttivo dei carichi allo SLE (carichi frequenti e quasi permanenti).

SLU: Non Sismica - Strutturale senza azioni geotecniche

Id _{Comb}	SLU: Non Sismica - Strutturale senza azioni geotecniche					
	CC 01 Carico Permanente	CC 02 Permanenti NON Strutturali	CC 03 Scuole	CC 04 Scale, balconi, ballatoi (Cat. C)	CC 05 Coperture accessibili solo per manutenzione	CC 06 Carico da Neve <= 1000 m s.l.m.
01	1,00	0,00	0,00	0,00	0,00	0,00
02	1,00	0,80	0,00	0,00	0,00	0,00
03	1,00	0,80	0,00	0,00	0,00	0,75
04	1,00	0,80	0,00	1,05	0,00	0,00
05	1,00	0,80	0,00	1,05	0,00	0,75
06	1,00	0,80	1,05	0,00	0,00	0,00
07	1,00	0,80	1,05	0,00	0,00	0,75
08	1,00	0,80	1,05	1,05	0,00	0,00
09	1,00	0,80	1,05	1,05	0,00	0,75
10	1,00	1,50	0,00	0,00	0,00	0,00
11	1,00	1,50	0,00	0,00	0,00	0,75
12	1,00	1,50	0,00	1,05	0,00	0,00
13	1,00	1,50	0,00	1,05	0,00	0,75

SLU: Non Sismica - Strutturale senza azioni geotecniche						
Id_{Comb}	CC 01 Carico Permanente	CC 02 Permanenti NON Strutturali	CC 03 Scuole	CC 04 Scale, balconi, ballatoi (Cat. C)	CC 05 Coperture accessibili solo per manutenzione	CC 06 Carico da Neve <= 1000 m s.l.m.
14	1,00	1,50	1,05	0,00	0,00	0,00
15	1,00	1,50	1,05	0,00	0,00	0,75
16	1,00	1,50	1,05	1,05	0,00	0,00
17	1,00	1,50	1,05	1,05	0,00	0,75
18	1,00	0,80	1,50	0,00	0,00	0,00
19	1,00	0,80	1,50	0,00	0,00	0,75
20	1,00	0,80	1,50	1,05	0,00	0,00
21	1,00	0,80	1,50	1,05	0,00	0,75
22	1,00	1,50	1,50	0,00	0,00	0,00
23	1,00	1,50	1,50	0,00	0,00	0,75
24	1,00	1,50	1,50	1,05	0,00	0,00
25	1,00	1,50	1,50	1,05	0,00	0,75
26	1,00	0,80	0,00	1,50	0,00	0,00
27	1,00	0,80	0,00	1,50	0,00	0,75
28	1,00	0,80	1,05	1,50	0,00	0,00
29	1,00	0,80	1,05	1,50	0,00	0,75
30	1,00	1,50	0,00	1,50	0,00	0,00
31	1,00	1,50	0,00	1,50	0,00	0,75
32	1,00	1,50	1,05	1,50	0,00	0,00
33	1,00	1,50	1,05	1,50	0,00	0,75
34	1,00	0,80	0,00	0,00	1,50	0,00
35	1,00	0,80	0,00	0,00	1,50	0,75
36	1,00	0,80	0,00	1,05	1,50	0,00
37	1,00	0,80	0,00	1,05	1,50	0,75
38	1,00	0,80	1,05	0,00	1,50	0,00
39	1,00	0,80	1,05	0,00	1,50	0,75
40	1,00	0,80	1,05	1,05	1,50	0,00
41	1,00	0,80	1,05	1,05	1,50	0,75
42	1,00	1,50	0,00	0,00	1,50	0,00
43	1,00	1,50	0,00	0,00	1,50	0,75
44	1,00	1,50	0,00	1,05	1,50	0,00
45	1,00	1,50	0,00	1,05	1,50	0,75
46	1,00	1,50	1,05	0,00	1,50	0,00
47	1,00	1,50	1,05	0,00	1,50	0,75
48	1,00	1,50	1,05	1,05	1,50	0,00
49	1,00	1,50	1,05	1,05	1,50	0,75
50	1,00	0,80	0,00	0,00	0,00	1,50
51	1,00	0,80	0,00	1,05	0,00	1,50
52	1,00	0,80	1,05	0,00	0,00	1,50
53	1,00	0,80	1,05	1,05	0,00	1,50
54	1,00	1,50	0,00	0,00	0,00	1,50
55	1,00	1,50	0,00	1,05	0,00	1,50
56	1,00	1,50	1,05	0,00	0,00	1,50
57	1,00	1,50	1,05	1,05	0,00	1,50
58	1,30	0,00	0,00	0,00	0,00	0,00
59	1,30	0,80	0,00	0,00	0,00	0,00
60	1,30	0,80	0,00	0,00	0,00	0,75
61	1,30	0,80	0,00	1,05	0,00	0,00
62	1,30	0,80	0,00	1,05	0,00	0,75
63	1,30	0,80	1,05	0,00	0,00	0,00
64	1,30	0,80	1,05	0,00	0,00	0,75
65	1,30	0,80	1,05	1,05	0,00	0,00
66	1,30	0,80	1,05	1,05	0,00	0,75
67	1,30	1,50	0,00	0,00	0,00	0,00
68	1,30	1,50	0,00	0,00	0,00	0,75
69	1,30	1,50	0,00	1,05	0,00	0,00
70	1,30	1,50	0,00	1,05	0,00	0,75
71	1,30	1,50	1,05	0,00	0,00	0,00
72	1,30	1,50	1,05	0,00	0,00	0,75
73	1,30	1,50	1,05	1,05	0,00	0,00
74	1,30	1,50	1,05	1,05	0,00	0,75
75	1,30	0,80	1,50	0,00	0,00	0,00
76	1,30	0,80	1,50	0,00	0,00	0,75
77	1,30	0,80	1,50	1,05	0,00	0,00
78	1,30	0,80	1,50	1,05	0,00	0,75
79	1,30	1,50	1,50	0,00	0,00	0,00
80	1,30	1,50	1,50	0,00	0,00	0,75
81	1,30	1,50	1,50	1,05	0,00	0,00
82	1,30	1,50	1,50	1,05	0,00	0,75
83	1,30	0,80	0,00	1,50	0,00	0,00
84	1,30	0,80	0,00	1,50	0,00	0,75

SLU: Non Sismica - Strutturale senza azioni geotecniche						
Id_{Comb}	CC 01 Carico Permanente	CC 02 Permanenti NON Strutturali	CC 03 Scuole	CC 04 Scale, balconi, ballatoi (Cat. C)	CC 05 Coperture accessibili solo per manutenzione	CC 06 Carico da Neve <= 1000 m s.l.m.
85	1,30	0,80	1,05	1,50	0,00	0,00
86	1,30	0,80	1,05	1,50	0,00	0,75
87	1,30	1,50	0,00	1,50	0,00	0,00
88	1,30	1,50	0,00	1,50	0,00	0,75
89	1,30	1,50	1,05	1,50	0,00	0,00
90	1,30	1,50	1,05	1,50	0,00	0,75
91	1,30	0,80	0,00	0,00	1,50	0,00
92	1,30	0,80	0,00	0,00	1,50	0,75
93	1,30	0,80	0,00	1,05	1,50	0,00
94	1,30	0,80	0,00	1,05	1,50	0,75
95	1,30	0,80	1,05	0,00	1,50	0,00
96	1,30	0,80	1,05	0,00	1,50	0,75
97	1,30	0,80	1,05	1,05	1,50	0,00
98	1,30	0,80	1,05	1,05	1,50	0,75
99	1,30	1,50	0,00	0,00	1,50	0,00
100	1,30	1,50	0,00	0,00	1,50	0,75
101	1,30	1,50	0,00	1,05	1,50	0,00
102	1,30	1,50	0,00	1,05	1,50	0,75
103	1,30	1,50	1,05	0,00	1,50	0,00
104	1,30	1,50	1,05	0,00	1,50	0,75
105	1,30	1,50	1,05	1,05	1,50	0,00
106	1,30	1,50	1,05	1,05	1,50	0,75
107	1,30	0,80	0,00	0,00	0,00	1,50
108	1,30	0,80	0,00	1,05	0,00	1,50
109	1,30	0,80	1,05	0,00	0,00	1,50
110	1,30	0,80	1,05	1,05	0,00	1,50
111	1,30	1,50	0,00	0,00	0,00	1,50
112	1,30	1,50	0,00	1,05	0,00	1,50
113	1,30	1,50	1,05	0,00	0,00	1,50
114	1,30	1,50	1,05	1,05	0,00	1,50

LEGENDA:

Id_{Comb} Numero identificativo della Combinazione di Carico.
CC Identificativo della tipologia di carico nella relativa tabella.
 CC 01= Carico Permanente
 CC 02= Permanenti NON Strutturali
 CC 03= Scuole
 CC 04= Scale, balconi, ballatoi (Cat. C)
 CC 05= Coperture accessibili solo per manutenzione
 CC 06= Carico da Neve <= 1000 m s.l.m.

SLU: Sismica - Strutturale senza azioni geotecniche

SLU: Sismica - Strutturale senza azioni geotecniche						
Id_{Comb}	CC 01 Carico Permanente	CC 02 Permanenti NON Strutturali	CC 03 Scuole	CC 04 Scale, balconi, ballatoi (Cat. C)	CC 05 Coperture accessibili solo per manutenzione	CC 06 Carico da Neve <= 1000 m s.l.m.
01	1,00	1,00	0,60	0,60	0,00	0,00

LEGENDA:

Id_{Comb} Numero identificativo della Combinazione di Carico.
CC Identificativo della tipologia di carico nella relativa tabella.
 CC 01= Carico Permanente
 CC 02= Permanenti NON Strutturali
 CC 03= Scuole
 CC 04= Scale, balconi, ballatoi (Cat. C)
 CC 05= Coperture accessibili solo per manutenzione
 CC 06= Carico da Neve <= 1000 m s.l.m.

COMBINAZIONI SISMICHE

Alle combinazioni riportate nella precedente tabella è stato aggiunto l'effetto del sisma. L'azione sismica è stata considerata come caratterizzata da tre componenti traslazionali lungo i tre assi globali X, Y e Z; la risposta della struttura è stata calcolata separatamente per i tre effetti e quindi combinata secondo la seguente espressione simbolica:

$$\alpha = \alpha_i + 0,3 \cdot \alpha_{ii} + 0,3 \cdot \alpha_{iii}$$

con α effetto totale dell'azione sismica, α_i , α_{ii} e α_{iii} azioni sismiche nelle tre direzioni. E' stata effettuata una rotazione degli indici e dei segni, per cui le combinazioni totali generate sono le:
 (con α'_p sollecitazione dovuta alla combinazione delle condizioni statiche e α sollecitazione dovuta al sisma; in particolare α_{x_i} , α_{y_i} , α_{z_i} , α_{ex_i} , α_{ey_i} sono rispettivamente le sollecitazioni dovute al sisma agente in direzione x, in direzioni y, in direzione z, per eccentricità accidentale positiva in direzione x e per eccentricità accidentale positiva in direzione y)

$$3) \alpha'_p + (\alpha_x + \alpha_{ex}) + 0,3 \cdot (\alpha_y + \alpha_{ey}) - 0,3 \cdot \alpha_{z_i}; \quad 4) \alpha'_p + (\alpha_x + \alpha_{ex}) - 0,3 \cdot (\alpha_y + \alpha_{ey}) - 0,3 \cdot \alpha_{z_i};$$

5) $\alpha'_p + (\alpha_x + \alpha_{ex}) + 0,3 \cdot (\alpha_y - \alpha_{ey}) + 0,3 \cdot \alpha_z$; 6) $\alpha'_p + (\alpha_x + \alpha_{ex}) - 0,3 \cdot (\alpha_y - \alpha_{ey}) + 0,3 \cdot \alpha_z$;
7) $\alpha'_p + (\alpha_x + \alpha_{ex}) + 0,3 \cdot (\alpha_y - \alpha_{ey}) - 0,3 \cdot \alpha_z$; 8) $\alpha'_p + (\alpha_x + \alpha_{ex}) - 0,3 \cdot (\alpha_y - \alpha_{ey}) - 0,3 \cdot \alpha_z$;
9) $\alpha'_p + (\alpha_x - \alpha_{ex}) + 0,3 \cdot (\alpha_y + \alpha_{ey}) + 0,3 \cdot \alpha_z$; 10) $\alpha'_p + (\alpha_x - \alpha_{ex}) - 0,3 \cdot (\alpha_y + \alpha_{ey}) + 0,3 \cdot \alpha_z$;
11) $\alpha'_p + (\alpha_x - \alpha_{ex}) + 0,3 \cdot (\alpha_y + \alpha_{ey}) - 0,3 \cdot \alpha_z$; 12) $\alpha'_p + (\alpha_x - \alpha_{ex}) - 0,3 \cdot (\alpha_y + \alpha_{ey}) - 0,3 \cdot \alpha_z$;
13) $\alpha'_p + (\alpha_x - \alpha_{ex}) + 0,3 \cdot (\alpha_y - \alpha_{ey}) + 0,3 \cdot \alpha_z$; 14) $\alpha'_p + (\alpha_x - \alpha_{ex}) - 0,3 \cdot (\alpha_y - \alpha_{ey}) + 0,3 \cdot \alpha_z$;
15) $\alpha'_p + (\alpha_x - \alpha_{ex}) + 0,3 \cdot (\alpha_y - \alpha_{ey}) - 0,3 \cdot \alpha_z$; 16) $\alpha'_p + (\alpha_x - \alpha_{ex}) - 0,3 \cdot (\alpha_y - \alpha_{ey}) - 0,3 \cdot \alpha_z$;
17) $\alpha'_p + (\alpha_y + \alpha_{ey}) + 0,3 \cdot (\alpha_x + \alpha_{ex}) + 0,3 \cdot \alpha_z$; 18) $\alpha'_p + (\alpha_y + \alpha_{ey}) - 0,3 \cdot (\alpha_x + \alpha_{ex}) + 0,3 \cdot \alpha_z$;
19) $\alpha'_p + (\alpha_y + \alpha_{ey}) + 0,3 \cdot (\alpha_x + \alpha_{ex}) - 0,3 \cdot \alpha_z$; 20) $\alpha'_p + (\alpha_y + \alpha_{ey}) - 0,3 \cdot (\alpha_x + \alpha_{ex}) - 0,3 \cdot \alpha_z$;
21) $\alpha'_p + (\alpha_y + \alpha_{ey}) + 0,3 \cdot (\alpha_x - \alpha_{ex}) + 0,3 \cdot \alpha_z$; 22) $\alpha'_p + (\alpha_y + \alpha_{ey}) - 0,3 \cdot (\alpha_x - \alpha_{ex}) + 0,3 \cdot \alpha_z$;
23) $\alpha'_p + (\alpha_y + \alpha_{ey}) + 0,3 \cdot (\alpha_x - \alpha_{ex}) - 0,3 \cdot \alpha_z$; 24) $\alpha'_p + (\alpha_y + \alpha_{ey}) - 0,3 \cdot (\alpha_x - \alpha_{ex}) - 0,3 \cdot \alpha_z$;
25) $\alpha'_p + (\alpha_y - \alpha_{ey}) + 0,3 \cdot (\alpha_x + \alpha_{ex}) + 0,3 \cdot \alpha_z$; 26) $\alpha'_p + (\alpha_y - \alpha_{ey}) - 0,3 \cdot (\alpha_x + \alpha_{ex}) + 0,3 \cdot \alpha_z$;
27) $\alpha'_p + (\alpha_y - \alpha_{ey}) + 0,3 \cdot (\alpha_x + \alpha_{ex}) - 0,3 \cdot \alpha_z$; 28) $\alpha'_p + (\alpha_y - \alpha_{ey}) - 0,3 \cdot (\alpha_x + \alpha_{ex}) - 0,3 \cdot \alpha_z$;
29) $\alpha'_p + (\alpha_y - \alpha_{ey}) + 0,3 \cdot (\alpha_x - \alpha_{ex}) + 0,3 \cdot \alpha_z$; 30) $\alpha'_p + (\alpha_y - \alpha_{ey}) - 0,3 \cdot (\alpha_x - \alpha_{ex}) + 0,3 \cdot \alpha_z$;
31) $\alpha'_p + (\alpha_y - \alpha_{ey}) + 0,3 \cdot (\alpha_x - \alpha_{ex}) - 0,3 \cdot \alpha_z$; 32) $\alpha'_p + (\alpha_y - \alpha_{ey}) - 0,3 \cdot (\alpha_x - \alpha_{ex}) - 0,3 \cdot \alpha_z$;
33) $\alpha'_p + \alpha_z + 0,3 \cdot (\alpha_x + \alpha_{ex}) + 0,3 \cdot (\alpha_y + \alpha_{ey})$; 34) $\alpha'_p + \alpha_z - 0,3 \cdot (\alpha_x + \alpha_{ex}) + 0,3 \cdot (\alpha_y + \alpha_{ey})$;
35) $\alpha'_p + \alpha_z + 0,3 \cdot (\alpha_x + \alpha_{ex}) - 0,3 \cdot (\alpha_y + \alpha_{ey})$; 36) $\alpha'_p + \alpha_z - 0,3 \cdot (\alpha_x + \alpha_{ex}) - 0,3 \cdot (\alpha_y + \alpha_{ey})$;
37) $\alpha'_p + \alpha_z + 0,3 \cdot (\alpha_x + \alpha_{ex}) + 0,3 \cdot (\alpha_y - \alpha_{ey})$; 38) $\alpha'_p + \alpha_z - 0,3 \cdot (\alpha_x + \alpha_{ex}) + 0,3 \cdot (\alpha_y - \alpha_{ey})$;
39) $\alpha'_p + \alpha_z + 0,3 \cdot (\alpha_x + \alpha_{ex}) - 0,3 \cdot (\alpha_y - \alpha_{ey})$; 40) $\alpha'_p + \alpha_z - 0,3 \cdot (\alpha_x + \alpha_{ex}) - 0,3 \cdot (\alpha_y - \alpha_{ey})$;
41) $\alpha'_p + \alpha_z + 0,3 \cdot (\alpha_x - \alpha_{ex}) + 0,3 \cdot (\alpha_y + \alpha_{ey})$; 42) $\alpha'_p + \alpha_z - 0,3 \cdot (\alpha_x - \alpha_{ex}) + 0,3 \cdot (\alpha_y + \alpha_{ey})$;
43) $\alpha'_p + \alpha_z + 0,3 \cdot (\alpha_x - \alpha_{ex}) - 0,3 \cdot (\alpha_y + \alpha_{ey})$; 44) $\alpha'_p + \alpha_z - 0,3 \cdot (\alpha_x - \alpha_{ex}) - 0,3 \cdot (\alpha_y + \alpha_{ey})$;
45) $\alpha'_p + \alpha_z + 0,3 \cdot (\alpha_x - \alpha_{ex}) + 0,3 \cdot (\alpha_y - \alpha_{ey})$; 46) $\alpha'_p + \alpha_z - 0,3 \cdot (\alpha_x - \alpha_{ex}) + 0,3 \cdot (\alpha_y - \alpha_{ey})$;
47) $\alpha'_p + \alpha_z + 0,3 \cdot (\alpha_x - \alpha_{ex}) - 0,3 \cdot (\alpha_y - \alpha_{ey})$; 48) $\alpha'_p + \alpha_z - 0,3 \cdot (\alpha_x - \alpha_{ex}) - 0,3 \cdot (\alpha_y - \alpha_{ey})$.

Nel caso di verifiche effettuate con sollecitazioni composte, per tenere conto del fatto che le sollecitazioni sismiche sono state ricavate come CQC delle sollecitazioni derivanti dai modi di vibrazione, dette N, Mx, My, Tx e Ty le sollecitazioni dovute al sisma, per ognuna delle combinazioni precedenti, sono state ricavate 32 combinazioni di carico permutando nel seguente modo i segni delle sollecitazioni derivanti dal sisma:

1) N, Mx, My, Tx e Ty; 2) N, Mx, -My, Tx e Ty; 3) N, -Mx, My, Tx e Ty; 4) N, -Mx, -My, Tx e Ty; 5) -N, Mx, My, Tx e Ty; 6) -N, Mx, -My, Tx e Ty; 7) -N, -Mx, My, Tx e Ty; 8) -N, -Mx, -My, Tx e Ty; 9) N, Mx, My, Tx e -Ty; 10) N, Mx, -My, Tx e -Ty; 11) N, -Mx, My, Tx e -Ty; 12) N, -Mx, -My, Tx e -Ty; 13) -N, Mx, My, Tx e -Ty; 14) -N, Mx, -My, Tx e -Ty; 15) -N, -Mx, My, Tx e -Ty; 16) -N, -Mx, -My, Tx e -Ty; 17) N, Mx, My, -Tx e Ty; 18) N, Mx, -My, -Tx e Ty; 19) N, -Mx, My, -Tx e Ty; 20) N, -Mx, -My, -Tx e Ty; 21) -N, Mx, My, -Tx e Ty; 22) -N, Mx, -My, -Tx e Ty; 23) -N, -Mx, My, -Tx e Ty; 24) -N, -Mx, -My, -Tx e Ty; 25) N, Mx, My, -Tx e -Ty; 26) N, Mx, -My, -Tx e -Ty; 27) N, -Mx, My, -Tx e -Ty; 28) N, -Mx, -My, -Tx e -Ty; 29) -N, Mx, My, -Tx e -Ty; 30) -N, Mx, -My, -Tx e -Ty; 31) -N, -Mx, My, -Tx e -Ty; 32) -N, -Mx, -My, -Tx e -Ty.
--

SLU: Sismica non lineare - Strutturale senza azioni geotecniche

SLU: Sismica non lineare - Strutturale senza azioni geotecniche						
Id_{Comb}	CC 01 Carico Permanente	CC 02 Permanenti NON Strutturali	CC 03 Scuole	CC 04 Scale, balconi, ballatoi (Cat. C)	CC 05 Coperture accessibili solo per manutenzione	CC 06 Carico da Neve <= 1000 m s.l.m.
01	1,00	1,00	0,60	0,60	0,00	0,00

LEGENDA:

Id_{Comb}	Numero identificativo della Combinazione di Carico.
CC	Identificativo della tipologia di carico nella relativa tabella.
	CC 01= Carico Permanente
	CC 02= Permanenti NON Strutturali
	CC 03= Scuole
	CC 04= Scale, balconi, ballatoi (Cat. C)
	CC 05= Coperture accessibili solo per manutenzione
	CC 06= Carico da Neve <= 1000 m s.l.m.

DATI GENERALI ANALISI SISMICA NON LINEARE

Dati generali analisi sismica non lineare				
Ang	NV	MP	C.S.T.	ξ
[°]				[%]
0	15	caOld	B	5

LEGENDA:

Ang	Direzione di una componente dell'azione sismica rispetto all'asse X (sistema di riferimento globale); la seconda componente dell'azione sismica e' assunta con direzione ruotata di 90 gradi rispetto alla prima.
NV	Nel caso di analisi dinamica, indica il numero di modi di vibrazione considerati.
MP	Tipo di struttura sismo-resistente prevalente: [ca] = calcestruzzo armato - [caOld] = calcestruzzo armato esistente - [muOld] = muratura esistente - [muNew] = muratura nuova - [muArm] = muratura armata - [ac] = acciaio.
C.S.T.	Categoria di sottosuolo: [A] = Ammassi rocciosi affioranti o terreni molto rigidi - [B] = Rocce tenere e depositi di terreni a grana grossa molto addensati o terreni a grana fina molto consistenti - [C] = Depositati di terreni a grana grossa mediamente addensati o terreni a grana fina mediamente consistenti - [D] = Depositati di terreni a grana grossa scarsamente addensati o di terreni a grana fina scarsamente consistenti - [E] = Terreni con caratteristiche e valori di velocità equivalente riconducibili a quelle definite per le categorie C o D.
ξ	Coefficiente viscoso equivalente.
NOTE	[-] = Parametro non significativo per il tipo di calcolo effettuato.

Stato Limite	T _r	a _g /g	Amplif. Stratigrafica		F ₀	T _c	T _B	T _C	T _D
			S _s	C _c					
	[t]					[s]	[s]	[s]	[s]
SLO	30	0,0288	1,200	1,499	2,511	0,213	0,106	0,319	1,715
SLD	50	0,0394	1,200	1,448	2,570	0,253	0,122	0,366	1,758
SLV	475	0,1524	1,200	1,304	2,378	0,427	0,186	0,557	2,210
SLC	975	0,2239	1,185	1,285	2,406	0,460	0,197	0,591	2,496

Stato Limite	T_r	a_g/g	Amplif. Stratigrafica		F_0	T_c^*	T_B	T_C	T_D
			S_s	C_c					
	[t]					[s]	[s]	[s]	[s]

LEGENDA:

T_r	Periodo di ritorno dell'azione sismica. [t] = anni.
a_g/g	Coefficiente di accelerazione al suolo.
S_s	Coefficienti di Amplificazione Stratigrafica allo SLO/SLD/SLV/SLC.
C_c	Coefficienti di Amplificazione di T_c allo SLO/SLD/SLV/SLC.
F_0	Valore massimo del fattore di amplificazione dello spettro in accelerazione orizzontale.
T_c^*	Periodo di inizio del tratto a velocità costante dello spettro in accelerazione orizzontale.
T_B	Periodo di inizio del tratto accelerazione costante dello spettro di progetto.
T_C	Periodo di inizio del tratto a velocità costante dello spettro di progetto.
T_D	Periodo di inizio del tratto a spostamento costante dello spettro di progetto.

CI Ed	V_N	V_R	Lat.	Long.	Q_a	CTop	S_T
	[t]	[t]	[°ssdc]	[°ssdc]	[m]		
3	50	50	36.782236	14.906446	157	T1	1,00

LEGENDA:

CI Ed	Classe dell'edificio
Lat.	Latitudine geografica del sito.
Long.	Longitudine geografica del sito.
Q_a	Altitudine geografica del sito.
CTop	Categoria topografica. (Vedi NOTE)
S_T	Coefficiente di amplificazione topografica.
NOTE	[-] = Parametro non significativo per il tipo di calcolo effettuato.
	Categoria topografica.
	T1: Superficie pianeggiante, pendii e rilievi isolati con inclinazione media $i \leq 15^\circ$.
	T2: Pendii con inclinazione media $i > 15^\circ$.
	T3: Rilievi con larghezza in cresta molto minore che alla base e inclinazione media $15^\circ \leq i \leq 30^\circ$.
	T4: Rilievi con larghezza in cresta molto minore che alla base e inclinazione media $i > 30^\circ$.

PRINCIPALI ELEMENTI ANALISI SISMICA

Dir	M_{Str}	M_{SLU}	$M_{Ecc,SLU}$	M_{SLD}	$M_{Ecc,SLD}$	%T. M_{Ecc}	$\Sigma V_{Ed,SLU}$
	[N·s ² /m]	[N·s ² /m]	[N·s ² /m]	[N·s ² /m]	[N·s ² /m]	[%]	[N]
X	653 631	458 413	458 411	458 413	458 411	100,00	587 473
Y	653 631	458 413	458 407	458 413	458 407	100,00	659 592
Z	653 631	0	0	0	0	100,00	0

LEGENDA:

Dir	Direzione del sisma.
M_{Str}	Massa complessiva della struttura.
M_{SLU}	Massa eccitabile allo SLU.
$M_{Ecc,SLU}$	Massa Eccitata dal sisma allo SLU.
M_{SLD}	Massa eccitabile della struttura allo SLD, nelle direzioni X, Y, Z.
$M_{Ecc,SLD}$	Massa Eccitata dal sisma allo SLD.
%T.M_{Ecc}	Percentuale Totale di Masse Eccitate dal sisma.
$\Sigma V_{Ed,SLU}$	Tagliante totale, alla base, per sisma allo SLU.

RIEPILOGO MODI DI VIBRAZIONE MODI DI VIBRAZIONE N.15

Sptr	T	$a_{a,0}$	$a_{a,v}$	Γ	CM	%M.M	M_{Ecc}
	[s]	[m/s ²]	[m/s ²]			[%]	[N·s ² /m]
Modo Vibrazione n. 1							
SLU-X	0,625	1,508	0,000	618,330	6,1217	83,40	382 332
SLU-Y	0,625	1,508	0,000	-0,224	-0,0022	0,00	0
SLU-Z	0,000	0,000	0,788	0,000	0,0000	0,00	0
SLD-X	0,625	0,699	0,000	618,330	6,1217	83,40	382 332
SLD-Y	0,625	0,699	0,000	-0,224	-0,0022	0,00	0
SLD-Z	0,000	0,000	0,104	0,000	0,0000	0,00	0
Elast-X	-	0,699	0,000	-	-	-	-
Elast-Y	-	0,699	0,000	-	-	-	-
Elast-Z	-	0,000	0,788	-	-	-	-
Modo Vibrazione n. 2							
SLU-X	0,422	1,693	0,000	4,729	0,0214	0,00	22
SLU-Y	0,422	1,693	0,000	551,197	2,4916	66,28	303 819
SLU-Z	0,000	0,000	0,788	0,000	0,0000	0,00	0
SLD-X	0,422	1,035	0,000	4,729	0,0214	0,00	22
SLD-Y	0,422	1,035	0,000	551,197	2,4916	66,28	303 819
SLD-Z	0,000	0,000	0,104	0,000	0,0000	0,00	0
Elast-X	-	1,035	0,000	-	-	-	-
Elast-Y	-	1,035	0,000	-	-	-	-
Elast-Z	-	0,000	0,788	-	-	-	-
Modo Vibrazione n. 3							
SLU-X	0,402	1,693	0,000	-9,425	-0,0386	0,02	89
SLU-Y	0,402	1,693	0,000	295,439	1,2096	19,04	87 284
SLU-Z	0,000	0,000	0,788	0,000	0,0000	0,00	0
SLD-X	0,402	1,088	0,000	-9,425	-0,0386	0,02	89
SLD-Y	0,402	1,088	0,000	295,439	1,2096	19,04	87 284
SLD-Z	0,000	0,000	0,104	0,000	0,0000	0,00	0
Elast-X	-	1,088	0,000	-	-	-	-

Sptr	T	a _{a.o}	a _{a.v}	Γ	CM	%M.M	M _{Ecc}
Elast-Y	-	1,088	0,000	-	-	-	-
Elast-Z	-	0,000	0,788	-	-	-	-
Modo Vibrazione n. 4							
SLU-X	0,257	1,693	0,000	-275,585	-0,4598	16,57	75 947
SLU-Y	0,257	1,693	0,000	-2,821	-0,0047	0,00	8
SLU-Z	0,000	0,000	0,788	0,000	0,0000	0,00	0
SLD-X	0,257	1,193	0,000	-275,585	-0,4598	16,57	75 947
SLD-Y	0,257	1,193	0,000	-2,821	-0,0047	0,00	8
SLD-Z	0,000	0,000	0,104	0,000	0,0000	0,00	0
Elast-X	-	1,193	0,000	-	-	-	-
Elast-Y	-	1,193	0,000	-	-	-	-
Elast-Z	-	0,000	0,788	-	-	-	-
Modo Vibrazione n. 5							
SLU-X	0,174	1,699	0,000	-1,170	-0,0009	0,00	1
SLU-Y	0,174	1,699	0,000	-205,639	-0,1583	9,22	42 287
SLU-Z	0,000	0,000	0,788	0,000	0,0000	0,00	0
SLD-X	0,174	1,193	0,000	-1,170	-0,0009	0,00	1
SLD-Y	0,174	1,193	0,000	-205,639	-0,1583	9,22	42 287
SLD-Z	0,000	0,000	0,104	0,000	0,0000	0,00	0
Elast-X	-	1,193	0,000	-	-	-	-
Elast-Y	-	1,193	0,000	-	-	-	-
Elast-Z	-	0,000	0,788	-	-	-	-
Modo Vibrazione n. 6							
SLU-X	0,205	1,693	0,000	4,437	0,0047	0,00	20
SLU-Y	0,205	1,693	0,000	-158,142	-0,1677	5,46	25 009
SLU-Z	0,000	0,000	0,788	0,000	0,0000	0,00	0
SLD-X	0,205	1,193	0,000	4,437	0,0047	0,00	20
SLD-Y	0,205	1,193	0,000	-158,142	-0,1677	5,46	25 009
SLD-Z	0,000	0,000	0,104	0,000	0,0000	0,00	0
Elast-X	-	1,193	0,000	-	-	-	-
Elast-Y	-	1,193	0,000	-	-	-	-
Elast-Z	-	0,000	0,788	-	-	-	-
Modo Vibrazione n. 7							
SLU-X	0,000	1,794	0,000	0,000	0,0000	0,00	0
SLU-Y	0,000	1,794	0,000	0,000	0,0000	0,00	0
SLU-Z	0,000	0,000	0,788	0,000	0,0000	0,00	0
SLD-X	0,000	0,464	0,000	0,000	0,0000	0,00	0
SLD-Y	0,000	0,464	0,000	0,000	0,0000	0,00	0
SLD-Z	0,000	0,000	0,104	0,000	0,0000	0,00	0
Elast-X	-	0,464	0,000	-	-	-	-
Elast-Y	-	0,464	0,000	-	-	-	-
Elast-Z	-	0,000	0,788	-	-	-	-
Modo Vibrazione n. 8							
SLU-X	0,000	1,794	0,000	0,000	0,0000	0,00	0
SLU-Y	0,000	1,794	0,000	0,000	0,0000	0,00	0
SLU-Z	0,000	0,000	0,788	0,000	0,0000	0,00	0
SLD-X	0,000	0,464	0,000	0,000	0,0000	0,00	0
SLD-Y	0,000	0,464	0,000	0,000	0,0000	0,00	0
SLD-Z	0,000	0,000	0,104	0,000	0,0000	0,00	0
Elast-X	-	0,464	0,000	-	-	-	-
Elast-Y	-	0,464	0,000	-	-	-	-
Elast-Z	-	0,000	0,788	-	-	-	-
Modo Vibrazione n. 9							
SLU-X	0,000	1,794	0,000	0,000	0,0000	0,00	0
SLU-Y	0,000	1,794	0,000	0,000	0,0000	0,00	0
SLU-Z	0,000	0,000	0,788	0,000	0,0000	0,00	0
SLD-X	0,000	0,464	0,000	0,000	0,0000	0,00	0
SLD-Y	0,000	0,464	0,000	0,000	0,0000	0,00	0
SLD-Z	0,000	0,000	0,104	0,000	0,0000	0,00	0
Elast-X	-	0,464	0,000	-	-	-	-
Elast-Y	-	0,464	0,000	-	-	-	-
Elast-Z	-	0,000	0,788	-	-	-	-
Modo Vibrazione n. 10							
SLU-X	0,000	1,794	0,000	0,000	0,0000	0,00	0
SLU-Y	0,000	1,794	0,000	0,000	0,0000	0,00	0
SLU-Z	0,000	0,000	0,788	0,000	0,0000	0,00	0
SLD-X	0,000	0,464	0,000	0,000	0,0000	0,00	0
SLD-Y	0,000	0,464	0,000	0,000	0,0000	0,00	0
SLD-Z	0,000	0,000	0,104	0,000	0,0000	0,00	0
Elast-X	-	0,464	0,000	-	-	-	-
Elast-Y	-	0,464	0,000	-	-	-	-
Elast-Z	-	0,000	0,788	-	-	-	-
Modo Vibrazione n. 11							
SLU-X	0,000	1,794	0,000	0,000	0,0000	0,00	0
SLU-Y	0,000	1,794	0,000	0,000	0,0000	0,00	0
SLU-Z	0,000	0,000	0,788	0,000	0,0000	0,00	0
SLD-X	0,000	0,464	0,000	0,000	0,0000	0,00	0
SLD-Y	0,000	0,464	0,000	0,000	0,0000	0,00	0
SLD-Z	0,000	0,000	0,104	0,000	0,0000	0,00	0
Elast-X	-	0,464	0,000	-	-	-	-
Elast-Y	-	0,464	0,000	-	-	-	-
Elast-Z	-	0,000	0,788	-	-	-	-
Modo Vibrazione n. 12							
SLU-X	0,000	1,794	0,000	0,000	0,0000	0,00	0
SLU-Y	0,000	1,794	0,000	0,000	0,0000	0,00	0
SLU-Z	0,000	0,000	0,788	0,000	0,0000	0,00	0

Sptr	T	a _{q,o}	a _{q,v}	Γ	CM	%M.M	M _{Ecc}
SLD-X	0,000	0,464	0,000	0,000	0,0000	0,00	0
SLD-Y	0,000	0,464	0,000	0,000	0,0000	0,00	0
SLD-Z	0,000	0,000	0,104	0,000	0,0000	0,00	0
Elast-X	-	0,464	0,000	-	-	-	-
Elast-Y	-	0,464	0,000	-	-	-	-
Elast-Z	-	0,000	0,788	-	-	-	-
Modo Vibrazione n. 13							
SLU-X	0,000	1,794	0,000	0,000	0,0000	0,00	0
SLU-Y	0,000	1,794	0,000	0,000	0,0000	0,00	0
SLU-Z	0,000	0,000	0,788	0,000	0,0000	0,00	0
SLD-X	0,000	0,464	0,000	0,000	0,0000	0,00	0
SLD-Y	0,000	0,464	0,000	0,000	0,0000	0,00	0
SLD-Z	0,000	0,000	0,104	0,000	0,0000	0,00	0
Elast-X	-	0,464	0,000	-	-	-	-
Elast-Y	-	0,464	0,000	-	-	-	-
Elast-Z	-	0,000	0,788	-	-	-	-
Modo Vibrazione n. 14							
SLU-X	0,000	1,794	0,000	0,000	0,0000	0,00	0
SLU-Y	0,000	1,794	0,000	0,000	0,0000	0,00	0
SLU-Z	0,000	0,000	0,788	0,000	0,0000	0,00	0
SLD-X	0,000	0,464	0,000	0,000	0,0000	0,00	0
SLD-Y	0,000	0,464	0,000	0,000	0,0000	0,00	0
SLD-Z	0,000	0,000	0,104	0,000	0,0000	0,00	0
Elast-X	-	0,464	0,000	-	-	-	-
Elast-Y	-	0,464	0,000	-	-	-	-
Elast-Z	-	0,000	0,788	-	-	-	-
Modo Vibrazione n. 15							
SLU-X	0,000	1,794	0,000	0,000	0,0000	0,00	0
SLU-Y	0,000	1,794	0,000	0,000	0,0000	0,00	0
SLU-Z	0,000	0,000	0,788	0,000	0,0000	0,00	0
SLD-X	0,000	0,464	0,000	0,000	0,0000	0,00	0
SLD-Y	0,000	0,464	0,000	0,000	0,0000	0,00	0
SLD-Z	0,000	0,000	0,104	0,000	0,0000	0,00	0
Elast-X	-	0,464	0,000	-	-	-	-
Elast-Y	-	0,464	0,000	-	-	-	-
Elast-Z	-	0,000	0,788	-	-	-	-

LEGENDA:

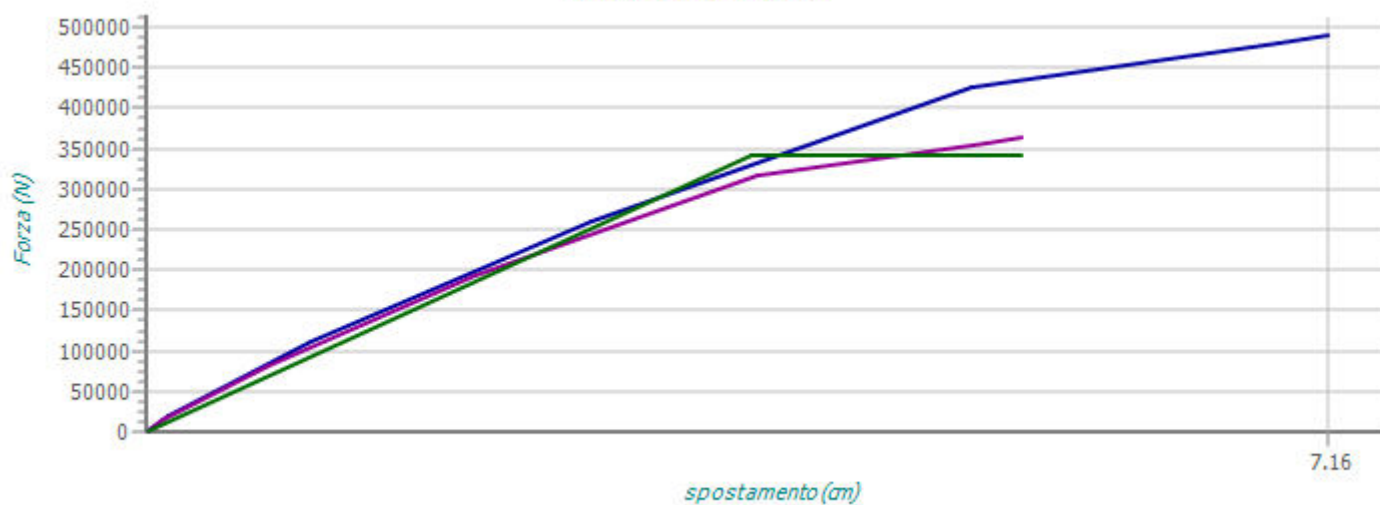
Sptr	Spettro di risposta considerato.
T	Periodo del Modo di vibrazione.
a_{q,o}	Valore dell'Accelerazione Spettrale Orizzontale, riferita al corrispondente periodo.
a_{q,v}	Valore dell'Accelerazione Spettrale Verticale, riferita al corrispondente periodo.
Γ	Coefficiente di partecipazione.
CM	Coefficiente modale del modo di vibrazione.
%M.M	Percentuale di mobilitazione delle masse nel modo di vibrazione.
M_{Ecc}	Massa Eccitata nel modo di vibrazione.
SLU-X	Spettro di progetto allo S.L. Ultimo per sisma in direzione X.
SLU-Y	Spettro di progetto allo S.L. Ultimo per sisma in direzione Y.
SLU-Z	Spettro di progetto allo S.L. Ultimo per sisma in direzione Z.
SLD-X	Spettro di progetto allo S.L. di Danno per sisma in direzione X.
SLD-Y	Spettro di progetto allo S.L. di Danno per sisma in direzione Y.
SLD-Z	Spettro di progetto allo S.L. di Danno per sisma in direzione Z.
Elast-X	Spettro Elastico per sisma in direzione X.
Elast-Y	Spettro Elastico per sisma in direzione Y.
Elast-Z	Spettro Elastico per sisma in direzione Z.

CURVA DI CAPACITÀ

													Curva di capacità		
Γ	K _{Stop}	M _{Eq}	SLV		(d, F) _{Snv,Blt}			T	PGA	PGA _{SLD} piani	α _u /α ₁	q*	Pnt Cntr		
			SLD	K _{sec}	F	δ	A _{SDOF}						X	Y	Z
		[N·s ² /m]		[N/cm]	[N]	[cm]	[N·m]	[s]					[m]	[m]	[m]
Direzione sisma in +X, Ecc+Y - Proporzionale I Modo vibrazione															
1,351	3	283 101	SLV SLD	92 962 92 962	340 476 340 476	3,663 3,663	11 813 11 813	1,096 1,096	0,147 0,207	0,143	0,00	1,80	33,40	40,37	10,70
Punti della curva di capacità (Forza / Spostamento).															
Punto		Forza [N]		Spostamento [cm]		Punto		Forza [N]		Spostamento [cm]		Punto		Forza [N]	Spostamento [cm]
0		0		0,0000		1		20 837		0,1367		2		110 838	0,9988
3		260 369		2,6962		4		427 065		5,0033		5		481 373	6,8658
6		490 491		7,1592											

Γ	K_{Stop}	M_{Eq}	SLV	$(d, F)_{Srv, Blt}$		A_{SDOF}	T	PGA	PGA_{SLD} piani	α_u/α_1	q^*	Pnt Cntr		
			SLD	K_{sec}	F							X	Y	Z
		[N·s ² /m]		[N/cm]	[N]		[cm]	[N·m]	[s]			[m]	[m]	[m]

Curva di CAPACITA'



— sistema reale MDOF — sistema equivalente SDOF — BILINEARE

CAPACITA' DI SPOSTAMENTO DELL'EDIFICIO ALLO SLV (cm): 7,159

CAPACITA' DI SPOSTAMENTO DELL'EDIFICIO ALLO SLD (cm): 7,159

Domanda spostamento allo SLV (cm): 8,909

Domanda spostamento allo SLD (cm): 1,640

Verifica allo SLV: Non Verificata

Verifica allo SLD: Verificata

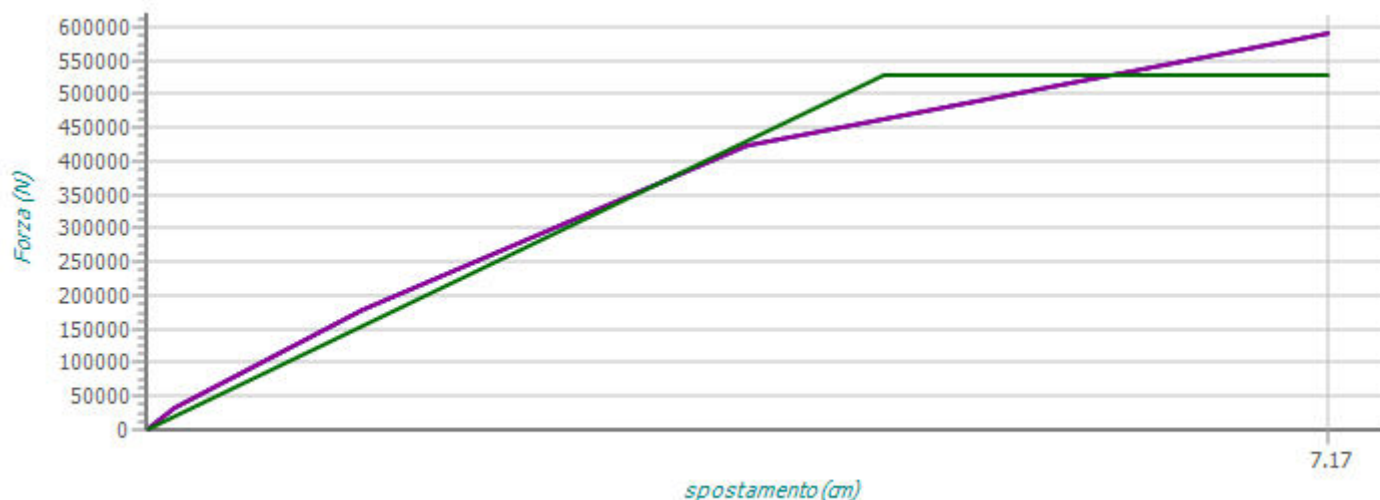
Direzione sisma in +X, Ecc+Y - Proporzionale alle masse

1,000	3	458 413	SLV	118 385	529 543	4,473	26 126	1,236	0,176	0,116	0,00	1,66	33,40	40,37	10,70
			SLD	118 385	529 543	4,473	26 126	1,236	0,248						

Punti della curva di capacità (Forza / Spostamento).

Punto	Forza [N]	Spostamento [cm]	Punto	Forza [N]	Spostamento [cm]	Punto	Forza [N]	Spostamento [cm]
0	0	0,0000	1	33 771	0,1755	2	179 640	1,3139
3	422 437	3,6470	4	591 293	7,1702			

Curva di CAPACITA'



— sistema reale MDOF — sistema equivalente SDOF — BILINEARE

CAPACITA' DI SPOSTAMENTO DELL'EDIFICIO ALLO SLV (cm): 7,170

CAPACITA' DI SPOSTAMENTO DELL'EDIFICIO ALLO SLD (cm): 7,170

Domanda spostamento allo SLV (cm): 7,439

Domanda spostamento allo SLD (cm): 1,369

Verifica allo SLV: Non Verificata

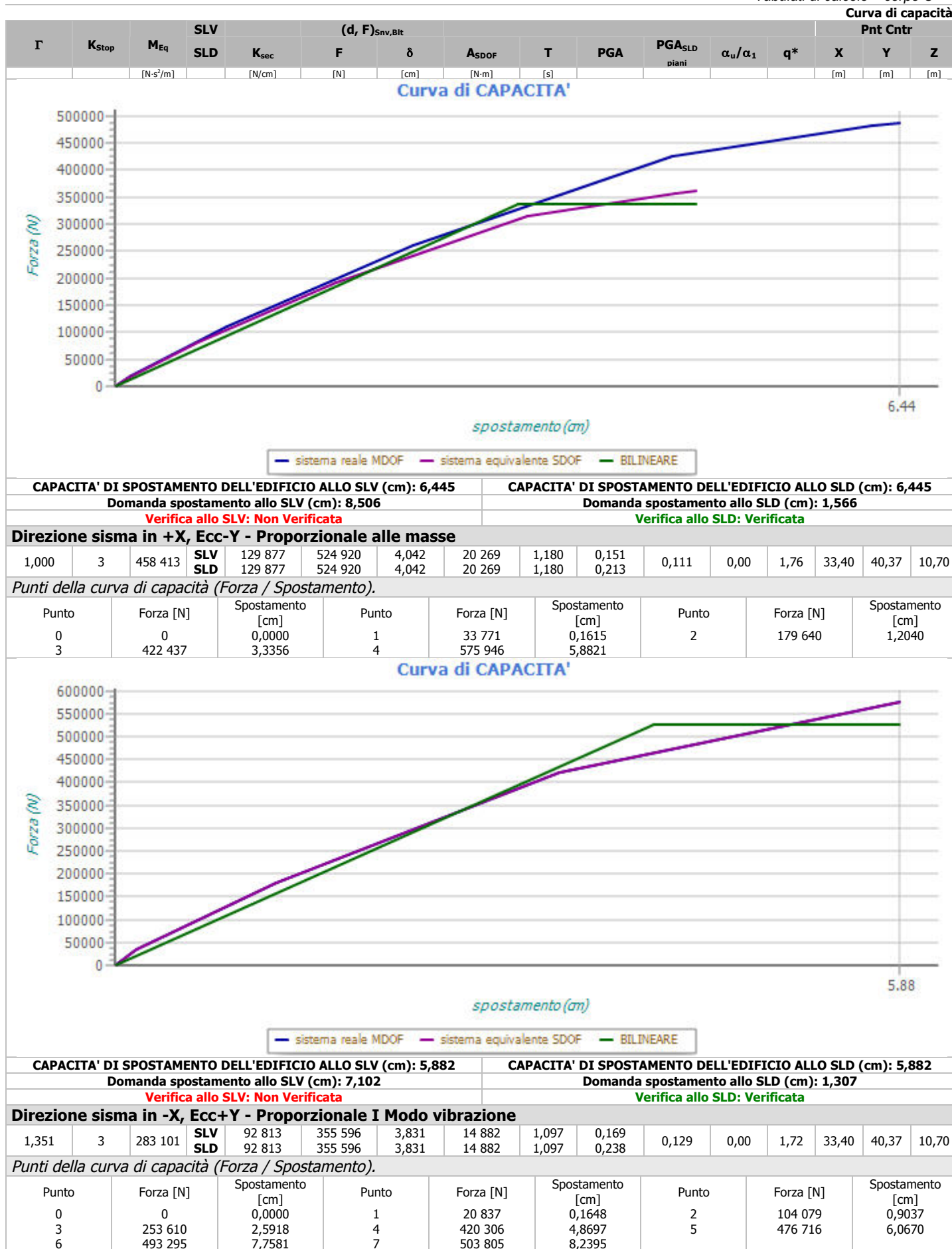
Verifica allo SLD: Verificata

Direzione sisma in +X, Ecc-Y - Proporzionale I Modo vibrazione

1,351	3	283 101	SLV	101 983	337 795	3,312	10 525	1,047	0,139	0,122	0,00	1,90	33,40	40,37	10,70
			SLD	101 983	337 795	3,312	10 525	1,047	0,195						

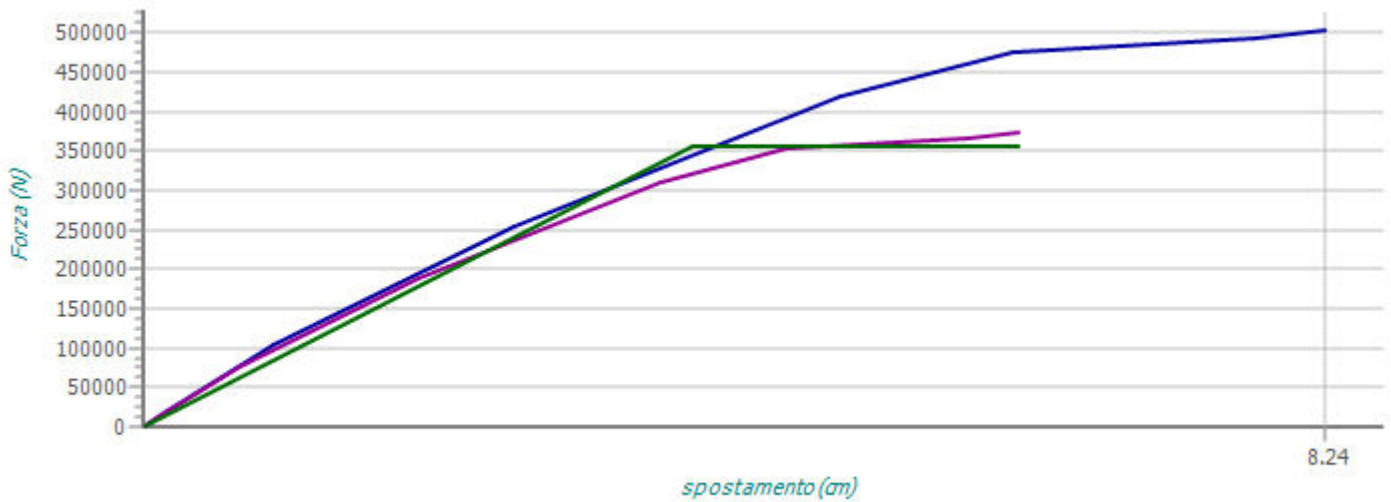
Punti della curva di capacità (Forza / Spostamento).

Punto	Forza [N]	Spostamento [cm]	Punto	Forza [N]	Spostamento [cm]	Punto	Forza [N]	Spostamento [cm]
0	0	0,0000	1	20 782	0,1262	2	110 545	0,9222
3	259 680	2,4463	4	425 933	4,5831	5	481 382	6,2183
6	487 519	6,4448						



Γ	K_{Stop}	M_{Eq}	SLV	$(d, F)_{Srv, Blt}$		A_{SDOF}	T	PGA	PGA_{SLD} piani	α_u/α_1	q^*	Curva di capacità Pnt Cntr		
			SLD	K_{sec}	F							X	Y	Z
		[N·s²/m]		[N/cm]	[N]	[cm]	[s]					[m]	[m]	[m]

Curva di CAPACITA'



CAPACITA' DI SPOSTAMENTO DELL'EDIFICIO ALLO SLV (cm): 8,240					CAPACITA' DI SPOSTAMENTO DELL'EDIFICIO ALLO SLD (cm): 8,240				
Domanda spostamento allo SLV (cm): 8,917					Domanda spostamento allo SLD (cm): 1,641				
Verifica allo SLV: Non Verificata					Verifica allo SLD: Verificata				

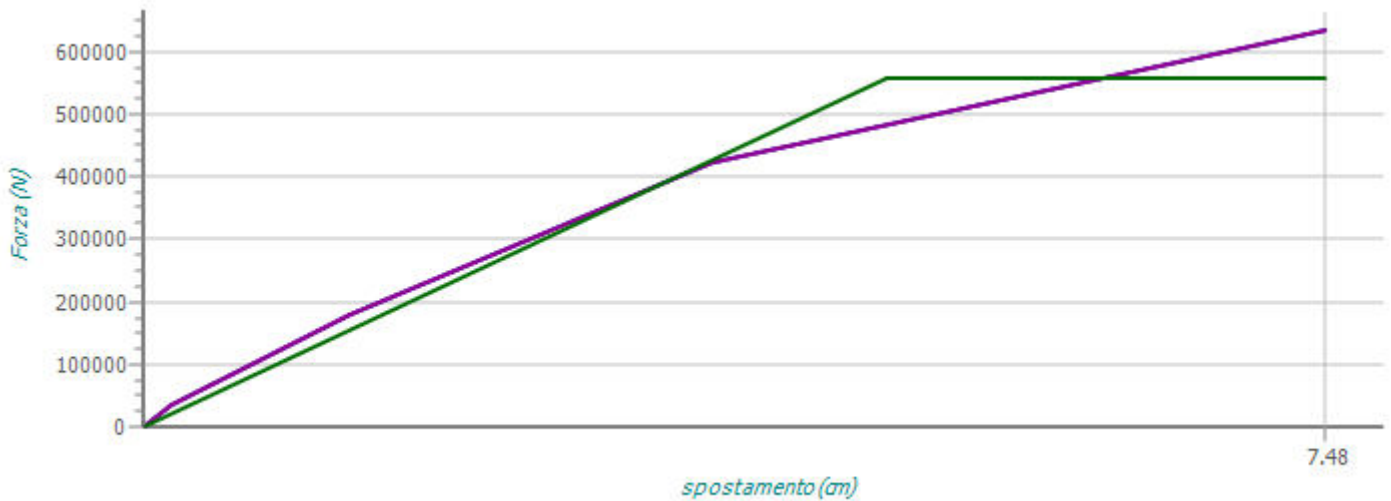
Direzione sisma in -X, Ecc+Y - Proporzionale alle masse

1,000	3	458 413	SLV	118 722	558 981	4,708	28 659	1,235	0,184	0,118	1,50	1,58	33,40	40,37	10,70
			SLD	118 722	558 981	4,708	28 659	1,235	0,259						

Punti della curva di capacità (Forza / Spostamento).

Punto	Forza [N]	Spostamento [cm]	Punto	Forza [N]	Spostamento [cm]	Punto	Forza [N]	Spostamento [cm]
0	0	0,0000	1	33 771	0,1808	2	179 640	1,3036
3	422 437	3,6013	4	634 999	7,4813			

Curva di CAPACITA'



CAPACITA' DI SPOSTAMENTO DELL'EDIFICIO ALLO SLV (cm): 7,481					CAPACITA' DI SPOSTAMENTO DELL'EDIFICIO ALLO SLD (cm): 7,481				
Domanda spostamento allo SLV (cm): 7,428					Domanda spostamento allo SLD (cm): 1,367				
Verifica allo SLV: Verificata					Verifica allo SLD: Verificata				

Direzione sisma in -X, Ecc-Y - Proporzionale I Modo vibrazione

1,351	3	283 101	SLV	101 391	340 426	3,358	9 005	1,050	0,125	0,128	0,00	1,88	33,40	40,37	10,70
			SLD	101 391	340 426	3,358	9 005	1,050	0,176						

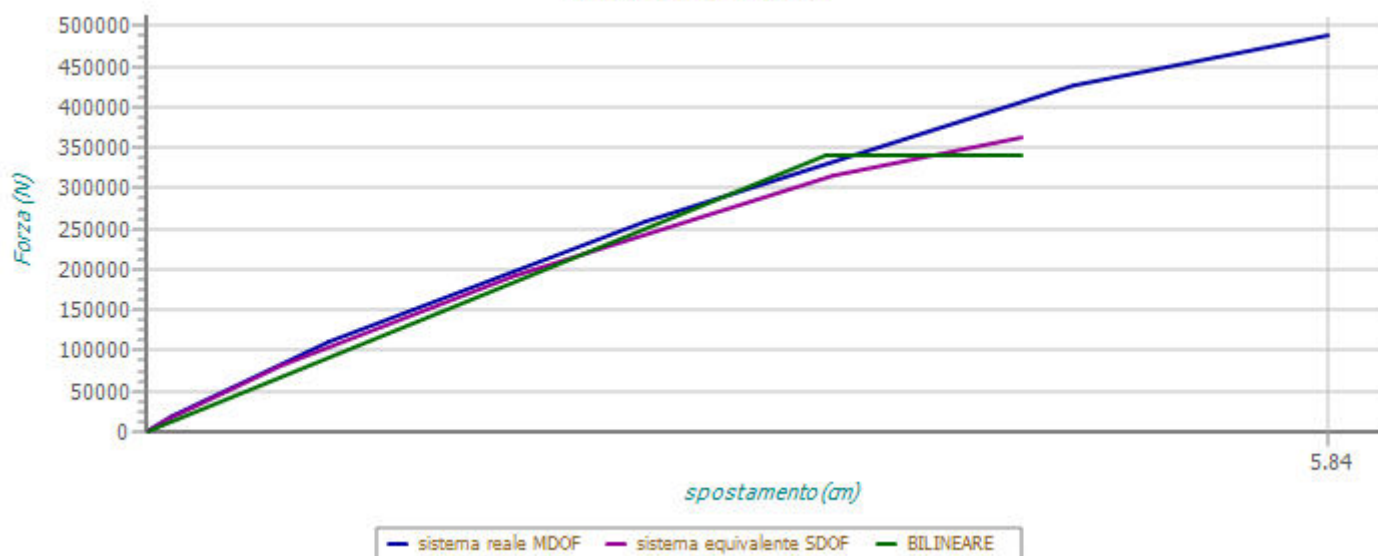
Punti della curva di capacità (Forza / Spostamento).

Punto	Forza [N]	Spostamento [cm]	Punto	Forza [N]	Spostamento [cm]	Punto	Forza [N]	Spostamento [cm]
0	0	0,0000	1	20 782	0,1315	2	110 545	0,8982
3	259 680	2,4642	4	425 933	4,5846	5	488 707	5,8399

Curva di capacità

Γ	K_{Stop}	M_{Eq}	SLV	$(d, F)_{Srv, Blt}$		A_{SDOF}	T	PGA	PGA_{SLD} piani	α_u/α_1	q^*	Pnt Cntr		
			SLD	K_{sec}	F							X	Y	Z
		[N·s²/m]		[N/cm]	[N]		[cm]	[N·m]	[s]			[m]	[m]	[m]

Curva di CAPACITA'



CAPACITA' DI SPOSTAMENTO DELL'EDIFICIO ALLO SLV (cm): 5,840

CAPACITA' DI SPOSTAMENTO DELL'EDIFICIO ALLO SLD (cm): 5,840

Domanda spostamento allo SLV (cm): 8,531

Domanda spostamento allo SLD (cm): 1,570

Verifica allo SLV: Non Verificata

Verifica allo SLD: Verificata

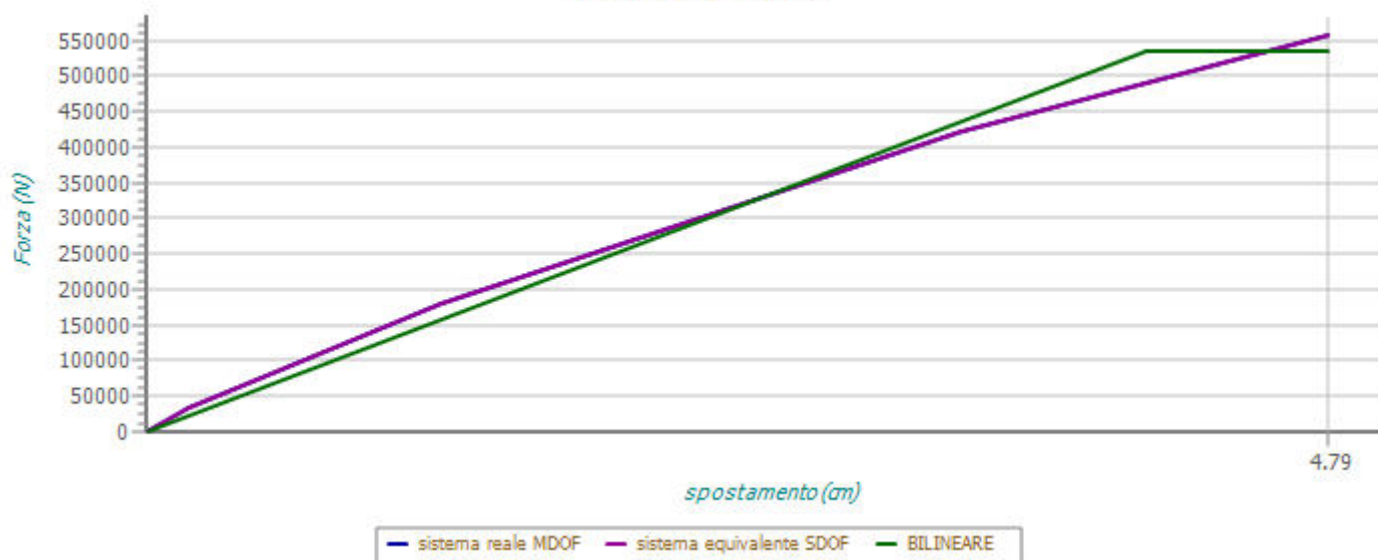
Direzione sisma in -X, Ecc-Y - Proporzionale alle masse

1,000	3	458 413	SLV	131 680	534 394	4,058	14 756	1,172	0,124	0,116	0,00	1,74	33,40	40,37	10,70
			SLD	131 680	534 394	4,058	14 756	1,172	0,175						

Punti della curva di capacità (Forza / Spostamento).

Punto	Forza [N]	Spostamento [cm]	Punto	Forza [N]	Spostamento [cm]	Punto	Forza [N]	Spostamento [cm]
0	0	0,0000	1	33 771	0,1669	2	179 640	1,1961
3	422 437	3,3035	4	557 523	4,7904			

Curva di CAPACITA'



CAPACITA' DI SPOSTAMENTO DELL'EDIFICIO ALLO SLV (cm): 4,790

CAPACITA' DI SPOSTAMENTO DELL'EDIFICIO ALLO SLD (cm): 4,790

Domanda spostamento allo SLV (cm): 7,053

Domanda spostamento allo SLD (cm): 1,298

Verifica allo SLV: Non Verificata

Verifica allo SLD: Verificata

Direzione sisma in +Y, Ecc+X - Proporzionale I Modo vibrazione

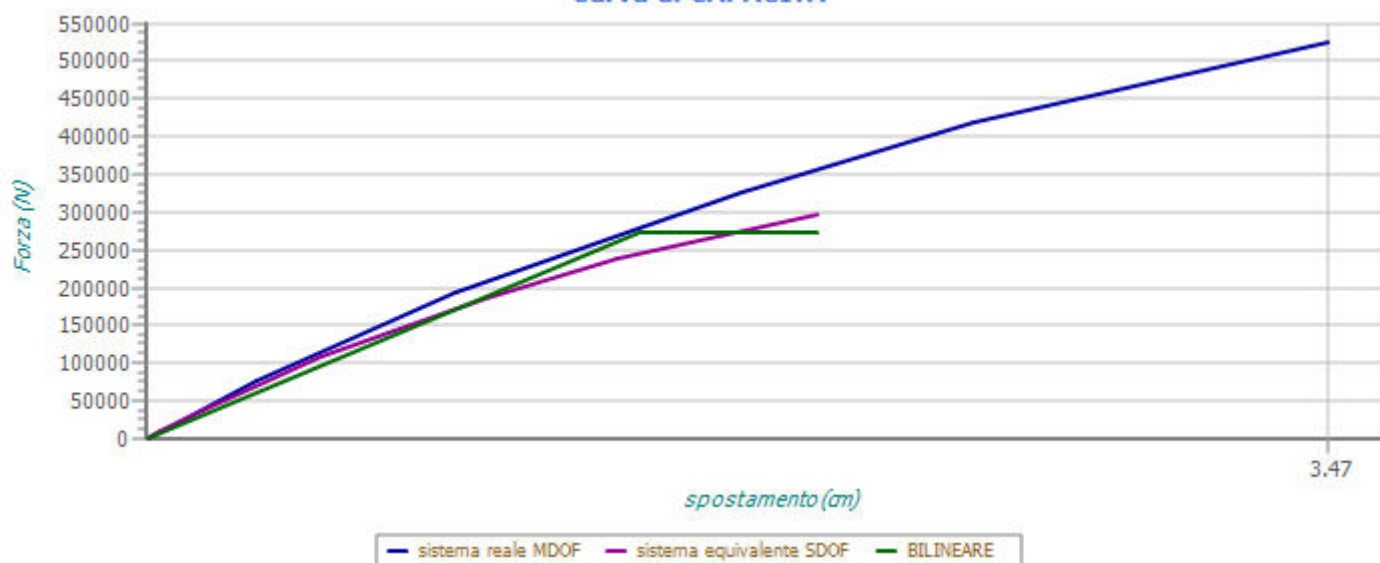
1,761	3	194 437	SLV	188 602	272 933	1,447	3 402	0,638	0,094	0,762	0,00	2,65	37,40	40,32	10,70
			SLD	188 602	272 933	1,447	3 402	0,638	0,132						

Punti della curva di capacità (Forza / Spostamento).

Punto	Forza [N]	Spostamento [cm]	Punto	Forza [N]	Spostamento [cm]	Punto	Forza [N]	Spostamento [cm]
0	0	0,0000	1	16 765	0,0703	2	75 890	0,3266
3	193 362	0,9041	4	327 481	1,7486	5	419 123	2,4328
6	525 299	3,4687						

Γ	K_{Stop}	M_{Eq}	SLV		$(d, F)_{Srv, Blt}$		A_{SDOF}	T	PGA	PGA_{SLD} piani	α_u/α_1	q^*	Curva di capacità Pnt Cntr		
			SLD	K_{sec}	F	δ							X	Y	Z
		[N·s²/m]		[N/cm]	[N]	[cm]	[N·m]	[s]					[m]	[m]	[m]

Curva di CAPACITA'



CAPACITA' DI SPOSTAMENTO DELL'EDIFICIO ALLO SLV (cm): 3,469

CAPACITA' DI SPOSTAMENTO DELL'EDIFICIO ALLO SLD (cm): 3,469

Domanda spostamento allo SLV (cm): 6,759

Domanda spostamento allo SLD (cm): 1,244

Verifica allo SLV: Non Verificata

Verifica allo SLD: Verificata

Direzione sisma in +Y, Ecc+X - Proporzionale alle masse

1,000	3	458 413	SLV	317 803	827 848	2,605	18 408	0,755	0,142	3,042	0,00	1,74	37,40	40,32	10,70
			SLD	317 803	827 848	2,605	18 408	0,755	0,200						

Punti della curva di capacità (Forza / Spostamento).

Punto	Forza [N]	Spostamento [cm]	Punto	Forza [N]	Spostamento [cm]	Punto	Forza [N]	Spostamento [cm]
0	0	0,0000	1	33 504	0,0766	2	197 431	0,5050
3	465 462	1,3505	4	733 493	2,5897	5	904 606	3,5261

Curva di CAPACITA'



CAPACITA' DI SPOSTAMENTO DELL'EDIFICIO ALLO SLV (cm): 3,526

CAPACITA' DI SPOSTAMENTO DELL'EDIFICIO ALLO SLD (cm): 3,526

Domanda spostamento allo SLV (cm): 4,540

Domanda spostamento allo SLD (cm): 0,836

Verifica allo SLV: Non Verificata

Verifica allo SLD: Verificata

Direzione sisma in +Y, Ecc-X - Proporzionale I Modo vibrazione

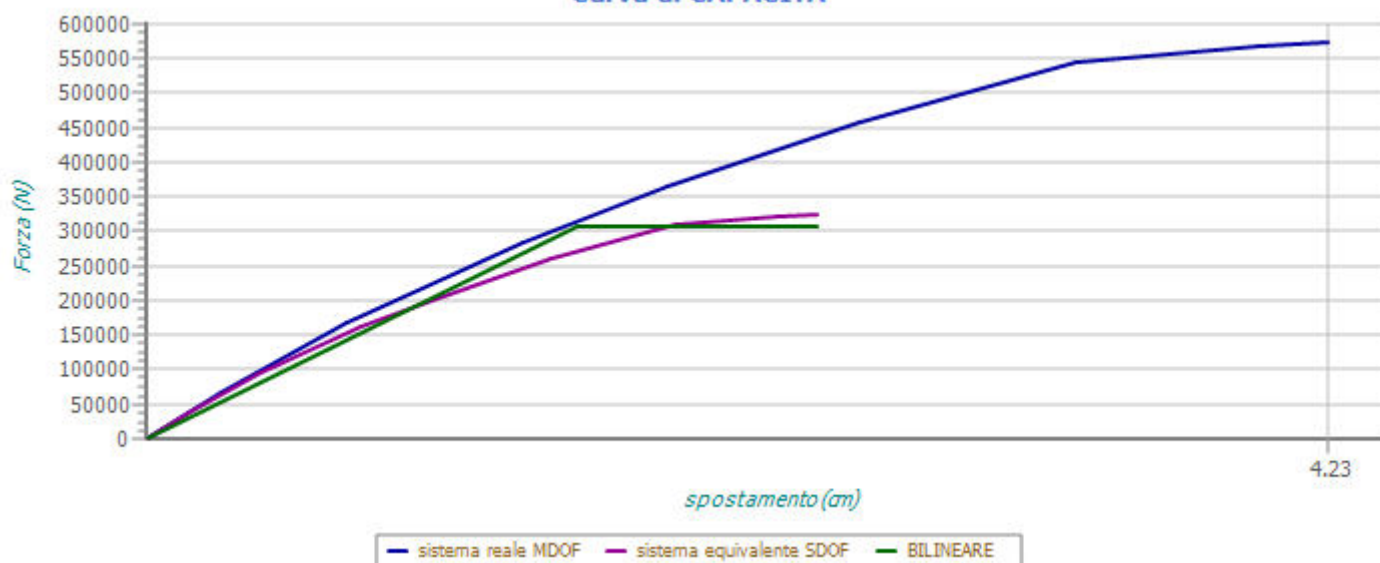
1,761	3	194 437	SLV	198 147	305 549	1,542	4 980	0,622	0,117	0,105	0,00	2,43	37,40	40,32	10,70
			SLD	198 147	305 549	1,542	4 980	0,622	0,165						

Punti della curva di capacità (Forza / Spostamento).

Punto	Forza [N]	Spostamento [cm]	Punto	Forza [N]	Spostamento [cm]	Punto	Forza [N]	Spostamento [cm]
0	0	0,0000	1	14 575	0,0578	2	65 975	0,2684
3	168 100	0,7207	4	284 697	1,3509	5	364 366	1,8680
6	456 670	2,5552	7	544 118	3,3306	8	566 297	3,9804
9	573 647	4,2277						

Γ	K_{Stop}	M_{Eq}	SLV		$(d, F)_{Srv, Blt}$		A_{SDOF}	T	PGA	PGA_{SLD} piani	α_u/α_1	q^*	Curva di capacità Pnt Cntr		
			SLD	K_{sec}	F	δ							X	Y	Z
		[N·s²/m]		[N/cm]	[N]	[cm]	[N·m]	[s]					[m]	[m]	[m]

Curva di CAPACITA'



CAPACITA' DI SPOSTAMENTO DELL'EDIFICIO ALLO SLV (cm): 4,228

CAPACITA' DI SPOSTAMENTO DELL'EDIFICIO ALLO SLD (cm): 4,228

Domanda spostamento allo SLV (cm): 6,594

Domanda spostamento allo SLD (cm): 1,214

Verifica allo SLV: Non Verificata

Verifica allo SLD: Verificata

Direzione sisma in +Y, Ecc-X - Proporzionale alle masse

1,000	3	458 413	SLV	381 361	825 343	2,164	15 313	0,689	0,130	4,454	0,00	1,92	37,40	40,32	10,70
			SLD	381 361	825 343	2,164	15 313	0,689	0,182						

Punti della curva di capacità (Forza / Spostamento).

Punto	Forza [N]	Spostamento [cm]	Punto	Forza [N]	Spostamento [cm]	Punto	Forza [N]	Spostamento [cm]
0	0	0,0000	1	33 504	0,0663	2	197 431	0,4307
3	465 463	1,1270	4	733 495	2,1540	5	904 608	2,9375

Curva di CAPACITA'



CAPACITA' DI SPOSTAMENTO DELL'EDIFICIO ALLO SLV (cm): 2,937

CAPACITA' DI SPOSTAMENTO DELL'EDIFICIO ALLO SLD (cm): 2,937

Domanda spostamento allo SLV (cm): 4,145

Domanda spostamento allo SLD (cm): 0,763

Verifica allo SLV: Non Verificata

Verifica allo SLD: Verificata

Direzione sisma in -Y, Ecc+X - Proporzionale I Modo vibrazione

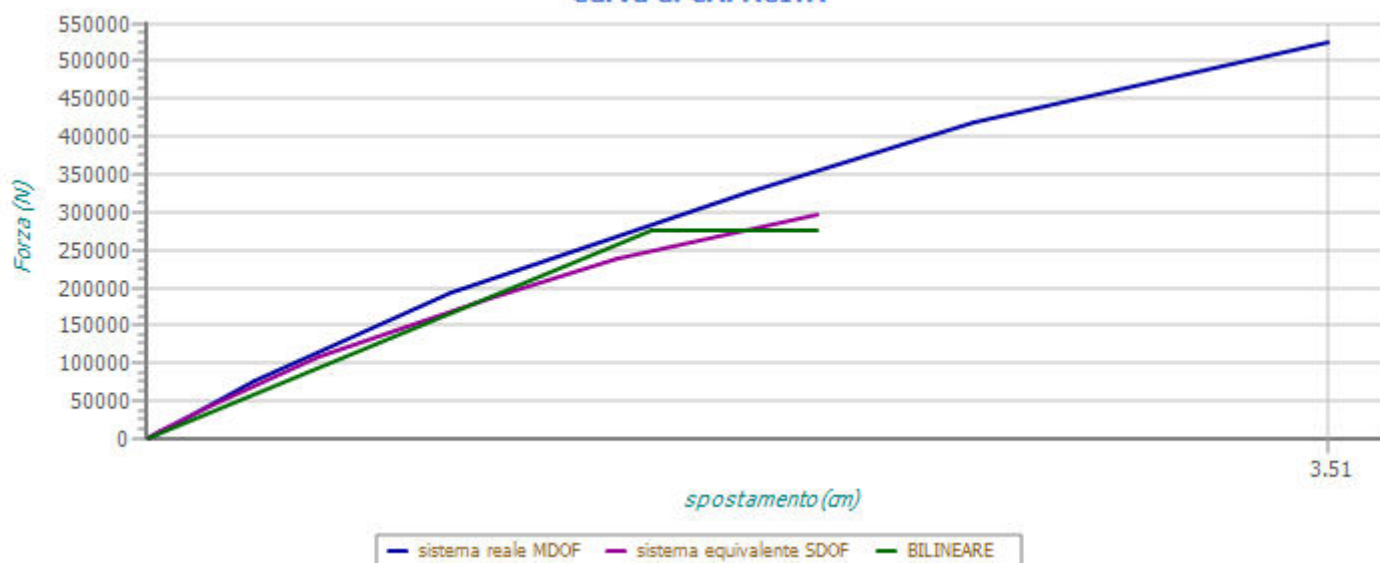
1,761	3	194 437	SLV	184 822	276 717	1,497	3 439	0,644	0,094	0,613	0,00	2,59	37,40	40,32	10,70
			SLD	184 822	276 717	1,497	3 439	0,644	0,132						

Punti della curva di capacità (Forza / Spostamento).

Punto	Forza [N]	Spostamento [cm]	Punto	Forza [N]	Spostamento [cm]	Punto	Forza [N]	Spostamento [cm]
0	0	0,0000	1	16 765	0,0690	2	75 890	0,3226
3	193 362	0,9053	4	327 481	1,7861	5	419 123	2,4561
6	525 299	3,5064						

Γ	K_{Stop}	M_{Eq}	SLV		$(d, F)_{Srv, Blt}$		A_{SDOF}	T	PGA	PGA_{SLD} piani	α_u/α_1	q^*	Curva di capacità Pnt Cntr		
			SLD	K_{sec}	F	δ							X	Y	Z
		[N·s ² /m]		[N/cm]	[N]	[cm]	[N·m]	[s]					[m]	[m]	[m]

Curva di CAPACITA'



CAPACITA' DI SPOSTAMENTO DELL'EDIFICIO ALLO SLV (cm): 3,506

CAPACITA' DI SPOSTAMENTO DELL'EDIFICIO ALLO SLD (cm): 3,506

Domanda spostamento allo SLV (cm): 6,828

Domanda spostamento allo SLD (cm): 1,257

Verifica allo SLV: Non Verificata

Verifica allo SLD: Verificata

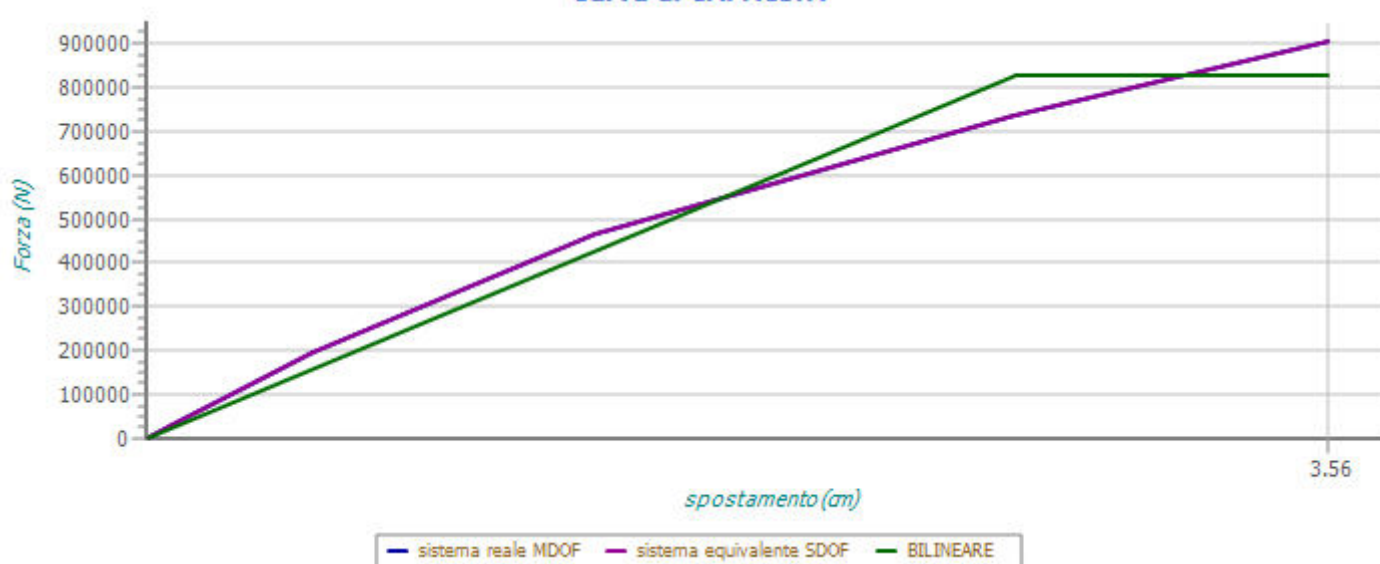
Direzione sisma in -Y, Ecc+X - Proporzionale alle masse

1,000	3	458 413	SLV	316 157	828 784	2,621	18 632	0,757	0,143	2,816	0,00	1,74	37,40	40,32	10,70
			SLD	316 157	828 784	2,621	18 632	0,757	0,201						

Punti della curva di capacità (Forza / Spostamento).

Punto	Forza [N]	Spostamento [cm]	Punto	Forza [N]	Spostamento [cm]	Punto	Forza [N]	Spostamento [cm]
0	0	0,0000	1	33 504	0,0757	2	197 431	0,4983
3	465 462	1,3534	4	733 493	2,6134	5	904 606	3,5589

Curva di CAPACITA'



CAPACITA' DI SPOSTAMENTO DELL'EDIFICIO ALLO SLV (cm): 3,559

CAPACITA' DI SPOSTAMENTO DELL'EDIFICIO ALLO SLD (cm): 3,559

Domanda spostamento allo SLV (cm): 4,552

Domanda spostamento allo SLD (cm): 0,838

Verifica allo SLV: Non Verificata

Verifica allo SLD: Verificata

Direzione sisma in -Y, Ecc-X - Proporzionale I Modo vibrazione

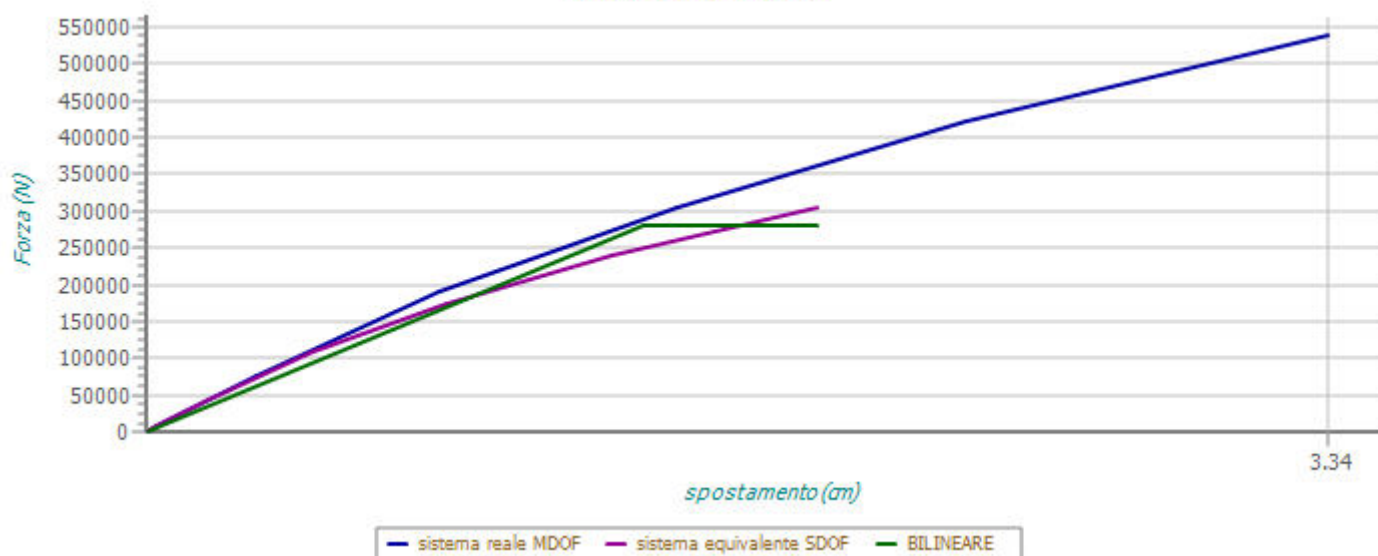
1,761	3	194 437	SLV	199 269	280 637	1,408	3 351	0,621	0,093	1,022	0,00	2,65	37,40	40,32	10,70
			SLD	199 269	280 637	1,408	3 351	0,621	0,131						

Punti della curva di capacità (Forza / Spostamento).

Punto	Forza [N]	Spostamento [cm]	Punto	Forza [N]	Spostamento [cm]	Punto	Forza [N]	Spostamento [cm]
0	0	0,0000	1	14 575	0,0515	2	77 527	0,3111
3	189 502	0,8252	4	306 099	1,5017	5	422 664	2,3161
6	539 261	3,3423						

Γ	K_{Stop}	M_{Eq}	SLV		$(d, F)_{Srv, Blt}$		A_{SDOF}	T	PGA	PGA_{SLD} piani	α_u/α_1	q^*	Curva di capacità Pnt Cntr		
			SLD	K_{sec}	F	δ							X	Y	Z
		[N·s ² /m]		[N/cm]	[N]	[cm]	[N·m]	[s]					[m]	[m]	[m]

Curva di CAPACITA'



CAPACITA' DI SPOSTAMENTO DELL'EDIFICIO ALLO SLV (cm): 3,342

CAPACITA' DI SPOSTAMENTO DELL'EDIFICIO ALLO SLD (cm): 3,342

Domanda spostamento allo SLV (cm): 6,575

Domanda spostamento allo SLD (cm): 1,210

Verifica allo SLV: Non Verificata

Verifica allo SLD: Verificata

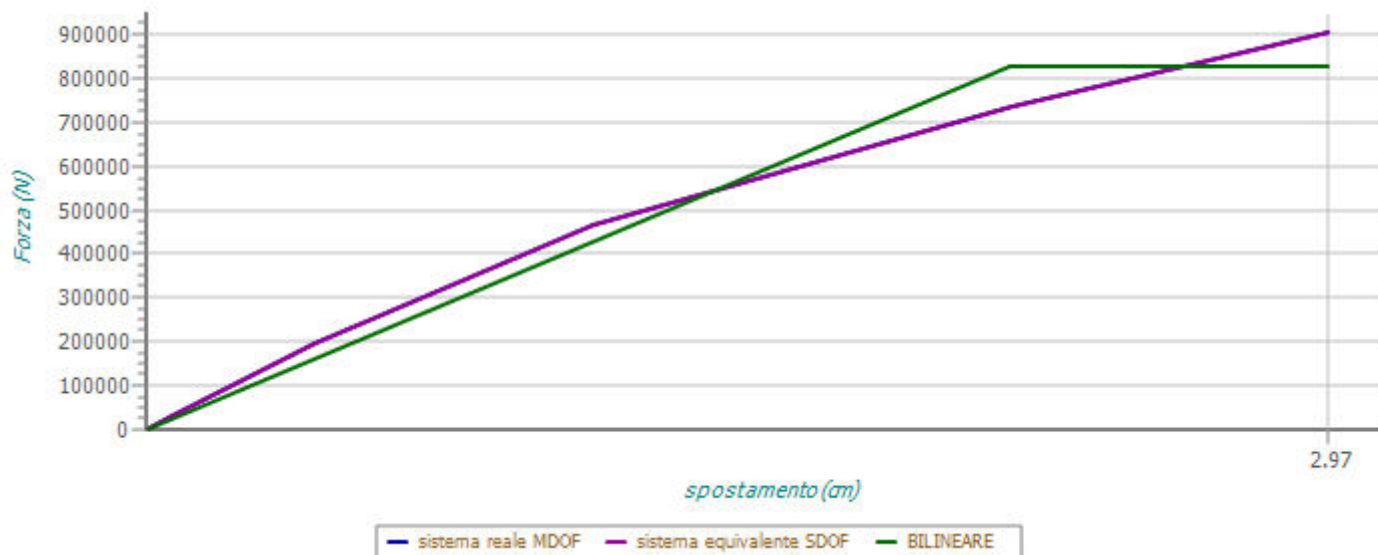
Direzione sisma in -Y, Ecc-X - Proporzionale alle masse

1,000	3	458 413	SLV	379 706	825 485	2,174	15 575	0,690	0,131	4,059	0,00	1,91	37,40	40,32	10,70
			SLD	379 706	825 485	2,174	15 575	0,690	0,184						

Punti della curva di capacità (Forza / Spostamento).

Punto	Forza [N]	Spostamento [cm]	Punto	Forza [N]	Spostamento [cm]	Punto	Forza [N]	Spostamento [cm]
0	0	0,0000	1	33 504	0,0654	2	197 431	0,4251
3	465 463	1,1266	4	733 495	2,1767	5	904 608	2,9738

Curva di CAPACITA'



CAPACITA' DI SPOSTAMENTO DELL'EDIFICIO ALLO SLV (cm): 2,974

CAPACITA' DI SPOSTAMENTO DELL'EDIFICIO ALLO SLD (cm): 2,974

Domanda spostamento allo SLV (cm): 4,154

Domanda spostamento allo SLD (cm): 0,765

Verifica allo SLV: Non Verificata

Verifica allo SLD: Verificata

Legenda dei valori assunti dal parametro KStop

Valore	Descrizione
1	Raggiunto spostamento assegnato del punto di controllo
2	Raggiunta ampiezza minima del substep
3	Raggiunto massimo numero di tentativi di soluzione del substep
4	Raggiunto massimo numero di iterazioni cumulative
5	Raggiunta condizione di instabilità nella struttura
6	Richiesta di interruzione attraverso il file .ABT
7	Raggiunto valore limite assegnato del Parametro di Rigidezza
8	Raggiunto valore limite di Lambda dopo il superamento di LambdaMax
9	Raggiunta iterazione prossima alla condizione di singolarità o instabilità

LEGENDA:

Curva di capacità													Pnt Cntr		
Γ	K_{Stop}	M_{Eq}	SLV		$(d, F)_{S_{nv}, B_{lt}}$		A_{SDOF}	T	PGA	PGA_{SLD} piani	α_u/α_1	q^*	X	Y	Z
			SLD	K_{sec}	F	δ									
		$[N \cdot s^2/m]$		$[N/cm]$	$[N]$	$[cm]$	$[N \cdot m]$	$[s]$					$[m]$	$[m]$	$[m]$
Γ	Coefficiente di partecipazione.														
K_{Stop}	Codice di conclusione dell'analisi.														
M_{Eq}	Massa del sistema SDOF.														
K_{sec}	Rigidità secante allo snervamento del sistema SDOF.														
$(d, F)_{S_{nv}, B_{lt}}$	Valori allo snervamento, di forze e spostamento, della bilatera equivalente.														
A_{SDOF}	Area sottesa alla curva di capacità del sistema equivalente SDOF.														
T	Periodo del sistema SDOF.														
PGA	Accelerazione di picco al suolo: [SLV] = Stato limite salvaguardia della vita; [SLD] = Stato limite di danno (relativo al massimo valore della forza); $[SLD_{piani}]$ = Stato limite di danno (relativo al superamento dello spostamento differenziale ammissibile fra due piani consecutivi).														
α_u/α_1	Rapporto α_u/α_1														
q^*	Rapporto tra la forza di risposta elastica e la forza di snervamento del sistema equivalente (SDOF).														

LIVELLI O PIANI

Livelli o piani														
Id _{LV}	Descrizione	Z _{LV}	H _{LV}	Q _{ex,lv}	PR	Rd _{Temp}	Massa del piano			Dir	G _{st}	G _{SLU}	G _{SLD}	R _{SLU}
		$[m]$	$[m]$	$[m]$			M _{L,Str} $[N \cdot s^2/m]$	M _{L,SLU} $[N \cdot s^2/m]$	M _{L,SLD} $[N \cdot s^2/m]$		$[m]$	$[m]$	$[m]$	$[m]$
01	Solai a quota +1070	7,10	3,60	10,70	SI	NO	181 362	159 626	159 626	X	30,91	30,94	30,94	29,96
02	Solai a quota +710	3,10	4,00	7,10	SI	NO	336 744	298 787	298 787	Y	33,33	33,34	33,34	33,28
										Y	31,21	31,18	31,18	31,11
03	Solai a quota +310	0,00	3,10	3,10	NO	NO	132 093	127 233	127 233	X	33,05	33,03	33,03	33,14
										Y	31,77	31,71	31,71	31,71
04	Fondazione	0,00		0,00	NO	NO	3 432	3 432	3 432	Y	36,92	36,69	36,69	36,69
										X	33,41	33,41	33,41	-
										Y	42,81	42,81	42,81	-

LEGENDA:

Id _{LV}	Numero identificativo del livello o piano.
Z _{LV}	Quota di calpestio del livello o piano, relativa al sistema di riferimento globale X, Y, Z.
H _{LV}	Altezza del livello o piano.
Q _{ex,lv}	Quota dell'estradosso dell'impalcato del livello o piano.
PR	Indica se l'impalcato (orizzontale) è considerato rigido nel calcolo: [SI] = Piano Rigido - [NO] = Piano non Rigido.
Rd _{Temp}	In alternativa vedere tabella "Solai e Balconi" in quanto il comportamento rigido potrebbe essere stato assegnato ai singoli solai del livello.
	Per i piani con riduzione dei tamponamenti, sono state incrementate le azioni di calcolo per gli elementi verticali (pilastri e pareti) di un fattore 1,4: [SI] = Piano con riduzione dei tamponamenti - [NO] = Piano senza riduzione dei tamponamenti.
M _{L,Str}	Massa del piano valutata in condizioni statiche.
M _{L,SLU}	Massa del piano valutata allo SLU.
M _{L,SLD}	Massa del piano valutata allo SLD.
G _{st}	Coordinate del baricentro delle masse, valutate in condizioni statiche.
G _{SLU}	Coordinate del baricentro delle masse, valutate per SLU.
G _{SLD}	Coordinate del baricentro delle masse, valutate per SLD.
R _{SLU}	Coordinate del baricentro delle rigidezze, valutate per SLU.

NODI

Nodi								
Id _{Nd}	Dir	X, Y, Z	Vincolo Esterno		Cedimenti Impressi			
		$[m]$	V. ex	R _s $[N/cm]$	R _r $[N \cdot m/rad]$	S $[cm]$	Θ $[rad]$	Clc Fnd
00001	X	29,47	Incastro	infinita	infinita	-	-	NO
	Y	45,30		infinita	infinita	-	-	
	Z	0,00		infinita	infinita	-	-	
00002	X	29,47	Incastro	infinita	infinita	-	-	NO
	Y	45,30		infinita	infinita	-	-	
	Z	3,10		infinita	infinita	-	-	
00003	X	37,33	Incastro	infinita	infinita	-	-	NO
	Y	45,30		infinita	infinita	-	-	
	Z	0,00		infinita	infinita	-	-	
00004	X	37,33	Incastro	infinita	infinita	-	-	NO
	Y	45,30		infinita	infinita	-	-	
	Z	3,10		infinita	infinita	-	-	
00005	X	33,40	Incastro	infinita	infinita	-	-	NO
	Y	40,37		infinita	infinita	-	-	
	Z	0,00		infinita	infinita	-	-	
00006	X	33,40	Incastro	infinita	infinita	-	-	NO
	Y	40,37		infinita	infinita	-	-	
	Z	3,10		infinita	infinita	-	-	
00007	X	29,40	Incastro	infinita	infinita	-	-	NO
	Y	40,27		infinita	infinita	-	-	
	Z	0,00		infinita	infinita	-	-	
00008	X	29,40	Incastro	infinita	infinita	-	-	NO
	Y	40,27		infinita	infinita	-	-	
	Z	3,10		infinita	infinita	-	-	
00009	X	37,40	Incastro	infinita	infinita	-	-	NO
	Y	40,27		infinita	infinita	-	-	
	Z	0,00		infinita	infinita	-	-	
00010	X	37,40	Incastro	infinita	infinita	-	-	NO
	Y	40,27		infinita	infinita	-	-	
	Z	3,10		infinita	infinita	-	-	

Id _{Nd}	Dir	X, Y, Z	Vincolo Esterno			Cedimenti Impressi		Clc Fnd
			V. ex	R _s	R _r	S	Θ	
		[m]		[N/cm]	[N-m/rad]	[cm]	[rad]	
00011	X	23,50	Incastro	infinita	infinita	-	-	NO
	Y	40,27		infinita	infinita	-	-	
	Z	3,10		infinita	infinita	-	-	
00012	X	23,50	nessuno	-	-	-	-	NO
	Y	40,27		-	-	-	-	
	Z	7,10		-	-	-	-	
00013	X	29,40	nessuno	-	-	-	-	NO
	Y	40,27		-	-	-	-	
	Z	7,10		-	-	-	-	
00014	X	33,40	nessuno	-	-	-	-	NO
	Y	40,37		-	-	-	-	
	Z	7,10		-	-	-	-	
00015	X	37,40	nessuno	-	-	-	-	NO
	Y	40,27		-	-	-	-	
	Z	7,10		-	-	-	-	
00016	X	23,50	Incastro	infinita	infinita	-	-	NO
	Y	34,37		infinita	infinita	-	-	
	Z	3,10		infinita	infinita	-	-	
00017	X	23,50	nessuno	-	-	-	-	NO
	Y	34,37		-	-	-	-	
	Z	7,10		-	-	-	-	
00018	X	23,50	Incastro	infinita	infinita	-	-	NO
	Y	30,47		infinita	infinita	-	-	
	Z	3,10		infinita	infinita	-	-	
00019	X	23,50	nessuno	-	-	-	-	NO
	Y	30,47		-	-	-	-	
	Z	7,10		-	-	-	-	
00020	X	23,50	Incastro	infinita	infinita	-	-	NO
	Y	26,07		infinita	infinita	-	-	
	Z	3,10		infinita	infinita	-	-	
00021	X	23,50	nessuno	-	-	-	-	NO
	Y	26,07		-	-	-	-	
	Z	7,10		-	-	-	-	
00022	X	29,40	Incastro	infinita	infinita	-	-	NO
	Y	26,07		infinita	infinita	-	-	
	Z	3,10		infinita	infinita	-	-	
00023	X	29,40	nessuno	-	-	-	-	NO
	Y	26,07		-	-	-	-	
	Z	7,10		-	-	-	-	
00024	X	33,40	Incastro	infinita	infinita	-	-	NO
	Y	25,97		infinita	infinita	-	-	
	Z	3,10		infinita	infinita	-	-	
00025	X	33,40	nessuno	-	-	-	-	NO
	Y	25,97		-	-	-	-	
	Z	7,10		-	-	-	-	
00026	X	37,40	Incastro	infinita	infinita	-	-	NO
	Y	26,07		infinita	infinita	-	-	
	Z	3,10		infinita	infinita	-	-	
00027	X	37,40	nessuno	-	-	-	-	NO
	Y	26,07		-	-	-	-	
	Z	7,10		-	-	-	-	
00028	X	37,40	Incastro	infinita	infinita	-	-	NO
	Y	30,47		infinita	infinita	-	-	
	Z	3,10		infinita	infinita	-	-	
00029	X	37,40	nessuno	-	-	-	-	NO
	Y	30,47		-	-	-	-	
	Z	7,10		-	-	-	-	
00030	X	29,40	Incastro	infinita	infinita	-	-	NO
	Y	30,47		infinita	infinita	-	-	
	Z	3,10		infinita	infinita	-	-	
00031	X	29,40	nessuno	-	-	-	-	NO
	Y	30,47		-	-	-	-	
	Z	7,10		-	-	-	-	
00032	X	37,40	Incastro	infinita	infinita	-	-	NO
	Y	35,87		infinita	infinita	-	-	
	Z	3,10		infinita	infinita	-	-	
00033	X	37,40	nessuno	-	-	-	-	NO
	Y	35,87		-	-	-	-	
	Z	7,10		-	-	-	-	
00034	X	29,40	Incastro	infinita	infinita	-	-	NO
	Y	35,87		infinita	infinita	-	-	
	Z	3,10		infinita	infinita	-	-	
00035	X	29,40	nessuno	-	-	-	-	NO
	Y	35,87		-	-	-	-	
	Z	7,10		-	-	-	-	
00036	X	37,33	nessuno	-	-	-	-	NO
	Y	45,30		-	-	-	-	
	Z	7,10		-	-	-	-	
00037	X	29,47	nessuno	-	-	-	-	NO
	Y	45,30		-	-	-	-	
	Z	7,10		-	-	-	-	

Nodi

Id _{Nd}	Dir	X, Y, Z	Vincolo Esterno			Cedimenti Impressi		Clc Fnd
			V. ex	R _s	R _r	S	Θ	
		[m]		[N/cm]	[N-m/rad]	[cm]	[rad]	
00038	X	29,47	Incastro	infinita	infinita	-	-	NO
	Y	21,04		infinita	infinita	-	-	
	Z	3,10		infinita	infinita	-	-	
00039	X	29,47	nessuno	-	-	-	-	NO
	Y	21,04		-	-	-	-	
	Z	7,10		-	-	-	-	
00040	X	37,33	Incastro	infinita	infinita	-	-	NO
	Y	21,04		infinita	infinita	-	-	
	Z	3,10		infinita	infinita	-	-	
00041	X	37,33	nessuno	-	-	-	-	NO
	Y	21,04		-	-	-	-	
	Z	7,10		-	-	-	-	
00042	X	29,40	nessuno	-	-	-	-	NO
	Y	26,02		-	-	-	-	
	Z	10,70		-	-	-	-	
00043	X	37,40	nessuno	-	-	-	-	NO
	Y	40,32		-	-	-	-	
	Z	10,70		-	-	-	-	
00044	X	29,40	nessuno	-	-	-	-	NO
	Y	40,32		-	-	-	-	
	Z	10,70		-	-	-	-	
00045	X	23,50	nessuno	-	-	-	-	NO
	Y	40,27		-	-	-	-	
	Z	10,70		-	-	-	-	
00046	X	37,40	nessuno	-	-	-	-	NO
	Y	26,02		-	-	-	-	
	Z	10,70		-	-	-	-	
00047	X	23,50	nessuno	-	-	-	-	NO
	Y	26,02		-	-	-	-	
	Z	10,70		-	-	-	-	
00048	X	23,50	nessuno	-	-	-	-	NO
	Y	34,37		-	-	-	-	
	Z	10,70		-	-	-	-	
00049	X	33,40	nessuno	-	-	-	-	NO
	Y	25,97		-	-	-	-	
	Z	10,70		-	-	-	-	
00050	X	23,50	nessuno	-	-	-	-	NO
	Y	30,47		-	-	-	-	
	Z	10,70		-	-	-	-	
00051	X	29,40	nessuno	-	-	-	-	NO
	Y	30,47		-	-	-	-	
	Z	10,70		-	-	-	-	
00052	X	37,40	nessuno	-	-	-	-	NO
	Y	30,47		-	-	-	-	
	Z	10,70		-	-	-	-	
00053	X	29,40	nessuno	-	-	-	-	NO
	Y	35,87		-	-	-	-	
	Z	10,70		-	-	-	-	
00054	X	37,40	nessuno	-	-	-	-	NO
	Y	35,87		-	-	-	-	
	Z	10,70		-	-	-	-	
00055	X	33,40	nessuno	-	-	-	-	NO
	Y	40,37		-	-	-	-	
	Z	10,70		-	-	-	-	

LEGENDA:

Id_{Nd} Identificativo del nodo.**X, Y, Z** Coordinate del nodo rispetto al riferimento globale X, Y, Z.**V. ex** Descrizione del tipo di vincolo esterno presente sul nodo.**R_s, R_r** Valori di rigidezza del vincolo riferiti agli assi globali: R_s indica i valori di rigidezza alla traslazione lungo gli assi X, Y e Z, mentre R_r indica i valori di rigidezza alla rotazione intorno agli assi X, Y, e Z.**S, Θ** Valori di spostamenti/rotazioni del nodo riferiti agli assi globali: S indica i valori di spostamento lungo gli assi X, Y, e Z, mentre Θ indica i valori di rotazione intorno agli assi X, Y, e Z.**Clc Fnd** [Si] = elemento progettato attraverso una modalità di rispetto della Gerarchia delle Resistenze per le Fondazioni. [No] = elemento progettato con le sollecitazioni ottenute dall'analisi (senza nessuna modalità di rispetto della Gerarchia delle Resistenze per le Fondazioni).

TRAVI IN ELEVAZIONE

Travi in elevazione

Id _{Tr}	L _{Li}	Sezione			V. Int.		Stz	Note	M _t r _l	AA /C IS	Nd i	Nd f	Dis _j	Q _{LLi}		Clc Fnd	Pr/ Sc
		Id _{Sz}	Tp	Label	R _{tz}	Iniz.	Fin.							Iniz.	Fin.		
	[m]				[°ssdc]								[m]	[m]	[m]		
Solai a quota +1070					Travata: Trave 3-4-5-6												
Trave 3-4	5,60	001	!	30x50	0,00	S;S;S;S;S	S;S;S;S;S	F		00 1	PC A	00 47	00 42	5,90	10,4 5	10,4 5	NO -
Trave 4-5	3,70	003	!	30x40	0,00	S;S;S;S;S	S;S;S;S;S	F		00 1	PC A	00 42	00 49	4,00	10,5 0	10,5 0	NO -
Trave 5-6	3,70	003	!	30x40	0,00	S;S;S;S;S	S;S;S;S;S	F		00 1	PC A	00 49	00 46	4,00	10,5 0	10,5 0	NO -
Solai a quota +1070					Travata: Trave 13-14-15-16												
Trave 13-14	5,60	001	!	30x50	0,00	S;S;S;S;S	S;S;S;S;S	F		00	PC	00	00	5,90	10,4	10,4	NO -

Travi in elevazione																		
Id _{Tr}	L _{Li}	Sezione			V. Int.			Stz	Note	Mt r _l	AA /C IS	Nd i	Nd f	Dis. j	Q _{LLI}		Clc Fnd	Pr/ Sc
		Id _{Sz}	Tp	Label	Rtz	Iniz.	Fin.								Iniz .	Fin.		
	[m]				[°ssdc]									[m]	[m]	[m]		
Trave 14-15	3,70	003	!	30x40	0,00	S;S;S;S;S;S	S;S;S;S;S;S	F		1 00 1	A PC A	45 00 44	44 00 55	4,00	5 10,5 0	5 10,5 0	NO	-
Trave 15-16	3,70	003	!	30x40	0,00	S;S;S;S;S;S	S;S;S;S;S;S	F		00 1	PC A	00 55	00 43	4,00	10,5 0	10,5 0	NO	-
Solai a quota +1070					Travata: Trave 3-7-10-13													
Trave 3-7	4,10	001	!	30x50	0,00	S;S;S;S;S;S	S;S;S;S;S;S	F		00 1	PC A	00 47	00 50	4,45	10,4 5	10,4 5	NO	-
Trave 7-10	3,55	001	!	30x50	0,00	S;S;S;S;S;S	S;S;S;S;S;S	F		00 1	PC A	00 50	00 48	3,90	10,4 5	10,4 5	NO	-
Trave 10-13	5,45	001	!	30x50	0,00	S;S;S;S;S;S	S;S;S;S;S;S	F		00 1	PC A	00 48	00 45	5,90	10,4 5	10,4 5	NO	-
Solai a quota +1070					Travata: Trave 4-8-11-14													
Trave 4-8	4,05	002	!	30x60	0,00	S;S;S;S;S;S	S;S;S;S;S;S	F		00 1	PC A	00 42	00 51	4,45	10,4 0	10,4 0	NO	-
Trave 8-11	5,00	002	!	30x60	0,00	S;S;S;S;S;S	S;S;S;S;S;S	F		00 1	PC A	00 51	00 53	5,40	10,4 0	10,4 0	NO	-
Trave 11-14	4,05	002	!	30x60	0,00	S;S;S;S;S;S	S;S;S;S;S;S	F		00 1	PC A	00 53	00 44	4,45	10,4 0	10,4 0	NO	-
Solai a quota +1070					Travata: Trave 6-9-12-16													
Trave 6-9	4,10	001	!	30x50	0,00	S;S;S;S;S;S	S;S;S;S;S;S	F		00 1	PC A	00 46	00 52	4,45	10,4 5	10,4 5	NO	-
Trave 9-12	5,10	001	!	30x50	0,00	S;S;S;S;S;S	S;S;S;S;S;S	F		00 1	PC A	00 52	00 54	5,40	10,4 5	10,4 5	NO	-
Trave 12-16	4,10	001	!	30x50	0,00	S;S;S;S;S;S	S;S;S;S;S;S	F		00 1	PC A	00 54	00 43	4,45	10,4 5	10,4 5	NO	-
Solai a quota +710					Travata: Trave 1-2													
Trave 1-2	7,30	002	!	30x60	0,00	S;S;S;S;S;S	S;S;S;S;S;S	F		00 1	PC A	00 39	00 41	7,86	6,80	6,80	NO	-
Solai a quota +710					Travata: Trave 3-4-5-6													
Trave 3-4	5,60	001	!	30x50	0,00	S;S;S;S;S;S	S;S;S;S;S;S	F		00 1	PC A	00 21	00 23	5,90	6,85	6,85	NO	-
Trave 4-5	3,65	003	!	30x40	0,00	S;S;S;S;S;S	S;S;S;S;S;S	F		00 1	PC A	00 23	00 25	4,00	6,90	6,90	NO	-
Trave 5-6	3,65	003	!	30x40	0,00	S;S;S;S;S;S	S;S;S;S;S;S	F		00 1	PC A	00 25	00 27	4,00	6,90	6,90	NO	-
Solai a quota +710					Travata: Trave 13-14-15-16													
Trave 13-14	5,60	001	!	30x50	0,00	S;S;S;S;S;S	S;S;S;S;S;S	F		00 1	PC A	00 12	00 13	5,90	6,85	6,85	NO	-
Trave 14-15	3,65	003	!	30x40	0,00	S;S;S;S;S;S	S;S;S;S;S;S	F		00 1	PC A	00 13	00 14	4,00	6,90	6,90	NO	-
Trave 15-16	3,65	003	!	30x40	0,00	S;S;S;S;S;S	S;S;S;S;S;S	F		00 1	PC A	00 14	00 15	4,00	6,90	6,90	NO	-
Solai a quota +710					Travata: Trave 17-18													
Trave 17-18	7,30	002	!	30x60	0,00	S;S;S;S;S;S	S;S;S;S;S;S	F		00 1	PC A	00 37	00 36	7,86	6,80	6,80	NO	-
Solai a quota +710					Travata: Trave 1-4-8-11-14-17													
Trave 1-4	4,50	002	!	30x60	0,00	S;S;S;S;S;S	S;S;S;S;S;S	F		00 1	PC A	00 39	00 23	5,03	6,80	6,80	NO	-
Trave 4-8	3,90	002	!	30x60	0,00	S;S;S;S;S;S	S;S;S;S;S;S	F		00 1	PC A	00 23	00 31	4,40	6,80	6,80	NO	-
Trave 8-11	4,85	002	!	30x60	0,00	S;S;S;S;S;S	S;S;S;S;S;S	F		00 1	PC A	00 31	00 35	5,40	6,80	6,80	NO	-
Trave 11-14	3,85	002	!	30x60	0,00	S;S;S;S;S;S	S;S;S;S;S;S	F		00 1	PC A	00 35	00 13	4,40	6,80	6,80	NO	-
Trave 14-17	4,50	002	!	30x60	0,00	S;S;S;S;S;S	S;S;S;S;S;S	F		00 1	PC A	00 13	00 37	5,03	6,80	6,80	NO	-
Solai a quota +710					Travata: Trave 2-6-9-12-16-18													
Trave 2-6	4,50	002	!	30x60	0,00	S;S;S;S;S;S	S;S;S;S;S;S	F		00 1	PC A	00 41	00 27	5,03	6,80	6,80	NO	-
Trave 6-9	3,95	001	!	30x50	0,00	S;S;S;S;S;S	S;S;S;S;S;S	F		00 1	PC A	00 27	00 29	4,40	6,85	6,85	NO	-
Trave 9-12	5,00	001	!	30x50	0,00	S;S;S;S;S;S	S;S;S;S;S;S	F		00 1	PC A	00 29	00 33	5,40	6,85	6,85	NO	-
Trave 12-16	3,95	001	!	30x50	0,00	S;S;S;S;S;S	S;S;S;S;S;S	F		00 1	PC A	00 33	00 15	4,40	6,85	6,85	NO	-
Trave 16-18	4,50	002	!	30x60	0,00	S;S;S;S;S;S	S;S;S;S;S;S	F		00 1	PC A	00 15	00 36	5,03	6,80	6,80	NO	-
Solai a quota +710					Travata: Trave 3-7-10-13													
Trave 3-7	3,95	001	!	30x50	0,00	S;S;S;S;S;S	S;S;S;S;S;S	F		00 1	PC A	00 21	00 19	4,40	6,85	6,85	NO	-
Trave 7-10	3,50	001	!	30x50	0,00	S;S;S;S;S;S	S;S;S;S;S;S	F		00 1	PC A	00 19	00 17	3,90	6,85	6,85	NO	-
Trave 10-13	5,45	001	!	30x50	0,00	S;S;S;S;S;S	S;S;S;S;S;S	F		00 1	PC A	00 17	00 12	5,90	6,85	6,85	NO	-
Solai a quota +310					Travata: Trave 14-15-16													
Trave 14-15	3,65	003	!	30x40	0,00	S;S;S;S;S;S	S;S;S;S;S;S	F		00 1	PC A	00 08	00 06	4,00	2,90	2,90	NO	-
Trave 15-16	3,65	003	!	30x40	0,00	S;S;S;S;S;S	S;S;S;S;S;S	F		00 1	PC A	00 06	00 10	4,00	2,90	2,90	NO	-
Solai a quota +310					Travata: Trave 17-18													
Trave 17-18	7,30	002	!	30x60	0,00	S;S;S;S;S;S	S;S;S;S;S;S	F		00	PC	00	00	7,86	2,80	2,80	NO	-

Travi in elevazione																		
Id _{Tr}	L _{LI}	Sezione			V. Int.			Stz	Note	M _{tr}	AA / C IS	Nd i	Nd f	Dis _{i-j}	Q _{LLI}		Clc Fnd	Pr/ Sc
		Id _{Sz}	Tp	Label	Rtz	Iniz.	Fin.								Iniz.	Fin.		
	[m]				[°ssdc]					1	A	02	04	[m]	[m]	[m]		
Solai a quota +310					Travata: Trave 14-17													
Trave 14-17	4,50	002	!	30x60	0,00	S;S;S;S;S	S;S;S;S;S	F		00 1	PC A	00 08	00 02	5,03	2,80	2,80	NO	-
Solai a quota +310					Travata: Trave 16-18													
Trave 16-18	4,50	002	!	30x60	0,00	S;S;S;S;S	S;S;S;S;S	F		00 1	PC A	00 10	00 04	5,03	2,80	2,80	NO	-

LEGENDA:

- Id_{Tr}**

Identificativo della trave. L'eventuale lettera tra parentesi distingue i diversi tratti della travata al livello considerato.
- L_{LI}**

Lunghezza libera d'Inflessione.
- Id_{Sz}**

Identificativo della sezione, nella relativa tabella.
- Tp**

Tipo di sezione.
- Label**

Identificativo della sezione, come indicato nelle carpenterie.
- Rtz**

Angolo di rotazione della sezione.
- V. Int.**

Identificativo delle condizioni di vincolo agli estremi inferiore e superiore del pilastro, costituito da sei caratteri. I primi tre, sono relativi alla traslazione rispettivamente lungo gli assi 1, 2 e 3, mentre i secondi tre sono relativi rispettivamente alla rotazione intorno agli assi 1, 2 e 3 (Assi 1, 2, 3: riferimento locale). Il carattere " S " o " N " indica se il vincolo allo spostamento/rotazione è presente o assente.
- Stz**

Tipo di situazione: [F] = di Fatto (Esistente); [P] = di Progetto (Nuovo).
- Note**

Nota relativa alla verifica di deformabilità delle travi in acciaio e in legno.
Se presente "elemento a sbalzo" = la freccia viene valutata nell'ipotesi di trave a mensola; altrimenti la freccia viene valutata nell'ipotesi di trave appoggiata-appoggiata.
- M_{tr}**

Identificativo del materiale.
- AA/CIS**

Identificativo dell'aggressività dell'ambiente o della classe di servizio:
Aggressività dell'ambiente: [PCA] = "Ordinario"; [MDA] = "Aggressivo"; [MLA] = "Molto aggressivo";
Classe di servizio: [1] = Ambiente con umidità bassa - [2] = Ambiente con umidità media - [3] = Ambiente con umidità alta.
- Nd_i**

Identificativo del nodo iniziale, nella relativa tabella.
- Nd_f**

Identificativo del nodo finale, nella relativa tabella.
- Dis_{i-j}**

Distanza tra il nodo iniziale e finale.
- Q_{LLI}**

Quota agli estremi iniziale e finale del tratto di trave libero d'inflettersi (Lunghezza Libera d'Inflessione), valutata rispetto al livello (piano) di appartenenza.
- Clc Fnd**

[Si] = elemento progettato attraverso una modalità di rispetto della Gerarchia delle Resistenze per le Fondazioni. [No] = elemento progettato con le sollecitazioni ottenute dall'analisi (senza nessuna modalità di rispetto della Gerarchia delle Resistenze per le Fondazioni).
- Pr/Sc**

Indica se l'elemento strutturale è incluso nel modello per il calcolo delle azioni sismiche. [1] = non incluso; [-] = incluso.

PILASTRI

Pilastri																	
N _{id}	Lv	L _{LI}	Id _{Sz}	Tp	Sezione Label	Rtz	V. Int.		Mtrl	AA/CI S	Nod		Dis _{i-j}	Q _{LLI}		Clc Fnd	Pr/Sc
		[m]				[°ssdc]	Inf.	Sup.			Inf.	Sup.	[m]	[m]	[m]		
001	02	3,40	005)	L-50/30x50/30	0,00	S;S;S;S;S	S;S;S;S;S	001	PCA	0038	0039	4,00	3,10	6,50	NO	-
002	02	3,40	005)	L-50/30x50/30	90,00	S;S;S;S;S	S;S;S;S;S	001	PCA	0040	0041	4,00	3,10	6,50	NO	-
003	02	3,50	001	!	30x50	0,00	S;S;S;S;S	S;S;S;S;S	001	PCA	0020	0021	4,00	3,10	6,60	NO	-
003	01	3,10	003	!	30x40	0,00	S;S;S;S;S	S;S;S;S;S	001	PCA	0021	0047	3,60	7,10	10,20	NO	-
004	02	3,40	001	!	30x50	0,00	S;S;S;S;S	S;S;S;S;S	001	PCA	0022	0023	4,00	3,10	6,50	NO	-
004	01	3,00	003	!	30x40	0,00	S;S;S;S;S	S;S;S;S;S	001	PCA	0023	0042	3,60	7,10	10,10	NO	-
005	02	3,60	003	!	30x40	270,00	S;S;S;S;S	S;S;S;S;S	001	PCA	0024	0025	4,00	3,10	6,70	NO	-
005	01	3,20	004	!	30x30	270,00	S;S;S;S;S	S;S;S;S;S	001	PCA	0025	0049	3,60	7,10	10,30	NO	-
006	02	3,40	001	!	30x50	180,00	S;S;S;S;S	S;S;S;S;S	001	PCA	0026	0027	4,00	3,10	6,50	NO	-
006	01	3,10	003	!	30x40	180,00	S;S;S;S;S	S;S;S;S;S	001	PCA	0027	0046	3,60	7,10	10,20	NO	-
007	02	3,50	003	!	30x40	180,00	S;S;S;S;S	S;S;S;S;S	001	PCA	0018	0019	4,00	3,10	6,60	NO	-
007	01	3,10	004	!	30x30	180,00	S;S;S;S;S	S;S;S;S;S	001	PCA	0019	0050	3,60	7,10	10,20	NO	-
008	02	3,40	001	!	30x50	0,00	S;S;S;S;S	S;S;S;S;S	001	PCA	0030	0031	4,00	3,10	6,50	NO	-
008	01	3,00	003	!	30x40	0,00	S;S;S;S;S	S;S;S;S;S	001	PCA	0031	0051	3,60	7,10	10,10	NO	-
009	02	3,50	003	!	30x40	180,00	S;S;S;S;S	S;S;S;S;S	001	PCA	0028	0029	4,00	3,10	6,60	NO	-
009	01	3,10	004	!	30x30	180,00	S;S;S;S;S	S;S;S;S;S	001	PCA	0029	0052	3,60	7,10	10,20	NO	-
010	02	3,50	003	!	30x40	180,00	S;S;S;S;S	S;S;S;S;S	001	PCA	0016	0017	4,00	3,10	6,60	NO	-
010	01	3,10	003	!	30x40	180,00	S;S;S;S;S	S;S;S;S;S	001	PCA	0017	0048	3,60	7,10	10,20	NO	-
011	02	3,40	002	!	30x60	0,00	S;S;S;S;S	S;S;S;S;S	001	PCA	0034	0035	4,00	3,10	6,50	NO	-
011	01	3,00	003	!	30x40	0,00	S;S;S;S;S	S;S;S;S;S	001	PCA	0035	0053	3,60	7,10	10,10	NO	-
12 (a)	02	3,50	003	!	30x40	180,00	S;S;S;S;S	S;S;S;S;S	001	PCA	0032	0033	4,00	3,10	6,60	NO	-
012	01	3,10	004	!	30x30	180,00	S;S;S;S;S	S;S;S;S;S	001	PCA	0033	0054	3,60	7,10	10,20	NO	-
013	02	3,50	001	!	30x50	0,00	S;S;S;S;S	S;S;S;S;S	001	PCA	0011	0012	4,00	3,10	6,60	NO	-
013	01	3,10	001	!	30x50	0,00	S;S;S;S;S	S;S;S;S;S	001	PCA	0012	0045	3,60	7,10	10,20	NO	-
14 (a)	03	2,50	001	!	30x50	0,00	S;S;S;S;S	S;S;S;S;S	001	PCA	0007	0008	3,10	0,00	2,50	NO	-
14 (a)	02	3,40	001	!	30x50	0,00	S;S;S;S;S	S;S;S;S;S	001	PCA	0008	0013	4,00	3,10	6,50	NO	-
014	01	3,00	003	!	30x40	0,00	S;S;S;S;S	S;S;S;S;S	001	PCA	0013	0044	3,60	7,10	10,10	NO	-
015	03	2,70	003	!	30x40	270,	S;S;S;S;S	S;S;S;S;S	001	PCA	0005	0006	3,10	0,00	2,70	NO	-

N _{id}	Lv	L _{LI}	Id _{Sz}	Tp	Sezione Label	Rtz	V. Int.		Mtrl	AA/CI S	Nod		Dis _{i-j}	Q _{LLT}		Clc Fnd	Pr/Sc
							Inf.	Sup.			Inf.	Sup.		Inf.	Sup.		
		[m]				[°ssdc]							[m]	[m]	[m]		
015	02	3,60	003	!	30x40	00 270, 00	S;S;S;S;S;S	S;S;S;S;S;S	001	PCA	0006	0014	4,00	3,10	6,70	NO	-
015	01	3,20	004	!	30x30	270, 00	S;S;S;S;S;S	S;S;S;S;S;S	001	PCA	0014	0055	3,60	7,10	10,30	NO	-
016	03	2,50	001	!	30x50	180, 00	S;S;S;S;S;S	S;S;S;S;S;S	001	PCA	0009	0010	3,10	0,00	2,50	NO	-
016	02	3,40	001	!	30x50	180, 00	S;S;S;S;S;S	S;S;S;S;S;S	001	PCA	0010	0015	4,00	3,10	6,50	NO	-
016	01	3,10	003	!	30x40	180, 00	S;S;S;S;S;S	S;S;S;S;S;S	001	PCA	0015	0043	3,60	7,10	10,20	NO	-
017	03	2,50	005)	L-50/30x50/30	270, 00	S;S;S;S;S;S	S;S;S;S;S;S	001	PCA	0001	0002	3,10	0,00	2,50	NO	-
017	02	3,40	005)	L-50/30x50/30	270, 00	S;S;S;S;S;S	S;S;S;S;S;S	001	PCA	0002	0037	4,00	3,10	6,50	NO	-
018	03	2,50	005)	L-50/30x50/30	180, 00	S;S;S;S;S;S	S;S;S;S;S;S	001	PCA	0003	0004	3,10	0,00	2,50	NO	-
018	02	3,40	005)	L-50/30x50/30	180, 00	S;S;S;S;S;S	S;S;S;S;S;S	001	PCA	0004	0036	4,00	3,10	6,50	NO	-

LEGENDA:

N_{id}	Numero identificativo della pilastrata. L'eventuale lettera tra parentesi distingue i diversi tratti della pilastrata al livello considerato.
Lv	Identificativo del livello, nella relativa tabella.
L_{LI}	Lunghezza libera d'Inflessione.
Id_{Sz}	Identificativo della sezione, nella relativa tabella.
Tp	Tipo di sezione.
Label	Identificativo della sezione, come indicato nelle carpenterie.
Rtz	Angolo di rotazione della sezione.
V. Int.	Identificativo delle condizioni di vincolo agli estremi inferiore e superiore del pilastro, costituito da sei caratteri. I primi tre, sono relativi alla traslazione rispettivamente lungo gli assi 1, 2 e 3, mentre i secondi tre sono relativi rispettivamente alla rotazione intorno agli assi 1, 2 e 3 (Assi 1, 2, 3: riferimento locale). Il carattere "S" o "N" indica se il vincolo allo spostamento/rotazione è presente o assente.
Mtrl	Identificativo del materiale.
AA/CIS	Identificativo dell'aggressività dell'ambiente o della classe di servizio: Aggressività dell'ambiente: [PCA] = "Ordinario"; [MDA] = "Aggressivo"; [MLA] = "Molto aggressivo"; Classe di servizio: [1] = Ambiente con umidità bassa - [2] = Ambiente con umidità media - [3] = Ambiente con umidità alta.
Nod	Identificativo del nodo nella relativa tabella.
Dis_{i-j}	Distanza tra il nodo iniziale e finale.
Q_{LLT}	Quota agli estremi inferiore e superiore del tratto di elemento libero d'inflettersi (Lunghezza Libera d'Inflessione), valutata rispetto al livello (piano) di appartenenza.
Clc Fnd	[SI] = elemento progettato attraverso una modalità di rispetto della Gerarchia delle Resistenze per le Fondazioni. [NO] = elemento progettato con le sollecitazioni ottenute dall'analisi (senza nessuna modalità di rispetto della Gerarchia delle Resistenze per le Fondazioni).
Pr/Sc	Indica se l'elemento strutturale è incluso nel modello per il calcolo delle azioni sismiche. [1] = non incluso; [-] = incluso.

SOLAI E BALCONI

Id _{EI} m	Vertici del solaio	A _{EI}	Sp	Tipologia	B _{tr}	TA	B _{pg}	Sp _{s,s} up	Sp _{s,i} nf	Rpt		PR	I
										N	b		
		[m ²]	[cm]		[cm]		[cm]	[cm]	[cm]		[cm]		
Solai a quota +1070													
001	14-11-8-4-5-6-9-12-16-15	108,57	35,00	Solaio latero cementizio gettato in opera	10	NO	40	4	-	0	0	NO	O
002	13-10-7-3-4-8-11-14	78,96	35,00	Solaio latero cementizio gettato in opera	10	NO	40	4	-	0	0	NO	O
Solai a quota +710													
003	4-1-2-6-5	36,19	30,00	Solaio latero cementizio gettato in opera	10	NO	40	4	-	0	0	NO	O
004	14-11-8-4-5-6-9-12-16-15	108,57	30,00	Solaio latero cementizio gettato in opera	10	NO	40	4	-	0	0	NO	O
005	13-10-7-3-4-8-11-14	78,96	26,00	Solaio latero cementizio gettato in opera	10	NO	40	4	-	0	0	NO	O
006	15-16-18-17-14	36,19	30,00	Solaio latero cementizio gettato in opera	10	NO	40	4	-	0	0	NO	O
Solai a quota +310													
007	15-16-18-17-14	36,19	30,00	Solaio latero cementizio gettato in opera	10	NO	40	4	-	0	0	SI	O
Fondazione													
Solai a quota +1070													
008	-	10,18	35,00	Balcone a soletta piena	-	NO	-			-	-	-	-
009	-	10,78	35,00	Balcone a soletta piena	-	NO	-			-	-	-	-
010	-	6,34	35,00	Balcone a soletta piena	-	NO	-			-	-	-	-
Solai a quota +710													
Solai a quota +310													
Fondazione													

LEGENDA:

Id_{EIm}	Identificativo dell'elemento strutturale.
A_{EI}	Superficie elemento.
Sp	Spessore dell'elemento.
B_{tr}	Larghezza dell'anima del travetto.
TA	[SI] = Solaio realizzato con travetti accoppiati.
B_{pg}	Larghezza della Pignatta.
Sp_{s,sup}	Spessore della soletta superiore.
Sp_{s,inf}	Spessore della soletta inferiore.
PR	Indica se l'impalcato (orizzontale) è considerato rigido nel calcolo: [SI] = Piano Rigido - [NO] = Piano non Rigido.
I	In alternativa vedere tabella "Solai e Balconi" in quanto il comportamento rigido potrebbe essere stato assegnato ai singoli solai del livello.
Rpt/n	[O]: Solaio orizzontale; [I]: Solaio inclinato. Numero di rompitratta.

Id _{El} m	Vertici del solaio	A _{El} [m ²]	Sp [cm]	Tipologia	B _{tr} [cm]	TA	B _{pg} [cm]	Sp _{s,s} up [cm]	Sp _{s,i} nf [cm]	Solai e Balconi			
										Rpt N	Rpt b [cm]	PR	I

Rpt/b Larghezza rompitratta.

CARICHI SUI NODI (PER CONDIZIONI DI CARICO NON SISMICHE)

Carichi sui nodi (per condizioni di carico non sismiche)

TC	C	CC	SR	F _x [N]	F _y [N]	F _z [N]	M _x [N-m]	M _y [N-m]	M _z [N-m]
Nodo 00002									
C	CR001	001	G	0	0	-2 618	0	0	0
C	CR002	002	G	0	0	-1 309	0	0	0
C	CR003	003	G	0	0	-2 310	0	0	0
Nodo 00004									
C	CR001	001	G	0	0	-2 618	0	0	0
C	CR002	002	G	0	0	-1 309	0	0	0
C	CR003	003	G	0	0	-2 310	0	0	0
Nodo 00008									
C	CR004	001	G	0	0	-21 070	0	0	0
C	CR004	002	G	0	0	-5 880	0	0	0
C	CR005	001	G	0	0	-6 300	0	0	0
Nodo 00010									
C	CR004	001	G	0	0	-14 862	0	0	0
C	CR004	002	G	0	0	-4 148	0	0	0
C	CR005	001	G	0	0	-4 444	0	0	0
Nodo 00011									
C	CR004	001	G	0	0	-20 506	0	0	0
C	CR004	002	G	0	0	-5 723	0	0	0
C	CR004	001	G	0	0	-21 070	0	0	0
C	CR004	002	G	0	0	-5 880	0	0	0
C	CR005	001	G	0	0	-6 131	0	0	0
C	CR005	001	G	0	0	-6 300	0	0	0
Nodo 00012									
C	CR006	001	G	0	0	-1 680	0	0	0
C	CR007	002	G	0	0	-952	0	0	0
C	CR008	003	G	0	0	-1 680	0	0	0
Nodo 00013									
C	CR006	001	G	0	0	-1 680	0	0	0
C	CR007	002	G	0	0	-952	0	0	0
C	CR008	003	G	0	0	-1 680	0	0	0
C	CR001	001	G	0	0	-2 618	0	0	0
C	CR002	002	G	0	0	-1 309	0	0	0
C	CR003	003	G	0	0	-2 310	0	0	0
Nodo 00015									
C	CR001	001	G	0	0	-2 618	0	0	0
C	CR002	002	G	0	0	-1 309	0	0	0
C	CR003	003	G	0	0	-2 310	0	0	0
Nodo 00016									
C	CR004	001	G	0	0	-13 169	0	0	0
C	CR004	002	G	0	0	-3 675	0	0	0
C	CR004	001	G	0	0	-20 506	0	0	0
C	CR004	002	G	0	0	-5 723	0	0	0
C	CR005	001	G	0	0	-6 131	0	0	0
C	CR005	001	G	0	0	-3 938	0	0	0
Nodo 00017									
C	CR006	001	G	0	0	-1 680	0	0	0
C	CR007	002	G	0	0	-952	0	0	0
C	CR008	003	G	0	0	-1 680	0	0	0
C	CR006	001	G	0	0	-1 680	0	0	0
C	CR007	002	G	0	0	-952	0	0	0
C	CR008	003	G	0	0	-1 680	0	0	0
Nodo 00018									
C	CR004	001	G	0	0	-14 862	0	0	0
C	CR004	002	G	0	0	-4 148	0	0	0
C	CR004	001	G	0	0	-13 169	0	0	0
C	CR004	002	G	0	0	-3 675	0	0	0
C	CR005	001	G	0	0	-3 938	0	0	0
C	CR005	001	G	0	0	-4 444	0	0	0
Nodo 00019									
C	CR006	001	G	0	0	-1 680	0	0	0
C	CR007	002	G	0	0	-952	0	0	0
C	CR008	003	G	0	0	-1 680	0	0	0
C	CR006	001	G	0	0	-1 680	0	0	0
C	CR007	002	G	0	0	-952	0	0	0
C	CR008	003	G	0	0	-1 680	0	0	0
Nodo 00020									
C	CR004	001	G	0	0	-21 070	0	0	0
C	CR004	002	G	0	0	-5 880	0	0	0
C	CR004	001	G	0	0	-14 862	0	0	0
C	CR004	002	G	0	0	-4 148	0	0	0
C	CR005	001	G	0	0	-6 300	0	0	0
C	CR005	001	G	0	0	-4 444	0	0	0
Nodo 00021									

Carichi sui nodi (per condizioni di carico non sismiche)									
TC	C	CC	SR	F _x	F _y	F _z	M _x	M _y	M _z
				[N]	[N]	[N]	[N-m]	[N-m]	[N-m]
C	CR006	001	G	0	0	-1 680	0	0	0
C	CR007	002	G	0	0	-952	0	0	0
C	CR008	003	G	0	0	-1 680	0	0	0
Nodo 00022									
C	CR004	001	G	0	0	-21 070	0	0	0
C	CR004	002	G	0	0	-5 880	0	0	0
C	CR004	001	G	0	0	-14 126	0	0	0
C	CR004	002	G	0	0	-3 942	0	0	0
C	CR005	001	G	0	0	-5 062	0	0	0
C	CR005	001	G	0	0	-6 300	0	0	0
C	CR005	001	G	0	0	-4 106	0	0	0
Nodo 00023									
C	CR006	001	G	0	0	-1 680	0	0	0
C	CR007	002	G	0	0	-952	0	0	0
C	CR008	003	G	0	0	-1 680	0	0	0
C	CR001	001	G	0	0	-2 618	0	0	0
C	CR002	002	G	0	0	-1 309	0	0	0
C	CR003	003	G	0	0	-2 310	0	0	0
Nodo 00024									
C	CR004	001	G	0	0	-14 126	0	0	0
C	CR004	002	G	0	0	-3 942	0	0	0
C	CR004	001	G	0	0	-14 126	0	0	0
C	CR004	002	G	0	0	-3 942	0	0	0
C	CR005	001	G	0	0	-4 106	0	0	0
C	CR005	001	G	0	0	-4 106	0	0	0
Nodo 00026									
C	CR004	001	G	0	0	-14 126	0	0	0
C	CR004	002	G	0	0	-3 942	0	0	0
C	CR004	001	G	0	0	-14 862	0	0	0
C	CR004	002	G	0	0	-4 148	0	0	0
C	CR005	001	G	0	0	-4 444	0	0	0
C	CR005	001	G	0	0	-5 062	0	0	0
C	CR005	001	G	0	0	-4 106	0	0	0
Nodo 00027									
C	CR001	001	G	0	0	-2 618	0	0	0
C	CR002	002	G	0	0	-1 309	0	0	0
C	CR003	003	G	0	0	-2 310	0	0	0
Nodo 00028									
C	CR004	001	G	0	0	-14 862	0	0	0
C	CR004	002	G	0	0	-4 148	0	0	0
C	CR004	001	G	0	0	-18 813	0	0	0
C	CR004	002	G	0	0	-5 250	0	0	0
C	CR005	001	G	0	0	-4 444	0	0	0
C	CR005	001	G	0	0	-5 625	0	0	0
Nodo 00029									
C	CR001	001	G	0	0	-2 618	0	0	0
C	CR002	002	G	0	0	-1 309	0	0	0
C	CR003	003	G	0	0	-2 310	0	0	0
C	CR001	001	G	0	0	-2 618	0	0	0
C	CR002	002	G	0	0	-1 309	0	0	0
C	CR003	003	G	0	0	-2 310	0	0	0
Nodo 00031									
C	CR006	001	G	0	0	-2 100	0	0	0
C	CR007	002	G	0	0	-1 190	0	0	0
C	CR008	003	G	0	0	-2 100	0	0	0
C	CR006	001	G	0	0	-2 100	0	0	0
C	CR007	002	G	0	0	-1 190	0	0	0
C	CR008	003	G	0	0	-2 100	0	0	0
C	CR001	001	G	0	0	-3 272	0	0	0
C	CR002	002	G	0	0	-1 636	0	0	0
C	CR003	003	G	0	0	-2 888	0	0	0
C	CR001	001	G	0	0	-3 272	0	0	0
C	CR002	002	G	0	0	-1 636	0	0	0
C	CR003	003	G	0	0	-2 888	0	0	0
Nodo 00032									
C	CR004	001	G	0	0	-18 813	0	0	0
C	CR004	002	G	0	0	-5 250	0	0	0
C	CR004	001	G	0	0	-14 862	0	0	0
C	CR004	002	G	0	0	-4 148	0	0	0
C	CR005	001	G	0	0	-4 444	0	0	0
C	CR005	001	G	0	0	-5 625	0	0	0
Nodo 00033									
C	CR001	001	G	0	0	-2 618	0	0	0
C	CR002	002	G	0	0	-1 309	0	0	0
C	CR003	003	G	0	0	-2 310	0	0	0
C	CR001	001	G	0	0	-2 618	0	0	0
C	CR002	002	G	0	0	-1 309	0	0	0
C	CR003	003	G	0	0	-2 310	0	0	0
Nodo 00035									
C	CR006	001	G	0	0	-2 520	0	0	0
C	CR007	002	G	0	0	-1 428	0	0	0
C	CR008	003	G	0	0	-2 520	0	0	0
C	CR006	001	G	0	0	-2 520	0	0	0

Carichi sui nodi (per condizioni di carico non sismiche)									
TC	C	CC	SR	F _x	F _y	F _z	M _x	M _y	M _z
				[N]	[N]	[N]	[N-m]	[N-m]	[N-m]
C	CR007	002	G	0	0	-1 428	0	0	0
C	CR008	003	G	0	0	-2 520	0	0	0
C	CR001	001	G	0	0	-3 927	0	0	0
C	CR002	002	G	0	0	-1 964	0	0	0
C	CR003	003	G	0	0	-3 465	0	0	0
C	CR001	001	G	0	0	-3 927	0	0	0
C	CR002	002	G	0	0	-1 964	0	0	0
C	CR003	003	G	0	0	-3 465	0	0	0
Nodo 00036									
C	CR009	001	G	0	0	-2 618	0	0	0
C	CR010	002	G	0	0	-1 463	0	0	0
C	CR011	003	G	0	0	-2 310	0	0	0
C	CR012	006	G	0	0	-370	0	0	0
Nodo 00037									
C	CR009	001	G	0	0	-2 618	0	0	0
C	CR010	002	G	0	0	-1 463	0	0	0
C	CR011	003	G	0	0	-2 310	0	0	0
C	CR012	006	G	0	0	-370	0	0	0
Nodo 00038									
C	CR005	001	G	0	0	-8 213	0	0	0
C	CR005	001	G	0	0	-5 062	0	0	0
Nodo 00039									
C	CR009	001	G	0	0	-2 618	0	0	0
C	CR010	002	G	0	0	-1 463	0	0	0
C	CR011	003	G	0	0	-2 310	0	0	0
C	CR012	006	G	0	0	-370	0	0	0
Nodo 00040									
C	CR005	001	G	0	0	-5 062	0	0	0
C	CR005	001	G	0	0	-8 213	0	0	0
Nodo 00041									
C	CR009	001	G	0	0	-2 618	0	0	0
C	CR010	002	G	0	0	-1 463	0	0	0
C	CR011	003	G	0	0	-2 310	0	0	0
C	CR012	006	G	0	0	-370	0	0	0
Nodo 00042									
C	CR013	001	G	0	0	-788	433	-59	0
C	CR014	002	G	0	0	-200	110	-15	0
C	CR015	004	G	0	0	-53	29	-4	0
C	CR016	006	G	0	0	-50	28	-4	0
C	CR013	001	G	0	0	-788	433	59	0
C	CR014	002	G	0	0	-200	110	15	0
C	CR015	004	G	0	0	-53	29	4	0
C	CR016	006	G	0	0	-50	28	4	0
C	CR017	001	G	0	0	-924	0	0	0
C	CR018	002	G	0	0	-532	0	0	0
C	CR019	005	G	0	0	-140	0	0	0
C	CR020	006	G	0	0	-134	0	0	0
C	CR017	001	G	0	0	-1 270	0	0	0
C	CR018	002	G	0	0	-732	0	0	0
C	CR019	005	G	0	0	-192	0	0	0
C	CR020	006	G	0	0	-185	0	0	0
Nodo 00043									
C	CR017	001	G	0	0	-1 270	0	0	0
C	CR018	002	G	0	0	-732	0	0	0
C	CR019	005	G	0	0	-192	0	0	0
C	CR020	006	G	0	0	-185	0	0	0
C	CR013	001	G	0	0	-1 575	-866	0	0
C	CR014	002	G	0	0	-399	-219	0	0
C	CR015	004	G	0	0	-105	-58	0	0
C	CR016	006	G	0	0	-101	-56	0	0
C	CR013	001	G	0	0	-788	0	0	0
C	CR014	002	G	0	0	-200	0	0	0
C	CR015	004	G	0	0	-53	0	0	0
C	CR016	006	G	0	0	-50	0	0	0
C	CR013	001	G	0	0	-1 312	0	0	0
C	CR014	002	G	0	0	-332	0	0	0
C	CR015	004	G	0	0	-87	0	0	0
C	CR016	006	G	0	0	-84	0	0	0
Nodo 00044									
C	CR017	001	G	0	0	-924	0	0	0
C	CR018	002	G	0	0	-532	0	0	0
C	CR019	005	G	0	0	-140	0	0	0
C	CR020	006	G	0	0	-134	0	0	0
C	CR017	001	G	0	0	-1 270	0	0	0
C	CR018	002	G	0	0	-732	0	0	0
C	CR019	005	G	0	0	-192	0	0	0
C	CR020	006	G	0	0	-185	0	0	0
C	CR013	001	G	0	0	-787	-433	-59	0
C	CR014	002	G	0	0	-199	-109	-15	0
C	CR015	004	G	0	0	-52	-29	-4	0
C	CR016	006	G	0	0	-50	-27	-4	0
C	CR013	001	G	0	0	-787	-433	59	0
C	CR014	002	G	0	0	-199	-109	15	0

Carichi sui nodi (per condizioni di carico non sismiche)									
TC	C	CC	SR	F _x	F _y	F _z	M _x	M _y	M _z
				[N]	[N]	[N]	[N-m]	[N-m]	[N-m]
C	CR015	004	G	0	0	-52	-29	4	0
C	CR016	006	G	0	0	-50	-27	4	0
Nodo 00045									
C	CR017	001	G	0	0	-1 848	0	0	0
C	CR018	002	G	0	0	-1 064	0	0	0
C	CR019	005	G	0	0	-280	0	0	0
C	CR020	006	G	0	0	-269	0	0	0
C	CR013	001	G	0	0	-787	-472	59	0
C	CR014	002	G	0	0	-199	-119	15	0
C	CR015	004	G	0	0	-52	-31	4	0
C	CR016	006	G	0	0	-50	-30	4	0
C	CR013	001	G	0	0	-788	-473	-59	0
C	CR014	002	G	0	0	-200	-120	-15	0
C	CR015	004	G	0	0	-53	-32	-4	0
C	CR016	006	G	0	0	-50	-30	-4	0
Nodo 00046									
C	CR013	001	G	0	0	-788	433	-59	0
C	CR014	002	G	0	0	-200	110	-15	0
C	CR015	004	G	0	0	-53	29	-4	0
C	CR016	006	G	0	0	-50	28	-4	0
C	CR013	001	G	0	0	-787	433	59	0
C	CR014	002	G	0	0	-199	109	15	0
C	CR015	004	G	0	0	-52	29	4	0
C	CR016	006	G	0	0	-50	28	4	0
C	CR017	001	G	0	0	-1 270	0	0	0
C	CR018	002	G	0	0	-732	0	0	0
C	CR019	005	G	0	0	-192	0	0	0
C	CR020	006	G	0	0	-185	0	0	0
C	CR013	001	G	0	0	-2 100	0	0	0
C	CR014	002	G	0	0	-532	0	0	0
C	CR015	004	G	0	0	-140	0	0	0
C	CR016	006	G	0	0	-134	0	0	0
Nodo 00047									
C	CR017	001	G	0	0	-924	0	0	0
C	CR018	002	G	0	0	-532	0	0	0
C	CR019	005	G	0	0	-140	0	0	0
C	CR020	006	G	0	0	-134	0	0	0
Nodo 00048									
C	CR017	001	G	0	0	-1 848	0	0	0
C	CR018	002	G	0	0	-1 064	0	0	0
C	CR019	005	G	0	0	-280	0	0	0
C	CR020	006	G	0	0	-269	0	0	0
C	CR017	001	G	0	0	-1 848	0	0	0
C	CR018	002	G	0	0	-1 064	0	0	0
C	CR019	005	G	0	0	-280	0	0	0
C	CR020	006	G	0	0	-269	0	0	0
Nodo 00049									
C	CR013	001	G	0	0	-788	394	59	0
C	CR014	002	G	0	0	-200	100	15	0
C	CR015	004	G	0	0	-53	27	4	0
C	CR016	006	G	0	0	-50	25	4	0
C	CR013	001	G	0	0	-788	394	-59	0
C	CR014	002	G	0	0	-200	100	-15	0
C	CR015	004	G	0	0	-53	27	-4	0
C	CR016	006	G	0	0	-50	25	-4	0
Nodo 00050									
C	CR017	001	G	0	0	-1 386	0	0	0
C	CR018	002	G	0	0	-798	0	0	0
C	CR019	005	G	0	0	-210	0	0	0
C	CR020	006	G	0	0	-202	0	0	0
C	CR017	001	G	0	0	-1 386	0	0	0
C	CR018	002	G	0	0	-798	0	0	0
C	CR019	005	G	0	0	-210	0	0	0
C	CR020	006	G	0	0	-202	0	0	0
Nodo 00051									
C	CR017	001	G	0	0	-1 848	0	0	0
C	CR018	002	G	0	0	-1 064	0	0	0
C	CR019	005	G	0	0	-280	0	0	0
C	CR020	006	G	0	0	-269	0	0	0
C	CR017	001	G	0	0	-1 848	0	0	0
C	CR018	002	G	0	0	-1 064	0	0	0
C	CR019	005	G	0	0	-280	0	0	0
C	CR020	006	G	0	0	-269	0	0	0
C	CR017	001	G	0	0	-2 541	0	0	0
C	CR018	002	G	0	0	-1 463	0	0	0
C	CR019	005	G	0	0	-385	0	0	0
C	CR020	006	G	0	0	-370	0	0	0
C	CR017	001	G	0	0	-2 541	0	0	0
C	CR018	002	G	0	0	-1 463	0	0	0
C	CR019	005	G	0	0	-385	0	0	0
C	CR020	006	G	0	0	-370	0	0	0
Nodo 00052									
C	CR017	001	G	0	0	-1 906	0	0	0

Carichi sui nodi (per condizioni di carico non sismiche)									
TC	C	CC	SR	F _x	F _y	F _z	M _x	M _y	M _z
				[N]	[N]	[N]	[N-m]	[N-m]	[N-m]
C	CR018	002	G	0	0	-1 097	0	0	0
C	CR019	005	G	0	0	-289	0	0	0
C	CR020	006	G	0	0	-277	0	0	0
C	CR017	001	G	0	0	-1 906	0	0	0
C	CR018	002	G	0	0	-1 097	0	0	0
C	CR019	005	G	0	0	-289	0	0	0
C	CR020	006	G	0	0	-277	0	0	0
C	CR013	001	G	0	0	-788	0	0	0
C	CR014	002	G	0	0	-200	0	0	0
C	CR015	004	G	0	0	-53	0	0	0
C	CR016	006	G	0	0	-50	0	0	0
C	CR013	001	G	0	0	-788	0	0	0
C	CR014	002	G	0	0	-200	0	0	0
C	CR015	004	G	0	0	-53	0	0	0
C	CR016	006	G	0	0	-50	0	0	0
Nodo 00053									
C	CR017	001	G	0	0	-1 848	0	0	0
C	CR018	002	G	0	0	-1 064	0	0	0
C	CR019	005	G	0	0	-280	0	0	0
C	CR020	006	G	0	0	-269	0	0	0
C	CR017	001	G	0	0	-1 848	0	0	0
C	CR018	002	G	0	0	-1 064	0	0	0
C	CR019	005	G	0	0	-280	0	0	0
C	CR020	006	G	0	0	-269	0	0	0
C	CR017	001	G	0	0	-2 541	0	0	0
C	CR018	002	G	0	0	-1 463	0	0	0
C	CR019	005	G	0	0	-385	0	0	0
C	CR020	006	G	0	0	-370	0	0	0
C	CR017	001	G	0	0	-2 541	0	0	0
C	CR018	002	G	0	0	-1 463	0	0	0
C	CR019	005	G	0	0	-385	0	0	0
C	CR020	006	G	0	0	-370	0	0	0
Nodo 00054									
C	CR017	001	G	0	0	-1 906	0	0	0
C	CR018	002	G	0	0	-1 097	0	0	0
C	CR019	005	G	0	0	-289	0	0	0
C	CR020	006	G	0	0	-277	0	0	0
C	CR017	001	G	0	0	-1 906	0	0	0
C	CR018	002	G	0	0	-1 097	0	0	0
C	CR019	005	G	0	0	-289	0	0	0
C	CR020	006	G	0	0	-277	0	0	0
C	CR013	001	G	0	0	-788	0	0	0
C	CR014	002	G	0	0	-200	0	0	0
C	CR015	004	G	0	0	-53	0	0	0
C	CR016	006	G	0	0	-50	0	0	0
C	CR013	001	G	0	0	-788	0	0	0
C	CR014	002	G	0	0	-200	0	0	0
C	CR015	004	G	0	0	-53	0	0	0
C	CR016	006	G	0	0	-50	0	0	0
Nodo 00055									
C	CR013	001	G	0	0	-787	-393	59	0
C	CR014	002	G	0	0	-199	-99	15	0
C	CR015	004	G	0	0	-52	-26	4	0
C	CR016	006	G	0	0	-50	-25	4	0
C	CR013	001	G	0	0	-787	-393	-59	0
C	CR014	002	G	0	0	-199	-99	-15	0
C	CR015	004	G	0	0	-52	-26	-4	0
C	CR016	006	G	0	0	-50	-25	-4	0

LEGENDA:

TC Descrizione del tipo di carico: [L] = Lineare - [C] = Concentrato - [S] = Superficiale - [T] = Termico.

C Descrizione del carico:

CR001= SOLAIO: Solaio esistente copert. PT (24+6) [SA Scuole] CR002= SOLAIO: Solaio esistente copert. PT (24+6) [SA Scuole] (sovraccarico permanente) CR003= SOLAIO: Solaio esistente copert. PT (24+6) [SA Scuole] (sovraccarico accidentale) CR004= TAMPONATURA: Tonnepagni esistenti spessore 30 cm CR005= PESO PROPRIO (cordolo) CR006= SOLAIO: Solaio esistente copert. PT (20+6) [SA Scuole] CR007= SOLAIO: Solaio esistente copert. PT (20+6) [SA Scuole] (sovraccarico permanente) CR008= SOLAIO: Solaio esistente copert. PT (20+6) [SA Scuole] (sovraccarico accidentale) CR009= SOLAIO: Solaio esistente copert. PT (24+6) [SA CA] CR010= SOLAIO: Solaio esistente copert. PT (24+6) [SA CA] (sovraccarico permanente) CR011= SOLAIO: Solaio esistente copert. PT (24+6) [SA CA] (sovraccarico accidentale) CR012= SOLAIO: Solaio esistente copert. PT (24+6) [SA CA] (carico neve) CR013= BALCONE: Pensiline copertura spessore 35 CR014= BALCONE: Pensiline copertura spessore 35 (sovraccarico permanente) CR015= BALCONE: Pensiline copertura spessore 35 (sovraccarico accidentale) CR016= BALCONE: Pensiline copertura spessore 35 (carico neve) CR017= SOLAIO: Solaio esistente copert. P1 (30+5) [SA CNA] CR018= SOLAIO: Solaio esistente copert. P1 (30+5) [SA CNA] (sovraccarico permanente) CR019= SOLAIO: Solaio esistente copert. P1 (30+5) [SA CNA] (sovraccarico accidentale) CR020= SOLAIO: Solaio esistente copert. P1 (30+5) [SA CNA] (carico neve)

CC Identificativo della tipologia di carico nella relativa tabella.

SR Identificativo del sistema di riferimento considerato: [G] = Sistema di riferimento Globale X, Y, Z - [L] = Sistema di riferimento Locale 1, 2, 3.

F_x, F_y, F_z Componenti del vettore Forza riferita agli assi del sistema di riferimento indicato nella colonna "S.R".

M_x, M_y Momenti relativi agli assi del sistema di riferimento.

M_z

CARICHI SUI NODI (PER ANALISI SISMICA NON LINEARE)

Carichi sui nodi (per analisi sismica non lineare)

Id _{Nd}	Distr	RC	Direzioni
------------------	-------	----	-----------

	X	Y		+X	-X	+Y	-Y	+X, Ecc+Y	+X, Ecc- Y	-X, Ecc+Y	-X, Ecc-Y	+Y, Ecc+X	+Y, Ecc- X	-Y, Ecc+X	-Y, Ecc-X
				[N]	[N]	[N]	[N]	[N]	[N]	[N]	[N]	[N]	[N]	[N]	[N]
00001			-	-	-	-	-	0	0	0	0	0	0	0	0
			-	-	-	-	-	0	0	0	0	0	0	0	0
00002			-	-	-	-	-	0	0	0	0	0	0	0	0
			-	-	-	-	-	0	0	0	0	0	0	0	0
00003			-	-	-	-	-	0	0	0	0	0	0	0	0
			-	-	-	-	-	0	0	0	0	0	0	0	0
00004			-	-	-	-	-	0	0	0	0	0	0	0	0
			-	-	-	-	-	0	0	0	0	0	0	0	0
00005			-	-	-	-	-	0	0	0	0	0	0	0	0
			-	-	-	-	-	0	0	0	0	0	0	0	0
00006			-	-	-	-	-	0	0	0	0	0	0	0	0
			-	-	-	-	-	0	0	0	0	0	0	0	0
00007			-	-	-	-	-	0	0	0	0	0	0	0	0
			-	-	-	-	-	0	0	0	0	0	0	0	0
00008			-	-	-	-	-	0	0	0	0	0	0	0	0
			-	-	-	-	-	0	0	0	0	0	0	0	0
00009			-	-	-	-	-	0	0	0	0	0	0	0	0
			-	-	-	-	-	0	0	0	0	0	0	0	0
00010			-	-	-	-	-	0	0	0	0	0	0	0	0
			-	-	-	-	-	0	0	0	0	0	0	0	0
00011			-	-	-	-	-	0	0	0	0	0	0	0	0
			-	-	-	-	-	0	0	0	0	0	0	0	0
00012			-	-	-	-	-	12812	8976	-12812	-8976	1962	3127	-1962	-3127
			-	-	-	-	-	30474	21348	-30474	-21348	20454	30776	-20454	-30776
00013			-	-	-	-	-	23542	16494	-23542	-16494	11061	11153	-11061	-11153
			-	-	-	-	-	55998	39228	-55998	-39228	44876	49260	-44876	-49260
00014			-	-	-	-	-	5306	3699	-5306	-3699	4125	3531	-4125	-3531
			-	-	-	-	-	12618	8795	-12618	-8795	11203	9965	-11203	-9965
00015			-	-	-	-	-	17894	12537	-17894	-12537	20846	15935	-20846	-15935
			-	-	-	-	-	42562	29816	-42562	-29816	41623	29925	-41623	-29925
00016			-	-	-	-	-	0	0	0	0	0	0	0	0
			-	-	-	-	-	0	0	0	0	0	0	0	0
00017			-	-	-	-	-	12840	12011	-12840	-12011	2257	3595	-2257	-3595
			-	-	-	-	-	30768	28826	-30768	-28826	23521	35391	-23521	-35391
00018			-	-	-	-	-	0	0	0	0	0	0	0	0
			-	-	-	-	-	0	0	0	0	0	0	0	0
00019			-	-	-	-	-	9790	11075	-9790	-11075	1905	3035	-1905	-3035
			-	-	-	-	-	23587	26720	-23587	-26720	19855	29875	-19855	-29875
00020			-	-	-	-	-	0	0	0	0	0	0	0	0
			-	-	-	-	-	0	0	0	0	0	0	0	0
00021			-	-	-	-	-	7285	10253	-7285	-10253	1611	2567	-1611	-2567
			-	-	-	-	-	17672	24875	-17672	-24875	16792	25267	-16792	-25267
00022			-	-	-	-	-	0	0	0	0	0	0	0	0
			-	-	-	-	-	0	0	0	0	0	0	0	0
00023			-	-	-	-	-	18741	26377	-18741	-26377	12714	12819	-12714	-12819
			-	-	-	-	-	45462	63991	-45462	-63991	51580	56619	-51580	-56619
00024			-	-	-	-	-	0	0	0	0	0	0	0	0
			-	-	-	-	-	0	0	0	0	0	0	0	0
00025			-	-	-	-	-	3655	5171	-3655	-5171	4125	3531	-4125	-3531
			-	-	-	-	-	8868	12545	-8868	-12545	11203	9965	-11203	-9965
00026			-	-	-	-	-	0	0	0	0	0	0	0	0
			-	-	-	-	-	0	0	0	0	0	0	0	0
00027			-	-	-	-	-	12393	17442	-12393	-17442	20846	15935	-20846	-15935
			-	-	-	-	-	30063	42316	-30063	-42316	41623	29925	-41623	-29925
00028			-	-	-	-	-	0	0	0	0	0	0	0	0
			-	-	-	-	-	0	0	0	0	0	0	0	0
00029			-	-	-	-	-	14500	16403	-14500	-16403	21459	16404	-21459	-16404
			-	-	-	-	-	34934	39574	-34934	-39574	42848	30806	-42848	-30806
00030			-	-	-	-	-	0	0	0	0	0	0	0	0
			-	-	-	-	-	0	0	0	0	0	0	0	0
00031			-	-	-	-	-	18814	21283	-18814	-21283	11230	11322	-11230	-11322
			-	-	-	-	-	45328	51348	-45328	-51348	45559	50009	-45559	-50009
00032			-	-	-	-	-	0	0	0	0	0	0	0	0
			-	-	-	-	-	0	0	0	0	0	0	0	0
00033			-	-	-	-	-	16653	14482	-16653	-14482	21459	16404	-21459	-16404
			-	-	-	-	-	39828	34680	-39828	-34680	42848	30806	-42848	-30806
00034			-	-	-	-	-	0	0	0	0	0	0	0	0
			-	-	-	-	-	0	0	0	0	0	0	0	0
00035			-	-	-	-	-	21719	18888	-21719	-18888	11288	11381	-11288	-11381
			-	-	-	-	-	51944	45231	-51944	-45231	45794	50267	-45794	-50267
00036			-	-	-	-	-	11019	5976	-11019	-5976	11487	8796	-11487	-8796
			-	-	-	-	-	26061	14082	-26061	-14082	23048	16635	-23048	-16635
00037			-	-	-	-	-	11019	5976	-11019	-5976	4711	4733	-4711	-4733
			-	-	-	-	-	26061	14082	-26061	-14082	18955	20728	-18955	-20728
00038			-	-	-	-	-	0	0	0	0	0	0	0	0
			-	-	-	-	-	0	0	0	0	0	0	0	0
00039			-	-	-	-	-	6485	11861	-6485	-11861	5260	5284	-5260	-5284
			-	-	-	-	-	15875	28945	-15875	-28945	21163	23143	-21163	-23143
00040			-	-	-	-	-	0	0	0	0	0	0	0	0
			-	-	-	-	-	0	0	0	0	0	0	0	0
00041			-	-	-	-	-	5808	10624	-5808	-10624	11487	8796	-11487	-8796
			-	-	-	-	-	14219	25925	-14219	-25925	23048	16635	-23048	-16635
00042			-	-	-	-	-	18223	27053	-18223	-27053	12527	11995	-12527	-11995
			-	-	-	-	-	18546	27502	-18546	-27502	22084	23908	-22084	-23908

Carichi sui nodi (per analisi sismica non lineare)

Id _{Nd}	Distr		RC	Direzioni											
	X	Y		+X	-X	+Y	-Y	+X, Ecc+Y	+X, Ecc- Y	-X, Ecc+Y	-X, Ecc-Y	+Y, Ecc+X	+Y, Ecc- X	-Y, Ecc+X	-Y, Ecc-X
				[N]	[N]	[N]	[N]	[N]	[N]	[N]	[N]	[N]	[N]	[N]	[N]
00043			-	-	-	-	-	20690	14231	-20690	-14231	27990	22095	-27990	-22095
			-	-	-	-	-	20592	14152	-20592	-14152	20245	14456	-20245	-14456
00044			-	-	-	-	-	31101	21392	-31101	-21392	14208	13605	-14208	-13605
			-	-	-	-	-	30953	21272	-30953	-21272	25047	27115	-25047	-27115
00045			-	-	-	-	-	20407	14074	-20407	-14074	2027	2986	-2027	-2986
			-	-	-	-	-	20311	13997	-20311	-13997	13845	20422	-13845	-20422
00046			-	-	-	-	-	13750	20412	-13750	-20412	27990	22095	-27990	-22095
			-	-	-	-	-	13993	20751	-13993	-20751	20245	14456	-20245	-14456
00047			-	-	-	-	-	8250	12248	-8250	-12248	1231	1815	-1231	-1815
			-	-	-	-	-	8396	12451	-8396	-12451	8413	12409	-8413	-12409
00048			-	-	-	-	-	18095	17115	-18095	-17115	2088	3077	-2088	-3077
			-	-	-	-	-	18158	17193	-18158	-17193	14266	21043	-14266	-21043
00049			-	-	-	-	-	6392	9516	-6392	-9516	8148	6926	-8148	-6926
			-	-	-	-	-	6506	9674	-6506	-9674	8594	7566	-8594	-7566
00050			-	-	-	-	-	13699	15950	-13699	-15950	1769	2607	-1769	-2607
			-	-	-	-	-	13832	16116	-13832	-16116	12085	17827	-12085	-17827
00051			-	-	-	-	-	33858	39421	-33858	-39421	20136	19282	-20136	-19282
			-	-	-	-	-	34185	39831	-34185	-39831	35498	38429	-35498	-38429
00052			-	-	-	-	-	26373	30706	-26373	-30706	46446	36665	-46446	-36665
			-	-	-	-	-	26628	31026	-26628	-31026	33595	23989	-33595	-23989
00053			-	-	-	-	-	39441	34448	-39441	-34448	20136	19282	-20136	-19282
			-	-	-	-	-	39494	34523	-39494	-34523	35498	38429	-35498	-38429
00054			-	-	-	-	-	30722	26833	-30722	-26833	46446	36665	-46446	-36665
			-	-	-	-	-	30763	26891	-30763	-26891	33595	23989	-33595	-23989
00055			-	-	-	-	-	9646	6617	-9646	-6617	8148	6926	-8148	-6926
			-	-	-	-	-	9600	6579	-9600	-6579	8594	7566	-8594	-7566

LEGENDA:

Id_{Nd} Identificativo del nodo.**Distr** Distribuzione delle forze (0P = Principale non richiesta; 1P = Principale proporzionale alle forze statiche; 2P = Proporzionale I Modo vibrazione; 3P = Principale proporzionale ai taglianti; 0S = Secondaria non richiesta; 1S = Secondaria proporzionale alle masse; 2S = secondaria multimodale).**RC** Risposta combinata del sisma nelle due direzioni: +0,3 (30% degli effetti del sisma in direzione concorde perpendicolare alla principale), -0,3 (30% degli effetti del sisma in direzione disconcorde perpendicolare alla principale), "-" (non richiesta)**Direzioni** Direzioni di analisi sismica ed eventuali eccentricità. In parentesi sono indicate le forze nodali nella direzione secondaria considerata, nel caso siano calcolati gli effetti combinati nelle due direzioni

CARICHI SULLE TRAVI

Carichi sulle travi															
TC	C	CC	SR	Dis _i	F _{X,i} /Q _{X,i}	F _{Y,i} /Q _{Y,i}	F _{Z,i} /Q _{Z,i}	M _{X,i} /M _{T,i}	M _{Y,i}	M _{Z,i}	Dis _f	Q _{X,f}	Q _{Y,f}	Q _{Z,f}	M _{T,f}
				[m]	[N/N/m]	[N/N/m]	[N/N/m]	[N-m;N-m/m]	[N-m;N-m/m]	[N-m;N-m/m]	[m]	[N/m]	[N/m]	[N/m]	[N-m/m]
Solai a quota +1070			Travata: Trave 3-4-5-6						Trave: Trave 3-4			Peso proprio			-3 750
L	CR001	001	G	5,20	0	0	-5 250	2 625	-	-	0,00	0	0	-5 250	2 625
L	CR002	002	G	5,20	0	0	-1 330	665	-	-	0,00	0	0	-1 330	665
L	CR003	004	G	5,20	0	0	-350	175	-	-	0,00	0	0	-350	175
L	CR004	006	G	5,20	0	0	-336	168	-	-	0,00	0	0	-336	168
L	CR005	002	G	0,00	0	0	-285	0	-	-	0,00	0	0	-285	0
L	CR006	005	G	0,00	0	0	-75	0	-	-	0,00	0	0	-75	0
L	CR007	006	G	0,00	0	0	-72	0	-	-	0,00	0	0	-72	0
Solai a quota +1070			Travata: Trave 3-4-5-6						Trave: Trave 4-5			Peso proprio			-3 000
L	CR001	001	G	0,00	0	0	-5 250	2 625	-	-	0,00	0	0	-5 250	2 625
L	CR002	002	G	0,00	0	0	-1 330	665	-	-	0,00	0	0	-1 330	665
L	CR003	004	G	0,00	0	0	-350	175	-	-	0,00	0	0	-350	175
L	CR004	006	G	0,00	0	0	-336	168	-	-	0,00	0	0	-336	168
L	CR005	002	G	0,00	0	0	-285	0	-	-	0,00	0	0	-285	0
L	CR006	005	G	0,00	0	0	-75	0	-	-	0,00	0	0	-75	0
L	CR007	006	G	0,00	0	0	-72	0	-	-	0,00	0	0	-72	0
Solai a quota +1070			Travata: Trave 3-4-5-6						Trave: Trave 5-6			Peso proprio			-3 000
L	CR001	001	G	0,00	0	0	-5 250	2 625	-	-	0,00	0	0	-5 250	2 625
L	CR002	002	G	0,00	0	0	-1 330	665	-	-	0,00	0	0	-1 330	665
L	CR003	004	G	0,00	0	0	-350	175	-	-	0,00	0	0	-350	175
L	CR004	006	G	0,00	0	0	-336	168	-	-	0,00	0	0	-336	168
L	CR005	002	G	0,00	0	0	-285	0	-	-	0,00	0	0	-285	0
L	CR006	005	G	0,00	0	0	-75	0	-	-	0,00	0	0	-75	0
L	CR007	006	G	0,00	0	0	-72	0	-	-	0,00	0	0	-72	0
Solai a quota +1070			Travata: Trave 13-14-15-16						Trave: Trave 13-14			Peso proprio			-3 750
L	CR005	002	G	0,00	0	0	-285	0	-	-	0,00	0	0	-285	0
L	CR006	005	G	0,00	0	0	-75	0	-	-	0,00	0	0	-75	0
L	CR007	006	G	0,00	0	0	-72	0	-	-	0,00	0	0	-72	0
L	CR001	001	G	0,00	0	0	-5 250	-2 625	-	-	0,00	0	0	-5 250	-2 625
L	CR002	002	G	0,00	0	0	-1 330	-665	-	-	0,00	0	0	-1 330	-665
L	CR003	004	G	0,00	0	0	-350	-175	-	-	0,00	0	0	-350	-175
L	CR004	006	G	0,00	0	0	-336	-168	-	-	0,00	0	0	-336	-168
Solai a quota +1070			Travata: Trave 13-14-15-16						Trave: Trave 14-15			Peso proprio			-3 000
L	CR005	002	G	0,00	0	0	-285	0	-	-	0,00	0	0	-285	0
L	CR006	005	G	0,00	0	0	-75	0	-	-	0,00	0	0	-75	0
L	CR007	006	G	0,00	0	0	-72	0	-	-	0,00	0	0	-72	0
L	CR001	001	G	0,00	0	0	-5 250	-2 625	-	-	0,00	0	0	-5 250	-2 625
L	CR002	002	G	0,00	0	0	-1 330	-665	-	-	0,00	0	0	-1 330	-665
L	CR003	004	G	0,00	0	0	-350	-175	-	-	0,00	0	0	-350	-175
L	CR004	006	G	0,00	0	0	-336	-168	-	-	0,00	0	0	-336	-168
Solai a quota +1070			Travata: Trave 13-14-15-16						Trave: Trave 15-16			Peso proprio			-3 000

														Carichi sulle travi	
TC	C	CC	SR	Dis _i	F _{X,i} /Q _{X,i}	F _{Y,i} /Q _{Y,i}	F _{Z,i} /Q _{Z,i}	M _{X,i} /M _{T,i}	M _{Y,i}	M _{Z,i}	Dis _f	Q _{X,f}	Q _{Y,f}	Q _{Z,f}	M _{T,f}
				[m]	[N/m]	[N/m]	[N/m]	[N-m/N-m/m]	[N-m/N-m/m]	[N-m/N-m/m]	[m]	[N/m]	[N/m]	[N/m]	[N-m/m]
L	CR005	002	G	0,00	0	0	-285	0	-	-	0,00	0	0	-285	0
L	CR006	005	G	0,00	0	0	-75	0	-	-	0,00	0	0	-75	0
L	CR007	006	G	0,00	0	0	-72	0	-	-	0,00	0	0	-72	0
L	CR001	001	G	0,00	0	0	-5 250	-2 625	-	-	0,00	0	0	-5 250	-2 625
L	CR002	002	G	0,00	0	0	-1 330	-665	-	-	0,00	0	0	-1 330	-665
L	CR003	004	G	0,00	0	0	-350	-175	-	-	0,00	0	0	-350	-175
L	CR004	006	G	0,00	0	0	-336	-168	-	-	0,00	0	0	-336	-168
Solai a quota +1070				Travata: Trave 3-7-10-13				Trave: Trave 3-7			Peso proprio			-3 750	
L	CR008	001	G	0,00	0	0	-9 240	0	-	-	0,00	0	0	-9 240	0
L	CR005	002	G	0,00	0	0	-5 320	0	-	-	0,00	0	0	-5 320	0
L	CR006	005	G	0,00	0	0	-1 400	0	-	-	0,00	0	0	-1 400	0
L	CR007	006	G	0,00	0	0	-1 344	0	-	-	0,00	0	0	-1 344	0
L	CR005	002	G	0,00	0	0	-285	0	-	-	0,00	0	0	-285	0
L	CR006	005	G	0,00	0	0	-75	0	-	-	0,00	0	0	-75	0
L	CR007	006	G	0,00	0	0	-72	0	-	-	0,00	0	0	-72	0
Solai a quota +1070				Travata: Trave 3-7-10-13				Trave: Trave 7-10			Peso proprio			-3 750	
L	CR008	001	G	0,00	0	0	-9 240	0	-	-	0,00	0	0	-9 240	0
L	CR005	002	G	0,00	0	0	-5 320	0	-	-	0,00	0	0	-5 320	0
L	CR006	005	G	0,00	0	0	-1 400	0	-	-	0,00	0	0	-1 400	0
L	CR007	006	G	0,00	0	0	-1 344	0	-	-	0,00	0	0	-1 344	0
L	CR005	002	G	0,00	0	0	-285	0	-	-	0,00	0	0	-285	0
L	CR006	005	G	0,00	0	0	-75	0	-	-	0,00	0	0	-75	0
L	CR007	006	G	0,00	0	0	-72	0	-	-	0,00	0	0	-72	0
Solai a quota +1070				Travata: Trave 3-7-10-13				Trave: Trave 10-13			Peso proprio			-3 750	
L	CR008	001	G	1,30	0	0	-9 240	0	-	-	0,00	0	0	-9 240	0
L	CR005	002	G	1,30	0	0	-5 320	0	-	-	0,00	0	0	-5 320	0
L	CR006	005	G	1,30	0	0	-1 400	0	-	-	0,00	0	0	-1 400	0
L	CR007	006	G	1,30	0	0	-1 344	0	-	-	0,00	0	0	-1 344	0
L	CR008	001	G	0,00	0	0	-9 240	0	-	-	4,15	0	0	-9 240	0
L	CR005	002	G	0,00	0	0	-5 320	0	-	-	4,15	0	0	-5 320	0
L	CR006	005	G	0,00	0	0	-1 400	0	-	-	4,15	0	0	-1 400	0
L	CR007	006	G	0,00	0	0	-1 344	0	-	-	4,15	0	0	-1 344	0
L	CR005	002	G	0,00	0	0	-285	0	-	-	0,00	0	0	-285	0
L	CR006	005	G	0,00	0	0	-75	0	-	-	0,00	0	0	-75	0
L	CR007	006	G	0,00	0	0	-72	0	-	-	0,00	0	0	-72	0
Solai a quota +1070				Travata: Trave 4-8-11-14				Trave: Trave 4-8			Peso proprio			-4 500	
L	CR008	001	G	0,00	0	0	-9 240	0	-	-	0,00	0	0	-9 240	0
L	CR005	002	G	0,00	0	0	-5 320	0	-	-	0,00	0	0	-5 320	0
L	CR006	005	G	0,00	0	0	-1 400	0	-	-	0,00	0	0	-1 400	0
L	CR007	006	G	0,00	0	0	-1 344	0	-	-	0,00	0	0	-1 344	0
L	CR005	002	G	0,00	0	0	-285	0	-	-	0,00	0	0	-285	0
L	CR006	005	G	0,00	0	0	-75	0	-	-	0,00	0	0	-75	0
L	CR007	006	G	0,00	0	0	-72	0	-	-	0,00	0	0	-72	0
L	CR008	001	G	0,00	0	0	-12 705	0	-	-	0,00	0	0	-12 705	0
L	CR005	002	G	0,00	0	0	-7 315	0	-	-	0,00	0	0	-7 315	0
L	CR006	005	G	0,00	0	0	-1 925	0	-	-	0,00	0	0	-1 925	0
L	CR007	006	G	0,00	0	0	-1 848	0	-	-	0,00	0	0	-1 848	0
L	CR005	002	G	0,00	0	0	-285	0	-	-	0,00	0	0	-285	0
L	CR006	005	G	0,00	0	0	-75	0	-	-	0,00	0	0	-75	0
L	CR007	006	G	0,00	0	0	-72	0	-	-	0,00	0	0	-72	0
Solai a quota +1070				Travata: Trave 4-8-11-14				Trave: Trave 8-11			Peso proprio			-4 500	
L	CR008	001	G	3,70	0	0	-9 240	0	-	-	0,00	0	0	-9 240	0
L	CR005	002	G	3,70	0	0	-5 320	0	-	-	0,00	0	0	-5 320	0
L	CR006	005	G	3,70	0	0	-1 400	0	-	-	0,00	0	0	-1 400	0
L	CR007	006	G	3,70	0	0	-1 344	0	-	-	0,00	0	0	-1 344	0
L	CR008	001	G	0,00	0	0	-9 240	0	-	-	1,30	0	0	-9 240	0
L	CR005	002	G	0,00	0	0	-5 320	0	-	-	1,30	0	0	-5 320	0
L	CR006	005	G	0,00	0	0	-1 400	0	-	-	1,30	0	0	-1 400	0
L	CR007	006	G	0,00	0	0	-1 344	0	-	-	1,30	0	0	-1 344	0
L	CR005	002	G	0,00	0	0	-285	0	-	-	0,00	0	0	-285	0
L	CR006	005	G	0,00	0	0	-75	0	-	-	0,00	0	0	-75	0
L	CR007	006	G	0,00	0	0	-72	0	-	-	0,00	0	0	-72	0
L	CR008	001	G	0,00	0	0	-12 705	0	-	-	0,00	0	0	-12 705	0
L	CR005	002	G	0,00	0	0	-7 315	0	-	-	0,00	0	0	-7 315	0
L	CR006	005	G	0,00	0	0	-1 925	0	-	-	0,00	0	0	-1 925	0
L	CR007	006	G	0,00	0	0	-1 848	0	-	-	0,00	0	0	-1 848	0
L	CR005	002	G	0,00	0	0	-285	0	-	-	0,00	0	0	-285	0
L	CR006	005	G	0,00	0	0	-75	0	-	-	0,00	0	0	-75	0
L	CR007	006	G	0,00	0	0	-72	0	-	-	0,00	0	0	-72	0
Solai a quota +1070				Travata: Trave 4-8-11-14				Trave: Trave 11-14			Peso proprio			-4 500	
L	CR008	001	G	0,00	0	0	-9 240	0	-	-	0,00	0	0	-9 240	0
L	CR005	002	G	0,00	0	0	-5 320	0	-	-	0,00	0	0	-5 320	0
L	CR006	005	G	0,00	0	0	-1 400	0	-	-	0,00	0	0	-1 400	0
L	CR007	006	G	0,00	0	0	-1 344	0	-	-	0,00	0	0	-1 344	0
L	CR005	002	G	0,00	0	0	-285	0	-	-	0,00	0	0	-285	0
L	CR006	005	G	0,00	0	0	-75	0	-	-	0,00	0	0	-75	0
L	CR007	006	G	0,00	0	0	-72	0	-	-	0,00	0	0	-72	0
L	CR008	001	G	0,00	0	0	-12 705	0	-	-	0,00	0	0	-12 705	0
L	CR005	002	G	0,00	0	0	-7 315	0	-	-	0,00	0	0	-7 315	0
L	CR006	005	G	0,00	0	0	-1 925	0	-	-	0,00	0	0	-1 925	0
L	CR007	006	G	0,00	0	0	-1 848	0	-	-	0,00	0	0	-1 848	0
L	CR005	002	G	0,00	0	0	-285	0	-	-	0,00	0	0	-285	0
L	CR006	005	G	0,00	0	0	-75	0	-	-	0,00	0	0	-75	0
L	CR007	006	G	0,00	0	0	-72	0	-	-	0,00	0	0	-72	0

														Carichi sulle travi	
TC	C	CC	SR	Dis _i	F _{X,i} /Q _{X,i}	F _{Y,i} /Q _{Y,i}	F _{Z,i} /Q _{Z,i}	M _{X,i} /M _{T,i}	M _{Y,i}	M _{Z,i}	Dis _f	Q _{X,f}	Q _{Y,f}	Q _{Z,f}	M _{T,f}
				[m]	[N;N/m]	[N;N/m]	[N;N/m]	[N-m;N-m/m]	[N-m;N-m/m]	[N-m;N-m/m]	[m]	[N/m]	[N/m]	[N/m]	[N-m/m]
Solai a quota +1070			Travata: Trave 6-9-12-16					Trave: Trave 6-9			Peso proprio			-3 750	
L	CR008	001	G	0,00	0	0	-12 705	0	-	-	0,00	0	0	-12 705	0
L	CR005	002	G	0,00	0	0	-7 315	0	-	-	0,00	0	0	-7 315	0
L	CR006	005	G	0,00	0	0	-1 925	0	-	-	0,00	0	0	-1 925	0
L	CR007	006	G	0,00	0	0	-1 848	0	-	-	0,00	0	0	-1 848	0
L	CR005	002	G	0,00	0	0	-285	0	-	-	0,00	0	0	-285	0
L	CR006	005	G	0,00	0	0	-75	0	-	-	0,00	0	0	-75	0
L	CR007	006	G	0,00	0	0	-72	0	-	-	0,00	0	0	-72	0
L	CR001	001	G	0,00	0	0	-5 250	0	-	-	0,00	0	0	-5 250	0
L	CR002	002	G	0,00	0	0	-1 330	0	-	-	0,00	0	0	-1 330	0
L	CR003	004	G	0,00	0	0	-350	0	-	-	0,00	0	0	-350	0
L	CR004	006	G	0,00	0	0	-336	0	-	-	0,00	0	0	-336	0
Solai a quota +1070			Travata: Trave 6-9-12-16					Trave: Trave 9-12			Peso proprio			-3 750	
L	CR008	001	G	0,00	0	0	-12 705	0	-	-	0,00	0	0	-12 705	0
L	CR005	002	G	0,00	0	0	-7 315	0	-	-	0,00	0	0	-7 315	0
L	CR006	005	G	0,00	0	0	-1 925	0	-	-	0,00	0	0	-1 925	0
L	CR007	006	G	0,00	0	0	-1 848	0	-	-	0,00	0	0	-1 848	0
L	CR005	002	G	0,00	0	0	-285	0	-	-	0,00	0	0	-285	0
L	CR006	005	G	0,00	0	0	-75	0	-	-	0,00	0	0	-75	0
L	CR007	006	G	0,00	0	0	-72	0	-	-	0,00	0	0	-72	0
L	CR001	001	G	0,00	0	0	-5 250	0	-	-	0,00	0	0	-5 250	0
L	CR002	002	G	0,00	0	0	-1 330	0	-	-	0,00	0	0	-1 330	0
L	CR003	004	G	0,00	0	0	-350	0	-	-	0,00	0	0	-350	0
L	CR004	006	G	0,00	0	0	-336	0	-	-	0,00	0	0	-336	0
Solai a quota +1070			Travata: Trave 6-9-12-16					Trave: Trave 12-16			Peso proprio			-3 750	
L	CR008	001	G	0,00	0	0	-12 705	0	-	-	0,00	0	0	-12 705	0
L	CR005	002	G	0,00	0	0	-7 315	0	-	-	0,00	0	0	-7 315	0
L	CR006	005	G	0,00	0	0	-1 925	0	-	-	0,00	0	0	-1 925	0
L	CR007	006	G	0,00	0	0	-1 848	0	-	-	0,00	0	0	-1 848	0
L	CR005	002	G	0,00	0	0	-285	0	-	-	0,00	0	0	-285	0
L	CR006	005	G	0,00	0	0	-75	0	-	-	0,00	0	0	-75	0
L	CR007	006	G	0,00	0	0	-72	0	-	-	0,00	0	0	-72	0
L	CR001	001	G	0,00	0	0	-5 250	0	-	-	0,00	0	0	-5 250	0
L	CR002	002	G	0,00	0	0	-1 330	0	-	-	0,00	0	0	-1 330	0
L	CR003	004	G	0,00	0	0	-350	0	-	-	0,00	0	0	-350	0
L	CR004	006	G	0,00	0	0	-336	0	-	-	0,00	0	0	-336	0
Solai a quota +710			Travata: Trave 1-2					Trave: Trave 1-2			Peso proprio			-4 500	
L	CR009	002	G	0,00	0	0	-285	0	-	-	0,00	0	0	-285	0
L	CR010	003	G	0,00	0	0	-450	0	-	-	0,00	0	0	-450	0
L	CR011	006	G	0,00	0	0	-72	0	-	-	0,00	0	0	-72	0
Solai a quota +710			Travata: Trave 3-4-5-6					Trave: Trave 3-4			Peso proprio			-3 750	
L	CR012	001	G	0,00	0	0	-6 665	0	-	-	0,00	0	0	-6 665	0
L	CR012	002	G	0,00	0	0	-1 860	0	-	-	0,00	0	0	-1 860	0
L	CR013	002	G	0,00	0	0	-255	0	-	-	0,00	0	0	-255	0
L	CR014	003	G	0,00	0	0	-450	0	-	-	0,00	0	0	-450	0
Solai a quota +710			Travata: Trave 3-4-5-6					Trave: Trave 4-5			Peso proprio			-3 000	
L	CR009	002	G	0,00	0	0	-285	0	-	-	0,00	0	0	-285	0
L	CR010	003	G	0,00	0	0	-450	0	-	-	0,00	0	0	-450	0
L	CR011	006	G	0,00	0	0	-72	0	-	-	0,00	0	0	-72	0
L	CR012	001	G	0,00	0	0	-6 880	0	-	-	0,00	0	0	-6 880	0
L	CR012	002	G	0,00	0	0	-1 920	0	-	-	0,00	0	0	-1 920	0
L	CR015	002	G	0,00	0	0	-255	0	-	-	0,00	0	0	-255	0
L	CR016	003	G	0,00	0	0	-450	0	-	-	0,00	0	0	-450	0
Solai a quota +710			Travata: Trave 3-4-5-6					Trave: Trave 5-6			Peso proprio			-3 000	
L	CR009	002	G	0,00	0	0	-285	0	-	-	0,00	0	0	-285	0
L	CR010	003	G	0,00	0	0	-450	0	-	-	0,00	0	0	-450	0
L	CR011	006	G	0,00	0	0	-72	0	-	-	0,00	0	0	-72	0
L	CR012	001	G	0,00	0	0	-6 880	0	-	-	0,00	0	0	-6 880	0
L	CR012	002	G	0,00	0	0	-1 920	0	-	-	0,00	0	0	-1 920	0
L	CR015	002	G	0,00	0	0	-255	0	-	-	0,00	0	0	-255	0
L	CR016	003	G	0,00	0	0	-450	0	-	-	0,00	0	0	-450	0
Solai a quota +710			Travata: Trave 13-14-15-16					Trave: Trave 13-14			Peso proprio			-3 750	
L	CR013	002	G	0,00	0	0	-255	0	-	-	0,00	0	0	-255	0
L	CR014	003	G	0,00	0	0	-450	0	-	-	0,00	0	0	-450	0
L	CR012	001	G	0,00	0	0	-6 665	0	-	-	0,00	0	0	-6 665	0
L	CR012	002	G	0,00	0	0	-1 860	0	-	-	0,00	0	0	-1 860	0
Solai a quota +710			Travata: Trave 13-14-15-16					Trave: Trave 14-15			Peso proprio			-3 000	
L	CR012	001	G	0,00	0	0	-6 880	0	-	-	0,00	0	0	-6 880	0
L	CR012	002	G	0,00	0	0	-1 920	0	-	-	0,00	0	0	-1 920	0
L	CR009	002	G	0,00	0	0	-285	0	-	-	0,00	0	0	-285	0
L	CR010	003	G	0,00	0	0	-450	0	-	-	0,00	0	0	-450	0
L	CR011	006	G	0,00	0	0	-72	0	-	-	0,00	0	0	-72	0
L	CR015	002	G	0,00	0	0	-255	0	-	-	0,00	0	0	-255	0
L	CR016	003	G	0,00	0	0	-450	0	-	-	0,00	0	0	-450	0
Solai a quota +710			Travata: Trave 13-14-15-16					Trave: Trave 15-16			Peso proprio			-3 000	
L	CR009	002	G	0,00	0	0	-285	0	-	-	0,00	0	0	-285	0
L	CR010	003	G	0,00	0	0	-450	0	-	-	0,00	0	0	-450	0
L	CR011	006	G	0,00	0	0	-72	0	-	-	0,00	0	0	-72	0
L	CR015	002	G	0,00	0	0	-255	0	-	-	0,00	0	0	-255	0
L	CR016	003	G	0,00	0	0	-450	0	-	-	0,00	0	0	-450	0
L	CR012	001	G	0,00	0	0	-6 880	0	-	-	0,00	0	0	-6 880	0
L	CR012	002	G	0,00	0	0	-1 920	0	-	-	0,00	0	0	-1 920	0
Solai a quota +710			Travata: Trave 17-18					Trave: Trave 17-18			Peso proprio			-4 500	
L	CR009	002	G	0,00	0	0	-285	0	-	-	0,00	0	0	-285	0

														Carichi sulle travi	
TC	C	CC	SR	Dis _i	F _{X,i} /Q _{X,i}	F _{Y,i} /Q _{Y,i}	F _{Z,i} /Q _{Z,i}	M _{X,i} /M _{T,i}	M _{Y,i}	M _{Z,i}	Dis _f	Q _{X,f}	Q _{Y,f}	Q _{Z,f}	M _{T,f}
				[m]	[N/m]	[N/m]	[N/m]	[N-m/N-m]	[N-m]	[N-m]	[m]	[N/m]	[N/m]	[N/m]	[N-m]
L	CR010	003	G	0,00	0	0	-450	0	-	-	0,00	0	0	-450	0
L	CR011	006	G	0,00	0	0	-72	0	-	-	0,00	0	0	-72	0
Solai a quota +710			Travata: Trave 1-4-8-11-14-17					Trave: Trave 1-4			Peso proprio			-4 500	
L	CR017	001	G	0,00	0	0	-13 090	0	-	-	0,00	0	0	-13 090	0
L	CR009	002	G	0,00	0	0	-7 315	0	-	-	0,00	0	0	-7 315	0
L	CR010	003	G	0,00	0	0	-11 550	0	-	-	0,00	0	0	-11 550	0
L	CR011	006	G	0,00	0	0	-1 848	0	-	-	0,00	0	0	-1 848	0
L	CR009	002	G	0,00	0	0	-285	0	-	-	0,00	0	0	-285	0
L	CR010	003	G	0,00	0	0	-450	0	-	-	0,00	0	0	-450	0
L	CR011	006	G	0,00	0	0	-72	0	-	-	0,00	0	0	-72	0
L	CR018	001	G	2,50	0	0	-25 000	0	-	-	0,00	0	0	-25 000	0
Solai a quota +710			Travata: Trave 1-4-8-11-14-17					Trave: Trave 4-8			Peso proprio			-4 500	
L	CR019	001	G	0,00	0	0	-8 400	0	-	-	0,00	0	0	-8 400	0
L	CR013	002	G	0,00	0	0	-4 760	0	-	-	0,00	0	0	-4 760	0
L	CR014	003	G	0,00	0	0	-8 400	0	-	-	0,00	0	0	-8 400	0
L	CR013	002	G	0,00	0	0	-255	0	-	-	0,00	0	0	-255	0
L	CR014	003	G	0,00	0	0	-450	0	-	-	0,00	0	0	-450	0
L	CR020	001	G	0,00	0	0	-13 090	0	-	-	0,00	0	0	-13 090	0
L	CR015	002	G	0,00	0	0	-6 545	0	-	-	0,00	0	0	-6 545	0
L	CR016	003	G	0,00	0	0	-11 550	0	-	-	0,00	0	0	-11 550	0
L	CR015	002	G	0,00	0	0	-255	0	-	-	0,00	0	0	-255	0
L	CR016	003	G	0,00	0	0	-450	0	-	-	0,00	0	0	-450	0
Solai a quota +710			Travata: Trave 1-4-8-11-14-17					Trave: Trave 8-11			Peso proprio			-4 500	
L	CR019	001	G	3,65	0	0	-8 400	0	-	-	0,00	0	0	-8 400	0
L	CR013	002	G	3,65	0	0	-4 760	0	-	-	0,00	0	0	-4 760	0
L	CR014	003	G	3,65	0	0	-8 400	0	-	-	0,00	0	0	-8 400	0
L	CR019	001	G	0,00	0	0	-8 400	0	-	-	1,20	0	0	-8 400	0
L	CR013	002	G	0,00	0	0	-4 760	0	-	-	1,20	0	0	-4 760	0
L	CR014	003	G	0,00	0	0	-8 400	0	-	-	1,20	0	0	-8 400	0
L	CR013	002	G	0,00	0	0	-255	0	-	-	0,00	0	0	-255	0
L	CR014	003	G	0,00	0	0	-450	0	-	-	0,00	0	0	-450	0
L	CR020	001	G	0,00	0	0	-13 090	0	-	-	0,00	0	0	-13 090	0
L	CR015	002	G	0,00	0	0	-6 545	0	-	-	0,00	0	0	-6 545	0
L	CR016	003	G	0,00	0	0	-11 550	0	-	-	0,00	0	0	-11 550	0
L	CR015	002	G	0,00	0	0	-255	0	-	-	0,00	0	0	-255	0
L	CR016	003	G	0,00	0	0	-450	0	-	-	0,00	0	0	-450	0
Solai a quota +710			Travata: Trave 1-4-8-11-14-17					Trave: Trave 11-14			Peso proprio			-4 500	
L	CR019	001	G	0,00	0	0	-8 400	0	-	-	0,00	0	0	-8 400	0
L	CR013	002	G	0,00	0	0	-4 760	0	-	-	0,00	0	0	-4 760	0
L	CR014	003	G	0,00	0	0	-8 400	0	-	-	0,00	0	0	-8 400	0
L	CR013	002	G	0,00	0	0	-255	0	-	-	0,00	0	0	-255	0
L	CR014	003	G	0,00	0	0	-450	0	-	-	0,00	0	0	-450	0
L	CR020	001	G	0,00	0	0	-13 090	0	-	-	0,00	0	0	-13 090	0
L	CR015	002	G	0,00	0	0	-6 545	0	-	-	0,00	0	0	-6 545	0
L	CR016	003	G	0,00	0	0	-11 550	0	-	-	0,00	0	0	-11 550	0
L	CR015	002	G	0,00	0	0	-255	0	-	-	0,00	0	0	-255	0
L	CR016	003	G	0,00	0	0	-450	0	-	-	0,00	0	0	-450	0
Solai a quota +710			Travata: Trave 1-4-8-11-14-17					Trave: Trave 14-17			Peso proprio			-4 500	
L	CR017	001	G	0,00	0	0	-13 090	0	-	-	0,00	0	0	-13 090	0
L	CR009	002	G	0,00	0	0	-7 315	0	-	-	0,00	0	0	-7 315	0
L	CR010	003	G	0,00	0	0	-11 550	0	-	-	0,00	0	0	-11 550	0
L	CR011	006	G	0,00	0	0	-1 848	0	-	-	0,00	0	0	-1 848	0
L	CR009	002	G	0,00	0	0	-285	0	-	-	0,00	0	0	-285	0
L	CR010	003	G	0,00	0	0	-450	0	-	-	0,00	0	0	-450	0
L	CR011	006	G	0,00	0	0	-72	0	-	-	0,00	0	0	-72	0
Solai a quota +710			Travata: Trave 2-6-9-12-16-18					Trave: Trave 2-6			Peso proprio			-4 500	
L	CR017	001	G	0,00	0	0	-13 090	0	-	-	0,00	0	0	-13 090	0
L	CR009	002	G	0,00	0	0	-7 315	0	-	-	0,00	0	0	-7 315	0
L	CR010	003	G	0,00	0	0	-11 550	0	-	-	0,00	0	0	-11 550	0
L	CR011	006	G	0,00	0	0	-1 848	0	-	-	0,00	0	0	-1 848	0
L	CR009	002	G	0,00	0	0	-285	0	-	-	0,00	0	0	-285	0
L	CR010	003	G	0,00	0	0	-450	0	-	-	0,00	0	0	-450	0
L	CR011	006	G	0,00	0	0	-72	0	-	-	0,00	0	0	-72	0
Solai a quota +710			Travata: Trave 2-6-9-12-16-18					Trave: Trave 6-9			Peso proprio			-3 750	
L	CR012	001	G	0,00	0	0	-6 665	0	-	-	0,00	0	0	-6 665	0
L	CR012	002	G	0,00	0	0	-1 860	0	-	-	0,00	0	0	-1 860	0
L	CR020	001	G	0,00	0	0	-13 090	0	-	-	0,00	0	0	-13 090	0
L	CR015	002	G	0,00	0	0	-6 545	0	-	-	0,00	0	0	-6 545	0
L	CR016	003	G	0,00	0	0	-11 550	0	-	-	0,00	0	0	-11 550	0
L	CR015	002	G	0,00	0	0	-255	0	-	-	0,00	0	0	-255	0
L	CR016	003	G	0,00	0	0	-450	0	-	-	0,00	0	0	-450	0
Solai a quota +710			Travata: Trave 2-6-9-12-16-18					Trave: Trave 9-12			Peso proprio			-3 750	
L	CR012	001	G	0,00	0	0	-6 665	0	-	-	0,00	0	0	-6 665	0
L	CR012	002	G	0,00	0	0	-1 860	0	-	-	0,00	0	0	-1 860	0
L	CR020	001	G	0,00	0	0	-13 090	0	-	-	0,00	0	0	-13 090	0
L	CR015	002	G	0,00	0	0	-6 545	0	-	-	0,00	0	0	-6 545	0
L	CR016	003	G	0,00	0	0	-11 550	0	-	-	0,00	0	0	-11 550	0
L	CR015	002	G	0,00	0	0	-255	0	-	-	0,00	0	0	-255	0
L	CR016	003	G	0,00	0	0	-450	0	-	-	0,00	0	0	-450	0
Solai a quota +710			Travata: Trave 2-6-9-12-16-18					Trave: Trave 12-16			Peso proprio			-3 750	
L	CR020	001	G	0,00	0	0	-13 090	0	-	-	0,00	0	0	-13 090	0
L	CR015	002	G	0,00	0	0	-6 545	0	-	-	0,00	0	0	-6 545	0
L	CR016	003	G	0,00	0	0	-11 550	0	-	-	0,00	0	0	-11 550	0
L	CR015	002	G	0,00	0	0	-255	0	-	-	0,00	0	0	-255	0

Carichi sulle travi															
TC	C	CC	SR	Dis _i	F _{X,i} /Q _{X,i}	F _{Y,i} /Q _{Y,i}	F _{Z,i} /Q _{Z,i}	M _{X,i} /M _{T,i}	M _{Y,i}	M _{Z,i}	Dis _f	Q _{X,f}	Q _{Y,f}	Q _{Z,f}	M _{T,f}
				[m]	[N/m]	[N/m]	[N/m]	[N-m/m]	[N-m/m]	[N-m/m]	[m]	[N/m]	[N/m]	[N/m]	[N-m/m]
L	CR016	003	G	0,00	0	0	-450	0	-	-	0,00	0	0	-450	0
L	CR012	001	G	0,00	0	0	-6 665	0	-	-	0,00	0	0	-6 665	0
L	CR012	002	G	0,00	0	0	-1 860	0	-	-	0,00	0	0	-1 860	0
Solai a quota +710			Travata: Trave 2-6-9-12-16-18						Trave: Trave 16-18			Peso proprio			-4 500
L	CR017	001	G	0,00	0	0	-13 090	0	-	-	0,00	0	0	-13 090	0
L	CR009	002	G	0,00	0	0	-7 315	0	-	-	0,00	0	0	-7 315	0
L	CR010	003	G	0,00	0	0	-11 550	0	-	-	0,00	0	0	-11 550	0
L	CR011	006	G	0,00	0	0	-1 848	0	-	-	0,00	0	0	-1 848	0
L	CR009	002	G	0,00	0	0	-285	0	-	-	0,00	0	0	-285	0
L	CR010	003	G	0,00	0	0	-450	0	-	-	0,00	0	0	-450	0
L	CR011	006	G	0,00	0	0	-72	0	-	-	0,00	0	0	-72	0
Solai a quota +710			Travata: Trave 3-7-10-13						Trave: Trave 3-7			Peso proprio			-3 750
L	CR012	001	G	0,00	0	0	-6 665	0	-	-	0,00	0	0	-6 665	0
L	CR012	002	G	0,00	0	0	-1 860	0	-	-	0,00	0	0	-1 860	0
L	CR019	001	G	0,00	0	0	-8 400	0	-	-	0,00	0	0	-8 400	0
L	CR013	002	G	0,00	0	0	-4 760	0	-	-	0,00	0	0	-4 760	0
L	CR014	003	G	0,00	0	0	-8 400	0	-	-	0,00	0	0	-8 400	0
L	CR013	002	G	0,00	0	0	-255	0	-	-	0,00	0	0	-255	0
L	CR014	003	G	0,00	0	0	-450	0	-	-	0,00	0	0	-450	0
Solai a quota +710			Travata: Trave 3-7-10-13						Trave: Trave 7-10			Peso proprio			-3 750
L	CR012	001	G	0,00	0	0	-6 665	0	-	-	0,00	0	0	-6 665	0
L	CR012	002	G	0,00	0	0	-1 860	0	-	-	0,00	0	0	-1 860	0
L	CR019	001	G	0,00	0	0	-8 400	0	-	-	0,00	0	0	-8 400	0
L	CR013	002	G	0,00	0	0	-4 760	0	-	-	0,00	0	0	-4 760	0
L	CR014	003	G	0,00	0	0	-8 400	0	-	-	0,00	0	0	-8 400	0
L	CR013	002	G	0,00	0	0	-255	0	-	-	0,00	0	0	-255	0
L	CR014	003	G	0,00	0	0	-450	0	-	-	0,00	0	0	-450	0
Solai a quota +710			Travata: Trave 3-7-10-13						Trave: Trave 10-13			Peso proprio			-3 750
L	CR012	001	G	0,00	0	0	-6 665	0	-	-	0,00	0	0	-6 665	0
L	CR012	002	G	0,00	0	0	-1 860	0	-	-	0,00	0	0	-1 860	0
L	CR019	001	G	1,30	0	0	-8 400	0	-	-	0,00	0	0	-8 400	0
L	CR013	002	G	1,30	0	0	-4 760	0	-	-	0,00	0	0	-4 760	0
L	CR014	003	G	1,30	0	0	-8 400	0	-	-	0,00	0	0	-8 400	0
L	CR019	001	G	0,00	0	0	-8 400	0	-	-	4,15	0	0	-8 400	0
L	CR013	002	G	0,00	0	0	-4 760	0	-	-	4,15	0	0	-4 760	0
L	CR014	003	G	0,00	0	0	-8 400	0	-	-	4,15	0	0	-8 400	0
L	CR013	002	G	0,00	0	0	-255	0	-	-	0,00	0	0	-255	0
L	CR014	003	G	0,00	0	0	-450	0	-	-	0,00	0	0	-450	0
Solai a quota +310			Travata: Trave 14-15-16						Trave: Trave 14-15			Peso proprio			-3 000
L	CR015	002	G	0,00	0	0	-255	0	-	-	0,00	0	0	-255	0
L	CR016	003	G	0,00	0	0	-450	0	-	-	0,00	0	0	-450	0
Solai a quota +310			Travata: Trave 14-15-16						Trave: Trave 15-16			Peso proprio			-3 000
L	CR015	002	G	0,00	0	0	-255	0	-	-	0,00	0	0	-255	0
L	CR016	003	G	0,00	0	0	-450	0	-	-	0,00	0	0	-450	0
Solai a quota +310			Travata: Trave 17-18						Trave: Trave 17-18			Peso proprio			-4 500
L	CR015	002	G	0,00	0	0	-255	0	-	-	0,00	0	0	-255	0
L	CR016	003	G	0,00	0	0	-450	0	-	-	0,00	0	0	-450	0
L	CR012	001	G	0,00	0	0	-7 310	0	-	-	0,00	0	0	-7 310	0
L	CR012	002	G	0,00	0	0	-2 040	0	-	-	0,00	0	0	-2 040	0
Solai a quota +310			Travata: Trave 14-17						Trave: Trave 14-17			Peso proprio			-4 500
L	CR020	001	G	0,00	0	0	-13 090	0	-	-	0,00	0	0	-13 090	0
L	CR015	002	G	0,00	0	0	-6 545	0	-	-	0,00	0	0	-6 545	0
L	CR016	003	G	0,00	0	0	-11 550	0	-	-	0,00	0	0	-11 550	0
L	CR015	002	G	0,00	0	0	-255	0	-	-	0,00	0	0	-255	0
L	CR016	003	G	0,00	0	0	-450	0	-	-	0,00	0	0	-450	0
L	CR012	001	G	0,00	0	0	-7 310	0	-	-	0,00	0	0	-7 310	0
L	CR012	002	G	0,00	0	0	-2 040	0	-	-	0,00	0	0	-2 040	0
Solai a quota +310			Travata: Trave 16-18						Trave: Trave 16-18			Peso proprio			-4 500
L	CR020	001	G	0,00	0	0	-13 090	0	-	-	0,00	0	0	-13 090	0
L	CR015	002	G	0,00	0	0	-6 545	0	-	-	0,00	0	0	-6 545	0
L	CR016	003	G	0,00	0	0	-11 550	0	-	-	0,00	0	0	-11 550	0
L	CR015	002	G	0,00	0	0	-255	0	-	-	0,00	0	0	-255	0
L	CR016	003	G	0,00	0	0	-450	0	-	-	0,00	0	0	-450	0
L	CR012	001	G	0,00	0	0	-7 310	0	-	-	0,00	0	0	-7 310	0
L	CR012	002	G	0,00	0	0	-2 040	0	-	-	0,00	0	0	-2 040	0

LEGENDA:

TC Descrizione del tipo di carico: [L] = Lineare - [C] = Concentrato - [S] = Superficiale - [T] = Termico.

C Descrizione del carico:

CR001= BALCONE: Pensiline copertura spessore 35 CR002= BALCONE: Pensiline copertura spessore 35 (sovraccarico permanente) CR003= BALCONE: Pensiline copertura spessore 35 (sovraccarico accidentale) CR004= BALCONE: Pensiline copertura spessore 35 (carico neve) CR005= SOLAIO: Solaio esistente copert. P1 (30+5) [SA CNA] (sovraccarico permanente) CR006= SOLAIO: Solaio esistente copert. P1 (30+5) [SA CNA] (sovraccarico accidentale) CR007= SOLAIO: Solaio esistente copert. P1 (30+5) [SA CNA] (carico neve) CR008= SOLAIO: Solaio esistente copert. P1 (30+5) [SA CNA] CR009= SOLAIO: Solaio esistente copert. PT (24+6) [SA CA] (sovraccarico permanente) CR010= SOLAIO: Solaio esistente copert. PT (24+6) [SA CA] (sovraccarico accidentale) CR011= SOLAIO: Solaio esistente copert. PT (24+6) [SA CA] (carico neve) CR012= TAMPONATURA: Toppagni esistenti spessore 30 cm CR013= SOLAIO: Solaio esistente copert. PT (20+6) [SA Scuole] (sovraccarico permanente) CR014= SOLAIO: Solaio esistente copert. PT (20+6) [SA Scuole] (sovraccarico accidentale) CR015= SOLAIO: Solaio esistente copert. PT (24+6) [SA Scuole] (sovraccarico permanente) CR016= SOLAIO: Solaio esistente copert. PT (24+6) [SA Scuole] (sovraccarico accidentale) CR017= SOLAIO: Solaio esistente copert. PT (24+6) [SA CA] CR018= Forza lineare CR019= SOLAIO: Solaio esistente copert. PT (20+6) [SA Scuole] CR020= SOLAIO: Solaio esistente copert. PT (24+6) [SA Scuole]

CC Identificativo della tipologia di carico nella relativa tabella.

SR Identificativo del sistema di riferimento considerato: [G] = Sistema di riferimento Globale X, Y, Z - [L] = Sistema di riferimento Locale 1, 2, 3.

Dis_i Distanza del punto "i" dall'estremo iniziale dell'elemento. Il punto "i" indica il punto iniziale del tratto interessato dal carico distribuito sul bordo.

M_{X,i}/M_{T,i} Se nella colonna "TC" è riportato "Concentrato", è il valore del vettore momento concentrato collocato nel punto "i", riferito agli assi del sistema di riferimento indicato nella colonna "S.R.". Se nella colonna "TC" è riportato "Lineare", è il valore nel punto "i", del vettore momento (torcente) distribuito sempre riferito

														Carichi sulle travi	
TC	C	CC	SR	Dis _i	F _{X,i} /Q _{X,i}	F _{Y,i} /Q _{Y,i}	F _{Z,i} /Q _{Z,i}	M _{X,i} /M _{T,i}	M _{Y,i}	M _{Z,i}	Dis _f	Q _{X,f}	Q _{Y,f}	Q _{Z,f}	M _{T,f}
				[m]	[N;N/m]	[N;N/m]	[N;N/m]	[N-m;N-m/m]	[N-m;N-m/m]	[N-m;N-m/m]	[m]	[N/m]	[N/m]	[N/m]	[N-m/m]
Dis _f	all'asse 1 (asse dell'elemento) del sistema di riferimento locale 1, 2, 3, quale che sia il sistema di riferimento indicato nella colonna "S.R".														
M _{T,f}	Distanza del punto "f" dall'estremo inferiore dell'elemento. Il punto "f" indica il punto finale del tratto interessato dal carico distribuito.														
	Se nella colonna "TC" è riportato "Lineare", è il valore nel punto "f", del vettore momento (torcente) distribuito sempre riferito all'asse 1 (asse dell'elemento) del sistema di riferimento locale 1, 2, 3, quale che sia il sistema di riferimento indicato nella colonna "S.R".														
F _{X,i} /Q _{X,i}	Valore (nel punto "i") della forza concentrata/distribuita riferita agli assi del sistema di riferimento indicato nella colonna "S.R".														
F _{Y,i} /Q _{Y,i}															
F _{Z,i} /Q _{Z,i}															
M _{Y,i} M _{Z,i}	Valore (nel punto "i") del vettore momento concentrato riferito agli assi del sistema di riferimento indicato nella colonna "S.R".														
Q _{X,f} Q _{Y,f}	Valore (nel punto "f") della forza distribuita riferita agli assi del sistema di riferimento indicato nella colonna "S.R".														
Q _{Z,f}															
ΔT ₁ , ΔT ₂ , ΔT ₃	Variazione di temperatura rispettivamente lungo gli assi 1, 2 o 3 del sistema locale.														

CARICHI SUI PILASTRI

														Carichi sui pilastri		
TC	C	CC	SR	Dis _i	F _{X,i} /Q _{X,i}	F _{Y,i} /Q _{Y,i}	F _{Z,i} /Q _{Z,i}	M _{X,i} /M _{T,i}	M _{Y,i}	M _{Z,i}	Dis _f	Q _{X,f}	Q _{Y,f}	Q _{Z,f}	M _{T,f}	
				[m]	[N;N/m]	[N;N/m]	[N;N/m]	[N-m;N-m/m]	[N-m;N-m/m]	[N-m;N-m/m]	[m]	[N/m]	[N/m]	[N/m]	[N-m/m]	
Solai a quota +710				Pilastro 001							Peso proprio				-5 250	
C	CR001	001	G	3,40	0	0	-3 150	0	0	0	-	-	-	-	-	
Solai a quota +710				Pilastro 002							Peso proprio				-5 250	
C	CR001	001	G	3,40	0	0	-3 150	0	0	0	-	-	-	-	-	
Solai a quota +710				Pilastro 003							Peso proprio				-3 750	
C	CR001	001	G	3,50	0	0	-1 875	0	0	0	-	-	-	-	-	
Solai a quota +1070				Pilastro 003							Peso proprio				-3 000	
C	CR001	001	G	3,10	0	0	-1 500	0	0	0	-	-	-	-	-	
Solai a quota +710				Pilastro 004							Peso proprio				-3 750	
C	CR001	001	G	3,40	0	0	-2 250	0	0	0	-	-	-	-	-	
Solai a quota +1070				Pilastro 004							Peso proprio				-3 000	
C	CR001	001	G	3,00	0	0	-1 800	0	0	0	-	-	-	-	-	
Solai a quota +710				Pilastro 005							Peso proprio				-3 000	
C	CR001	001	G	3,60	0	0	-1 200	0	0	0	-	-	-	-	-	
Solai a quota +1070				Pilastro 005							Peso proprio				-2 250	
C	CR001	001	G	3,20	0	0	-900	0	0	0	-	-	-	-	-	
Solai a quota +710				Pilastro 006							Peso proprio				-3 750	
C	CR001	001	G	3,40	0	0	-2 250	0	0	0	-	-	-	-	-	
Solai a quota +1070				Pilastro 006							Peso proprio				-3 000	
C	CR001	001	G	3,10	0	0	-1 500	0	0	0	-	-	-	-	-	
Solai a quota +710				Pilastro 007							Peso proprio				-3 000	
C	CR001	001	G	3,50	0	0	-1 500	0	0	0	-	-	-	-	-	
Solai a quota +1070				Pilastro 007							Peso proprio				-2 250	
C	CR001	001	G	3,10	0	0	-1 125	0	0	0	-	-	-	-	-	
Solai a quota +710				Pilastro 008							Peso proprio				-3 750	
C	CR001	001	G	3,40	0	0	-2 250	0	0	0	-	-	-	-	-	
Solai a quota +1070				Pilastro 008							Peso proprio				-3 000	
C	CR001	001	G	3,00	0	0	-1 800	0	0	0	-	-	-	-	-	
Solai a quota +710				Pilastro 009							Peso proprio				-3 000	
C	CR001	001	G	3,50	0	0	-1 500	0	0	0	-	-	-	-	-	
Solai a quota +1070				Pilastro 009							Peso proprio				-2 250	
C	CR001	001	G	3,10	0	0	-1 125	0	0	0	-	-	-	-	-	
Solai a quota +710				Pilastro 010							Peso proprio				-3 000	
C	CR001	001	G	3,50	0	0	-1 500	0	0	0	-	-	-	-	-	
Solai a quota +1070				Pilastro 010							Peso proprio				-3 000	
C	CR001	001	G	3,10	0	0	-1 500	0	0	0	-	-	-	-	-	
Solai a quota +710				Pilastro 011							Peso proprio				-4 500	
C	CR001	001	G	3,40	0	0	-2 700	0	0	0	-	-	-	-	-	
Solai a quota +1070				Pilastro 011							Peso proprio				-3 000	
C	CR001	001	G	3,00	0	0	-1 800	0	0	0	-	-	-	-	-	
Solai a quota +710				Pilastro 12 (a)							Peso proprio				-3 000	
C	CR001	001	G	3,50	0	0	-1 500	0	0	0	-	-	-	-	-	
Solai a quota +1070				Pilastro 012							Peso proprio				-2 250	
C	CR001	001	G	3,10	0	0	-1 125	0	0	0	-	-	-	-	-	
Solai a quota +710				Pilastro 013							Peso proprio				-3 750	
C	CR001	001	G	3,50	0	0	-1 875	0	0	0	-	-	-	-	-	
Solai a quota +1070				Pilastro 013							Peso proprio				-3 750	
C	CR001	001	G	3,10	0	0	-1 875	0	0	0	-	-	-	-	-	
Solai a quota +310				Pilastro 14 (a)							Peso proprio				-3 750	
C	CR001	001	G	2,50	0	0	-2 250	0	0	0	-	-	-	-	-	
Solai a quota +710				Pilastro 14 (a)							Peso proprio				-3 750	
C	CR001	001	G	3,40	0	0	-2 250	0	0	0	-	-	-	-	-	
Solai a quota +1070				Pilastro 014							Peso proprio				-3 000	
C	CR001	001	G	3,00	0	0	-1 800	0	0	0	-	-	-	-	-	
Solai a quota +310				Pilastro 015							Peso proprio				-3 000	
C	CR001	001	G	2,70	0	0	-1 200	0	0	0	-	-	-	-	-	
Solai a quota +710				Pilastro 015							Peso proprio				-3 000	
C	CR001	001	G	3,60	0	0	-1 200	0	0	0	-	-	-	-	-	
Solai a quota +1070				Pilastro 015							Peso proprio				-2 250	
C	CR001	001	G	3,20	0	0	-900	0	0	0	-	-	-	-	-	
Solai a quota +310				Pilastro 016							Peso proprio				-3 750	
C	CR001	001	G	2,50	0	0	-2 250	0	0	0	-	-	-	-	-	
Solai a quota +710				Pilastro 016							Peso proprio				-3 750	
C	CR001	001	G	3,40	0	0	-2 250	0	0	0	-	-	-	-	-	

											Carichi sui pilastri				
TC	C	CC	SR	Dis _i	F _{X,i} /Q _{X,i}	F _{Y,i} /Q _{Y,i}	F _{Z,i} /Q _{Z,i}	M _{X,i} /M _{T,i}	M _{Y,i}	M _{Z,i}	Dis _f	Q _{X,f}	Q _{Y,f}	Q _{Z,f}	M _{T,f}
				[m]	[N/N/m]	[N;N/m]	[N;N/m]	[N-m;M-m/m]	[N-m;N-m/m]	[N-m;N-m/m]	[m]	[N/m]	[N/m]	[N/m]	[N-m/m]
Solai a quota +1070				Pilastro 016						Peso proprio				-3 000	
C	CR001	001	G	3,10	0	0	-1 500	0	0	0	-	-	-	-	-
Solai a quota +310				Pilastro 017						Peso proprio				-5 250	
C	CR001	001	G	2,50	0	0	-3 150	0	0	0	-	-	-	-	-
Solai a quota +710				Pilastro 017						Peso proprio				-5 250	
C	CR001	001	G	3,40	0	0	-3 150	0	0	0	-	-	-	-	-
Solai a quota +310				Pilastro 018						Peso proprio				-5 250	
C	CR001	001	G	2,50	0	0	-3 150	0	0	0	-	-	-	-	-
Solai a quota +710				Pilastro 018						Peso proprio				-5 250	
C	CR001	001	G	3,40	0	0	-3 150	0	0	0	-	-	-	-	-

LEGENDA:

TC Descrizione del tipo di carico: [L] = Lineare - [C] = Concentrato - [S] = Superficiale - [T] = Termico.

C Descrizione del carico:

CR001= PESO PROPRIO (concio)

CC Identificativo della tipologia di carico nella relativa tabella.

SR Identificativo del sistema di riferimento considerato: [G] = Sistema di riferimento Globale X, Y, Z - [L] = Sistema di riferimento Locale 1, 2, 3.

Dis_i Distanza del punto "i" dall'estremo inferiore dell'elemento. Il punto "i", in relazione alla descrizione riportata nella colonna "TC" ("Lineare" o "Concentrato"), indica rispettivamente il punto iniziale del tratto interessato dal carico distribuito o in cui è posizionato il carico concentrato.

M_{X,i}/M_{T,i} Se nella colonna "TC" è riportato "Concentrato", è il valore del vettore momento concentrato collocato nel punto "i", riferito agli assi del sistema di riferimento indicato nella colonna "S.R.". Se nella colonna "TC" è riportato "Lineare", è il valore nel punto "i", del vettore momento (torcente) distribuito sempre riferito all'asse 1 (asse dell'elemento) del sistema di riferimento locale 1, 2, 3, quale che sia il sistema di riferimento indicato nella colonna "S.R".

Dis_f Distanza del punto "f" dall'estremo inferiore dell'elemento. Il punto "f" indica il punto finale del tratto interessato dal carico distribuito.

M_{T,f} Se nella colonna "TC" è riportato "Lineare", è il valore nel punto "f", del vettore momento (torcente) distribuito sempre riferito all'asse 1 (asse dell'elemento) del sistema di riferimento locale 1, 2, 3, quale che sia il sistema di riferimento indicato nella colonna "S.R".

F_{X,i}/Q_{X,i} Valore (nel punto "i") della forza concentrata/distribuita riferita agli assi del sistema di riferimento indicato nella colonna "S.R".

F_{Y,i}/Q_{Y,i}

F_{Z,i}/Q_{Z,i}

M_{Y,i} M_{Z,i} Valore (nel punto "i") del vettore momento concentrato riferito agli assi del sistema di riferimento indicato nella colonna "S.R".

Q_{X,f} Q_{Y,f} Valore (nel punto "f") della forza distribuita riferita agli assi del sistema di riferimento indicato nella colonna "S.R".

Q_{Z,f}

ΔT₁, ΔT₂, ΔT₃ Variazione di temperatura rispettivamente lungo gli assi 1, 2 o 3 del sistema locale.

PIANI - VERIFICHE REGOLARITÀ (Elevazione)

REGOLARITÀ DELLA STRUTTURA IN PIANTA		
a)	la configurazione in pianta è compatta ossia la distribuzione di masse e rigidzze è approssimativamente simmetrica rispetto a due direzioni ortogonali e il contorno di ogni orizzontamento è convesso; il requisito può ritenersi soddisfatto, anche in presenza di rientranze in pianta, quando esse non influenzano significativamente la rigidezza nel piano dell'orizzontamento e, per ogni rientranza, l'area compresa tra il perimetro dell'orizzontamento e la linea convessa circoscritta all'orizzontamento non supera il 5% dell'area dell'orizzontamento;	NO
b)	il rapporto tra i lati del rettangolo circoscritto alla pianta di ogni orizzontamento è inferiore a 4;	NO
c)	ciascun orizzontamento ha una rigidezza nel proprio piano tanto maggiore della corrispondente rigidezza degli elementi strutturali verticali da potersi assumere che la sua deformazione in pianta influenzi in modo trascurabile la distribuzione delle azioni sismiche tra questi ultimi e ha resistenza sufficiente a garantire l'efficacia di tale distribuzione;	SI
La struttura non è regolare in pianta.		
REGOLARITÀ DELLA STRUTTURA IN ALTEZZA		
d)	tutti i sistemi resistenti alle azioni orizzontali si estendono per tutta l'altezza della costruzione o, se sono presenti parti aventi differenti altezze, fino alla sommità della rispettiva parte dell'edificio;	NO
e)	massa e rigidezza rimangono costanti o variano gradualmente, senza bruschi cambiamenti, dalla base alla sommità della costruzione (le variazioni di massa da un orizzontamento all'altro non superano il 25%, la rigidezza non si riduce da un orizzontamento a quello sovrastante più del 30% e non aumenta più del 10%); ai fini della rigidezza si possono considerare regolari in altezza strutture dotate di pareti o nuclei in c.a. o di pareti e nuclei in muratura di sezione costante sull'altezza o di telai controventati in acciaio, ai quali sia affidato almeno il 50% dell'azione sismica alla base;	NO
f)	nelle strutture intelaiate, il rapporto tra la capacità e la domanda allo SLV non è significativamente diverso, in termini di resistenza, per orizzontamenti diversi (tale rapporto, calcolato per un generico orizzontamento, non deve differire più del 30% dall'analogo rapporto calcolato per l'orizzontamento adiacente); può fare eccezione l'ultimo orizzontamento di strutture intelaiate di almeno tre orizzontamenti;	NO
g)	eventuali restringimenti della sezione orizzontale della costruzione avvengano con continuità da un orizzontamento al successivo; oppure avvengano in modo che il rientro di un orizzontamento non superi il 10% della dimensione corrispondente all'orizzontamento immediatamente sottostante, né il 30% della dimensione corrispondente al primo orizzontamento. Fa eccezione l'ultimo orizzontamento di costruzioni di almeno quattro orizzontamenti, per il quale non sono previste limitazioni di restringimento;	NO
La struttura non è regolare in altezza.		

Piani - Verifiche Regolarità

Id _{piano}	Q _{Lv}	H _{Lv}	Rd _{Tmp}	Ir _{Tmp}	M _{SLU}	K _{SLU}		R _{eff}		R _{ric}	
						X	Y	X	Y	X	Y
	[m]	[m]			[N-s²/m]	[N/cm]	[N/cm]	[N]	[N]	[N]	[N]
Solai a quota +1070	7,10	3,60	NO	NO	159 626	95 592	167 337	385 095	512 404	330 789	421 323
Solai a quota +710	3,10	4,00	NO		298 787	227 703	400 050	849 496	1 139 335	730 531	996 965
Solai a quota +310	0,00	3,10	NO		127 233	2 147 483	2 147 483	225 959	259 846	0	0
						647	647				

LEGENDA:

Id_{piano} Identificativo del livello o piano.

Q_{Lv} Quota del livello o piano.

H_{Lv} Altezza del livello o piano.

Rd_{Tmp} Per i piani con riduzione dei tamponamenti, sono state incrementate le azioni di calcolo per gli elementi verticali (pilastri e pareti) di un fattore 1,4: [SI] = Piano con riduzione dei tamponamenti - [NO] = Piano senza riduzione dei tamponamenti.

Ir_{Tmp} Per piani con distribuzione dei tamponamenti in pianta fortemente irregolare, l'eccentricità accidentale è stata incrementata di un fattore pari a 2: [SI] = Distribuzione tamponamenti irregolare fortemente - [NO] = Distribuzione tamponamenti regolare.

M_{SLU} Massa eccitabile della struttura allo S.L. Ultimo, nelle direzioni X, Y, Z.

K_{SLU} Valori delle Rigidzze di Piano, valutate allo SLU, riferite agli assi X ed Y del riferimento globale.

R_{eff} Valori delle Resistenze Effettive di Piano, valutate allo SLU, relative al sistema di riferimento globale X, Y, Z.

R_{ric} Valori delle Resistenze Richieste di Piano, valutate allo SLU, relative al sistema di riferimento globale X, Y, Z.

(*) Vedi tabelle “Livelli o Piani” o “Solai e Balconi”.

EFFETTI DELLE NON LINEARITÀ GEOMETRICHE PER SISMA (Elevazione)

Effetti delle non linearità geometriche per sisma										
Id _{Piano}	Q _{Lv}	H _{Lv}	δ _{d,x}	δ _{d,y}	P _x	P _y	T _x	T _y	Θ _x	Θ _y
	[m]	[m]	[cm]	[cm]	[N]	[N]	[N]	[N]	[rad]	[rad]
Solai a quota +1070	7,10	3,60	5,3874	3,0474	1 565 930	1 565 930	262 027	294 194	8,9434 E-02	4,5057 E-02
Solai a quota +710	3,10	4,00	4,1015	1,8781	4 497 031	4 497 031	587 473	659 592	7,8491 E-02	3,2012 E-02
Solai a quota +310	0,00	3,10	0,0000	0,0000	4 497 031	4 497 031	587 473	659 592	0 E+00	0 E+00

LEGENDA:

- Id_{piano}** Identificativo del livello o piano.
H_{Lv} Altezza del livello o piano.
δ_{d,x}, δ_{d,y} Componenti dello spostamento differenziale rispetto al piano inferiore.
P_x, P_y Valori del carico verticale del piano utilizzato per il calcolo di "θ".
T_x, T_y Valori del tagliante di piano utilizzati per il calcolo di "θ".
Θ_x, Θ_y Coefficienti "θ" del piano.
Nota Le forze sismiche orizzontali agenti sui piani caratterizzati da valori di θ compresi tra 0,1 e 0,2, sono state incrementate del fattore "1/(1-θ)", per portare in conto gli effetti del secondo ordine.

PIANI - VERIFICHE ALLO SLO (Elevazione)

Piani - Verifiche allo SLO									
Id _{piano}	Q _{Lv}	H _{Lv}	δ _{amm,SLO}	δ _{d,SLO}		Δδ _{SLO}		C _{ig} T _{mp}	Note
				X	Y	X	Y		
	[m]	[m]	[cm]	[cm]	[cm]	[cm]	[cm]		
Solai a quota +1070	7,10	3,60	1,2000	0,0000	0,0000	1,2000	1,2000	RF	Verificato
Solai a quota +710	3,10	4,00	1,3333	0,0000	0,0000	1,3333	1,3333	RF	Verificato
Solai a quota +310	0,00	3,10	1,0333	0,0000	0,0000	1,0333	1,0333	RF	Verificato

LEGENDA:

- Id_{piano}** Identificativo del livello o piano.
Q_{Lv} Quota del livello o piano.
H_{Lv} Altezza del livello o piano.
δ_{amm,SLO} Spostamento Differenziale ammissibile per SLO.
δ_{d,SLO} Spostamento Differenziale di progetto allo SLO.
Δδ_{SLO} Differenza fra spostamento limite e quello di calcolo nelle direzioni X e Y.
C_{ig} T_{mp} Tipo di collegamento delle tamponature alla struttura: [R] = Rigido - [E] = Elastico - [RF] = Rigidamente fragili - [RD] = Rigidamente Duttili.

ACCELERAZIONI SISMICHE DI COLLASSO SU BEAM E SHELL

Accelerazioni Sismiche di Collasso su Beam e Shell						
Id _{Elm}	FLESSIONE			TAGLIO		
	%LLI/Shell	PGA _{PF/RC}	PGA _C /PGA _D	%LLI/Shell	PGA _T	PGA _C /PGA _D
			[%]			[%]
Solai a quota +310						
Pilastro 17	0.00 %	1 000,000	200	0.00 %	1 000,000	200
Pilastro 18	0.00 %	1 000,000	200	0.00 %	1 000,000	200
Pilastro 15	0.00 %	1 000,000	200	NC	1 000,000	200
Pilastro 14	0.00 %	1 000,000	200	NC	1 000,000	200
Pilastro 16	0.00 %	1 000,000	200	NC	1 000,000	200
Trave 14-17	0.00 %	1 000,000	200	0.00 %	0,317	173
Trave 17-18	0.00 %	1 000,000	200	0.00 %	0,371	200
Trave 16-18	0.00 %	1 000,000	200	100.00 %	0,317	173
Trave 15-16	0.00 %	1 000,000	200	0.00 %	1,534	200
Trave 14-15	0.00 %	1 000,000	200	0.00 %	1,106	200
Solai a quota +710						
Pilastro 13	0.00 %	0,221	121	0.00 %	0,183	100
Pilastro 14	0.00 %	0,192	105	0.00 %	0,153	84
Pilastro 15	0.00 %	0,290	158	0.00 %	0,293	160
Pilastro 16	0.00 %	0,238	130	0.00 %	0,273	149
Pilastro 10	0.00 %	0,170	93	0.00 %	0,371	200
Pilastro 7	0.00 %	0,205	112	0.00 %	0,386	200
Pilastro 3	0.00 %	0,325	178	0.00 %	0,224	122
Pilastro 4	0.00 %	0,215	117	0.00 %	0,167	91
Pilastro 5	0.00 %	0,316	173	0.00 %	0,281	154
Pilastro 6	0.00 %	0,251	137	0.00 %	0,334	183
Pilastro 9	0.00 %	0,171	94	0.00 %	0,424	200
Pilastro 8	0.00 %	0,145	79	0.00 %	0,285	156
Pilastro 12	0.00 %	0,159	87	0.00 %	0,394	200
Pilastro 11	0.00 %	0,165	90	0.00 %	0,223	122
Pilastro 17	0.00 %	0,098	53	0.00 %	0,194	106
Pilastro 18	0.00 %	0,111	61	0.00 %	0,273	149
Pilastro 1	0.00 %	0,128	70	0.00 %	0,207	113
Pilastro 2	0.00 %	0,111	61	0.00 %	0,285	156
Trave 14-15	0.00 %	0,200	109	0.00 %	0,158	87
Trave 12-16	100.00 %	0,497	200	100.00 %	0,321	175
Trave 9-12	100.00 %	0,470	200	100.00 %	0,262	143
Trave 4-8	100.00 %	0,459	200	0.00 %	0,323	177
Trave 11-14	0.00 %	0,359	196	0.00 %	0,311	170
Trave 8-11	100.00 %	0,483	200	0.00 %	0,265	145
Trave 10-13	100.00 %	0,312	170	0.00 %	0,218	119
Trave 7-10	100.00 %	0,474	200	0.00 %	0,227	124
Trave 3-7	0.00 %	0,825	200	100.00 %	0,202	111
Trave 1-2	100.00 %	0,809	200	0.00 %	0,315	172

Accelerazioni Sismiche di Collasso su Beam e Shell

Id _{Elm}	FLESSIONE			TAGLIO		
	%LLI/Shell	PGA _{PF/RC}	PGA _C /PGA _D	%LLI/Shell	PGA _T	PGA _C /PGA _D
			[%]			[%]
Trave 6-9	0.00 %	0,488	200	100.00 %	0,283	155
Trave 2-6	100.00 %	0,580	200	100.00 %	0,352	192
Trave 3-4	100.00 %	0,292	159	0.00 %	0,151	83
Trave 5-6	100.00 %	0,284	155	0.00 %	0,173	95
Trave 4-5	0.00 %	0,227	124	0.00 %	0,165	90
Trave 13-14	100.00 %	0,299	163	0.00 %	0,145	79
Trave 14-17	0.00 %	0,506	200	0.00 %	0,367	200
Trave 16-18	0.00 %	0,577	200	0.00 %	0,416	200
Trave 17-18	100.00 %	0,774	200	0.00 %	0,314	172
Trave 15-16	100.00 %	0,210	115	0.00 %	0,172	94
Trave 1-4	100.00 %	0,571	200	100.00 %	0,169	92
Solai a quota +1070						
Pilastro 13	0.00 %	0,158	87	0.00 %	0,175	96
Pilastro 14	0.00 %	0,140	77	0.00 %	0,245	134
Pilastro 15	0.00 %	0,216	118	0.00 %	0,383	200
Pilastro 16	0.00 %	0,200	109	0.00 %	0,739	200
Pilastro 10	0.00 %	0,220	120	0.00 %	0,656	200
Pilastro 7	0.00 %	0,210	115	0.00 %	0,644	200
Pilastro 3	0.00 %	0,225	123	0.00 %	0,270	148
Pilastro 4	0.00 %	0,166	91	0.00 %	0,267	146
Pilastro 5	0.00 %	0,234	128	0.00 %	0,382	200
Pilastro 6	0.00 %	0,216	118	0.00 %	0,783	200
Pilastro 9	0.00 %	0,114	62	0.00 %	3,656	200
Pilastro 8	0.00 %	0,166	91	0.00 %	0,486	200
Pilastro 12	0.00 %	0,115	63	0.00 %	1,210	200
Pilastro 11	0.00 %	0,163	89	0.00 %	0,493	200
Trave 12-16	100.00 %	0,793	200	0.00 %	0,376	200
Trave 11-14	0.00 %	1,129	200	0.00 %	0,352	193
Trave 10-13	100.00 %	0,583	200	0.00 %	0,457	200
Trave 7-10	100.00 %	1,126	200	100.00 %	0,703	200
Trave 3-4	0.00 %	0,585	200	0.00 %	0,343	188
Trave 5-6	100.00 %	0,565	200	0.00 %	0,237	129
Trave 13-14	0.00 %	0,612	200	0.00 %	0,195	107
Trave 15-16	100.00 %	0,504	200	0.00 %	0,231	126
Trave 4-5	0.00 %	0,427	200	0.00 %	0,312	170
Trave 3-7	0.00 %	0,982	200	100.00 %	0,300	164
Trave 4-8	100.00 %	1,043	200	100.00 %	0,353	193
Trave 6-9	0.00 %	0,715	200	100.00 %	0,361	197
Trave 8-11	0.00 %	0,904	200	0.00 %	0,325	178
Trave 9-12	100.00 %	0,808	200	100.00 %	0,334	182
Trave 14-15	0.00 %	0,362	198	0.00 %	0,286	156

LEGENDA:

Id_{Elm}	Identificativo dell'elemento strutturale.
%LLI/Shell	Nel caso di elementi Beam: %LLI = Posizione della sezione per la quale si registra la minima PGA, valutata come % della lunghezza libera d'inflessione dell'elemento (LLI), a partire dal suo estremo iniziale (0% = estremo iniziale, 100% = estremo finale). Nel caso di elementi Shell: Shell = identificativo dei nodi della shell per la quale si registra la minima PGA.
PGA_{PF/RC}	Accelerazione sismica di collasso per PRESSOFLESSIONE o FLESSIONE/ROTAZIONE ALLA CORDA. [0] = l'elemento risulta non verificato già per i carichi verticali presenti nella combinazione sismica $[G_k + \sum_i (\psi_{2,i} \cdot Q_{k,i})]$. N.B.: per gli elementi beam (travi e pilastri), nel caso di calcolo Non Lineare, la PGA è quella relativa al meccanismo di collasso per verifica di rotazione alla corda.
PGA_T	Accelerazione sismica di collasso per TAGLIO. [0] = l'elemento risulta non verificato già per i carichi verticali presenti nella combinazione sismica $[G_k + \sum_i (\psi_{2,i} \cdot Q_{k,i})]$.
PGA_C/PGA_D	Rapporto tra la PGA di "capacità" (PGA _C) dell'elemento e quella di "domanda" (PGA _D = $S_s \cdot S_T \cdot a_g / g$). [200] = $PGA_C > 2 \cdot PGA_D$.

ACCELERAZIONI SISMICHE DI COLLASSO SUI NODI

Id _{Nd}	Accelerazioni Sismiche di Collasso sui Nodi	
	PGA _{Conf}	PGA _C /PGA _D
		[%]
Nodo 6	0,202	110
Nodo 8	0,184	101
Nodo 10	0,265	145
Nodo 12	0,081	45
Nodo 13	0,045	25
Nodo 14	0,042	23
Nodo 15	0,065	35
Nodo 17	0,055	30
Nodo 19	0,057	31
Nodo 21	0,094	52
Nodo 23	0,045	24
Nodo 25	0,044	24
Nodo 27	0,063	34
Nodo 29	0,062	34
Nodo 31	0,061	34
Nodo 33	0,063	34
Nodo 35	0,074	40
Nodo 42	0,051	28
Nodo 43	0,088	48
Nodo 44	0,050	27
Nodo 45	0,080	44
Nodo 46	0,087	48
Nodo 47	0,094	51

Id _{Nd}	Accelerazioni Sismiche di Collasso sui Nodi	
	PGA _{Conf}	PGA _C /PGA _D [%]
Nodo 48	0,080	44
Nodo 49	0,052	28
Nodo 50	0,078	42
Nodo 51	0,062	34
Nodo 52	0,046	25
Nodo 53	0,061	33
Nodo 54	0,046	25
Nodo 55	0,048	26

LEGENDA:

Id_{Nd} Identificativo del nodo strutturale su cui viene eseguita la verifica a confinamento.
PGA_{Conf} Accelerazione sismica di collasso per ROTTURA a confinamento del Nodo. [0] = l'elemento risulta non verificato già per i carichi verticali presenti nella combinazione sismica $[G_k + \sum_i (\psi_{2,i} \cdot Q_{k,i})]$
PGA_C/PGA_D Rapporto tra la PGA di "capacità" (PGA_C) dell'elemento e quella di "domanda" (PGA_D = $S_S \cdot S_T \cdot a_g / g$). [200] = PGA_C > 2 · PGA_D.

ACCELERAZIONI SISMICHE DI COLLASSO PER SPOSTAMENTI INTERPIANO

Id _{piano}	Accelerazioni Sismiche di Collasso per Spostamenti Interpiano			
	SLD		SLO	
	PGA _{Int}	PGA _C /PGA _D [%]	PGA _{Int}	PGA _C /PGA _D [%]
Solai a quota +310				
Solai a quota +310	NS	200	NS	200
Solai a quota +710				
Solai a quota +710	0,139	200	0,137	200
Solai a quota +1070				
Solai a quota +1070	0,080	170	0,136	200

LEGENDA:

Id_{piano} Identificativo del livello o piano.
PGA_{Int} Accelerazione sismica di collasso minima per SPOSTAMENTO D'INTERPIANO. [NS] = Non significativo per valori di PGA_{Int} >= 1000.
PGA_C/PGA_D Rapporto tra la PGA di "capacità" (PGA_C) dell'elemento e quella di "domanda" (PGA_D = $S_S \cdot S_T \cdot a_g / g$). [200] = PGA_C > 2 · PGA_D.

LIVELLO DI CONOSCENZA E FATTORE DI CONFIDENZA	pag.	2
MATERIALI CALCESTRUZZO ARMATO	pag.	2
MATERIALI ACCIAIO	pag.	2
MATERIALI CARATTERISTICHE NON LINEARI	pag.	2
TENSIONI AMMISSIBILI ALLO SLE DEI VARI MATERIALI	pag.	4
SEZIONI ASTE	pag.	4
ANALISI CARICHI	pag.	4
TIPOLOGIE DI CARICO	pag.	5
SLU: Non Sismica - Strutturale senza azioni geotecniche	pag.	5
SLU: Sismica - Strutturale senza azioni geotecniche	pag.	7
COMBINAZIONI SISMICHE	pag.	7
SLU: Sismica non lineare - Strutturale senza azioni geotecniche	pag.	8
DATI GENERALI ANALISI SISMICA NON LINEARE	pag.	8
	pag.	8
PRINCIPALI ELEMENTI ANALISI SISMICA	pag.	9
RIEPILOGO MODI DI VIBRAZIONE	pag.	9
CURVA DI CAPACITÀ	pag.	11
LIVELLI O PIANI	pag.	19
NODI	pag.	20
TRAVI IN ELEVAZIONE	pag.	22
PILASTRI	pag.	23
SOLAI E BALCONI	pag.	24
CARICHI SUI NODI (PER CONDIZIONI DI CARICO NON SISMICHE)	pag.	25
CARICHI SUI NODI (PER ANALISI SISMICA NON LINEARE)	pag.	30
CARICHI SULLE TRAVI	pag.	31
CARICHI SUI PILASTRI	pag.	36
PIANI - VERIFICHE REGOLARITÀ (Elevazione)	pag.	37
EFFETTI DELLE NON LINEARITÀ GEOMETRICHE PER SISMA (Elevazione)	pag.	38
PIANI - VERIFICHE ALLO SLO (Elevazione)	pag.	38
ACCELERAZIONI SISMICHE DI COLLASSO SU BEAM E SHELL	pag.	38
ACCELERAZIONI SISMICHE DI COLLASSO SUI NODI	pag.	39
ACCELERAZIONI SISMICHE DI COLLASSO PER SPOSTAMENTI INTERPIANO	pag.	39